

# 41ª



## Reunião Anual Sociedade Brasileira de Química

# CONSTRUINDO O AMANHÃ

de 21 a 24/05/2018

Foz do Iguaçu, PR

### Realização



Sociedade  
Brasileira  
de Química

### Patrocínio



### Apoio



# **41<sup>a</sup> Reunião Anual da Sociedade Brasileira de Química**

## **PROGRAMA**

**Foz do Iguaçu, PR  
21 a 24 de maio de 2018**

## DIRETORIA DA SBQ

Presidente da SBQ	<i>Aldo José G. Zarbin (UFPR)</i>
Presidente Sucessor da SBQ	<i>Norberto Peporine Lopes (FCFRP-USP)</i>
Vice-Presidente da SBQ	<i>Marília Oliveira F. Goulart (UFAL)</i>
Secretária Geral da SBQ - Presidente da CO 41ª RASBQ	<i>Rossimiriam P. de Freitas (UFMG)</i>
Secretário Adjunto da SBQ	<i>Silvio do Desterro Cunha (UFBA)</i>
Tesoureiro da SBQ	<i>Andre Galembeck (CETENE)</i>
Tesoureiro Adjunto da SBQ	<i>Fernando de Carvalho da Silva (UFF)</i>

## CONSELHO CONSULTIVO DA SBQ

*Adriano D. Andricopulo (USP)*  
*Etelvino José H. Bechara (UNIFESP-Diadema)*  
*Fernando Galembeck (UNICAMP)*  
*Maria Domingues Vargas (UFF)*  
*Ronaldo Aloise Pilli (UNICAMP)*  
*Vanderlan da Silva Bolzani (IQAr-UNESP)*  
*Vitor Francisco Ferreira (UFF)*

## CONSELHO FISCAL DA SBQ

*Glaura Goulart Silva (UFMG)*  
*Roberto de Barros Faria*  
*Romeu Cardoso Rocha Filho*

SOCIEDADE BRASILEIRA DE QUÍMICA - SBQ

Av. Prof. Lineu Prestes, 748

Instituto de Química da USP, bloco 3 superior

Cidade Universitária, São Paulo - SP

fone (11) 3032-2299 – fax (11) 3814-3602

endereço eletrônico: [diretoria@sbq.org.br](mailto:diretoria@sbq.org.br)

sítio da internet: <http://www.sbq.org.br>

*endereço postal:*

Caixa Postal 26.037, 05513-970 - São Paulo - SP

Copyright© 2018 Sociedade Brasileira de Química

Todas as informações dos resumos publicadas neste livro foram reproduzidas de cópias fornecidas pelos autores. O conteúdo dos resumos é de exclusiva responsabilidade de seus autores. A SBQ, seus diretores e funcionários, a comissão organizadora da 41ª RASBQ e seus assessores *ad hoc* não se responsabilizam por consequências decorrentes de uso de quaisquer dados, afirmações e opiniões inexatos (ou que conduzam a erros) publicados neste livro.

## COMISSÃO ORGANIZADORA DA 41ª RASBQ

*Rossimiriam P. de Freitas* (UFMG) - Secretária Geral da SBQ - Presidente da CO 41ª RASBQ

*Aldo José G. Zarbin* (UFPR) - Presidente da SBQ

*Andre Galembeck* (CETENE) - Tesoureiro da SBQ

*Dirce Maria Fernandes Campos* (SBQ) - Diretora Executiva da SBQ

*Stanislau Bogusz Junior* (IQSC-USP) - Divisão de Alimentos e Bebidas

*Sibele Berenice Castellã Pergher* (UFRN) - Divisão de Catálise

*Maria Valnice B. Zanoni* (IQAr-UNESP) - Divisão de Eletroquímica e Eletroanalítica

*Márlon Herbert F. B. Soares* (UFG) - Divisão de Ensino de Química

*Nelson H. Morgon* (UNICAMP) - Divisão de Físico-Química

*Carla Cristina S. Cavalheiro* (IQSC-USP) - Divisão de Fotoquímica

*Roberto Gomes de S. Berlinck* (IQSC-USP) - Divisão de Produtos Naturais

*Maria Cristina C. Gazotti* (UENF) - Divisão de Química Ambiental

*Clésia Cristina Nascentes* (UFMG) - Divisão de Química Analítica

*Célia Machado Ronconi* (UFF) - Divisão de Química de Materiais

*Shirley Nakagaki Bastos* (UFPR) - Divisão de Química Inorgânica

*Rafael Victorio Carvalho Guido* (USP) - Divisão de Química Medicinal

*Maurício Moraes Victor* (UFBA) - Divisão de Química Orgânica

## COMISSÃO CIENTÍFICA DA 41ª RASBQ

*Rossimiriam P. de Freitas* (UFMG) - Secretária Geral da SBQ - Presidente da CO 41ª RASBQ

*Aldo José G. Zarbin* (UFPR) - Presidente da SBQ

*Norberto Peporine Lopes* (FCFRP-USP) - Presidente Sucessor da SBQ

*Marília Oliveira F. Goulart* (UFAL) - Vice-Presidente da SBQ

*Silvio do Desterro Cunha* (UFBA) - Secretário Adjunto da SBQ

*Andre Galembeck* (CETENE) - Tesoureiro da SBQ

*Fernando de Carvalho da Silva* (UFF) - Tesoureiro Adjunto da SBQ

*Adriano D. Andricopulo* (USP) - Conselho Consultivo da SBQ

*Etelvino José H. Bechara* (UNIFESP-Diadema) - Conselho Consultivo da SBQ

*Fernando Galembeck* (UNICAMP) - Conselho Consultivo da SBQ

*Maria Domingues Vargas* (UFF) - Conselho Consultivo da SBQ

*Ronaldo Aloise Pilli* (UNICAMP) - Conselho Consultivo da SBQ

*Vanderlan da Silva Bolzani* (IQAr-UNESP) - Conselho Consultivo da SBQ

*Vítor Francisco Ferreira* (UFF) - Conselho Consultivo da SBQ

*Stanislau Bogusz Junior* (IQSC-USP) - Divisão de Alimentos e Bebidas

*Sibele Berenice Castellã Pergher* (UFRN) - Divisão de Catálise

*Maria Valnice B. Zanoni* (IQAr-UNESP) - Divisão de Eletroquímica e Eletroanalítica

*Márlon Herbert F. B. Soares* (UFG) - Divisão de Ensino de Química

*Nelson H. Morgon* (UNICAMP) - Divisão de Físico-Química

*Carla Cristina S. Cavalheiro* (IQSC-USP) - Divisão de Fotoquímica

*Roberto Gomes de S. Berlinck* (IQSC-USP) - Divisão de Produtos Naturais

*Maria Cristina C. Gazotti* (UENF) - Divisão de Química Ambiental

*Clésia Cristina Nascentes* (UFMG) - Divisão de Química Analítica

*Célia Machado Ronconi* (UFF) - Divisão de Química de Materiais

*Shirley Nakagaki Bastos* (UFPR) - Divisão de Química Inorgânica

*Rafael Victorio Carvalho Guido* (USP) - Divisão de Química Medicinal

*Maurício Moraes Victor* (UFBA) - Divisão de Química Orgânica

# COMISSÃO LOCAL DA 41ª RASBQ

*Elisa Orth* (UFPR) - Presidente da Comissão Local da 41ª RASBQ

*Andrelson Wellington Rinaldi* (UEM)

*Elizabeth Weinhardt de Oliveira Scheffer* (UEPG)

*Fernando Molin* (UTFPR)

*Jose Ricardo Cezar Salgado* (UNILA)

*Luiz Henrique Dall'Antonia* (UEL)

*Renata Mello Giona* (UTFPR)

## ASSESSORES AD HOC

Adalgisa R. de Andrade

Adão Aparecido Sabino

Aderson Zottis

Adolfo Horn Jr.

Adonay Rodrigues Loiola

Adriana dos Santos Lages

Adriana Nunes Correia

Aguinaldo Robinson de Souza

Alam Gustavo Trovó

Alcione Silva de Carvalho

Alfredo Luis M. L. Mateus

Aline Thais Bruni

Altair Benedito Moreira

Aluísio Marques da Fonseca

Alvaro José dos Santos Neto

Alzir Azevedo Batista

Amadeu Moura Bego

Ana Luiza de Quadros

Ana Maria Pires

Anamaria Dias Pereira Alexiou

André Luiz B. Formiga

Andre Luiz Meleiro Porto

André Mauricio de Oliveira

André Romero da Silva

Angelo de Fatima

Anita J. Marsaioli

Anna Maria Canavarro Benite

Anne Helene Fostier

Antonio Aprigio da Silva Curvelo

Antonio Carlos B. Burtoloso

Antonio Eduardo da Hora Machado

Antonio Jacinto Demuner

Antonio Rogério Fiorucci

Antonio Salvio Mangrich

Arnaldo Alves Cardoso

Arthur Eugen Kummerle

Artur de Jesus Motheo

Aurea Echevarria Aznar

Auro Atsushi Tanaka

Ayres Guimarães Dias

Bernardo Almeida Iglesias

Brenno Amaro da Silveira Neto

Bruna Possato

Bruno Amaral Meireles

Bruno Silva Leite

Bruno Szpoganicz

Caio Costa Oliveira

Camila Greff Passos

Camila Silveira da Silva

Carla Beatriz Grespan Bottoli

Carla Cristina S. Cavalheiro

Carla dos Santos Riccardi

Carlos Alberto Marques

Carlos Alberto Policiano de Almeida

Carlos Cezar da Silva

Carlos Kleber Zago de Andrade

Carlos Mauricio R. de Sant'Anna

Carlos Roque Duarte Correia

Carmem Lucia de Paiva e Silva Zanta

Carmen Sílvia da Silva Sá

Carolina Horta Andrade

Cássia Curan Turci/Novos Talentos/CAPES

Cassiana Carolina Montagner

Cassius Vinicius Stevani

Catarina de Nigris Del Cistia

Cedric Stephan Graebin

Célia Machado Ronconi

Celio Pasquini

Celso Aparecido Bertran

Christiane Fernandes

Christiane Philippini F. Borges

Cinthia Maria Felicio

Cíntia Duarte de Freitas Milagre

Claudia Carvalhinho Windmoller

Claudia Longo

Claudia Moraes de Rezende

Claudio Luis Donnici

Claudio Roberto Machado Benite

Claudio Viegas Junior

Cleder Alexandre Somensi

Cleônia Roberta Melo Araújo

Clésia Cristina Nascentes

Cristina Wayne Nogueira

Daiane Einhardt Blank

Daniel Lázaro Gallindo Borges

Daniel Rodrigues Cardoso

Danielle Cangussu de C. Gomes

Danielle Caroline Schnitzler

Danielle Ferreira Dias

Danilo Gustavo Rodrigues Silva

David Rodrigues da Rocha

Dayse Carvalho da Silva Martins

Débora Gonçalves

Denis Pires de Lima

Denise Freitas Siqueira Petri

Denise Leal de Castro

Djenaine de Souza

Dulce Helena Siqueira Silva

Ednei Gilberto Primel

Edson Antonio Ticianelli

Edson Ferreira da Silva

Edson Minatti

Eduardo Borges de Melo

Eduardo José Nassar

Eduardo Mathias Richter

Eduardo Rigoti

Eduardo Rolim de Oliveira

Elaine Pavini Cintra

Elene Cristina Pereira Maia

Elisa Prestes Massena

Elisa Souza Orth

Elisabete Frollini

Elizabeth Igne Ferreira

Emerson Henrique de Faria

Emerson Schwingel Ribeiro

Emílio Carlos de Lucca Júnior

Emmanuel Vilaça Costa

Ercules Epaminondas de S. Teotonio

Erick Leite Bastos

Erico Marlon de Moraes Flores

Ernesto Schulz Lang

Etelvino José Henriques Bechara

Fabiano Severo Rodembusch

Fábio Peres Gonçalves

Fábio Rodrigo Piovezani Rocha

Fávero Reisdorfer Paula

Fernanda Andreia Rosa

Fernanda Irene Bombonato

Fernanda Vasconcelos de Almeida

Fernando Antonio S. Coelho

Fernando Aparecido Sigoli

Fernando Batista da Costa

Fernando Fabriz Sodré	Juliana Limana Malavolta	Maria Cristina Nonato
Fernando Wypych	Juliano Alves Bonacin	Maria das Graças A. Korn
Floriano Paes Silva Junior	Julio Cezar Pastre	Maria de Fatima Fontes Lelis
Francisco Adriano de Oliveira Carvalho	Julio Santos Rebouças	Maria do Carmo Hespanhol da Silva
Francisco Eduardo Aragão Catunda Jr.	Káthia Maria Honório	Maria Domingues Vargas
Francisco Manoel dos Santos Garrido	Katia Bernardo Gusmão	Maria Eunice Ribeiro Marcondes
Frederico Silva Castelo Branco	Kátia Cristina Molgero Westrup	Maria Fatima das G. F. da Silva
Fritz Cavalcante Huguenin	Katia Jorge Ciuffi	Maria Fernanda D'Oliveira Pimentel
Gabriela Ramos Hurtado	Kelly Aparecida Dias de F. Castro	Maria Goretti de V. Silva
Geani Maria Ucoski	Kleber Thiago de Oliveira	Maria Helena Roxo Beltran
Gilson de Freitas Silva	Koiti Araki	Maria Ines Nogueira Camargo Harris
Giovanna Machado	Laudemir Carlos Varanda	Maria Lúcia Arruda de Moura Campos
Giuliano Cesar Clososki	Laura Oliveira Péres	Maria Lucia Belem Pinheiro
Glaura Goulart Silva	Lauro Tatsuo Kubota	Maria Luiza Miranda Rocco
Gleison Antonio Casagrande	Leandro Ferreira Pedrosa	Maria Valnice B. Zanoni
Grace Gosmann	Leandro Soter de Mariz e Miranda	Mariele Iara Soares de Mello
Guilherme Andrade Marson	Letícia Malta Costa	Marília Oliveira Fonseca Goulart
Guilherme Sippel Machado	Lídia Moreira Lima	Mario Geraldo de Carvalho
Gustavo Claro Monteiro	Ligia Maria M. Valente	Mario Roberto Senger
Gustavo Fernandes S. Andrade	Lílian Sibelle Campos Bernardes	Marisa Tsao
Gustavo Henrique Goulart Trossini	Lindiane Bieseki	Márlon Herbert F. B. Soares
Gustavo Henrique Ribeiro Viana	Lourdes Campaner dos Santos	Mary Ann Foglio
Gustavo Pozza Silveira	Lucia Helena Mascaro Sales	Maurício Angel Vega-Tejido
Hamilton Varela	Luciana Gonzaga de Oliveira	Mauricio Frota Saraiva
Hector Henrique Ferreira Koolen	Luciane Hiromi Akahoshi	Mauricio Silva dos Santos
Heitor Avelino de Abreu	Luciano Dornelles	Maurícus Selvero Pazinato
Hélcio Silva dos Santos	Luciano Morais Lião	Mauro Bertotti
Heloise de Oliveira Pastore	Luis Octávio Regasini	Mauro Coelho dos Santos
Herenilton Paulino Oliveira	Luiz Antônio Soares Romeiro	Mauro Korn
Hilma Alessandra R. do Couto	Luiz Antonio Sodré Costa	Michael Jackson Vieira da Silva
Humberto Marcio S. Milagre	Luiz Gonzaga de França Lopes	Miriam Verginia Lourenco
Ignez Caracelli	Luiz Henrique Dall'Antonia	Nadja Paraense dos Santos
Iolanda da Cruz Vieira	Luiz Sidney Longo Junior	Nailton Monteiro do Nascimento Júnior
Irlon Maciel Ferreira	Luzineide Wanderley Tinoco	Nelilma Correia Romeiro
Irwin Rose Alencar de Menezes	Magaly Girão Albuquerque	Nelson Henrique Morgon
Ísis Kaminski Caetano	Magdalena Nascimento Rennó	Nelson Ramos Stradiotto
Isis Martins Figueiredo	Mara Elisa Fortes Braibante	Nito Angelo Debacher
Italo Odone Mazali	Marcela Mohallem Oliveira	Nubia Boechat Andrade
Ivo Jose Curcino Vieira	Marcelo Giordan Santos	Nyuara Araújo da Silva Mesquita
Ivo Milton Raimundo Jr.	Marcelo Gomes Speziali	Odair Pastor Ferreira
Ivone Carvalho	Marcelo Henrique dos Santos	Olga Soares do Rego Barros
Izaura Cirino Nogueira Diógenes	Marcelo Henrique Gehlen	Onofre Vargas Junior
Jaqueline Nicolini	Marcelo Martins de Sena	Orlando Fatibello Filho
Jean Marcel Ribeiro Gallo	Marcelo Oliveira Santiago	Ozelito Possidônio de Amarante Jr.
Jez Willian Batista Braga	Marcelo Santos Castilho	Pablo Machado
João Batista Lopes Martins	Márcia Cristina Bisinoti	Patrícia Mendonça Pauletti
João Marcos Madurro	Márcia Foster Mesko	Paula Alvarez Abreu
João Paulo dos Santos Fernandes	Marcia Matiko Kondo	Paulo Augusto Netz
Joaquim de Araujo Nobrega	Marcio Eduardo Vidotti Miyata	Paulo Gustavo Barboni Dantas Nascimento
Jonas Gruber	Márcio Peres de Araujo	Paulo Olivi
Jorge Luiz de Oliveira Domingos	Marco Edilson Freire de Lima	Paulo Roberto de Oliveira
Jorge Luiz Ribeiro de Melos	Marco Tadeu Grassi	Pedro de Lima Neto
Jose Alves Dias	Marcos Fernando de Souza Teixeira	Pedro Gregório Vieira Aquino
Jose Gildo de Lima	Maria Carolina Blassioli-Moraes	Pedro Henrique Cury Camargo
José Luis de Paula Barros Silva	Maria Cecília Bastos V. de Souza	Pedro Sérgio Fadini
Josef Wilhelm Baader	Maria Cristina Canela Gazotti	Pedro Vitoriano de Oliveira
Josué Carinhanha Caldas Santos	Maria Cristina Forti	Pérola de Castro Vasconcelos

Rafael Stieler  
Rafael Victorio Carvalho Guido  
Raoni Schroeder Borges Gonçalves  
Raphael Nagao de Sousa  
Regina Aparecida Correia Gonçalves  
Regina Celia Galvao Frem  
Reinaldo Francisco Teófilo  
Renata Barbosa de Oliveira  
Renata Barbosa Lacerda  
Renata Diniz  
Renato Sanches Freire  
Renato Zanella  
Ricardo Jorgensen Cassella  
Ricardo José Alves  
Ricardo Queiroz Aucelio  
Robert Alan Burrow  
Roberta Tesch  
Roberto Carlos Campos Martins  
Roberto de Barros Faria  
Roberto Gomes de Souza Berlinck  
Roberto Parise Filho  
Roberto Santana da Silva

Rodrigo Alejandro Abarza Muñoz  
Rodrigo Luiz Oliveira R. Cunha  
Romeu Cardozo Rocha Filho  
Rose Maria Carlos  
Rosebelly Nunes Marques  
Roselena Faez  
Rosely Aparecida Peralta  
Rosemeire Brondi Alves  
Rosivaldo dos Santos Borges  
Salette Linhares Queiroz  
Samuel Silva da Rocha Pita  
Sandra Helena Pulcinelli  
Sandra Regina Longhin  
Sebastião da Cruz Silva  
Sergio Antonio Spinola Machado  
Sergio de Paula Machado  
Shirley Nakagaki Bastos  
Sibele Berenice Castella Pergher  
Sidney José Lima Ribeiro  
Sonia Maria Alves Jorge  
Stanislau Bogusz Junior  
Susana Inés Córdoba de Torresi

Telma Leda Gomes de Lemos  
Thalita Grando Rauen  
Thiago Augusto de Lima Burgo  
Thiago Barcellos da Silva  
Thiago Pereira Goulart  
Timothy John Brocksom  
Valdemar Lacerda Júnior  
Valderi Luiz Dressler  
Valeriano Antonio Corbellini  
Vanessa Égea dos Anjos  
Vanessa Gisele Pasqualotto Severino  
Vânia Gomes Zuin  
Vanusa Regina Lando  
Vera Lucia Eifler Lima  
Vera Regina L. Constantino  
Victor Marcelo Deflon  
Vladimir C. Gomes Heleno  
Warley de Souza Borges  
Wendel Andrade Alves  
Wendell Karlos Tomazelli Coltro  
Zeki Naal  
Zenilda de Lourdes Cardeal

A 41ª Reunião Anual da Sociedade Brasileira de Química (41ª RASBQ) será realizada este ano no estado do Paraná, no lindíssimo destino turístico de Foz do Iguaçu, no Rafain Palace & Convention Center. Pela primeira vez em 41 anos, estudantes, professores e pesquisadores da área de química e de áreas correlatas, de todos os cantos do país, além de convidados e participantes estrangeiros, se reunirão neste quadro incrível para celebrar o avanço da ciência na área. Após o sucesso do 46th World Chemistry Congress/40ª RASBQ em São Paulo, a expectativa é que recebamos um grande número de participantes na região Sul do país, onde a última RA foi realizada em 2011, em Florianópolis, no memorável Ano Internacional da Química.

O tema da RA será “Construindo o Amanhã”, e propõe uma reflexão importante sobre a criação de novas condições para que o ambiente de ciência e tecnologia do Brasil volte a crescer e se firme como um eixo fundamental do desenvolvimento econômico do país. O tema central da RA será discutido, no simpósio de mesmo nome, por personalidades de destaque no meio político-acadêmico-científico-industrial. O simpósio pretende ser um espaço importante de reflexão sobre a temática, que além de ser de suma importância ao país, é de particular interesse à comunidade de professores, estudantes de todos os níveis (graduação, mestrado e doutorado), cientistas e simpatizantes da Química que usualmente comparecem às Reuniões Anuais da SBQ.

Uma das formas de atingir as finalidades pelas quais a SBQ se propõe é através da realização de parcerias com diferentes instituições coirmãs. Dentre estas instituições, a Royal Society of Chemistry (RSC) é uma das mais representativas, e vem sistematicamente trabalhando em parceria com a SBQ. Na nossa RA em Foz um *Memorandum of Understanding (MoU)* entre as duas Sociedades será renovado e, para celebrar a parceria e como **parte da programação do Ano Brasil-Reino Unido de Ciência e Inovação 2018-19**, a SBQ realizará uma sessão SBQ-RSC, que terá duas importantes conferências científicas e a cerimônia de assinatura do MoU entre o presidente da SBQ, Professor Aldo Zarbin e o imediate-past President da RSC, Professor Dominic Tildesley.

As sessões temáticas abordarão temas de grande relevância para a comunidade. Em uma delas, cientistas renomados na área discursarão sobre os recentes avanços obtidos pela academia em relação ao tema energia. Em outra temática a química “da célula ao reator” ganha força, mostrando a visão e contribuição de importantes pesquisadores ligados à exploração de biomoléculas para diferentes aplicações. A importância do debate sobre as mulheres na ciência será destacada com entusiasmo e alegria por brilhantes mulheres na temática sobre “Elas, as cientistas”. Finalmente uma sessão temática envolvendo nomes da indústria debaterá como as novas tendências tecnológicas relacionadas à digitalização devem ser incorporadas na formação do profissional de química para atender as futuras demandas do setor industrial.

Grandes nomes da química contemporânea apresentarão resultados recentes de suas pesquisas: Francisco José Krug (conferencista de abertura!), Carlos Moyses Graca Araujo, Claudio D. Borsarelli, Fabrizio Adani, Frank Glorius, Galo Soler Illia, Hamilton Brandão Varela de Albuquerque, Joaquim de Araújo Nóbrega, Jonathan S. Lindsey, Joost N. H. Reek, Luiz Carlos Dias, Mônica Tallarico Pupo, Richard G. Weiss, Teodorico de Castro Ramalho e Wilmo Ernesto Francisco Junior são os nomes que acrescentarão história à nossa RA!



Durante a 41ª RASBQ, a SBQ realizará mais uma vez a sua já tradicional atividade para divulgação da ciência entre os mais jovens. Este ano o “SBQ na Escola” trará mais de 500 alunos das escolas públicas de Foz do Iguaçu e região para visitar a Reunião. A mostra, organizada pelo professor Alfredo Luis Mateus (UFMG) focará na interatividade dos alunos, que farão eles mesmos os experimentos em companhia dos monitores.

A programação da RA conta ainda com a realização de 7 workshops, 12 minicursos, 3 sessões de painéis, 18 sessões coordenadas, assembleias regionais e divisionais, sessão de homenagens, sessão de lançamento de livros, além da tradicional exposição de empresas apoiadoras. Trata-se de um espaço único para networking e aproveitamento do que de melhor a comunidade química sabe fazer. Cerca de 1700 pessoas estão inscritas no evento até o momento e muito mais gente passará pelo local!

Além do livro de programa em pdf, todas as informações sobre a RA estão disponíveis no aplicativo 41ª RASBQ, disponível para iOS (Apple Store) e para Android (Google Play) . A Reunião também estará presente nas redes sociais (facebook, twitter e instagram). Divulgue a nossa Sociedade!

A RA é resultado de um trabalho árduo, começado muito tempo antes da sua realização. A Comissão Organizadora, formada pelo presidente, pela secretária geral, tesoureiro, diretora executiva, diretores e diretoras das 13 divisões científicas da SBQ tem um longo caminho a percorrer até atingir o formato de reunião que sonhamos. Os desafios são muitos! Além disso, o trabalho da comissão local, dos avaliadores dos trabalhos e da hercúlea secretaria da SBQ em São Paulo são essenciais para que estejamos aqui hoje!

Apesar dos grandes desafios do momento atual, estamos todos felizes com a construção da 41ª RASBQ, pelo local da realização do evento, que é maravilhoso, pela expectativa das pessoas, que se mostram receptivas e felizes com o encontro, e pela oportunidade de mostrar que a Química e a ciência brasileira resistirão! Sabemos que é hora da nossa comunidade mostrar coesão e reação, fortalecendo ainda mais a sociedade que a representa. É hora de aparecer em peso na nossa RA e mostrar a que viemos!

Nos vemos em Foz!

Abraços,

*Rossimiriam Freitas*  
*Secretária Geral da SBQ*  
*Presidente da Comissão Organizadora da 41ª RASBQ*

# SUMÁRIO

## **Segunda-feira – 21 de maio**

9:00	Entrega de material.....	11
10:00-17:00	Workshops.....	11
19:00-19:30	Abertura da 41ª Reunião Anual da Sociedade Brasileira de Química .....	12
19:30-20:30	Conferência de Abertura.....	12
20:30-23:00	Coquetel de Abertura.....	12

## **Terça-feira – 22 de maio**

08:00-10:00	Minicursos.....	13
10:10-11:10	Conferências Convidadas.....	14
11:15-12:15	Conferências Convidadas.....	14
11:15-12:15	Conferência Empresa .....	14
14:00-17:50	Sessões Coordenadas.....	14
18:00-20:00	Sessão I de discussão de painéis.....	20
20:00-21:00	Assembleias Regionais.....	20
21:00-22:00	Sessão de Homenagens.....	20

## **Quarta-feira – 23 de maio**

08:00-10:00	Minicursos.....	21
10:10-12:10	Sessão RSC-SBQ.....	21
14:00-15:50	Simpósio .....	21
16:00-17:00	Conferências Convidadas.....	21
17:00-18:00	Conferências Convidadas.....	21
18:00-20:00	Sessão II de discussão de painéis.....	22
18:00-20:00	Lançamento de Livros.....	22
20:00-21:00	Assembleias Divisionais .....	23
22:00	Festa .....	23

## **Quinta-feira – 24 de maio**

08:00-10:00	Minicursos.....	24
10:10-12:00	Sessões Temáticas .....	24
13:00-15:00	Sessão III de discussão de painéis.....	25
15:00-18:30	Sessões Coordenadas.....	25
19:00	Assembleia Geral Ordinária da Sociedade Brasileira de Química .....	32

## **Índice de Painéis**

AMB – Química Ambiental .....	34
ANA – Química Analítica .....	37
BEA – Química de Alimentos e Bebidas .....	40
BIO – Química Biológica .....	41
CAT – Catálise.....	42
COL – Química de Superfícies e Colóides.....	43
EDU – Ensino de Química .....	44
ELE – Eletroquímica e Eletroanalítica.....	46
EST – Química Estrutural.....	49
FIS – Físico-Química.....	49
FOT – Fotoquímica .....	50
INO – Química Inorgânica.....	51
MAT – Química de Materiais .....	55
MED – Química Medicinal.....	59
ORG – Química Orgânica .....	62
QPN – Química de Produtos Naturais .....	66
QVE – Química Verde .....	71
TEC – Química Tecnológica.....	72
TEO – Química Teórica .....	72

<b>Índice de Autores</b> .....	73
--------------------------------	----

<b>Índice de Palavras-chave</b> .....	94
---------------------------------------	----

## Segunda-feira – 21 de maio

**9:00** ENTREGA DE MATERIAL

**10:00-17:00** WORKSHOPS

### **Avanços recentes na caracterização de materiais e compostos inorgânicos e suas aplicações analíticas e eletroanalíticas** (Sala A-1)

Coordenadoras: *Clésia Cristina Nascentes* (UFMG)  
*Maria Valnice B. Zanoni* (IQAr-UNESP)  
*Shirley Nakagaki Bastos* (UFPR)

Palestrantes: *Maria Luiza Rocco* (UFRJ)  
*Beate Saegesser Santos* (UFPE)  
*Érico Marlon de Moraes Flores* (UFMS)  
*Carla Beatriz Grespan Bottoli* (UNICAMP)  
*Wendel A. Alves* (UFABC)  
*Luiz Henrique Dall'Antonia* (UEL)

### **Academia e Indústria em busca da inovação tecnológica** (Sala A-2)

Coordenadoras: *Célia Machado Ronconi* (UFF)  
*Sibele Berenice Castellã Pergher* (UFRN)

Palestrantes: *Glaura Goulart da Silva* (UFMG)  
*Donato Aranda* (EQ-UFRJ)  
*José Vitor Bomtempo* (EQ-UFRJ)  
*Oswaldo L. Alves* (IQ-UNICAMP)  
*Cláudio J. A. Mota* (IQ-UFRJ)  
*Marcelo do Amaral* (Diretor da GlobalYeast)  
*Roberto Werneck* (Braskem)

### **Química Orgânica e Medicinal: da Academia até a Iniciativa Privada** (Sala A-3)

Coordenadores: *Mauricio Moraes Victor* (UFBA)  
*Rafael Victorio Carvalho Guido* (USP)

Palestrantes: *Eliezer J. Barreiro* (ICB-UFRJ)  
*Jairton Dupont* (IQ-UFRGS)  
*Antônio E. G. Santana* (UFAL)  
*Alessandra Mascarello* (Aché Laboratórios Farmacêuticos)  
*Marcelo Saraiva* (Gilead/USA)  
*Fábio Barros* (Instituto Vitanova)

### **Como é o ensino de Química Ambiental e Educação Ambiental no Brasil?** (Sala C-1)

Coordenadores: *Maria Cristina C. Gazotti* (UENF)  
*Márlon Herbert F. B. Soares* (UFG)

Palestrantes: *Nyuara Araújo da Silva Mesquita* (UFG)  
*Elizabeth Weinhardt Scheffer* (UEPG)  
*Renato S. Freire* (IQUSP)  
*Andréa Horta Machado* (UFMG)  
*Maria Lucia Arruda de Moura Campos* (FFCLRP-USP)

### **XVI Workshop de Pós-Graduação em Química** (Sala C-2)

Coordenadoras: *Marília Oliveira F. Goulart* (UFAL)  
*Maria Domingues Vargas* (UFF)

Palestrantes: *Aldo J.G. Zarbin* (UFPR)  
*Rochel Montero Lago* (UFMG)  
*Paulo Anselmo Ziani Suarez* (UnB)

*Evaldo Vilela (FAPEMIG)*  
*Carolina Maria M. de Carvalho Andrade (SENAI Inovação em Química)*  
*Fabricio Parreira (CTF)*  
*Maria Domingues Vargas (UFF)*  
*Adriano Monteiro (UFRGS)*  
*Norberto Peporine Lopes (FCFRP-USP)*  
*Marília Oliveira F. Goulart (UFAL)*  
*Maysa Furlan (IQAr-UNESP)*  
*Hélio Duarte (UFMG)*

#### **Integração das Secretarias Regionais da SBQ (Sala Paraná IV)**

Coordenador: *Silvio do Desterro Cunha (UFBA, Secretário Adjunto SBQ)*  
Palestrantes: *Aldo J.G. Zarbin (UFPR, Presidente SBQ)*  
*André Galembeck (CETENE, Tesoureiro da SBQ)*  
*Norberto Peporine Lopes (Presidente da SBQ gestão 2018-2020)*  
*Aluísio M. da Fonseca (UNILAB, SBQ-Regional Ceará)*  
*Ana Paula Silveira Paim (UFPE, SBQ-Regional Pernambuco)*  
*André Romero da Silva (IFES, SBQ-Regional Espírito Santo)*  
*David Rodrigues da Rocha (UFF, SBQ-Regional Rio de Janeiro)*  
*Elisa Souza Orth (UFPR, SBQ-Regional Paraná)*  
*Flávio Colmati Jr (UFG, SBQ-Regional Goiás)*  
*Hállen D. R. Calado (UFMG, SBQ-Regional Minas Gerais)*  
*Humberto Marcio S. Milagre (IQAr-UNESP, SBQ-Regional Interior Paulista Waldemar Saffioti)*  
*Isis Martins Figueiredo (UFAL, SBQ-Regional Alagoas)*  
*João Batista Martins (UnB, SBQ-Regional Distrito Federal)*  
*Julio Cezar Pastre (UNICAMP, SBQ-Regional Campinas)*  
*Luiz Antônio M. Alves da Costa (UFRR, SBQ-Regional Roraima)*  
*Patrícia Santana B. Marinho (UFPA, SBQ-Regional Pará)*  
*Reinaldo Francisco Teófilo (UFV, SBQ-Regional Viçosa)*  
*Rennan Geovanny Oliveira Araujo (UFBA, SBQ-Regional Bahia)*

#### **SBQ Jovem: para construir o amanhã (Sala C-3)**

Coordenadores: *Fernando de Carvalho da Silva (UFF)*  
*Diogo Montes Vidal (UFMG)*  
Palestrantes: *Aldo J.G. Zarbin (UFPR)*  
*Eliezer J. Barreiro (ICB-UFRJ)*  
*Guilherme Andrade Marson (IQUSP)*  
*Paulo H. G. Zarbin (UFPR)*  
*Rochel Montero Lago (UFMG)*  
*Romeu Cardozo Rocha Filho (UFSCar)*  
*Ruben Dario Sinisterra Millán (UFMG)*

**19:00-19:30 ABERTURA DA 41ª REUNIÃO ANUAL DA SOCIEDADE BRASILEIRA DE QUÍMICA**  
(Expocenter IV)

**19:30-20:30 CONFERÊNCIA DE ABERTURA**  
**“Uma visão crítica sobre a espectrometria de emissão óptica com plasma induzido por laser (LIBS)”**  
- Francisco José Krug (CENA-USP)

**20:30-23:00 COQUETEL DE ABERTURA (EXPOCENTER III)**

### SBQ na Escola (Expocenter III)

- Manhã 1 - de 8:00 às 9:30
- Manhã 2 - de 9:45 às 11:15
- Noite - 19:30 - 21:00

### 08:00-10:00 MINICURSOS

1. **A Química Inorgânica na saúde e recentes avanços em metalofármacos** (Sala A-1)  
- *Alzir Azevedo Batista* (UFSCar)
2. **Micropoluentes emergentes em águas urbanas** (Sala A-2)  
- *Fernando Fabriz Sodré* (UnB)
3. **As diferentes versões da termodinâmica fora do equilíbrio** (Sala A-3)  
- *Paulo Augusto Netz* (UFRGS)
4. **Marcadores fluorescentes e as bases moleculares da aplicação de fluorescência em sistemas biológicos** (Sala C-1)  
- *Erick Leite Bastos* (USP)
5. **Métodos espectroscópicos avançados aplicados ao estudo de materiais** (Sala C-2)  
- *Maria Luiza Rocco Duarte Pereira* (UFRJ)
6. **Microfluídica** (Sala C-3)  
- *Wendell Karlos Tomazelli Coltro* (UFG)
7. **Avanços em polímeros molecularmente impressos (MIP) aplicados em sensores e extração** (Sala D-1)  
- *César Ricardo Teixeira Tarley* (UEL)  
- *Maria Del Pilar Taboada Sotomayor* (IQAr-UNESP)
8. **Fundamentos de catálise assimétrica** (Sala D-2)  
- *Carlos Roque Duarte Correia* (UNICAMP)  
- *Caio Costa Oliveira* (UNICAMP)
9. **Planejamento de fármacos baseado na estrutura do receptor (SBDD) e do ligante (LDBB)** (Sala D-3)  
- *Gustavo Henrique Goulart Trossini* (USP)
10. **Tópicos de quimioinformática na pesquisa de produtos naturais** (Sala F-1)  
- *Fernando Batista da Costa* (FCFRP-USP)
11. **Laboratório de experiência empreendedora: primeiros passos para criar uma empresa de base tecnológica** (Sala F-2)  
- *Rochel Montero Lago* (UFMG)  
**Facilitadores:**  
- *Arthur Gabriel da Silva* (UFMG)  
- *Maria Paula Duarte de Oliveira* (UFMG)  
- *Priscila Maria Teixeira G. de Souza* (UFMG)

**12. Desmedicalizando o olhar sobre a escola: contribuições para atuação do educador químico** (Sala F-3)  
- *Hélio da Silva Messeder Neto* (UFBA)

**10:10-11:10 CONFERÊNCIAS CONVIDADAS**

**Developing a biorefinery concept for *Arundo donax*** (Sala A-2)  
- *Fabrizio Adani* (Universidade de Milão, Milão)

**On discovery in photocatalysis, hydrogenation and on-surface chemistry** (Sala C-2)  
- *Frank Glorius* (Universidade de Munster)

**Dinâmica complexa em eletrocatalise** (Sala D-2)  
- *Hamilton Brandão Varela de Albuquerque* (IQSC-USP)

**Reflexões e aprendizagens sobre espectrometria atômica** (Sala F-2)  
- *Joaquim de Araújo Nóbrega* (UFSCar)

**11:15-12:15 CONFERÊNCIAS CONVIDADAS**

**Polyelectrolytes containing thymine pendant groups: a “Swiss Army knife” for preparation of supramolecular assemblies for biosensing, microencapsulation, and photosensitization** (Sala A-2)  
- *Claudio D. Borsarelli* (Universidad Nacional de Santiago del Estero, Argentina)

**Molecular and polymeric hydro- and organo-gels. What are they and why are they important?** (Sala C-2)  
- *Richard G. Weiss* (Georgetown University)

**Innovation and opportunities toward new molecules for the agrochemical industry: from theory to application** (Sala D-2)  
- *Teodorico de Castro Ramalho* (UFLA)

**11:15-12:15 CONFERÊNCIA EMPRESA**

**Utilização de ICP-MS para atendimento das normas ambientais** (Sala F-2)  
- *Rodolfo Lorençatto* (Agilent Technologies)

**14:00-17:50 SESSÕES COORDENADAS**

**QUÍMICA AMBIENTAL - I** (Sala A-1)

Coordenador: *Renato Sanches Freire* (IQUSP)

14:00 – 14:25 “Assessment of contamination of Amazonian streams by domestic sewage using sterols”  
*Giovana Anceski Bataglioni* (UFAM)

14:25 – 14:30 *Discussão*

14:30 – 14:45 “Bixin incorporated over a porous membrane as a biosorbent to remove mercury (II) from aqueous matrices”  
*Julia Condé Vieira* (UFMG)

14:45 – 14:50 *Discussão*

14:50 – 15:05 “Pigments’ profile of the polyextremophile *D. radiodurans* under extreme conditions for biosignature’s detection”  
*Larissa Lopes Cavalcante* (IQUSP)

15:05 – 15:10 *Discussão*

- 15:10 – 15:25 “Detection of *p*-aminophenol and sub-products formed during oxidative process in water and hair salon effluent”  
*João Carlos de Souza* (UNESP-IQAr)
- 15:25 – 15:30 *Discussão*
- 15:30 – 15:45 “Metallothionein and reduced glutathione: metal exposure biomarkers in rough-toothed dolphins (*Steno bredanensis*)”  
*Fernanda Sousa Monteiro* (PUC-RIO)
- 15:45 – 15:50 *Discussão*
- 15:50 – 16:10 *Intervalo*
- 16:10 – 16:35 “Fósforo: implicações na segurança hídrica e alimentar”  
*Pedro Sérgio Fadini* (UFSCar)
- 16:35 – 16:40 *Discussão*
- 16:40 – 16:55 “Evaluation of the influence of the toll station construction in BR-040 in particulate matter concentrations”  
*Karmel Beringui de Oliveira da Silva* (PUC-RIO)
- 16:55 – 17:00 *Discussão*
- 17:00 – 17:15 “Economia circular na agropecuária: ensaios iniciais para estabilização de resíduos orgânicos e produção de biogás”  
*Cleder Alexandre Somensi* (IFC)
- 17:15 – 17:20 *Discussão*
- 17:20 – 17:45 “Atmospheric contaminants in the gas phase: assessment at low cost”  
*Vania Palmeira Campos* (UFBA)
- 17:45 – 17:50 *Discussão e Encerramento*

#### **QUÍMICA ANALÍTICA - I (SALA A-2)**

- Coordenadora: *Márcia Foster Mesko* (UFPEL)
- 14:00 – 14:25 “Contornando as dificuldades analíticas na determinação de H<sub>2</sub>S em fase gasosa”  
*Arnaldo Alves Cardoso* (UNESP)
- 14:25 – 14:30 *Discussão*
- 14:30 – 14:45 “On-column preconcentration of phenolic compounds by sequential injection chromatography”  
*Maria Soledad Moura S. Fernández Acevedo* (CENA-USP)
- 14:45 – 14:50 *Discussão*
- 14:50 – 15:05 “Detecção colorimétrica de H<sub>2</sub>O<sub>2</sub> em amostras de leite utilizando dispositivos analíticos fabricados em papel”  
*Bárbara Guerra de Souza Guinati* (UFG)
- 15:05 – 15:10 *Discussão*
- 15:10 – 15:25 “SS-FF-AAS as an alternative technique for elemental impurities determination in high purity graphite”  
*Rafael Francisco dos Santos* (UFSM)
- 15:25 – 15:30 *Discussão*
- 15:30 – 15:45 “Microdispositivo em papel para pseudotitulação ácido-base baseado em medida da distância”  
*Rafaela Ferreira de Oliveira* (UNEB)
- 15:45 – 15:50 *Discussão*
- 15:50 – 16:10 *Intervalo*
- 16:10 – 16:35 “Ordered predictors selection: new approaches for variable selection in multivariate calibration”  
*Reinaldo Francisco Teófilo* (UFV)
- 16:35 – 16:40 *Discussão*
- 16:40 – 16:55 “Development and validation of quantitative NMR method for illegal pesticides”  
*Luana Conte Crocoli* (UCS)



- 16:55 – 17:00 *Discussão*  
 17:00 – 17:15 “An on-line preconcentration system using ion-imprinted polymer for determination of bismuth in seawater employing atomic fluorescence spectrometry “  
*Caio Silva Assis Felix (UFBA)*  
 17:15 – 17:20 *Discussão*  
 17:20 – 17:45 “LIBS como ferramenta analítica no estudo de fontes hidrotermais oceânicas”  
*Ivo Milton Raimundo Jr (UNICAMP)*  
 17:45 – 17:50 *Discussão e Encerramento*

### **ENSINO DE QUÍMICA (Sala F-1)**

- Coordenador: *Márlon Herbert F. B. Soares (UFG)*  
 14:00 – 14:25 “Socioeconomic profile of Brazilian chemistry students: an analysis of the ENADE reports”  
*Dayse das Neves Moreira (UFPB)*  
 14:25 – 14:30 *Discussão*  
 14:30 – 14:45 “Factors that influence the rates of reactions: discussing concepts from experimental investigative activities”  
*Eliana Aparecida Silicz Bueno (UEL)*  
 14:45 – 14:50 *Discussão*  
 14:50 – 15:05 “Chemistry teaching for deprived of liberty: challenges of teaching in a recovery center”  
*Dhaniella Cristhina de Brito Oliveira (UEPA)*  
 15:05 – 15:10 *Discussão*  
 15:10 – 15:25 “A Arte como princípio formativo de pibidianos em Química”  
*Camila Silveira da Silva (UFPR)*  
 15:25 – 15:30 *Discussão*  
 15:30 – 15:45 “Use of photography as didactic approach for teaching Chemistry at high school groups”  
*Daniela Santos Anunciação (UFAL)*  
 15:45 – 15:50 *Discussão*  
 15:50 – 16:10 *Intervalo*  
 16:10 – 16:35 “The influence of “ear” validation process of teaching sequences on pre-service chemistry teacher preparation”  
*Amadeu Moura Bego (UNESP-IQAr)*  
 16:35 – 16:40 *Discussão*  
 16:40 – 16:55 “Atividades experimentais investigativas: visões e propostas de Professores de Química do Ensino Médio”  
*Luciane Hiromi Akahoshi (IQUSP)*  
 16:55 – 17:00 *Discussão*  
 17:00 – 17:15 “Use of experimental class and play activity in chemistry teaching: An experience in elementary education”  
*Danielle Rodrigues Monteiro da Costa (UEPA)*  
 17:15 – 17:20 *Discussão*  
 17:20 – 17:45 “Desafios e possibilidades no ensino de ligações químicas no nível médio”  
*Maurícius Selvero Pazinato (UFRGS)*  
 17:45 – 17:50 *Discussão e Encerramento*

### **QUÍMICA INORGÂNICA - I (Sala C-1)**

- Coordenador: *Ercules Epaminondas S. Teotonio (UFPB)*  
 14:00 – 14:25 “Materiais lamelares/fibrosos naturais e sintéticos: características estruturais e aplicações”  
*Fernando Wypych (UFPR)*

- 14:25 – 14:30 *Discussão*
- 14:30 – 14:45 “Complexos Fluorescentes de Lantânio-Espiropirano com Aplicações em Materiais Poliméricos”  
*Izadora Fonseca Reis (UNIFEI)*
- 14:45 – 14:50 *Discussão*
- 14:50 – 15:05 “Síntese e avaliação da eficiência da 5,10,15,20-tetraquis(4-metiltiofenil) porfirina para terapia fotodinâmica”  
*Matheus Henrique Ignacio Souto (UFMG)*
- 15:05 – 15:10 *Discussão*
- 15:10 – 15:25 “Compostos de  $\eta^6$ -arenorutênio(II) com ligantes fenilazo e feniloxadiazo: estabilidade, cinética de substituição de ligantes e atividade citotóxica em modelo de glioma humano”  
*Jaqueline Pazinato (UFPR)*
- 15:25 – 15:30 *Discussão*
- 15:30 – 15:45 “Oxidation catalysts based on ironporphyrin supported on diatomaceous earth”  
*Marcus Vinicius do Prado (UNIFRAN)*
- 15:45 – 15:50 *Discussão*
- 15:50 – 16:10 *Intervalo*
- 16:10 – 16:35 “Adsorption of sulfur containing molecules on the metallic substrates of the copper triad”  
*Izaura Cirino Nogueira Diogenes (UFC)*
- 16:35 – 16:40 *Discussão*
- 16:40 – 16:55 “Rigid bipodal ligand as molecular building block to construct new metal-organic frameworks”  
*Catiúcia Rodrigues M. Oliveira Matos (UFF)*
- 16:55 – 17:00 *Discussão*
- 17:00 – 17:15 “Ruthenium(II) terpyridine complexes containing heteroaryl-2-imidazole ligands featuring catalytic activity for water oxidation”  
*Luis Enrique Santa Cruz Huamaní (UNICAMP)*
- 17:15 – 17:20 *Discussão*
- 17:20 – 17:45 “Derivados porfirínicos: da avaliação fotofísica a aplicação em interação com biomoléculas”  
*Bernardo Almeida Iglesias (UFSM)*
- 17:45 – 17:50 *Discussão e Encerramento*

### **QUÍMICA DE MATERIAIS - I (Salas C-2 e 3)**

Coordenadora: *Marian Rosaly Davolos (UNESP-IQAr)*

- 14:00 – 14:25 “Polysaccharides - A versatile feedstock to design novel materials”  
*André Ricardo Fajardo (UFPEl)*
- 14:25 – 14:30 *Discussão*
- 14:30 – 14:45 “Synthesis of donor-acceptor (D-A) hybrids based on functionalized thiophene-imides for high fluorescent material development”  
*Marina de Ávila Costa (UFMG)*
- 14:45 – 14:50 *Discussão*
- 14:50 – 15:05 “Avaliação dos engaços de uva BRS Violeta e *Vitis labrusca* Isabel como potenciais precursores de carvão ativado para fins de adsorção”  
*Indira Carolina Brito Pires (IFPE)*
- 15:05 – 15:10 *Discussão*
- 15:10 – 15:25 “A scalable new platform to produce all-carbon low-cost paper-based electrodes”  
*João Paulo F. Bertacchi (UNICAMP)*
- 15:25 – 15:30 *Discussão*
- 15:30 – 15:45 “Synthesis and characterization of a conjugated metallopolymer complexed with terbium ions”  
*Emerson Cortez Gallego Campos (UFPR)*

- 15:45 – 15:50 *Discussão*  
 15:50 – 16:10 *Intervalo*  
 16:10 – 16:35 “New efforts to design enhanced efficiency fertilizers from natural resources”  
*Roselena Faez (UFSCar)*  
 16:35 – 16:40 *Discussão*  
 16:40 – 16:55 “From graphite to graphene: improving the Hummers method to produce high quality reduced graphene oxide (rGO)”  
*Danilo Argentoni Nagahoka (UPM)*  
 16:55 – 17:00 *Discussão*  
 17:00 – 17:15 “Estudo de reações biocatalíticas envolvendo microrganismos funcionalizados com óxidos metálicos”  
*Cristian Lins da Cruz Almeida (UFBA)*  
 17:15 – 17:20 *Discussão*  
 17:20 – 17:45 “Nanoparticles and nanocomposites for medical and environmental application”  
*Koiti Araki (IQUSP)*  
 17:45 – 17:50 *Discussão e Encerramento*

### **QUÍMICA MEDICINAL/QUÍMICA BIOLÓGICA (Sala D-1)**

Coordenadora: *Carolina Horta Andrade (UFG)*

- 14:00 – 14:25 “Contribuição para a busca de novos antimaláricos”  
*Núbia Boechat Andrade (FIOCRUZ)*  
 14:25 – 14:30 *Discussão*  
 14:30 – 14:45 “Evaluation of decoralin peptide identifies activity determinants and synthetic variants with *in vivo* activity”  
*Marcelo Der Torossian Torres (UFABC)*  
 14:45 – 14:50 *Discussão*  
 14:50 – 15:05 “Molecular modeling of thiosemicarbazones, candidate dual inhibitors of snake venoms metalloproteases and phospholipases A2”  
*Nathally Lima do Nascimento (UFRRJ)*  
 15:05 – 15:10 *Discussão*  
 15:10 – 15:25 “Evaluation of the interaction of  $\beta$ -carboline derivatives with DNA by molecular fluorescence and correlation with antiproliferative activity”  
*Marina de Magalhães Silva (UFAL)*  
 15:25 – 15:30 *Discussão*  
 15:30 – 15:45 “Evaluation of new inhibitors of homoserine dehydrogenase for the development of drugs against paracoccidiodomycosis”  
*Andrew Matheus Frederico Rozada (UEM)*  
 15:45 – 15:50 *Discussão*  
 15:50 – 16:10 *Intervalo*  
 16:10 – 16:35 “Affinity-based screening assays in the search of enzyme ligands”  
*Quezia Bezerra Cass (UFSCar)*  
 16:35 – 16:40 *Discussão*  
 16:40 – 16:55 Design of new analogs and investigation of SmTGR inhibition by fragments identified by X-ray crystallography”  
*Lauro Ribeiro de Souza Neto (FIOCRUZ)*  
 16:55 – 17:00 *Discussão*  
 17:00 – 17:15 “ADMET and pharmacokinetic parameters of antitrypanosomal / antitumoral analogues of licarin A”  
*Thiago Rahal Moraes (UNIFESP)*  
 17:15 – 17:20 *Discussão*  
 17:20 – 17:45 “Medicinal chemistry approaches for neglected tropical diseases”  
*Leonardo Luiz Gomes Ferreira (IFSC-USP)*  
 17:45 – 17:50 *Discussão e Encerramento*

## QUÍMICA ORGÂNICA - I (Salas F-2 e 3)

Coordenadora: *Fernanda Andreia Rosa* (UEM)

14:00 – 14:25 “Captura e transformação de CO<sub>2</sub> em espaços confinados”

*Jairton Dupont* (UFRGS)

14:25 – 14:30 *Discussão*

14:30 – 14:45 “New chiral oxazolidine-dihydropyridines”

*Rebeca Garcia Moura* (IQUSP)

14:45 – 14:50 *Discussão*

14:50 – 15:05 “Efficient synthesis of N-phenethylarylthioamides by Kindler reaction”

*Paula Romanhi dos Santos* (UFF)

15:05 – 15:10 *Discussão*

15:10 – 15:25 A Practical synthesis of densely substituted 2*H*-furo[3,2-*b*]benzopyran-2-ones”

*Wilson Elias Roza Nuñez* (UFBA)

15:25 – 15:30 *Discussão*

15:30 – 15:45 “Relationship between Hammett’s parameters and in silico density functional with tandem mass ESI-CID fragmentation: Dihydropyridines as prototype”

*Paulo Roberto dos Santos* (UCS)

15:45 – 15:50 *Discussão*

15:50 – 16:10 *Intervalo*

16:10 – 16:35 “Síntese de derivados da curcumina ligados a carboidratos potencialmente bioativos”

*Carolina Passarelli Gonçalves* (UFABC)

16:35 – 16:40 *Discussão*

16:40 – 16:55 “Abordagens complementares nas sínteses totais de (+)- e (-)-bernumidina”

*Tamiris Reissa Cipriano da Silva* (UNIFESP)

16:55 – 17:00 *Discussão*

17:00 – 17:15 “Síntese de selenoésteres mediante rearranjo sigmatrópico entre selenoacetilenos e difenilsulfóxido catalisada por ácido tríflico”

*Lucas Loss Baldassari* (UFRGS)

17:15 – 17:20 *Discussão*

17:20 – 17:45 “Fluoração nucleofílica catalítica promovida por éteres coroa, criptantes e derivados hidroxilados”

*Josefredo Rodriguez Pliego Júnior* (UFSJ)

17:45 – 17:50 *Discussão e Encerramento*

## QUÍMICA DE PRODUTOS NATURAIS - I (Salas D-2 e 3)

Coordenador: *Roberto Gomes de Souza Berlinck* (IQSC-USP)

14:00 – 14:25 “Duguetinine, an isoquinoline-derived alkaloid with an unprecedented skeleton from the bark of *Duguetia surinamensis* (Annonaceae)”

*Emmanoel Vilaça Costa* (UFAM)

14:25 – 14:30 *Discussão*

14:30 – 14:45 “Chemical composition of bufonids toads from legal Amazonia”

*Jacqueline Kerkhoff* (UFMT)

14:45 – 14:50 *Discussão*

14:50 – 15:05 “Chemical, cytotoxic and antimalarial study of *Dipteryx lacunifera*”

*Leonardo Santos Alexandre* (UFPI)

15:05 – 15:10 *Discussão*

15:10 – 15:25 “Evaluation of synthetic Peptidomimetics as cathepsin K inhibitors”

*Taynara Lopes Silva* (UFSCar)

15:25 – 15:30 *Discussão*

15:30 – 15:45 “Dereplication study by HPLC-MS-MS and activity against *Leishmania chagasi* of the leaf extract of *Trichilia emarginata*”

*Flávia Pereira Dias Viegas* (UNIFAL)

- 15:45 – 15:50 *Discussão*  
 15:50 – 16:10 *Intervalo*  
 16:10 – 16:35 “Natural product chemistry as a tool for ensuring the efficacy and safety of the use of medicinal products prepared with medicinal plants”  
*Esther Maria Ferreira Lucas (CEFET-MG)*  
 16:35 – 16:40 *Discussão*  
 16:40 – 16:55 “New steroidal saponins from *Solanum paniculatum* L. (Solanaceae) leaves”  
*Alexander Bárbaro Valerino Díaz (UNESP-IQAr)*  
 16:55 – 17:00 *Discussão*  
 17:00 – 17:15 “Bergenin from *Peltophorum dubium*: isolation and cytotoxicity and antioxidant activities of its chemical derivatives”  
*Oscar Caetano da Silva Neto (UFBA)*  
 17:15 – 17:20 *Discussão*  
 17:20 – 17:45 “Prospecção quimio-farmacológica de espécies brasileiras de Lauraceae - seleção de moléculas com ação antiparasitaria e antitumoral”  
*João Henrique Ghilardi Lago (UFABC)*  
 17:45 – 17:50 *Discussão e Encerramento*

**18:00-20:00 SESSÃO I DE DISCUSSÃO DE PAINÉIS (ExpoCenter II)**

**Atenção:** os painéis deverão ser fixados no período das 11:30 às 13:30 e retirados a partir das 20:00 até 9:00 do dia seguinte.

AMB-001 a AMB-035	ANA-001 a ANA-032
BEA-001 a BEA-008	BIO-001 a BIO-007
EDU-001 a EDU-022	ELE-001 a ELE-021
FIS-001 a FIS-015	INO-001 a INO-035
MAT-001 a MAT-044	MED-001 a MED-024
ORG-001 a ORG-038	QPN-001 a QPN-045
TEC-001 a FINAL	

**20:00-21:00 ASSEMBLEIAS REGIONAIS (Sala a definir)**

**21:00-22:00 SESSÃO DE HOMENAGENS (Sala C-2)**

**Medalha Simão Mathias**

- *Francisco José Krug (CENA-USP)*

**Prêmio SBQ de Inovação - Fernando Galembeck**

- *Jaime A. Rabi (Microbiológica Química e Farmacêutica Ltda)*

**JBCS Medal of Honor**

- *Richard G. Weiss (Georgetown University)*

**Prêmio Revista Virtual de Química**

- *Fabio Minoru Yamaji (UFSCar)*

**Prêmio PubliSBQ - Angelo da Cunha Pinto**

- *SciELO - Scientific Electronic Library Online*

## Quarta-feira – 23 de maio

### SBQ NA ESCOLA (Expocenter III)

- Manhã 1 - de 8:00 às 9:30
- Manhã 2 - de 9:45 às 11:15
- Noite - 19:30 - 21:00

### 08:00-10:00 MINICURSOS

#### 10:10-12:10 Sessão RSC-SBQ (Expo IV, espaço C)

- Aldo José G. Zarbin (UFPR)

- Dominic Tildesley (Immediate-past President da RSC)

- Carlos Roque Duarte Correia (UNICAMP)

“Noninnocent functional groups. enantioselective non-covalent substrate-directable heck and oxidative heck reactions: new paradigms and synthetic applications”

- Mirella Di Lorenzo (University of Bath)

“Screen printed fuel cell for self powered water quality monitoring”

### 14:00-15:50 SIMPÓSIO

#### Construindo o amanhã (Expo IV, espaço C)

Coordenador: Aldo José G. Zarbin (UFPR)

Palestrantes: Marcelo Marcos Morales (Diretor de Instituição do CNPq)

Ildu Castro Moreira (Presidente da SBPC)

Paulo Coutinho (Gerente do Instituto SENAI de Inovação)

### 16:00-17:00 CONFERÊNCIAS CONVIDADAS

#### Tetrapyrrole macrocycles – ancient molecules, brilliant future (Sala A-2)

- Jonathan S. Lindsey (North Carolina State University)

#### Learning with nature: chemical communication in microbial symbionts drives natural products discovery (Sala C-2)

- Mônica Tallarico Pupo (FCFRP-USP)

#### Química, arte e educação: soluções ou precipitações? (Sala D-2)

- Wilmo Ernesto Francisco Junior (UFAL)

### 17:00-18:00 CONFERÊNCIAS CONVIDADAS

#### Materials design for energy harvesting and storage: insights from first-principles theory (Sala A-2)

- Carlos Moyses Graca Araujo (Uppsala University, Uppsala, Sweden)

#### Responsive and programmable hybrid materials obtained from self-assembly of nanobuilding blocks (Sala C-2)

- Galo Soler Illia (Instituto de Nanosistemas, Universidad Nacional de San Martín, Buenos Aires, Argentina)

**Supramolecular approaches to control activity and selectivity in transition metal catalysis via the second coordination sphere** (Sala D-2)

- *Joost N. H. Reek* (University of Amsterdam)

**Programa de otimização de compostos líderes visando o desenvolvimento de candidatos clínicos em colaboração com a MMV e com a DNDi** (Sala F-2)

- *Luiz Carlos Dias* (UNICAMP)

**18:00-20:00 Sessão II de Discussão de Painéis** (Expocenter II)

**Atenção:** os painéis deverão ser fixados no período das 11:30 às 13:30 e retirados a partir das 20:00 até 9:00 do dia seguinte.

AMB-036 a AMB-070

ANA-033 a ANA-064

CAT-001 a CAT-017

COL-001 a COL-005

EDU-023 a EDU-045

ELE-022 a ELE-042

EST-001 a FINAL

FIS-016 a FIS-030

FOT-001 a FOT-008

INO-036 a INO-070

MAT-045 a MAT-090

MED-025 a MED-046

ORG-039 a ORG-075

QPN-046 a QPN-090

**18:00-20:00 Lançamento de Livros** (EXPOCENTER II)

**Título:** “**QUÍMICA – matéria, energia e transformações**”

**Autores:** *José Carlos de Azambuja Bianchi, Carlos Henrique Albrecht e Daltamir Justino Maia*

**Editora:** Editora do Brasil

**Título:** “**Fundamentos de Espectrometria e Aplicações**”

**Autores:** *Valdemar Lacerda Júnior (Editor) e Diversos Colaboradores*

**Editora:** Atheneu

**Título:** “**QUÍMICA ORGÂNICA – Estrutura e Propriedades de Compostos Orgânicos**”

**Autores:** *Paulo Marcos Donate (Editor do Volume), Arlene Conçalves Correa, Claudio Di Vitta, Flávio da Silva Emery, Giuliano Cesar Clososki, Luiz Alberto Beraldo de Moraes, Massami Yonashiro, Rosangela da Silva de Laurentiz*

**Editora:** Atheneu

**Título:** “**Estudos de Caso para o Ensino de Química 1**”

**Autores:** *Salete Linhares Queiroz e Erasmo Moisés dos Santos Silva*

**Editora:** CRV; Ano Edição: 2017

**Título:** “**Comunicação e Linguagem Científica: Guia para Estudantes de Química (2ª Edição)**”

**Autores:** *Salete Linhares Queiroz e Jane Raquel Silva de Oliveira*

**Editora:** Editora Átomo; Ano Edição: 2017

**Título:** “**Introdução à Modelagem Molecular para Química, Engenharia e Biomédicas: Fundamentos e Exercícios**”

**Autor:** *André Mauricio de Oliveira*

**Editora:** Appris

Título: **“Grandezas, Unidades e Símbolos em Físico-Química (Livro Verde)”**  
*Tradução atualizada para o Português (nas variantes brasileira e portuguesa)*  
*da 3ª edição em Inglês, coordenada por Romeu C. Rocha-Filho e Rui Fausto*  
Editora: Editora da SBQ - EditSBQ

**20:00-21:00 ASSEMBLEIAS DIVISIONAIS**

Divisão de Catálise (Sala D-1)  
Divisão de Eletroquímica e Eletroanalítica (Sala D-2)  
Divisão de Ensino de Química (Sala D-3)  
Divisão de Físico-química e Química Teórica (Sala F-1)  
Divisão de Fotoquímica (Sala F-2)  
Divisão de Produtos Naturais (Sala C-2)  
Divisão de Química Ambiental (Sala C-3)  
Divisão de Química Analítica (Sala A-1)  
Divisão de Química de Materiais (Sala A-2)  
Divisão de Química Inorgânica (Sala C-1)  
Divisão de Química Medicinal (Sala F-3)  
Divisão de Química Orgânica (Sala A-3)

**22:00 FESTA**



## Quinta-feira – 24 de maio

### SBQ NA ESCOLA (Expocenter II)

- Manhã 1 - de 8:00 às 9:30
- Manhã 2 - de 9:45 às 11:15

### 08:00-10:00 MINICURSOS

### 10:10-12:00 SESSÕES TEMÁTICAS

#### Energia: uma abordagem multidisciplinar (Sala A-1)

Coordenadoras: *Shirley Nakagaki Bastos* (UFPR)

*Célia Machado Ronconi* (UFF)

*Clésia Cristina Nascentes* (UFMG)

*Maria Valnice B. Zanoni* (IQAr-UNESP)

Palestrantes: *Ana Flávia Nogueira* (UNICAMP)

**“Nanomaterials applied to solar energy conversion”**

*Marco Antônio Chaer do Nascimento* (UFRJ)

**“Células fotovoltaicas do tipo Gratzel”**

*Roberto Manuel Torresi* (USP)

**“O protagonismo da eletroquímica na disrupção tecnológica da distribuição, armazenamento e conversão de energia”**

#### A química da vida: da célula ao reator (Sala A-2)

Coordenadores: *Mauricio Moraes Victor* (UFBA)

*Rafael Victorio Carvalho Guido* (USP)

*Roberto Gomes de S. Berlinck* (IQSC-USP)

Palestrantes: *Rodrigo Octavio M. Alves de Souza* (UFRJ)

*Marin van Heel* (LNNano-CNPEN)

*Gregory Challis* (University of Warwick)

#### Elas, as cientistas! (Sala A-3)

Coordenadoras: *Elisa Orth* (UFPR)

*Rossimiriam P. de Freitas* (UFMG)

Palestrantes: *Yvonne Primerano Mascarenhas* (IFSC-USP)

**“Women in Science and Society”**

*Paulina Pavez* (Pontificia Univ. Católica de Chile)

**“Women and research in Chile”**

*Elisama Vieira dos Santos* (UFRN)

**“Women in Brazilian Science”**

#### Os desafios na formação do profissional da química no âmbito da transformação digital: Química 4.0 (Sala C-2)

Coordenador: *Fernando Tibau* (Gerente de Inovação e Assuntos Regulatórios ABIQUIM)

Mesa Redonda: *Luiz Henrique Catalani* (IQUSP) – Moderador

*Reinaldo Spitzner Neto* (Diretor de Função Industrial da América Latina, SOLVAY) – Palestrante

*Alex Rodrigues* (Gerente de gestão estratégica, BRASKEM) - Palestrante

**13:00-15:00 Sessão III DE DISCUSSÃO DE PAINÉIS (EXPOCENTER II)**

**Atenção:** os painéis deverão ser fixados no período das 09:30 às 11:30 e retirados a partir das 15:00 até às 19:00.

AMB-071 a FINAL	ANA-065 a FINAL
BEA-009 a FINAL	BIO-008 a FINAL
CAT-018 a FINAL	COL-006 a FINAL
EDU-046 a FINAL	ELE-043 a FINAL
FIS-031 a FINAL	FOT-009 a FINAL
INO-071 a FINAL	MAT-091 a FINAL
MED-047 a FINAL	ORG-076 a FINAL
QPN-091 a FINAL	QVE-001 a FINAL
TEO-001 a FINAL	

**15:00-18:30 SESSÕES COORDENADAS****QUÍMICA AMBIENTAL - II (Sala A-1)**

Coordenadora: *Márcia Cristina Bisinoti* (UNESP)

15:00 – 15:25 “Importância dos compostos orgânicos voláteis para a química da atmosfera da região metropolitana de São Paulo”  
*Adalgiza Fornaro* (IAG-USP)

15:25 – 15:30 *Discussão*

15:30 – 15:45 “Hidrocarbonetos policíclicos aromáticos (HPA) no material particulado (MP) do estado de Goiás”  
*Dênia Kássia Aureliano Dal Castel* (UFG)

15:45 – 15:50 *Discussão*

15:50 – 16:05 “Influência da adição de matéria orgânica em interações metal nanoparículas”  
*Daniele Frasson Vieira* (UNESP)

16:05 – 16:10 *Discussão*

16:10 – 16:25 “Evaluation of arsenic bioavailability in waste from cyanidation gold processing using sequential extraction schemes (SES)”  
*Daniel Alves Barcelos* (UFRJ)

16:25 – 16:30 *Discussão*

16:30 – 16:45 “Development of a nanomaterial incorporated with bixin: a sustainable approach for dye removal from aqueous matrices”  
*Junielly Tomaz Domingues* (UFMG)

16:45 – 16:50 *Discussão*

16:50 – 17:15 “UV-C/H<sub>2</sub>O<sub>2</sub>, microfiltration and reverse osmosis applied to remove emerging contaminants considering the potable reuse treatment of water”  
*Cassiana Carolina Montagner* (UNICAMP)

17:15 – 17:20 *Discussão*

17:20 – 17:35 “Utilização da mistura de macrófitas aquáticas para tratamento de efluentes contendo corante”  
*Rachel de Moraes Ferreira* (FIOCRUZ)

17:35 – 17:40 *Discussão*

17:40 – 17:55 “Influence of the iron source and pH on degradation of fipronil by photoFenton process”  
*Oswaldo Gomes Junior* (UFU)

17:55 – 18:00 *Discussão*

- 18:00 – 18:25 “C lábil em solos do Paraná – correlações utilizando análise multivariada”  
*Ísis Kaminski Caetano (UNICENTRO)*
- 18:25 – 18:30 *Discussão e Encerrament*

#### **QUÍMICA ANALÍTICA - II (Sala A-2)**

Coordenador: *Josué Carinhonha Caldas Santos (UFAL)*

- 15:00 – 15:25 “Biopolímeros como adsorventes de espécies elementares e orgânicas para análises de águas por técnicas espectrométricas”  
*Pedro Vitoriano de Oliveira (IQUSP)*
- 15:25 – 15:30 *Discussão*
- <15:30 – 15:45 “Luminomagnetic core-shell nanoparticles for detection of metallic ions”  
*Eliane Ayumi Namikuchi (UNICAMP)*
- 15:45 – 15:50 *Discussão*
- 15:50 – 16:05 “Polydiacetylene/triblock copolymer nanosensor for the detection of lidocaine in the presence of cocaine adulterants”  
*Thaís Silva Soares (UFV)*
- 16:05 – 16:10 *Discussão*
- 16:10 – 16:25 “Development and validation of a LC-MS/MS method for analysis of fentanyl and its analogs in stamps”  
*Jandyson Machado Santos (UNICAMP)*
- 16:25 – 16:30 *Discussão*
- 16:30 – 16:45 “Development and validation of a method to quantify acetaminophen in plasma from small rodents for the study of gastric emptying alterations”  
*Monica Regina Pimentel Siqueira (UERJ)*
- 16:45 – 16:50 *Discussão*
- 16:50 – 17:15 “Versatile extraction phases: from sample preparation to direct injection techniques”  
*Andréa Rodrigues Chaves (UFG)*
- 17:15 – 17:20 *Discussão*
- 17:20 – 17:35 “3D-printed platform for highly-reproducible handling of microvolumes and nanofluidic injection coupled to electrochemical detection”  
*Dianderson Mendonça (UFU)*
- 17:35 – 17:40 *Discussão*
- 17:40 – 17:55 “Synthesis and application of molecularly impressed polymers for the extraction of caffeine from food and beverage samples”  
*Fernanda Neves Feiteira (UFF)*
- 17:55 – 18:00 *Discussão*
- 18:00 – 18:25 “A experiência do Laboratório de Química Analítica Fundamental e Aplicada da UFF em amostras ambientais e de alimentos”  
*Annibal Duarte Pereira Netto (UFF)*
- 18:25 – 18:30 *Discussão e Encerramento*

#### **CATÁLISE (Sala D-1)**

Coordenador: *Dalmo Mandelli (UFABC)*

- 15:00 – 15:25 “Bimetallic nanoparticles for H<sub>2</sub> production: what is the true phase of the catalyst during reaction”  
*Daniela Zanchet (UNICAMP)*
- 15:25 – 15:30 *Discussão*
- 15:30 – 15:45 “Cobalt(II) complexes of bidentate Schiff bases derived from cycloalkylamines as mediators in controlled radical polymerization of vinyl acetate”  
*Yan Fraga da Silva (UNESP)*
- 15:45 – 15:50 *Discussão*

- 15:50 – 16:05 “Chemical modification of gum arabic for dephosphorylation reactions: hydroxamate-derived biocatalyst”  
*William Hideki Takarada (UFPR)*
- 16:05 – 16:10 *Discussão*
- 16:10 – 16:25 “Use of Carboxyl Cellulose Metal Complexes in Heterogeneous Catalytic Systems to Promote Suzuki-Miyaura Coupling”  
*Guilherme Bandeira Candido Martins (UnB)*
- 16:25 – 16:30 *Discussão*
- 16:30 – 16:45 “Novel fragrant aldehydes via hydroformylation of the bio renewable valencene”  
*Gabriel Matos Vieira (UFMG)*
- 16:45 – 16:50 *Discussão*
- 16:50 – 17:15 “Solventless liquid phase conversion of glycerol with CO<sub>2</sub>”  
*Pedro Pablo Florez Rodriguez (UFAL)*
- 17:15 – 17:20 *Discussão*
- 17:20 – 17:35 “Heterogeneous acid catalysts based on sulfonated graphene like structures produced from bio-oil”  
*Fabiane Carvalho Ballotin (UFMG)*
- 17:35 – 17:40 *Discussão*
- 17:40 – 17:55 “Síntese de compostos de aroma catalisados por lipases através do reaproveitamento da borra de café”  
*Regiane Késsias Sousa Lira (UFRJ)*
- 17:55 – 18:00 *Discussão*
- 18:00 – 18:25 “Pushing the boundaries of gold catalysis”  
*Liane Marcia Rossi (IQUSP)*
- 18:25 – 18:30 *Discussão e Encerramento*

#### **ELETRQUÍMICA E ELETRONALÍTICA (Sala D-2)**

- Coordenador: *Nelson Ramos Stradiotto (IQAr-UNESP)*
- 15:00 – 15:25 “Why could the nature of surface facets lead to differences in the activity and stability of metal oxide-based electrochemical sensors?”  
*Susana Inés Córdoba de Torresi (IQUSP)*
- 15:25 – 15:30 *Discussão*
- 15:30 – 15:45 “Development of an electrochemical lectin-based biosensor using a novel galectin-1-maltose binding protein fusion molecule”  
*Pâmela Oliveira Martins Gomes (FCFRP-USP)*
- 15:45 – 15:50 *Discussão*
- 15:50 – 16:05 “Electrochemical sensor based on MIP grafted on multi-walled carbon nanotubes for 17-beta-estradiol determination”  
*Fernanda Garcia de Almeida (UEL)*
- 16:05 – 16:10 *Discussão*
- 16:10 – 16:25 “Niobium as co-electrocatalyst for Pd in alkaline medium: improved selectivity and mechanism for ethanol electrooxidation reaction”  
*Felipe de Moura Souza (UFABC)*
- 16:25 – 16:30 *Discussão*
- 16:30 – 16:45 “Influence of the electrode and chaotropicity of the electrolyte on the oscillatory behavior of the electrocatalytic oxidation of SO<sub>2</sub>”  
*Renan Lopes Munhos (IQUSP)*
- 16:45 – 16:50 *Discussão*
- 16:50 – 17:15 “Advances on batch-injection analysis: new materials for improved electrochemical detection and *on-site* applications”  
*Rodrigo Alejandro Abarza Muñoz (UFU)*
- 17:15 – 17:20 *Discussão*

- 17:20 – 17:35 “Evaluation of sulfonamide-based anilines as a corrosion inhibitor for 1020 carbon steel “  
*Vinícius Latgé Meira (IFRJ)*
- 17:35 – 17:40 *Discussão*
- 17:40 – 17:55 “Correlating surface growth of nanoporous gold with electrodeposition parameters to optimize amperometric sensing of nitrite”  
*Josué Martins Gonçalves (IQUSP)*
- 17:55 – 18:00 *Discussão*
- 18:00 – 18:25 “Rational design of carbon material for nanomedicine applications”  
*Zeki Naal (FCFRP-USP)*
- 18:25 – 18:30 *Discussão e Encerramento*

### **FÍSICO-QUÍMICA/QUÍMICA TEÓRICA/QUÍMICA DE SUPERFÍCIES E COLÓIDES (Sala D-3)**

- Coordenador: *Nelson Henrique Morgon (UNICAMP)*
- 15:00 – 15:25 “Chiromagnetic nanoparticles and gels”  
*André Farias de Moura (UFSCar)*
- 15:25 – 15:30 *Discussão*
- 15:30 – 15:45 “Superhydrophobic self-cleaning surfaces and slippery lubricated ones effect upon inorganic scaling”  
*Filipe Signorelli (UNICAMP)*
- 15:45 – 15:50 *Discussão*
- 15:50 – 16:05 “Surface modification of aseptic carton package for energy harvesting devices”  
*Kelly Schneider Moreira (UFMS)*
- 16:05 – 16:10 *Discussão*
- 16:10 – 16:25 “Microbial habitability of Europa sustained by radioactive sources”  
*Douglas Galante (CNPEM)*
- 16:25 – 16:30 *Discussão*
- 16:30 – 16:45 “Evaluation of the power conversion efficiencies of organic photovoltaic devices - theoretical investigation”  
*Gabriela Martinez Miranda (UFPR)*
- 16:45 – 16:50 *Discussão*
- 16:50 – 17:15 “Structure–behavior study of “hybrid cyanine” phenolate dyes which exhibit inverted solvatochromism”  
*Vanderlei Gageiro Machado (UFSC)*
- 17:15 – 17:20 *Discussão*
- 17:20 – 17:35 “The use of agro-industrial waste and *Moringa oleifera* leaves as antioxidants’ sources for soy oil biodiesel”  
*Marcia Gabriela Pianaro Valenga (UNICENTRO)*
- 17:35 – 17:40 *Discussão*
- 17:40 – 17:55 “Topological study of interactions between some inhibitors and ALK-5 using QTAIM methodology”  
*Michell de Oliveira Almeida (UFABC)*
- 17:55 – 18:00 *Discussão*
- 18:00 – 18:25 “Interactions of biomolecules with cell membrane models probed by sum-frequency vibrational spectroscopy”  
*Rafael de Oliveira Pedro (IQSC-USP)*
- 18:25 – 18:30 *Discussão e Encerramento*

### **FOTOQUÍMICA (Sala F-1)**

- Coordenador: *Antonio Eduardo da Hora Machado (UFU)*
- 15:00 – 15:25 “Nature-inspired fluorescent betalains”  
*Erick Leite Bastos (IQUSP)*
- 15:25 – 15:30 *Discussão*

- 15:30 – 15:45 “Estudo da interação entre azul de metileno e curcumina para uso em terapia fotodinâmica combinada com antiangiogênica”  
*Rodrigo Costa e Silva (UFG)*
- 15:45 – 15:50 *Discussão*
- 15:50 – 16:05 “Síntese e caracterização do complexo [Ru(phen)<sub>2</sub>(iso)]PF<sub>6</sub>”  
*Beatriz Pachel (UFSCar)*
- 16:05 – 16:10 *Discussão*
- 16:10 – 16:25 “Photocatalyzed [2+2]-cycloaddition of 3-(2-oxo-2-phenylethylidene)-2-oxindole by ruthenium complexes”  
*Rodolfo Inéz Teixeira (UFRJ)*
- 16:25 – 16:30 *Discussão*
- 16:30 – 16:45 “Synthesis and photophysical studies of new fluorescent N-acylhydrazone and semicarbazone-7-NET<sub>2</sub>-coumarin dyes”  
*Thiago Moreira Pereira (UFRRJ)*
- 16:45 – 16:50 *Discussão*
- 16:50 – 17:15 “Fotodegradação de diclofenaco de sódio e monitoramento de redução de toxicidade”  
*Danilo Rodrigues de Souza (UFOB)*
- 17:15 – 17:20 *Discussão*
- 17:20 – 17:35 “Produção fotoquímica de O<sub>2</sub> e H<sub>2</sub> a partir da água usando um complexo triscarbonil de Mn(I) na ausência de oxidantes”  
*Rafael Cavalieri Marchi (UFSCar)*
- 17:35 – 17:40 *Discussão*
- 17:40 – 17:55 “Amyloid beta monitoring through a Ru(II) Complex: Luminescent probe candidate for early diagnosis of Alzheimer’s disease”  
*Mariana Pigozzi Cali (UFSCar)*
- 17:55 – 18:00 *Discussão*
- 18:00 – 18:25 “Photobleaching comportament of different phthalocyanines with a similar singlet oxygen quantum yield”  
*André Romero da Silva (IFES)*
- 18:25 – 18:30 *Discussão e Encerramento*

## **QUÍMICA INORGÂNICA - II (Sala C-1)**

Coordenador: *André Luiz B. Formiga (UNICAMP)*

- 15:00 – 15:25 “Modificação de mesoporos de sílica para aplicação em adsorção”  
*Maria Helena de Araujo (UFMG)*
- 15:25 – 15:30 *Discussão*
- 15:30 – 15:45 “Synthesis and characterization of basic catalysts designed by calixarenes or silicas to take advantage of glycerol”  
*Daniela Machado (UNIFESP)*
- 15:45 – 15:50 *Discussão*
- 15:50 – 16:05 “Novel binuclear chromium(III) complexes with potential application as building blocks in single molecule magnets synthesis”  
*Bruno José Stoeberl (UTFPR)*
- 16:05 – 16:10 *Discussão*
- 16:10 – 16:25 “Iron (III) dinuclear metallacycle cavity as an effective ammonia storage system”  
*Ingrid Fernandes Silva (UFMG)*
- 16:25 – 16:30 *Discussão*
- 16:30 – 16:45 “Synthesis, characterization and biological activity of complex nitrosyls”  
*Iury Araújo Paz (UFC)*
- 16:45 – 16:50 *Discussão*

- 16:50 – 17:15 “Organic and inorganic amphiphiles as a basis for new antitumors, thin films and devices”  
*Herbert Winnischofer (UFPR)*
- 17:15 – 17:20 *Discussão*
- 17:20 – 17:35 “Helical coordination polymer from manganese(II) 16-metallacrown-6 recognition of zwitterionic L-glutamate”  
*Thomaz Arruda Wioppiold (UFMS)*
- 17:35 – 17:40 *Discussão*
- 17:40 – 17:55 “Investigation of the adduct between chlorite and chlorine dioxide by electronic spectroscopy”  
*Gláucia Wanzeller Martins (UFRJ)*
- 17:55 – 18:00 *Discussão*
- 18:00 – 18:25 “Porfirinas de manganês: catalisadores versáteis para a oxidação de substratos orgânicos por vias mais sustentáveis”  
*Gilson de Freitas Silva (UFMG)*
- 18:25 – 18:30 *Discussão e Encerramento*

### **QUÍMICA DE MATERIAIS - II (Salas C-2 e 3)**

- Coordenador: *Patrícia Pommé Confessori Sartoratto (UnB)*
- 15:00 – 15:25 “Functionalization and nanocatalysis: the perfect match!”  
*Elisa Souza Orth (UFPR)*
- 15:25 – 15:30 *Discussão*
- 15:30 – 15:45 “Novel conducting, biocompatible and biodegradable copolymer PEDOT-co-PLLA for biomedical applications”  
*Aruã Clayton da Silva (IQUSP)*
- 15:45 – 15:50 *Discussão*
- 15:50 – 16:05 “Influence of different fuels in the combustion synthesis of copper vanadate and its application in photocatalysis”  
*Luan Pereira Camargo (UEL)*
- 16:05 – 16:10 *Discussão*
- 16:10 – 16:25 “Rare earth oxide-based nanoparticles with application in photodynamic therapy for cancer”  
*Bianca Almeida da Silva (PUC-Rio)*
- 16:25 – 16:30 *Discussão*
- 16:30 – 16:45 “Preparation of BiVO<sub>4</sub>-decorated ZnO nanorods for oxygen evolution using photo-electrocatalysis”  
*Rafael Mascarenhas de Almeida (UFABC)*
- 16:45 – 16:50 *Discussão*
- 16:50 – 17:15 “The size effect and hierarchical nanostructuring on semiconductor and metallic materials”  
*Italo Odone Mazali (UNICAMP)*
- 17:15 – 17:20 *Discussão*
- 17:20 – 17:35 “Study of LCC and chitosane gel toxicity: parametrisation in arthropod test”  
*Francisco Cardoso Figueiredo (UFPI)*
- 17:35 – 17:40 *Discussão*
- 17:40 – 17:55 “Photoluminescence and scintillation of GdOCl:Eu<sup>3+</sup> obtained from homogeneous precipitation method”  
*Maike de Oliveira Krauser (UNESP-IQAr)*
- 17:55 – 18:00 *Discussão*
- 18:00 – 18:25 “Banana-shaped and ionic liquid crystals derived from N-heterocycles: Synthesis and mesomorphic characterization”  
*Hugo A. Gallardo Olmedo (UFSC)*
- 18:25 – 18:30 *Discussão e Encerramento*

## QUÍMICA ORGÂNICA - II (Sala -A-3)

Coordenador: *Cristiano Raminelli* (UNIFESP)

- 15:00 – 15:25 “On the synthesis of bioactive quinoidal molecules via C-H functionalization logic: A new frontier for potent trypanocidal quinones”  
*Eufrânio Nunes da Silva Júnior* (UFMG)
- 15:25 – 15:30 *Discussão*
- 15:30 – 15:45 “Palladium-catalyzed carbonylative  $\alpha$ -arylation of azlactones”  
*Danielle Lobo Justo Pinheiro* (UFJF)
- 15:45 – 15:50 *Discussão*
- 15:50 – 16:05 “Reações de bromoaminociclicização enantiosseletivas”  
*Jullyane Emi Matsushima* (UNIFESP)
- 16:05 – 16:10 *Discussão*
- 16:10 – 16:25 “Laccase-catalyzed synthesis of dimers from 2,6-DMP: Optimization of TMBP synthesis and evaluation of its antioxidant action in biodiesel”  
*Jeseka Gabriela Schirmann* (UEL)
- 16:25 – 16:30 *Discussão*
- 16:30 – 16:45 “Arylation of  $\beta$ -ketosulfoxonium ylides with arynes: a direct synthesis of pro-chiral ylides and mono-arylated ketones”  
*Alexander Garay Talero* (IQSC-USP)
- 16:45 – 16:50 *Discussão*
- 16:50 – 17:15 “C-H functionalization. An efficient synthetic strategy for the synthesis of poly-aromatic fluorophores”  
*Simon John Garden* (UFRJ)
- 17:15 – 17:20 *Discussão*
- 17:20 – 17:35 “Silver-catalyzed direct selenylation of indoles”  
*Elise Ane Maluf Rios* (UFPR)
- 17:35 – 17:40 *Discussão*
- 17:40 – 17:55 “Continuous flow biocatalyzed process enhanced production of (r)-1,2-propanediol mediated by immobilized candida antarctica lipase B”  
*Anderson Rodríguez Aguilón* (UFRJ)
- 17:55 – 18:00 *Discussão*
- 18:00 – 18:25 “Síntese total de produtos naturais bioativos”  
*Julio Cezar Pastre* (UNICAMP)
- 18:25 – 18:30 *Discussão e Encerramento*

## QUÍMICA DE PRODUTOS NATURAIS - II (Salas F-2 e 3)

Coordenadora: *Eliane de Oliveira Silva* (UFBA)

- 15:00 – 15:25 “Espectrometria de massas sequencial e molecular networking para a desreplicação/descoberta de azafilonas do fungo *Penicillium sclerotigenum*”  
*Hector Henrique Ferreira Koolen* (UEA)
- 15:25 – 15:30 *Discussão*
- 15:30 – 15:45 Antitrypanosomal activity and evaluation of the mechanism of action of acetogenins from the seeds of *Porcelia macrocarpa* (Annonaceae)”  
*Emerson Alves de Oliveira* (UNIFESP)
- 15:45 – 15:50 *Discussão*
- 15:50 – 16:05 “Potencial antiproliferativo em células tumorais humanas do alcaloide 4-N-óxido-harmano isolado da espécie *Psychotria schlechtendaliana*”  
*José Guilherme de Souza Corrêa* (UEM)
- 16:05 – 16:10 *Discussão*
- 16:10 – 16:25 “Butenolídeos com atividade anti-*Leishmania* isolados de *Nectandra oppositifolia* Ness & Mart (Lauraceae)”  
*Geanne Alexandra Alves Conserva* (UFABC)
- 16:25 – 16:30 *Discussão*



- 16:30 – 16:45 “Evaluation of the effect on the mitochondrial membrane potential in *L. amazonensis* caused by calealactone C isolated from *Calea pinnatifida*”  
*Lhais Araújo Caldas* (UNIFESP)
- 16:45 – 16:50 *Discussão*
- 16:50 – 17:15 “Molecular Networking como uma Estratégia de Desreplicação de *Hymenaea stigonocarpa* (Fabaceae)”  
*Vanessa Gisele Pasqualloto Severino* (UFG)
- 17:15 – 17:20 *Discussão*
- 17:20 – 17:35 “Chemical composition and mineral content in monofloral bee pollen from *Elaeis guineensis*”  
*Ayala Nara Pereira Gomes* (UFRPE)
- 17:35 – 17:40 *Discussão*
- 17:40 – 17:55 “Interações químicas de micro-organismos presentes no formigueiro das formigas cortadeiras: análise do metabolismo secundário do cocultivo do fungo mutualista, *Leucoagaricus gongylophorus*, com fungos negros”  
*Alana Kelyene Pereira* (UFSCar)
- 17:55 – 18:00 *Discussão*
- 18:00 – 18:25 “*Citrus* phytopathogens battle: A nature’s story of chemical warfare and survival”  
*Taícia Pacheco Fill* (UNICAMP)
- 18:25 – 18:30 *Discussão e Encerramento*

**19:00**

**ASSEMBLEIA GERAL ORDINÁRIA DA SOCIEDADE BRASILEIRA DE QUÍMICA** (Expocenter IV)  
Após o término da Assembleia, coquetel de Encerramento

## Expositores



**AGILENT Technologies Brasil Ltda.**

[www.agilent.com](http://www.agilent.com)



**BÜCHI Brasil Ltda.**

[www.buchi.com/en/worldwide/brasil](http://www.buchi.com/en/worldwide/brasil)



**GVS do Brasil Ltda.**

[www.gvs.com/](http://www.gvs.com/)



**MBRAUN Inc.**

[www.mbraun.com](http://www.mbraun.com)



**METROHM Pensalab Instrumentação Analítica Ltda.**

[www.metrohm.com.br/](http://www.metrohm.com.br/)



**PENSALAB Equipamentos Industriais S.A.**

[www.pensalab.com.br](http://www.pensalab.com.br)



**Royal Society of Chemistry, RSC**

[www.rsc.org](http://www.rsc.org)



**SIGMA-ALDRICH**

**SIGMA-ALDRICH Brasil Ltda.**

[www.sigmaaldrich.com/brazil.html](http://www.sigmaaldrich.com/brazil.html)



**Bruker do Brasil Com. Rep. de Prod. Cient.**

[www.bruker.com](http://www.bruker.com)



[www.gov.uk/world/organisations/british-embassy-brazil.pt](http://www.gov.uk/world/organisations/british-embassy-brazil.pt)



**HORIBA Scientific**

[www.horiba.com/br/scientific/](http://www.horiba.com/br/scientific/)



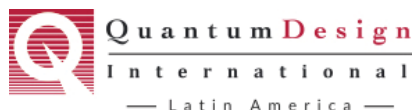
**Maxcrom Instrumentos Científicos Ltda.**

[allcrom.com.br](http://allcrom.com.br)



**NOVA ANALÍTICA Imp. e Exp. Ltda.**

[www.analiticaweb.com.br](http://www.analiticaweb.com.br)



**Quantum Design International - Latin America**

[qd-latam.com](http://qd-latam.com)



**SHIMADZU do Brasil Comércio Ltda.**

[www.shimadzu.com.br](http://www.shimadzu.com.br)



**THE SCIENCE OF WHAT'S POSSIBLE.®**

**Waters Comercial Ltda.**

[www.waters.com/waters/home.htm](http://www.waters.com/waters/home.htm)

- AMB-001 Hidrocarbonetos policíclicos aromáticos (HPA) no material particulado (MP) do estado de Goiás.** Castel, D. K. A. D. (PG); Araújo, E. S. (TC); Melo, G. R. (TC); Urban, R. C. (PQ) UFG
- AMB-002 Evaluation of the Influence of the toll station construction in BR-040 in particulate matter concentrations.** Silva, K. B. O. (PQ); Ribeiro, J. P. R. (IC); Dionisio, E. R. (PQ); Maia, L. F. P. G. (PQ); Gioda, A. (PQ) PUC-RIO
- AMB-003 Concentration of aliphatic and polycyclic aromatic compounds in atmospheric samples collected around a petrochemical site at São Paulo, Brazil.** Caumo, S. (PG); Custódio, D. (PQ); Vicente, A. (PQ); Alves, C. (PQ); Vasconcellos, P. C. (PQ) IQUSP
- AMB-004 Evaluation of lead exposure in cooperative recycling workers.** Regina, C. A. C. (PG); Furtado, D. Z. S. (PG); Naozuka, J. (PQ); Silva, H. D. T. (PQ); Bechara, E. J. H. (PQ); Assuncao, N. A. (PQ) UNIFESP-Diadema
- AMB-005 Estudo das taxas de emissão de aldeídos provenientes de uma câmara de combustão com OEC sob excitação acústica.** Cavalcante, J. B. H. (IC); Pereira, A. R. B. (PQ); Santos, A. A. B. (PQ); dos Anjos, J. P. (PQ); Guarieiro, L. L. N. (PQ) SENAI CIMATEC
- AMB-006 The impact of Tijuca Forest in the mitigation of CO<sub>2</sub>.** Silva, C. M. de (PQ); Souza, T. de C. (IC); Dantas, T. C. (IC); Silva, L. L. da (IC); Corrêa, S. M. (PQ); Arbillia, G. (PQ) UFRJ
- AMB-007 Carbonyl Compounds in Tijuca Forest, the largest secondary urban rainforest in the world, and Rio de Janeiro urban area.** Braga, A. (PG); Siciliano, B. (PG); Dantas, G. (PG); Silva, C. M. de (PQ); Arbillia, G. (PQ) UFRJ
- AMB-008 Hourly isoprene concentrations in an urban forest, São Paulo megacity.** Santos, T. C. (PG); Dominutti, P. A. (PQ); Nogueira, T. (PQ); Fornaro, A. (PQ) IAG-USP
- AMB-009 Contaminants in the gas phase, in the atmosphere of the Todos os Santos Bay - Ba.** Santana, F. O. (PG); Barbosa, J. L. (PG); Brito, A. V. S. (IC); Campos, V. P. (PQ) UFBA
- AMB-010 Characterization of the morphological and mineral composition of total suspended particles collected in an urban area by SEM-EDS.** Araujo, R. G. O. (PQ); Costa, S. S. L. (PQ); Alves, J. C. (FM); Ribeiro, V. S. (PG); Garcia, C. A. B. (PQ); da Rocha, G. O. (PQ) UFBA
- AMB-011 Hidrocarbonetos policíclicos aromáticos em águas do complexo lagunar de Jacarepaguá, Rio de Janeiro, RJ.** Souza, T. M. (PG); Sobrinho, M. L. (PQ); Bernardes, M. C. (PQ); Pereira Netto, A. D. (PQ) UFF
- AMB-012 Etanol, peróxido de hidrogênio e acetaldeído na atmosfera de Ribeirão Preto e São Paulo: cidades impactadas pelo uso de etanol combustível.** Scaramboni, C. (PG); Campos, M. L. A. M. (PQ) FFCLRP-USP
- AMB-013 Use of moss bag technique, Sphagnum subsecundum as biofilter, for the monitoring of metals in the air in the city of Barreiras-BA.** Leite, O. D. (PQ); De Sá, C. F. (PG); Ogava, L. E. (PG); Da Guarda, L. D. C. (PG); Santos, J. L. O. (PQ); Torquato, A. S. (PQ); Flores, E. L. M. (PQ) UFOB
- AMB-014 High uranium concentrations in the groundwater of the Rio de Janeiro State Mountainous Region.** Godoy, J. M. (PQ); Ferreira, P. R. (PQ); Souza, E. M. (PQ); Silva, L. I. (IC); Bittencourt, I. (IC); Fraifeld, F. (IC) PUC-RIO
- AMB-015 Detection of p-aminophenol and sub-products formed during oxidative process in water and hair salon effluent.** Souza, J. C. (PG); Silva, B. F. (TC); Zanoni, M. V. B. (PQ) IQAr-UNESP
- AMB-016 Quantification and statistical evaluation of metals and metalloids in water samples from Barra Longa after the rupture of the Fundão dam (Mariana).** Diniz, C. F. S. (PG); Nascentes, C. C. (PQ); Windmüller, C. C. (PQ) UFMG
- AMB-017 Assessment of the risk of contamination of water resources by pesticides in the city of Petrolina - PE.** Oliveira, F. P. S. (IC); Nunes, J. T. L. (IC); Almeida, M. D. S. (PQ); Oliveira, A. H. B. (PQ); Melo, D. Q. (PQ); Vieira, G. A. B. (PQ) IF-Sertão Pernambucano
- AMB-018 Optimization of large volume injection for determination of organophosphorus flame retardants in river water by GC-MS.** Cristale, J. (PQ); Fagnani, E. (PQ) FT-UNICAMP
- AMB-019 Determinação da concentração de íons próximo a foz do rio Paraíba do Sul.** Nunes, C. R. de O. (TC); Menezes, G. da G. (IC); Borges, C. G. (TC); Araújo, T. M. de R. (PQ) IFF
- AMB-020 Microextraction using RDSE and BA $\mu$ E techniques as strategies for the determination of pesticides and emerging contaminants in environmental water samples by UHPLC-MS/MS.** Zanella, R. (PQ); Donato, F. F. (PQ); de Souza, M. P. (PG); Prestes, O. D. (PQ); Adaime, M. B. (PQ) UFSM
- AMB-021 Análise por varredura de resíduos de agrotóxicos nas águas do Parque Indígena do Xingu.** Gonçalves, H. (IC); Cerqueira, T. (PG); Oliveira-Silva, D. (PQ) UNIFESP-Diadema
- AMB-022 PAH baselines for riverine surficial sediments from Amazonian Coastal Zone.** Rodrigues, C. C. S. (PG); Ramos, B. S. (IC); Santos, E. (PG); Damasceno, F. D. (PQ) UFS
- AMB-023 Assessment of contamination of amazonian streams by somestic sewage using sterols.** de Melo, M. G. (PG); de Lima, V. R. L. (IC); da Silva, B. A. (IC); Costa, G. de S. (IC); Val, A. L. (PQ); Koolen, H. H. F. (PQ); Bataglion, G. A. (PQ) UFAM
- AMB-024 River basin barigui: determination of the drugs ibuprofen, ketoprofen and acetylsalicylic acid.** Silva, G. P. C. (IC); Filippe, T. C. (PG); Mayumi, L. (IC); Azevedo, J. C. R. (PQ); Monego, M. L. C. D. (PQ) UTFPR
- AMB-025 Determination of biosorption capacity of microalgae biomass using the Boehm method.** Heidelmann, G. P. (IC); Roldão, T. M. (TC); Egler, S. G. (PQ); Giese, E. C. (PQ) CETEM
- AMB-026 Evaluation of Arsenic bioavailability in waste from cyanidation Gold Processing using sequential extraction schemes (SES).** Barcelos, D. A. (PG); Pontes, F. V. M. (PQ); Silva, F. A. N. G. (PQ); Castilhos, Z. C. (PQ) UFRJ

- AMB-027** Effects of chlorination on pesticides after drinking water treatment: residue analysis and acetylcholinesterase inhibition. Costa, R. O. (PG); Barcellos, P. S. (PQ); Canela, M. C. (PQ) UENF
- AMB-028** Especificação de cromo em águas naturais: estudos em Guarapuava, Santa Terezinha do Itaipu e Ponta Grossa, Paraná, Brasil. Anjos dos, V. E. (PQ); De Andrade, J. K. (PG); De Andrade, C. K. (PG); Felsner, M. L. (PQ) UEPG
- AMB-029** Human health risk assessment of metals and metalloids in superficial waters near different industrial sources in Juiz de Fora City, Brazil. Soares, R. (PQ); Machado, W. T. V. (PQ); Campos, D. V. B. (PQ); Monteiro, M. I. C. (PQ); Freire, A. S. (PQ); Santelli, R. E. (PQ) UFF
- AMB-030** Metals characterization in surface sediments of rivers in the Central Amazonian region. Bisinoti, M. C. (PQ); Constantino, I. C. (PG); Teodoro, G. C. (IC); Paschoal, F. M. M. (PQ); Trindade, W. G. (PQ); Piovezan, C E (IC); Moreira, A B (PQ) IBILCE-UNESP
- AMB-031** Monitoring of trace elements in sediments from the beaches next to the Doce River Estuary - ES/Brazil. Cunha, T. (PG); Wyatt, N. L. P. (IC); Vieira, L. V. (PG); Krause, M. (PG); Brandão, G. P. (PQ); Albino, J. (PQ); Carneiro, M. T. W. D. (PQ) UFES
- AMB-032** Evaluation of agrochemicals trifluralin, atrazine, alachlor and chlorpyrifos in soil samples from Arapongas - PR region. Morro, F. G. (IC); Bernardelli, J. K. B. (PQ); Schnitzler, D. C. (PQ) UTFPR
- AMB-033** Carbono oxidável com permanganato em solos do Paraná - horizontes dos solos e correlações com análise de macronutrientes usando PCA. Caetano, I. K. (PQ); Novacoski, E. J. (FM); Lustosa, L. H. (IC); Genú, A. M. (PQ); Lombardi, K. C. (PQ); Figueiredo Filho, A. (PQ); González-Borrero, P. P. (PQ) UNICENTRO
- AMB-034** Adsorção individual e competitiva de chumbo em cinco solos de uma toposequência do cerrado brasileiro. Sena, M. M. (PG); Busato, J. G. (PQ); Costa, A. C. S. (PQ); Sodré, F. F. (PQ) UnB
- AMB-035** Utilização da estatística multivariada para a determinação dos parâmetros físicos e químicos mais relevantes do solo de trilha de Ubatuba-SP. Jorge, M. C. O. (PQ); Guerra, A. J. T. (PQ); Mendonça, M. L. T. G. (FM); Cruz, R. P. (FM) UFRJ
- AMB-036** Influência da adição de matéria orgânica em interações Metal-nanopartículas. Vieira, D. F. (IC); Botero, W. G. (PQ); Oliveira, L. C. (PQ); Goveia, D. (PQ) UNESP-Itapeva
- AMB-037** Avaliação da recuperação de potássio no vinhoto tratado por biorreator a membrana de duplo estágio (BRMAN). Corrêa, L. B. M. (IC); Santos, L. V. S. (PQ); Guimarães, I. P. M. (IC); Barbosa, J. R. (IC) PUC-MG
- AMB-038** CO<sub>2</sub> capture by mixed matrix membranes with metal organic frameworks (MOF) of Al. Abreu, T. P. (PG); Ferraz, H. C. (PQ); Moura, L. C. (PQ); Miranda, J. L. (PQ) UFRJ
- AMB-039** Evaluation of the development of an acidophilic chemolithotrophic microorganism using meteoritic material as energy source. Silva, G. G. (PG); Rodrigues, F. (PQ) IQUSP
- AMB-040** Geração de microrganismos seletivos a partir da biomassa residual da casca do arroz para produção biocombustíveis. Vieira, J. L. (IC); Silva, C. S. (PG); João, J. J. (PQ) UNISUL
- AMB-041** Economia circular na agropecuária: ensaios iniciais para estabilização de resíduos orgânicos e produção de biogás. Silva da, M. B. G. (IC); Domingues, M. P. P. (IC); Somensi, C. A (FM) IFC
- AMB-042** Characterization of biomass produced in Algae Turf Scrubber (ATS®) system instaled in the Lago Dourado - Santa Cruz do Sul - RS. Martini, F. A. (PG); Rubert, A. (IC); Souza, M. P. (PG); Kist, L. T. (PQ); Hoeltz, M. (PQ); Benitez, L.B. (PQ); Schneider, R. C. S. (PQ); Gressler, P. D. (PQ) UNISC
- AMB-043** Utilização do babaço de cevada como adsorvente natural para a remoção do agrotóxico carbaril de solução aquosa. Milhomem, K. P. (PG); Silva, T. F. (PG); Freitas, S. S. (PQ) UFG-Catalão
- AMB-044** Development of a nanomaterial incorporated with bixin: a sustainable approach for dye removal from aqueous matrices. Domingues, J. T. (PG); Rodrigues, G. D. (PQ); Orlando, R. M. (PQ); Millan, R. D. S. (PQ); Pinzón, A. D. G. (PG); Carvalho, P. L. G. (IC) UFMG
- AMB-045** Application of Kraft lignin as alternative adsorbent for dyes and potential toxic metals. Akiba, A. N. (PG); Silva, S. V. F. N. (PQ); Gaubeur, G. I. (PQ) UFABC
- AMB-046** Development of nanostructured materials incorporated with bixin and extracting agents for metal removal from aqueous matrices. Leite, D. S. (PG); Carvalho, P. L. G. (PG); Garcia, A. D. P. (PQ); Orlando, R. M. (PQ); Millán, R. D. S. (PQ); Rodrigues, G. D. (PQ) UFMG
- AMB-047** Zeolites with different chemical and textural properties for metal removal. Oliveira de, D. F. (PG); Neri, J. A. M. (IC); Ribeiro, J. A. A. (IC); Santos dos, F. S. (PQ); Pietre de, M. K. (PQ) UFF
- AMB-048** UV-C/H<sub>2</sub>O<sub>2</sub>, microfiltration and reverse osmosis applied to remove emerging contaminants considering the potable reuse treatment of water. Montagner, C. C. (PQ); Cochran, K. H. (PG); Fryer, B. (IC); Kimura-Hara, S. (PQ); Abdelraheem, W. (PG); Huang, Y (PG); Coffin, S. (PG); Schlenk, D. (PQ); Dionysiou, D. (PQ); Richardson, S. (PQ) SC. USA
- AMB-049** Influence of the iron source and pH on degradation of fipronil by photo-Fenton process. Gomes, O. (PG); Trovo, A. G. (PQ) UFU
- AMB-050** Otimização multivariada de sistema UV/H<sub>2</sub>O<sub>2</sub> para desinfecção de efluentes secundários. Malvestiti, J. (PG); Diogo Junior, J.P. (PG); Dantas, R.F. (PQ) UNICAMP
- AMB-051** Removal of azo dyes mixture by layered double hydroxides. Lemes, L. O. (PG); Rosseto, R. (PQ) UEG
- AMB-052** Síntese e caracterização de um novo polímero de coordenação fotocataliticamente ativo. Manduca, B. (PG); Freire, R. S. (PQ) IQUSP
- AMB-053** Adsorption of pharmaceuticals from aqueous solutions on FAU zeolite. de Sousa, D. N. R. (PQ); Mozeto, A. A. (PQ); Fadini, P. S. (PQ) UFSCar

- AMB-054 Degradation of Bisphenol A (BPA) by *Trametes versicolor* fungus.** Gracio, C. E. R. (IC); Bianchi, V. N. (IC); Montini, A. C. S. (IC); Silva, P. G. (PG); de Lima, E. C. (PQ) UFABC
- AMB-055 Utilização do filtro de bagaço de cana de açúcar no tratamento simplificado de água.** Marcelo, L. R. (PQ); Almeida, V. P. (IC); Marcelo, C. R. (PQ); Arruda, V. M. (PQ) UEMG
- AMB-056 Synthesis of polyurethane biocomposition used as adsorbent of yellow tartrazine food coloring.** França, I. A. (IC); Vollbrecht, C. P. (IC); Rizzato, T. M. (TC); Batistela, V. R. (PQ); Keller, M. (PQ) UEM
- AMB-057 Phosphate adsorption by different clay minerals modified with lanthanum and iron for application in aquatic eutrophic environments.** Castro, L. F. (PG); Souza, W. F. L. (PQ); Teixeira, V. G. (PQ) INT
- AMB-058 Sensitivity to the cadmium ion by a strain of *Ensifer meliloti*.** Morais, A. A. (IC); Leonel, T. F. (PG); Moretto, C. (PQ); Lemos, E. G. M. (PQ); Alves, L. M. C. (PQ); Saran, L. M. (PQ) FCAV-UNESP
- AMB-059 Use of ultrasound to development of substrates for *Saccharomyces cerevisiae*.** Cordeiro, M. E. (IC); Nicolini, J. (PQ); Nicolini, K. P. (PQ) IFPR
- AMB-060 Synthesis and characterization of pyroaurite-type material at room temperature employing bauxite residues from Amazon Region.** Nascimento, R. S. (PG); Costa, B. S. (IC); Figueira, B. A. M. (PQ); Silva, L. N. (PG); Telles, G. C. (PQ); Mercury, J. M. R. (PQ) UFOPA
- AMB-061 Bixin incorporated over a porous membrane as a biosorbent to remove mercury (II) from aqueous matrices.** Vieira, J. C. (PG); Windmöller, C. C. (PQ); Rodrigues, G. D. (PQ); Orlando, R. M. (PQ) UFMG
- AMB-062 Labilidade de íons ferro e manganês na presença de nano-sílica em diferentes valores de pH.** Goveia, D. (PQ); Vieira, D. F. (IC); Botero, W. G. (PQ); Oliveira, L. C. de (PQ) UNESP-Itapeva
- AMB-063 Micropartículas poliméricas como um sistema carreador de nutrientes para plantas.** Chagas, J. O. (PG); Silva, G. A. (PQ); Lobo, F. A. (PQ) UFOP
- AMB-064 Study of the partition of emerging contaminants employing aqueous two-phase systems as extraction technique.** Assis, R. C. (PG); Orlando, R. M. (PQ); Mageste, A. B. (PQ); Lemos, L. R. (PQ); Rodrigues, G. D. (PQ) UFMG
- AMB-065 CHEMICAL WASTE MANAGEMENT IN TEACHING LABORATORIES: an activity proposal for academic community awareness.** Siqueira, L. D. F. (IC); Santos, J. M. S. R. (IC); Morais, K. C. (IC); Pereira, R. S. (IC); Paula, R. R. (IC); Mesquita, I. S. (TC); Teixeira, A. M. S. (PQ) IFRJ-Campus Duque de Caxias
- AMB-066 Método alternativo para o descarte de resíduos de cobre e iodo.** Linhares, G. T. (IC); Vieira, B. L. M. (IC); Chinelate, B. M. (IC); Toledo, T. A. (TC); Barbosa, D. B. A. (FM) IF Sudeste MG
- AMB-067 Chlorexidine behavior in chlorinated medium and occurrence of byproducts.** Colombo, R. (PQ); Carvalho, V. S. (IC) EACH-USP
- AMB-068 Diagnóstico das condições sanitárias de residências localizadas às margens do Rio Sarapuí - Duque de Caxias, Rio de Janeiro.** Pereira, L. F. (IC); Santos, I. da S. P. (IC); Almeida, L. D. (IC); Sá, N. R. L. (TC); Marcelo, L. R. (PQ) IFRJ-Campus Duque de Caxias
- AMB-069 Propriedades térmicas de blendas de ésteres metílicos e etílicos obtidos do óleo de *Attalea phalerata* (Arecaceae) e soja.** Silva, J. C. M. (PG); Nicolau, C. L. (PG); Coutinho, E. J. (IC); Klein, A. F. N. V. (PG); Simionatto, E. (PQ); Stropa, J. M. (PG); Oliveira, L. C. S. (PG) UEMS
- AMB-070 Longitudinal variation of the energetic properties of clones *Eucalyptus* sp.** Santos dos, J. (IC); Silva, W. P. (PQ); Morais, S. A. (PG); Sá, V. A. (PQ); Accioly, J. E. S. (PQ) UFAL
- AMB-071 Pigment's profile of the polyextremophile *D. radiodurans* under extreme conditions for biosignature's detection.** Cavalcante, L. L. (IC); Yamaguchi, L. F. (PQ); Paulino-Lima, I. G. (PQ); Rodrigues, F. (PQ) IQUSP
- AMB-072 Evaluation of persistent toxic substances (PTS) in Brazilian coast fishes using exploratory chemometric methods.** Santos, I. C. (IC); Ferreira, V. B. (PQ); Figueiredo, E. R. (PG); Santos dos, G. R. (PG); Finco, F. D. B. A. (PQ); Lobo, F. A. (PQ); Torres, J. P. M. (PQ); Da Silva, G. A. (PQ) UFOP
- AMB-073 Metallothionein and Reduced Glutathione: metal exposure biomarkers in rough-toothed dolphins (*Steno bredanensis*).** Monteiro, F. (PG); Moura, J. F. (PQ); Lemos, L. S. (PG); Moreira, I. (PQ); Saint'Pierre, T. D. (PQ); Kehrig, H. A. (PQ); Di Benedetto, A. P. M. (PQ); Siciliano, S. (PQ); Hauser-Davis, R. A. (PQ) PUC-RIO
- AMB-074 Slow pyrolysis conditions applied to several types of lignocellulosic materials, industrial and domestic wastes - A review.** Romeiro, G. A. (PQ); Peixoto, B. S. (PG); Schroeder, P. (PG); Oliveira, P. C. O. (PG); Silva, R. V. S. (PQ); Figueiredo, M. K. K. (PQ); Veloso, M. C. C. (PQ); Bitencourt, G. F. (IC) UFF
- AMB-075 Oxidative stability thermal properties study of esters formulated from *Attalea speciosa* oil.** Nicolau, C. L. (PG); Simionatto, E. (PQ); Costa, E. R. (PG); Louro, G. M. (PG); Silva, J. C. M. (PG); Medeiros, T. A. (PG); Coutinho, E. J. (PG); Stropa, J. M. (PG) UEMS
- AMB-076 Antibiotics colorimetric detection by stabilized silver nanosensors in water.** Moraes, L. D. (PG); Lopes, R. P. M. (PQ) UFF
- AMB-077 Utilização da mistura de macrófitas aquáticas para tratamento de efluentes contendo corante.** Ferreira, R. M. F. (PG); Stapelfeldt, D. M. A. S. (PQ) UFRJ
- AMB-078 Characterization of Sedimentary Humic Substances from White-water and black-water rivers.** Constantino, I. C.; Constantino, I. C. (PG); Piovezan, C. E. (IC); Toschi, S. S. (IC); Bisinoti, M. C. (PQ); Moreira, A. B. (PQ) IBILCE-UNESP
- AMB-079 Pesticides wastewater treatment by coagulation-flocculation: Evaluation and optimization of operational parameters.** Nossol, A. B. S. (PG); Santos, M. G. B. (IC); Trovó, A. G. (PQ) UFU

**AMB-080** Atrazina e seus metabólitos em mananciais e águas de abastecimento público: sazonalidade e eficiência de remoção das ETA. Silva, G. S. (IC); Montagner, C. C. (PQ) UNICAMP

**AMB-081** Air quality biomonitoring of trace elements in Huancayo City, Peru using transplanted *Tillandsia capillaris* as bioindicators. Andrade, V. P. (IC); De La Cruz, A. R. H. (PG); Calderon, E. R. D. (PQ); Aunque, R. F. O. (IC); De La Cruz, J. K. H. (IC); Gioda, A. (PQ) PUC-RIO

## ANA – Química Analítica

**ANA-001** Stability of pesticides in green pepper samples stored at different temperatures. Libardi, V. M (PG); Heleno, F. F. (PQ); Queiroz, M. E. L. R. (PQ); Neves, A. A. (PQ); Oliveira, A. F. (PQ) UFV

**ANA-002** Development and optimization of analytical method for determination the antihypertensive drugs. Ferreira, A. D. (PG); Weinert, P. L. (PQ) UEPG

**ANA-003** Separation investigation of elaidic and vaccenic trans fatty acids isomers by CZE-UV. Amorim, T. L. (PG); Oliveira, M. A. L. (PQ) UFJF

**ANA-004** Synthesis and application of molecularly impressed polymers for the extraction of caffeine from food and beverage samples. Feiteira, F. N. (PG); Francisco, J. E. (PG); da Silva, W. A. (PG); Pacheco, W. F. (PQ); Pereira Netto, A. D. (PQ) UFF

**ANA-005** Síntese e caracterização de polímeros fluorescentes com núcleo de sílica para aplicação em cromatografia em camada delgada. Ierick, I. F. (IC); Pupin, R. R. (PG); Monteiro, G. C. (PQ); Bolzani, V. S. (PQ); Sotomayor, M. P. T. (PQ) IQAr-UNESP

**ANA-006** Determinação do teor de docetaxel em medicamentos injetáveis por HPLC-DAD. Figueiredo, N.G. (PQ); Martins, V.G. (FM); Chiapetta, S.C. (PQ) INT

**ANA-007** Development and optimization of chromatographic method for determination of hypolipidemic drugs in pharmaceutical formulations. Golembiowski, C. (PG); Weinert, P. L. (PQ) UEPG

**ANA-008** Otimização de metodologia para análise de cocaína em cédulas de real. Mariano Junior, D. R. (PG); Alves, D. da P. (IC); Almeida, V. G. K. (PQ) UFRRJ

**ANA-009** Development of a low-consuming solvent extraction for determination of 36 multiclass pesticides in atmospheric particulate matter (PM<sub>2.5</sub>). Nascimento, M. M. (PG); da Rocha, G. O. (PQ); de Andrade, J. B. (PQ) UFBA

**ANA-010** Influence of sample preparation in the determination of phenolic compounds in mate tea beverages by UPLC-MS. Iop, G. D. (PG); Mendes, A. L. G. (PG); Codevilla, C. F. (PG); Barin, J. S. (PQ); Duarte, F. A. (PQ); Mello, P. A. (PQ) UFSM

**ANA-011** Método bioanalítico para quantificação de Doxiciclina em plasma canino: aplicação em estudos de farmacocinética. Lima, I. P. (PG); Ferreira, T. P. (TC); Magalhães, V. S. (TC); Scott, F. B. (PQ); Cid, Y. P. (PQ) UFRRJ

**ANA-012** Determinação de pesticidas organoclorados na bacia hidrográfica do rio de Ondas, oeste da Bahia, por CG-MS. do Rego, E. L. (PG); da Silva, J. D. S. (PG); Nakamura, T. C. (PG); Almeida, P. V. B. (PG); Pinto, C. O. (IC); Souza, R. C. (PG); de Souza, J. R. (PQ); Santos, J. V. da S. (PQ) UFOB

**ANA-013** Desenvolvimento de método para análise de catecolaminas e metabólitos em urina por CL-EMAR. Roiffé, R. R. (PG); Sardela, V. F. (PQ); de la Cruz, M. N. S. (PQ); Souza, K. R. (PQ); Nacif, J. E. (IC); Aquino Neto, F. R. (PQ) UFRJ

**ANA-014** Characterization of 18 organochlorine pesticides in samples of coconut water in natura using CG-MS. Nakamura, T. C. (PG); Rego, E. L. (PG); Brito, P. V. N. (PG); Silva, J. D. S. (PQ) UFOB

**ANA-015** Development and validation of a method to quantify acetaminophen in plasma from small rodents for the study of gastric emptying alterations. Siqueira, M.R.P. (PG); Moreira, D. de L. (PQ); Paumgarten, F.J.R. (PQ); Santos, R. dos (PG); Rosa, L. C. da (PG) ENSP

**ANA-016** On-column preconcentration of phenolic compounds by sequential injection chromatography. Acevedo, M. S. M. S. F. (PG); Gama, M. R. (PQ); Rocha, F. R. P. (PQ) CENA-USP

**ANA-017** Development and validation of a LC-MS/MS method for analysis of fentanyl and its analogs in stamps. Santos, J. M. (PQ); Morais, D. R. (PQ); Barbosa, L. M. (PG); Costa, J. L. (PQ); Eberlin, M. N. (PQ) UNICAMP

**ANA-018** Evaluation of a chromatographic method for the determination of phenolic acids and methylxanthins in teA. Azevedo, R. S. A. (PG); Teixeira, B. S. (TC); Santos, W. N. D. (PQ); Sauthier, M. C. S. (PG); Santana, M. V. A. (PQ); Santana, D. A. (PQ) UNEB

**ANA-019** QuEChERS-SPE method for determination of endocrine disrupting compounds in harbor sediment. Suagaura, L.E. (PG); Marchi, M. R. R. (PQ) IQAr-UNESP

**ANA-020** A direct Mass Spectrometry method for determination of biomarkers in plasma samples. Fernandes, A R (PG); Mendes, T P P (PG); Vaz, B G (PQ); Chaves, A R (PQ) UFG

**ANA-021** Determinação dos aditivos presentes em cigarros e produtos derivados do tabaco por Espectrometria de Massas de Alta Resolução (nano-ESI-Orbitrap). Guedes, J. S. (TC); Figueiredo, N. G. (PQ); Chiapetta, S. C. (PQ) INT

**ANA-022** Berenil as a groove binding mode probe for DNA interaction process evaluation. Silva, E. S. (IC); Lima, A. D. S. (IC); Figueiredo, I. M. (PQ); Santos, J. C. C. (PQ) UFAL

**ANA-023** Fluorescent nanoprobe based on CdTe quantum dots for bioanalytical applications: determination of cationic protein. Costa, K. R. (IC); Santos, J. C. C. (PQ) UFAL

- ANA-024** Determination of the total polyphenol content in wines and grape juice by spectrofluorimetry and comparison with the Folin-Ciocalteu method. E Souza, S.B. (IC); Oliveira, A.C.S. (IC); Donagemma, R.A. (PQ); Marques, F.F.C. (PQ) UFF
- ANA-025** Chemiluminescent flow system for the determination of complexation capacity in opacity solutions: an automatic procedure. Lima, M.J.A (PG); Reis, B.F (PQ); Kamogawa, M.Y (PQ) CENA-USP
- ANA-026** Desenvolvimento de uma cela de fluxo para detecção de quimiluminescência empregando fotodiodo com detector. Marinho, O.R (PG); Lima, M.J.A. (PG); Reis, B. F. (PQ) CENA-USP
- ANA-027** Wetting film liquid-liquid microextraction in a sequential injection system for spectrofluorimetric determination of bisphenol A in tap waters. Soares, S. S. (PG); Nascimento, N. F. C. (PG); Rocha, R. P. R. F. (PQ) CENA-USP
- ANA-028** Procedimento limpo baseado em análises em fluxo para extração on-line de propoxur em amostras de carne. Bragaia, G. P. (IC); Melchert, W. R. (PQ) ESALQ-USP
- ANA-029** Real-Time Monitoring of Mono-, Di-, Triglycerides and FAME Composition by Low-Field <sup>1</sup>H NMR and NIR Spectroscopy During Transesterification Reaction of Vegetable Oils. Galvan, D. (PG); Aguiar, L. M. (PG); Rohwedder, J. J. R. (PQ); Borsato, D. (PQ); Killner, M. H. M. (PQ) UEL
- ANA-030** Determination of lipid bioactive compounds in yellow, brown and black mustard seeds. Nicacio, A. E. (PG); Rodrigues, C. A. (PG); Visentainer, J. V. (PQ); Maldaner, L. (PQ) UEM
- ANA-031** Development and validation of quantitative NMR method for illegal pesticides. Crocoli, L.C. (PG); Ortiz, R.S. (PQ); Moura, S. (PQ) UCS
- ANA-032** Polydiacetylene/triblock copolymer nanosensor for the detection of lidocaine in the presence of cocaine adulterants. Soares, T. S. (IC); Chagas, F. O. (PG); Patrício, P. R. (PQ); Maldaner, A. O. (PQ); da Silva, L. H. M. (PQ); Hespanhol, M. C. (PQ) UFV
- ANA-033** Novel analytical method using reversed-phase dispersive liquid-liquid microextraction for determination of metallic contaminants in edible vegetable oils. Flores, E. L. M. (PQ); Beato, M. O. (IC); Leite, O. D. (PQ); Canan, C. (PQ); Picoloto, R. S. (PQ); Ferreira, A. H. (PG) UTFPR
- ANA-034** Development of method for direct multi-elemental analysis of whisky using total reflection X-ray fluorescence. Gama, E. M. (PG); Matos, R. P. (PQ); Nascentes, C. C. (PQ); Rodrigues, G. D. (PQ) UFMG
- ANA-035** Determination of bioavailability of nutrients in soil by extraction procedures and total reflection X-ray fluorescence. Matos, R. P. (FM); Gama, E. M. (PG); Windmüller, C. C. (PQ); Nascentes, C. C. (PQ) UFMG
- ANA-036** Application of fluorescence of X-rays (EDXRF) in atmospheric biomonitoring using tree bark. Bitencourt Oliveira, L. (PQ); Teles de Oliveira, M. (IC); de Oliveira Almeida, C. M. (IC); Soares de Araújo, L. S. (IC); Lopes Coriolano, D. (PQ); Rodrigues Gomes, M. R. (PQ) IFS
- ANA-037** Fast determination of metals using direct analysis of deodorants by inductively coupled plasma optical emission spectrometry. Costa, W. K. O. C. (PG); Silva, C. S. (PQ); Figueiredo, J. F. D. (PQ); Nóbrega, J. A. (PQ); Paim, A. P. S. (PQ) UFSCar
- ANA-038** Evaluation of a method for the decomposition of spent fluorescent lamps for the determination of rare earth elements. Ferreira, E. M. (IC); Pontes, F. V. M. (PQ); Paulino, J. F. (PQ); Carneiro, M. C. (PQ) UFRJ
- ANA-039** Silica functionalized with 2,6-pyridinedicarboxylic acid for selective preconcentration of Rare Earth elements traces before ICP-MS analysis. Artiushenko, O. (PG); Sandoval, W. (PG); D. Saint'Pierre, T. (PQ); Zaitsev, V. (PQ) PUC-RIO
- ANA-040** Determination of Cu, Ni, Pb and V in Brazilian gasoline by GF AAS using the technique of Extraction Induced by Microemulsion Breaking. Vinhal, J.O. (PQ); Cassella, R.J. (PQ) UFF
- ANA-041** An on-line preconcentration system using ion-imprinted polymer for determination of bismuth in seawater employing atomic fluorescence spectrometry. Costa Ferreira, S. L. (PQ); Carvalho Andrade, H. M. (PQ); Assis Felix, C. S. (PG); Silva, D. G. (PG) UFBA
- ANA-042** Microextração induzida por quebra de emulsão (MIEB) para determinação de metais em amostras de óleo diesel. Fernandes, A. (PG); Dutra, A.J.B. (PQ); Cassella, R.J. (PQ) UFF
- ANA-043** SS-FF-AAS AS an alternative technique for elemental impurities determination in high purity graphite. Santos, R. F. (PG); Carvalho, G. S. (PG); Silva, F. A. (IC); Picoloto, R. S. (PQ); Bizzi, C. A. (PQ); Flores, E. M. M. (PQ) UFSM
- ANA-044** Nickel and Vanadium Determination in Diesel Oil by ICP-OES after Reverse-Phase Dispersive Liquid-Liquid Microextraction. Delpino, I. S. (PG); Druzian, G. T. (PG); Santos, R. F. (PG); Bolzan, R. C. (PQ); Flores, E. L. M. (PQ); Picoloto, R. S. (PQ) UFSM
- ANA-045** Online Preconcentration of Sb(III) using SiO<sub>2</sub>/Al<sub>2</sub>O<sub>3</sub>/SnO<sub>2</sub> Ternary Oxide Coupled with HGAAS. Tarley, C.R.T. (PQ); de Almeida, F.G. (PG); Ribeiro, E.S. (PQ); de Oliveira, L. L.G. (PG); Orlandin, G. (IC) UEL
- ANA-046** Evaluation of the analytical performance of a solid phase magnetic extraction method for Pb<sup>2+</sup> determination. Alves, V. N (PQ); Silva, C. A. S (PG) UFG-Catalão
- ANA-047** Determinação de Cr e Pb em óleo de peixe rico em ômega-3 por GF AAS utilizando a extração induzida por quebra de emulsão. Arruda, T. F. (PG); Cassella, R. J. (PQ); Lepri, F. G. (PQ) UFF
- ANA-048** Aplicação de ácido diluído em digestão assistida por micro-ondas para determinação multielementar em variedades de mosto de uva. Santos, V. de S. (PG); Korn, M. das G. A. (PQ); Santos, W. P. C. (PQ) UFBA
- ANA-049** Precipitação homogênea de Al(OH)<sub>3</sub> assistida por micro-ondas para separação de metais em salmouras. Batista, K. S. (IC); Santos, E. B. G. N. (PG); Junior, L. P. (PG); Korn, M. (PQ) UNEB

- ANA-050 Feasibility of microwave-induced combustion for honey decomposition and further indirect determination of Cl and S by ion chromatography.** Balbinot, F. P. (IC); Rondan, F. S. (PG); Pereira, R. M. (PG); Bielemann, N. J. (IC); Scaglioni, P. T. (PQ); Mesko, M. F. (PQ) UFPel
- ANA-051 Development of a green and efficient method for determination of iodine in mineral dietary supplements.** Bielemann, N. J. (IC); Pereira, R. M. (PG); Mello, J. E. (PG); Brum, J. R. (IC); Novo, D. L. R. (PG); Mesko, M. F. (PQ) UFPel
- ANA-052 Can the digestion of carbon nanotubes using diluted acid be a feasible approach?.** Krzyzaniak, S.R. (PG); Pereira, L.S.F. (PG); Bitencourt, G.R. (IC); Bizzi, C.A. (PQ); Flores, E.M.M. (PQ); Mello, P.A. (PQ) UFSM
- ANA-053 Luminomagnetic core-shell nanoparticles for detection of metallic ions.** Namikuchi, E. A. (PG); Mazali, I. O. (PQ); Raimundo Jr, I. M. (PQ) UNICAMP
- ANA-054 Feasibility of miniaturized system for light crude oil microwave-assisted digestion.** Seeger, T. S. (PG); Dalla Vecchia, P. (PG); Pereira, L. S. F. (PQ); Mello, P. A. (PQ); Flores, E. M. M. (PQ); Duarte, F. A. (PQ) UFSM
- ANA-055 Avaliação do processo de difusão de BTEX em sistemas de amostragem passiva com membranas semipermeáveis utilizando acetoneitrila como fase receptora.** Martins, T. G. (PG); Cassella, R. J. (PQ) UFF
- ANA-056 Multiple Response for Determination of BTEX in Water Samples Produced Using Semipermeable Membranes for Passive Sampling.** Robaina, N. F. (PQ); Cruz, G. F. B. (PG); Cassella, R. J. (PQ) UFF
- ANA-057 Corn stalks study (*Zea mays* L.) as adsorbent of the Chromium (VI) Oxyanion present in aqueous solution.** Rocha, R. C. N. (IC); Oliveira, K.T. DOS. S. DE (IC); Caldas, L. A. (PG); Ribeiro Filho, W. A. (PQ) FATECPG-CEETEPS
- ANA-058 Comparative study between activated charcoal, coffee grounds and fish scales as adsorbents for Congo Red dye present in aqueous solution.** Bier, C. C. (IC); Rocha, R. C. N. (IC); Santos, C. S. (IC); Garcia, M. N. U. (IC); Caldas, L. A. (PG); Palanch, M. F. (PQ); Ribeiro Filho, W. A. (PQ) FATECPG-CEETEPS
- ANA-059 Study on the formation and stabilization of the derived free radical from the N-(4-methoxyphenyl)-p-phenylenediamine. Reactivity to phenolics.** Oliveira, L. B. (IC); Moya, H. D. (PQ) FMABC
- ANA-060 DISTRIBUTION OF CRUDE OIL SARA FRACTIONS IN SOIL: AN ONSHORE SPILL SIMULATION.** Castiblanco, J. E. (PG); Santos, J. M. (PQ); Wisniewski, A. (PQ) UFS
- ANA-061 Soil texture classification by Mid-infrared spectroscopy (MIR).** Morais, P. A. O. (PG); Souza, D. M. (PG); Madari, B. E. (PQ); Carvalho, M. T. M. (PQ) Embrapa Arroz e Feijão
- ANA-062 Microdispositivo em papel para pseudotitulação ácido-base baseado em medida da distância.** Oliveira, R. F. de (PG); Silva, P. J. C. (PG); Korn, M. (PQ) UNEB
- ANA-063 Synthesis of chitosan films for the quantification of Indigotine in candy samples by digital image analysis.** Coreixas de Sá, C.S. (PG); Felipe Pacheco, F. P. (PQ) UFF
- ANA-064 Construção e avaliação de um colorímetro portátil para análise do teor de ácido acético em vinagre empregando sistema FIA.** Costa, N. C. (PG); Almeida, G. A. (IC); Bueno, M. C. (IC); Luccas, P. O. (PQ); Lima, G. F. (PQ); Wisniewski, C. (PQ) UNIFAL
- ANA-065 3D-printed platform for highly-reproducible handling of microvolumes and nanofluidic injection coupled to electrochemical detection.** Mendonça, D. M. H. (PG); Rocha, D.P. (PG); Dutra, G. S. V. (IC); Cardoso, R. M. (PG); Batista, A. D. (PQ); Richter, E. M. (PQ); Munoz, R. A. A. (PQ) UFU
- ANA-066 Use of external electrolysis to improve electrophoretic separations of sugars on glass microfluidic devices.** Duarte-Junior, G. F. (PG); Lobo-Junior, E. O. (PG); Medeiros Junior, I. (PQ); da Silva, J. A. F. (PQ); do Lago, C. L. (PQ); Coltro, W. K. T. (PQ) UFG
- ANA-067 Detecção colorimétrica de H<sub>2</sub>O<sub>2</sub> em amostras de leite utilizando dispositivos analíticos fabricados em papel.** Guinati, B. G. S. (IC); Cardoso, T. M. G. (PG); Coltro, W. K. T. (PQ) UFG
- ANA-068 Contactless conductivity detection of bacteria in droplets using 3D printed microfluidic device.** Duarte, L. C. (PG); Figueredo, F. (PG); Ribeiro, L. E. B. (PG); Cortón, E. (PQ); Coltro, W. K. T. (PQ) UFG
- ANA-069 Application of full factorial 23 design for optimization of glycerolysis reaction.** Carvalho, R. C. (PG); Dias, G. P. (IC); Souza, C. G. (PQ); Andrade, D. F. (PQ); Pontes, F. V. M. (PQ); d'Ávila, L. A. (PQ) UFRJ
- ANA-070 Robustness evaluation of analytical procedure for the determination of residual solvent in [11C]-PK11195 using fractional factorial design.** Costa, C. L. S. (TC); Vieira, E. G. (IC); Ramos, D. P. (IC); Almeida, F. A. F. (PG); Silva, J. B. (PQ) CDTN
- ANA-071 Evaluation of the compatibility between scale inhibitor and matrices with different calcium concentrations based on experimental design.** Gonçalves, A. D. (PQ); Machado, A. B. (PG); Dos Santos, E. C. M. (PG); Barbosa, J. R. (IC); Dáas, A. (IC); Damasceno, R. N. (PQ); Rocha, A. A. (PQ) UFF
- ANA-072 Traceability of adulteration in acai pulp (*Euterp Oleracea*) by means data fusion strategy.** Oliveira, A. S. (IC); Araújo, A. (IC); Marinho, W. (IC); Pinto, Licarion (PG); Gomes, A. A. (PQ) UNIFESSPA
- ANA-073 Influence of the stationary phase on the chemical profile of saturated and aromatic hydrocarbons of a medium density petroleum.** Ferreira, P. S. (IC); Rodrigues, E. A. (PG); Luz, D. A. (PG); Santos, R. P. (PQ); Filgueiras, P. R. (PQ); Kuster, R. M. (PQ) UFES
- ANA-074 Characterization of lipid profiles from coconut (*Cocos nucifer* Linn) oil of different varieties using ESI-MS and chemometrics.** Bottoli, C. B. G. (PQ); Ferreira, J. A. (PQ); Ferreira, J. M. S. (PQ); Santos, J. M. (PQ); Breikreitz, M. C. (PQ); Eberlin, M. N. (PQ); Lins, P. M. (PQ) UNICAMP
- ANA-075 Multivariate Classification of Perfumes by Ion Analysis and Ethanol Content.** Andrade, F. B. C. (IC); Nunes, J. T. L. (IC); Fonseca, A. S. (IC); Gomes, C. L. (PQ); Vieira, G. A. B. (PQ); Melo, D. Q. (PQ) IF-Sertão Pernambucano



- ANA-076** **Ordered Predictors Selection: New Approaches for Variable Selection in Multivariate Calibration.** Roque, J. V. (PG); Peternelli, L. A. (PQ); Teófilo, R. F. (PQ) UFV
- ANA-077** **Determination of glufosinate, glyphosate and AMPA in soybean oil and wine by liquid chromatography coupled with tandem mass spectrometry.** Chiarello, M. (PG); Romero-Gonzalez, R. (PQ); Moura, S. (PQ) UAL
- ANA-078** **Near infra-red spectroscopy and chemometrics: potential for coffee quality control.** Ayala, A. H. (IC); Nixdorf, S. L. (PQ); Madeira, T. B. (PG); Lopes, C.T. (IC); Alves, D. P. (IC); Almeida, M. B. (PG); Silva, M. P. (IC); Watanabe, L. S. (PG) UEL
- ANA-079** **Multivariate Analysis of Perfumes by Ultraviolet Spectrophotometry.** Nunes, J. T. L. (IC); Andrade, F. B. C. (IC); Fonseca, A. S. (IC); Gomes, C. L. (PQ); Melo, D. Q. (PQ) IF-Sertão Pernambucano
- ANA-080** **Standardization of urinary tract infection diagnosis by ATR/PLS-DA.** Souza, P. B. (IC); Corbellini, V. A. (IC) UNISIC
- ANA-081** **Characterization of the mineral composition of Oiti (*Licania tomentosa*) employing multivariate analysis.** Silva, E.F.R. (PG); Santos, B.R.S. (PG); Brandão, G.C. (PQ); dos Santos, W.P.C. (PQ); Silva, M.V.L. (PQ); dos Santos, A.M.P. (PQ); dos Santos, W.N.L. (PQ) UNEB
- ANA-082** **Use of webcam in flow analysis to phosphorus determination in soil extract.** Severo, E. A. (IC); Santos, J. L. O. (PQ); Bazzi, C. (PQ); Kamogawa, M. Y. (PQ); Flores, E. L. M. (PQ); Leite, O. D. (PQ) UTFPR
- ANA-083** **Estudo da Eficiência de decomposição nitríca da matéria orgânica de amiláceos em frascos fechados irradiados por microondas.** Silva, W. N. (IC); Peralva, V.N. (PG); Santos, L.R. (PG); Santos, D.C.M.B. (PQ); Korn, M.G.A. (PQ); Korn, M (PQ) UNEB
- ANA-084** **Desenvolvimento de um sistema on-line de extração magnética em fase sólida para determinação de Cd por FAAS.** Rocha, P. S. M. (PG); Cassella, R. J. (PQ) UFF
- ANA-085** **Metals analysis by ICP-OES in samples of colonial wines produced in Palotina-PR.** Friedrich, L. C. (PQ); Gomes, A. K. S. (IC); Souza, D. G. (IC); Schneider, L. A. E. (IC); Lenz, G. F. (TC); Bautitz, I. R. (PQ); Milinsk, M. C. (PQ) UFPR
- ANA-086** **Estudo da composição química cuticular de formigas da espécie *Odontomachus bauri* expostas a diferentes temperaturas.** Duarte, B. F. (PG); Michelutti, K. B. (PG); Antonialli-Junior, W. A. (PQ); Cardoso, C. A. L. (PQ) UEMS
- ANA-087** **Desenvolvimento de metodologia para quantificação de TBHQ, BHT e alfatocoferol utilizando CLAE-DAD em amostras de biodiesel com avaliação do período de indução por Rancimat.** Vargas, T. S. (IC); Azevedo, R. S. (IC); Chiapetta, S. C. (PQ) INT
- ANA-088** **Vantagens e desvantagens da quantificação de terc-butilhidroquinona (TBHQ) em biodiesel utilizando bomba peristáltica e bomba de alta eficiência.** Chiapetta, S. C. (PQ); Vargas, T. S. (IC); Gomes, I. S. (IC) INT
- ANA-089** **Estudo de estabilidade de açúcares em tabaco de cigarros comerciais.** Rodrigues, M. N. (TC); Guedes, J. S. (TC); Chiapetta, S. C. (PQ) INT
- ANA-090** **Observações críticas sobre a quantificação de glifosato pelo método colorimétrico do “púrpura de Ruhemann”.** Tomaso, L. P. S. (IC); Hottes, E. (PG); Cardoso, C. M. (PQ); Herbst, M. H. (PQ) UFRRJ
- ANA-091** **Síntese, caracterização e avaliação de um polímero de impressão molecular para quantificação seletiva de corante têxtil ácido violeta 19 visando aplicação em amostras ambientais.** Luna, M.A. (PG); Khan, S. (PQ); Picasso, G. (PQ); Sotomayor, M.D.P.T. (PQ) IQAr-UNESP
- ANA-092** **Ion chromatography as an alternative for simultaneous determination of citrate and phosphate in anticoagulant solutions of blood bags.** Cruz, G. C. S. (PG); Venâncio, L. F. (TC); Fust, A. M. B. S. (TC); Vale, R. F. D. (TC); Silva, F. S. Q. (PQ); Feitoza-Silva, M. (PQ) FIOCRUZ
- ANA-093** **Evaluation of techniques for analysis of plasticants in blood bags.** Carvalho, C.M.de (PG); Fust, A.M.B.S. (TC); Vale, R.F.D. (TC); Venâncio, L.F. (TC); Albert, A. L. M. (PQ); Leandro, K. C. (PQ); Feitoza-Silva, M. (PQ) FIOCRUZ
- ANA-094** **REGULATORY IMPACT FROM THE ANALYTICAL ADEQUACY IN THE QUALITY CONTROL OF BLOOD BAGS.** Vale, R. F. D. (TC); Fust, A. M. B. S. (TC); Venâncio, L. F. (TC); Leandro, K. C. (PQ) FIOCRUZ
- ANA-095** **Aplicação de aerogel de grafeno como fase extratora na determinação on-line de Cd<sup>2+</sup> com detecção por FAAS.** Lima, G. C. (PG); Mendonça, L. F. M. (IC); Rodrigues, L. C. (IC); Figueiredo, E. C. (PQ); Luccas, P. O. (PQ); Martins, G. F. L. (PQ) UNIFAL

## **BEA – Química de Alimentos e Bebidas**

- BEA-001** **Diffratometric and thermogravimetric study of commercial coconut flour.** Porcu, O. M. (PQ); Lima de, V. A. (PQ); Anaisse, F. J. (PQ) UTFPR
- BEA-002** **Chemometrics evaluation of oxidative degradation of the Brazilian extra virgin olive oil produced from the varietal Maria da Fé.** Gonçalves, T. R. (PG); Gonçalves, R. P. (PG); Rosa, L. N. (PG); Graeff, F. (IC); Domingues, H. P. (IC); Leite, O. D. (PQ); Torquato, A. S. (PQ); Março, P. H. (PQ); Valderrama, P. (PQ); Matsushita, M. (PQ) UEM
- BEA-003** **Enrichment of gluten-free bread with avocado pulp (*Persea Americana* Mill).** Santos, M. R. (IC); Souza, A. H. P. (PQ); Steinmacher, N. C. (PQ); Zimmer, F. C. (PG); Lovera, D. C. V. (PG); Rodrigues, A. C. (PQ) UTFPR
- BEA-004** **Efeito da esterilização por irradiação gama na camomila [*Chamomilla recutita* (L.) Rauschert].** Peres, R. L. (PQ); Garcia, H. (IC); Quinhones, R. (PQ) IF Baiano - Campus Teixeira de Freitas
- BEA-005** **One-Shot, Fast and Green Determination of the Alcoholic Content of Wines Using Thermal Infrared Enthalpimetry.** Oliveira, A. S. (PG); Tischer, B (PQ); Duarte, F. A. (PQ); Helfer, G. A. (PQ); Costa, A. B. (PQ); Barin, J. S. (PQ) UFSM

- BEA-006** Intercalation of vitamin L and adsolubilization of vanillin in lamellar hydroxide salts for obtention of multifunctional food supplements. Zanotelli, N. C. (IC); Maruyama, S. A. (FM); Cursino, A. C. T. (PQ) UTFPR
- BEA-007** Determinação de compostos fenólicos em vinhos comerciais por UPLC-UV. Alves, D.P (IC); Ayala, A.H.F (IC); Lopes, C.T (IC); Valente, L.J (IC); Silva, M.P.A (IC); Ishikawa, R.L (IC); Almeida, M.B (PG); Madeira, T.B (PG); Nixdorf, S.L (PQ) UEL
- BEA-008** Avaliação do perfil de ácidos graxos de amostras de óleo de coco comercializados em Belo Horizonte/MG. Ferraz, B. S. R. (IC); Porto, B. L. S. (PQ); Botelho, B. G. (PQ) UFMG
- BEA-009** Composição fenólica de extratos de resíduos industriais de amora-preta e seriguela por UPLC-PDA. Mazalli, A. V. G. (PG); Lopes, C. T. (IC); Sena, D. H. S. (IC); Almeida, M. B. (PG); Madeira, T. B. (PG); Nixdorf, S. L. (PQ) UEL
- BEA-010** Spectrophotometric method for quantification of antioxidant capacity of tropical fruits based on the formation of Fe(II)/2,2'-bipyridyl complex. Bortolozzi, G. G. (IC); Moya, H. D. (PQ) FMABC
- BEA-011** Caracterização de pesticidas em leite humano. Souza, R. C. (PG); Nakamura, T. C. (PG); Brito, P. V. N. (PG); Portella, R. B. (PQ); Santos, J. V. (PQ); Domingos, J. D. S. (PQ) UFOB
- BEA-012** Quantification of the antioxidant activity of the fruits using the colored free radical derived from N-(4-methoxyphenyl)-p-phenylenediamine. Youssef, K. (IC); Moya, H. D. (PQ) FMABC
- BEA-013** Determination of 16 carbonyl compounds in mineral water. Melo Cardozo, I. M (PG); P. dos Anjos, J (PQ); B. de Andrade, J (PQ) UFBA
- BEA-014** Oxidative stability study of edible vegetable oils using near-infrared emission spectroscopy. Andrade, D. C. (TC); Vieira, F. S. (PG); Pasquini, C. (PQ) UNICAMP
- BEA-015** Caracterização dos constituintes da cagaita empregando-se a PS-MS. Barrett Reina, L. Del C. (PQ); Souza, A. G. (PQ); Silva, M. R. (PG); Freitas, L. G. (IC); Araújo, R. L. B. (PQ); Lacerda, I. C. A. (PQ); Augusti, R. (PQ); Melo, J. O. F. (PQ) UFMG
- BEA-016** Bromine and iodine determination in different legumes by ICP-MS after decomposition by microwave-induced combustion. Rondan, F. S. (PG); Coelho Junior, G. S. (PG); Henn, A. S. (PG); Brum, J. R. (IC); Scaglioni, P. T. (PQ); Mesko, M. F. (PQ) UFPel
- BEA-017** Production and impregnation of starch aerogels using supercritical CO<sub>2</sub>. Villegas, M. E (PG); Oliveira, A. L (PQ); Bazito, R. (PQ); Vidinha, P. (PQ) IQUSP
- BEA-018** Analysis of antioxidant capacity of peels, pulp and seed of Brazilian native fruits. Zeraik, M. L. (PQ); Silva, G. L. (PG); Russo, H. M. (PG); E. F., Queiroz (PQ); Cuendet, M. (PQ); Wolfender, J. L. (PQ); Bolzani, V. S. (PQ) UEL
- BEA-019** Determinação de compostos fenólicos em cervejas artesanais brasileiras usando HPLC-DAD. Silva, M. C. (IC); Anjos, J. P. (PQ); Guarieiro, L. L. N. (PQ); Machado, B. A. (PQ) SENAI CIMATEC
- BEA-020** Determinação de Fe<sup>2+</sup> em cervejas especiais por espectrofotometria UV-vis após extração por ponto nuvem. Santos, R. R. (IC); Gama, E.M. (PG); Costa, L.M. (PQ) UFMG

## BIO – Química Biológica

- BIO-001** Effects of hesperetin, from citrus fruits, on proteinases isolated from *Bothrops asper* snake venom. dos Santos, R. V. (PG); Grillo, G. R. (IC); de Oliveira, H. F. M. (IC); Peroni, L. A. (PQ); Volpe, P. L. O. (PQ); Tasic, L. (PQ) UNICAMP
- BIO-002** Leshimanicidal activity of extracts of endophytic fungi from *Apidosperma excelsum*. Carvalho, J. M. (PG); Santos, L. A. (IC); Silva, J. V. S. (PG); Dolabela, M. F. (PQ); Marinho, P. S. B. (PQ); Marinho, A. M. R. (PQ) UFPA
- BIO-003** A direct assay for measuring the activity of phosphoenolpyruvate carboxykinase (PEPCK) by liquid chromatography-tandem mass spectrometry. Amaral, B. S. (PG); Souza de, D. H. F. (PQ); Cass, Q. B. (PQ) UFSCar
- BIO-004** Peak-fraction at-line screening assay of kallikrein inhibition for complex matrices by LC-MS/MS. Cardoso, C. L. (PQ); Sensen, G. W. (PQ); Kool, J (PQ) VU.NL
- BIO-005** Interaction of thimerosal with hemoglobin causes alteration of structure and loss of oxygen binding capacity. Silva, M. M.; Dantas, M.D. A. (PG); S. Filho, R. C. (PG); Leite, A. C. R. (PQ); Santos, J. C. C. (PQ); Figueiredo, I. M. (PQ) UFAL
- BIO-006** Synthesis and evaluation of the antibacterial properties of colloidal silver nanoparticles for application in cosmetics industry. Santos, A. G. C. (IC) Newton
- BIO-007** Naftoquinone derivatives: in vitro photo protective activity and interaction studies with tyrosinase and DNA. Guimaraes, A. S. (PG); Nunes, C. da Silva (PG); Santos, R. R. F. (PG); Cardoso, S. H. (PQ); Figueiredo, I. M. (PQ); Santos, J. C. C. (PQ) UFAL
- BIO-008** Avaliação do líquido celomático de minhoca na atividade inibitória de fungos do gênero *Fusarium*. Kuhn, D. (PG); da Rosa, P. D. (PG); Goldani, L.Z. (PQ); de Freitas, E. M. (PQ); Ethur, E.M. (PQ); Hoehne, L. (PQ) UNIVATES
- BIO-009** Computer-aided prediction and cytotoxicity evaluation of bis-hydrazones as novel anticancer agents. Donnici, C. L. (PQ); Ávila-Costa, M. (PG); Lopes, J. C. D. (PQ); Goulart, M. O. F. (PQ); Xavier, J. A. (PG); Kadooca, L. N. (IC); Furst, C. G. (IC) UFMG
- BIO-010** Evaluation of decoralin peptide identifies activity determinants and synthetic variants with *in vivo* activity. Torres, M. D. T. (PG); de la Fuente-Nunez, C. (PQ); Lu, T. K. (PQ); Oliveira Jr, V. X. (PQ) UFABC

**BIO-011** Ensaio antioxidantes com extratos das raízes de *Clusia grandiflora* Spligt. e *Platonia insignis* Mart. (Clusiaceae). Fernandes, W. B. C. (IC); Araújo, R. N. M. (PG); Ripardo Filho, H. S. (PQ); Silva, L. P. S. (PQ); Lopes Junior, M. L. (PG); Guilhon, G. M. S. P. (PQ); Santos, L. S. (PQ) UFPA

**BIO-012** Evaluation of new inhibitors of homoserine dehydrogenase for the development of drugs against paracoccidiodomycosis. Bagatin, M. C (PG); Rozada, A. M. F. (PG); Rodrigues, F. A. V. (PG); Kioshima, E. S. (PQ); Seixas, F. A. V. (PQ); Gauze, G. F. (PQ) UEM

**BIO-013** Temperature effect upon kinetic of dissociation/aggregation of the *Glossoscolex paulistus* hemoglobin. Da Silva, R. P. (IC); Nascimento, E. D. (PG); Simões, Y. S. (IC); Carvalho, F. A. O. (PQ) UNIFESSPA

**BIO-014** Atividade antimicrobiana e reação de biotransformação de chalconas promovidas pelo fungo endofítico *Glomerella cingulata*. Lopes Junior, M. L. (PG); Araújo, R. N. M. (PG); Ripardo Filho, H. S. (PQ); Ribeiro, W. S. (PG); Corrêa, M. J. C. (PQ); Guilhon, G. M. S. P. (PQ); Santos, L. S. (PQ) UFPA

## CAT – Catálise

**CAT-001** Preparation and characterization of catalysts based on nickel niobate modified with Mg, Ca or Sr for hydrogen production. Sousa, J. L. S. (IC); Lima de, S. P. (PG); Carvalho, L. S. (PG); Ruiz, D. (PG); Martins, A. R. (PG) IFBA

**CAT-002** Hidroformilação de álcoois provenientes da bio-massa (1R)-(-)mirtenol e (1R)-(-)nopol catalisada por complexo de ródio. Delolo, F. G. (PG); de Oliveira, K. C. (PQ); dos Santos, E. N. (PQ); Gusevskaya, E. V. (PQ) UFMG

**CAT-003** Hydrolysis of soybean oil over solid acid catalysts. Crisóstomo, C. A. B.; Soares, R. R.

**CAT-004** Study of the photocatalytic capacity of the Black Mud for the degradation of the molecules of methylene blue and hydroxybenzene (phenol). Lourenço, V. S. (IC); Asencios, Y. J. O. (PQ); Boto, S. M. (PQ) FATECPG-CEETEPS

**CAT-005** Production of carbon nanostructured materials by CVD method using supported catalysts: Study of two different carbon precursor gases. Silva, A. P. (IC); Lelo, R. V. (PG); Guerreiro, M. C. (PQ); Mezalira, D. Z. (PQ) UFSC

**CAT-006** Green oxidation of etanol, acetol and other primary alcohols by  $\text{FeCl}_3/\text{H}_2\text{O}_2$  in aqueous medium. Mandelli, D. (PQ); Shul'pin, G.B. (PQ); Carvalho, W. A. (PQ); Araújo, M. L. (PG) UFABC

**CAT-007** Unveiling the structural and electronic properties of the B-Nb<sub>2</sub>O<sub>5</sub> surfaces and their interaction with H<sub>2</sub>O and H<sub>2</sub>O<sub>2</sub>. De Abreu, H. A. (PQ); Diniz, R. (PQ); Duarte, H. A. (PQ); Soares Jr., A. L. (PQ); Quintão, M. C. (IC); Pinto, M. B. (PG) UFMG

**CAT-008** Síntese de compostos de aroma catalisados por lipases através do reaproveitamento da borra de café. Lira, R. K. S. (PG); Itabaiana, I. Jr. (PQ); Gomes, S. F. (PQ) UFRJ

**CAT-009** Heterogeneous acid catalysts based on sulfonated graphene like structures produced from bio-oil. Ballotin, F.C. (PG); Perdigão, L.T. (IC); Resende, M.V.B. (IC); da Silva, M.J. (PQ); Teixeira, A. P. C. (PQ); Lago, R.M. (PQ) UFV

**CAT-010** Statistical study of the oxidation reaction of benzyl alcohol in the absence of base with silica-supported gold nanoparticles. Giertyas, C.J. (PG); de Melo, L.N. (PG); da Silva, E.C. (PQ); de Almeida, R.M. (PQ); Meneghetti, M.R. (PQ); Bortoluzzi, J.H. (PQ) UFAL

**CAT-011** GO/(CdS)<sub>x</sub>/(ZnO)<sub>y</sub> bifunctional photocatalyst for ecotreatment of tannery sludge wastewaters with simultaneous generation of hydrogen. Souza, E. A. (PG); Araújo, R. J. (PG); Silva, L. A. (PQ) UFBA

**CAT-012** Influence of the CeO<sub>2</sub> support nano-morphology on Gold nanoparticles activity for photooxidation reactions. Teixeira, I. F. (PQ); Geonmonond, R. S. (PG); Rocha, G. F. S. R. (IC); Tsang, E. (PQ); Camargo, P. H. C. (PQ) IQUSP

**CAT-013** Chemical modification of gum arabic for dephosphorylation reactions: hydroxamate-derived biocatalyst. Takarada, W. H. (IC); Ferreira, J. G. L. (PG); Orth, E. S. (PQ); Riegel-Vidotti, I. C. (PQ) UFPR

**CAT-014** Ethanol steam reforming catalyzed by supported Rh nanoparticles: investigating the effect of the nature of the oxides supports. Rodrigues, T. S. (PQ); e Silva, F. A. (IC); Candido, E. G. (IC); Bergamaschi, V. S. (PQ); Linardi, M. (PQ); Fonseca, F. C. (PQ) IPEN

**CAT-015** Synthesis of mixed oxide supported niobium catalysts and their applications in reactions with primary amine. Granato, A. S. (PG); Carvalho, G. S. G. (PQ); Amarante, G. W. (PQ) UFJF

**CAT-016** Pushing the boundaries of gold catalysis. Rossi, L. M. (PQ); Fiorio, J. L. (PG); Gonçalves, R. V. (PQ); Teixeira-Neto, E. (PQ); Lopez, N (PQ) IQUSP

**CAT-017** Ir-Fe bimetallic catalysts for glycerol hydrogenolysis. Pamphile-Adrian, A. J. (PQ); Florez-Rodriguez, P. P. (PQ); Passos, F. B. (PQ) UFF

**CAT-018** Novel fragrant aldehydes via hydroformylation of the bio renewable valencene. Vieira, G. M. (PG); de Paulo, R. S. (IC); dos Santos, E. N. (PQ); Gusevskaya, E. V. (PQ) UFMG

**CAT-019** Hydrodeoxygenation (HDO) of lignin-derived model compounds at low temperature using perovskites. Shetty, M. (PG); Zanchet, D. (PQ); Green, W.H. (PQ); Roman-Leshkov, Y. (PQ) IQ-UNICAMP

**CAT-020** Use of carboxyl cellulose metal complexes in heterogeneous catalytic systems to promote Suzuki-Miyaura coupling. Martins, G. B. C. (PG); dos Santos, M. R. (PG); Rodrigues, M. V. R. (IC); Sucupira, R. R. (IC); Meneghetti, L. (IC); Monteiro, A. L. (PQ); Suarez, P. A. Z. (PQ) UnB

**CAT-021** Synthesis of ethanol from the reduction of carbon dioxide under supercritical conditions. Rozendo, J. D. (PG); Gothe, M. L. (PG); Bazito, R. C (PQ); Rossi, L. M. (PQ); Vidinha, P. (PQ) IQUSP

- CAT-022** Propylsulfonic acid anchored on mesoporous SBA-15 as heterogeneous catalyst for esterification of fatty acids. Moreira, A.F.S. (PG); Brito, T.C. (IC); Vieira, J.S.C. (PQ); Mota, C.J.A., (PQ); Lachter, E.R. (PQ) UFRJ
- CAT-023** Estudo introdutório sobre conversão catalítica de CO<sub>2</sub> a hidrocarbonetos utilizando um rejeito industrial a base de Fe como catalisador. Mombriñi, L. M. (IC); Miranda, J. L. (PQ); Ferreira, H. B. P. (PQ) IFRJ - Campus Nilópolis
- CAT-024** Ruthenium(II) complexes of Schiff base derived from cycloalkylamines as pre-catalysts for ROMP and ATRP. Cruz, T. R. (IC); Afonso, B. A. (PG); Goi, B. E. (PQ); Carvalho-Jr, V. P. (PQ) FCT-UNESP-Câmpus de Presidente Prudente
- CAT-025** Use of biomasses from *Acrocomia aculeata* in the synthesis of activated charcoal and its use in the purification of crude glycerol. Freitas, M. S. (PG); Barbosa, S. L. (PQ); Lima, C. D. (PQ); Aguiar, L. P. (IC); Rocha, A. S. (IC); Borges, C. B. (IC); Almeida, V. R. G. (IC) UFVJM
- CAT-026** Microwave-assisted organic synthesis versus conventional heating. A comparative study for polyols condensation with ketones at heterogeneous catalysis SiO<sub>2</sub>-SO<sub>3</sub>H under free solvent. Almeida, M. A. R. (IC); Lage, G. L. C. (PG); Oliveira, P. M. (PQ); Barbosa, S. L. (PQ) UFVJM
- CAT-027** M/SiO<sub>2</sub> (M = Co or Ni) nanoparticles prepared by magnetron sputtering deposition method for CO<sub>2</sub> valorization by reverse water gas shift reaction. Galhardo, T. S. (PQ); Gonçalves, R. V. (PQ); Rossi, L. M. (PQ) IQUSP
- CAT-028** Easily accessible ROMP and ATRP catalysts based on dimethyl sulfoxide ruthenium(II) complexes bearing N-heterocyclic carbene ligands. Gois, P. D. S. (PG); Idehara, A. H. S. (PG); Goi, B. E. (PQ); Carvalho-Jr, V. P. (PQ) FCT-UNESP-Câmpus de Presidente Prudente
- CAT-029** Cobalt(II) complexes of bidentate Schiff bases derived from cycloalkylamines as mediators in controlled radical polymerization of vinyl acetate. Silva, Y. F. (PG); Carvalho-Jr, V. P. (PQ); Goi, B. E. (PQ) FCT-UNESP-Câmpus de Presidente Prudente
- CAT-030** Mn(II) and Fe(II) complexes of bidentate Schiff base as mediators for Organometallic Mediate Radical Polymerization (OMRP) of Vinyl Acetate. Hashimoto, P. K. (PG); Goi, B. E. (PQ); Carvalho-Jr, V. P. (PQ) FCT-UNESP-Câmpus de Presidente Prudente
- CAT-031** Reaction of alkaline metals Li<sup>+</sup>, Na<sup>+</sup> and K<sup>+</sup> with serpentinite to form different solid basic catalysts. Da Paz, G. M. (PG); Vieira, S. S. (PG); Bertoli, A. C. (PG); Ballotin, F. C. (PG); De Moura, E. M. (PQ); Teixeira, A. P. C. (PQ); Carmignano, O. (PG); Sebastião, R. C. O. (PQ); Lago, R. M. (PQ) UFMG
- CAT-032** Heterogeneous catalysts based on Pd supported in mesoporous silica for selective hydrogenation: influence of the ionic liquid on the catalytic properties. Araujo, M.H. (PQ); Haun, U. G. (PG); Teixeira, A. P. C. (PQ) UFMG
- CAT-033** Glycerol conversion in presence of CO<sub>2</sub>: solvent absence in semi-batch reactor. Florez-Rodriguez, P. P. (PQ); Pamphile-Adrián, A. J. (PQ); Passos, F. B. (PQ) UFF
- CAT-034** Preparation of Poly(lactic acid) blends by heterogenous catalysis using supported 12-tungstophosphoric acid. Paiva, M. F. (IC); Chafran, L. S. (PQ); Dias, J. A. (PQ); Dias, S. C. L. (PQ) UnB
- CAT-035** Mesoporous structures for catalytic pyrolysis of plastic waste. Parente, T. P. (PG); Marques, M. F. V. (PQ) UFRJ
- CAT-036** Hybrid catalysis in carbon dioxide valorization. Gothe, M.L. (PG); Barone, M. (IC); Marques, L. (IC); Caricatti, V. (IC); Bazito, R.C. (PQ); Rossi, L.M. (PQ); Vidinha, P. (PQ) IQUSP
- CAT-037** Estudo do uso de rejeitos industriais como catalisadores na degradação de corantes industriais por processo fenton. Ferreira, A. C. L. N. (IC); Ferreira, H. B. P. (PQ); Ribeiro, R. P. (PQ) IFRJ - Campus Nilópolis
- CAT-038** Development of new materials from industrial waste and biomass for application in catalysis. Fonseca, M. E. (PG); Mambriñi, R. V. (PQ) CEFET-MG
- CAT-039** Esterification of FFA in Soybean oil with acid zeolite catalyst for biodiesel production. Dal Pozzo, D. M. (PG); Costa, M. B. (PQ); Zanatta, E. R. (PQ) UTFPR

## COL – Química de Superfícies e Colóides

- COL-001** Influence of an alternate magnetic field on the cellulase activity immobilized in magnetic nanoparticles. Rocha, C. O. (PG); Lucena, G. N. (PG); Jafelici Jr, M. (PQ); Marques, R. F. C. (PQ) IQAr-UNESP
- COL-002** Adsorption of sodium dodecylbenzenesulfonate (SDBS) and dodecylpyridinium chloride (DPC) onto modified mesoporous silica-coated magnetite. Dorigon, L. (IC); Frota, J.P.R.A. (IC); Andriolli, C.R. (IC); Bail, A. (PQ); Giona, R.M. (PG) UTFPR
- COL-003** Synthesis and characterization of magnetic mesoporous silica nanoparticles for Ba<sup>2+</sup> removal from aqueous media. Reolon, C. M. M. (IC); Bail, A. (PQ); Giona, R. M. (PQ); Tondo, D. W. (PQ) UTFPR
- COL-004** Superhydrophobic self-cleaning surfaces and slippery lubricated ones effect upon inorganic scaling. Signorelli, F. (PG); Sousa, M. F. B. (PQ); Bertran, C. A. (PQ) UNICAMP
- COL-005** Formation of polymer - hexadecylpyridinium chloride complexes using different structures of poly(vinyl alcohol). Andrade, J. M. B. (IC); Santos, G. H. F. (IC); Agudelo, A. J. P. (PG); da Silva, L. H. M. (PQ); Ferreira, G. M. D. (PQ) UFLA
- COL-006** Spectrophotometric and tensiometric investigation of the interaction between Norbixin and surfactants in aqueous medium. Penido, J. A. (PG); Carvalho, I. M. (IC); Junqueira, C. M. (PQ); Virtuoso, L. S. (PQ); Mageste, A. B. (PQ) UFOP
- COL-007** Magnetic composite nanoparticles for hyperthermia and drug delivery to treat cancer. Percin, C. J. (PG); Tirich, B. M. (IC); Cerize, N. N. P. (PQ); Varanda, L. C. (PQ) IQSC-USP

- COL-008** Effect of the formation and dissociation of hydrate on the stability of an W/O emulsion. Rodrigues, R. K. R. (PQ); Naccache, M. F. N. (PQ); de Souza Mendes, P. R. S. M. (PQ) PUC-RIO
- COL-009** Avaliação citotóxica de pirazolina com actividade anticâncer em nanocapsulas de carboximetil-hexanoil quitosana. Rengifo, A.F.C (PG); Stefanos, N.M (PG); Mendes, C. (PG); Toigo, J. (IC); Nunes, R. J. (PQ); Silva, M. C.S (PQ); Parize, A. L. (PQ); Minatti, E. (PQ) UFSC
- COL-010** Síntese de nanopartículas de prata com alto desempenho em espectroscopia SERS no infravermelho próximo. Belgo, H. C. (IC); Sant'Ana, A. C. (PQ) UFJF
- COL-011** Liquid-liquid equilibria of aqueous two-phase systems (ATPS) containing triton-X100 and choline chloride at different temperatures. Silva, S. J. B. (PG); Ferreira, A. L. G. (IC); Penido, J. A. (PG); Mageste, A. B. (PQ); Ferreira, G. M. D. (PQ) UFOP
- COL-012** Adsorption of fluoride by magnetic Li-Al layered double hydroxide. Meira, A. C. R. (PG); Kreutz, J. C. (PG); Bail, A. (PQ); Giona, R. M. (PQ) UTFPR
- COL-013** Variation of the electrokinetic parameters of colloidal systems. Cottet, L.; Almeida, C. A. P.; Pochapski, D. J. (IC) UNICENTRO

## **EDU – Ensino de Química**

- EDU-001** Balanceamento de equações químicas utilizando o feltro como ferramenta de ensino na Semana Nacional de Ciência e Tecnologia 2017. Santos, P. V. (IC); Junior, A. C. (IC); Silva, M. B. (IC); Santos, J. C. (IC); Silva, M. G. A. (PQ) UFAL
- EDU-002** A inserção da Química Ambiental na Educação Básica utilizando a experimentação como estratégia pedagógica. Almeida, L. D. (IC); Pereira, L. F. (IC); Santos, I. S. P. (IC); Vieira, C. D. (IC); Almeida, G. B. (IC); Marcelo, L. R. (PQ) IFRJ-Campus Duque de Caxias
- EDU-003** Feira de negócios como espaço não-formal para o ensino técnico em química. Machado, M. C. (PQ) FIEC
- EDU-004** A Arte como princípio formativo de pibidianos em Química. SILVA, C. S. (PQ) UFPR
- EDU-005** Investigando o conhecimento dos conceitos mistura, substância, átomo e elemento em uma Olimpíada de Química. Maruyama, J. A. (FM); Carvalho, F. F. (IC); Ferreira, K. C. (IC); Rocha, C. O. (PG); Marques, R. F. C. (PQ) IQAR-UNESP
- EDU-006** Use of experimental class and play activity in chemistry teaching: An experience in elementary education. Oliveira, J. M. D. (IC); Costa da, D. R. M. (PQ); Lopes, B. H. S. (IC); Batista, J. C. (IC); Neres, M. E. S. (IC); Sousa, N. M. (IC); Silva, S. R. (IC) UEPA
- EDU-007** Uma nova metodologia para o registro e análise da interação de estudantes com representações tridimensionais de moléculas. Ayres, C. (PG); Consoli, R. A. (IC); Cicuto, C. A. T. (PQ); da Cruz, G. N. (FM); Marson, G. A. (PQ) IQUSP
- EDU-008** Uso de jogos didáticos: desafios e superações na visão de uma professora de química. Santos, S. S. (FM); Moreira, B. C. T. (PQ); Varjão, T. A. (PQ) UNEB
- EDU-009** The influence of "EAR" validation process of teaching sequences on pre-service chemistry teacher preparation. Bego, A. M. (PQ); Giordan, M. (PQ) IQAR-UNESP
- EDU-010** Compreensão textual de graduandos em química: tema biodiesel em foco. Cabral, P. F. O. (PG); Queiroz, S. L. (PQ) IQSC-USP
- EDU-011** Atribuição de nota: moeda de troca para frequência dos acadêmicos na monitoria de Química Inorgânica?. Corsi, W. L. (IC); Stevanato, A. (PQ) UTFPR
- EDU-012** Assessment of construction of knowledge in Covalent Bond in high school through the philosophical zones. Pazinato, M. S. (PQ); Braibante, M. E. F. (PQ); Miranda, A. C. G. (PG) UFRGS
- EDU-013** Factors that influence the rates of reactions: discussing concepts from experimental investigative activities. Bueno, E. A. S. (PQ); Tavares, F. S. C. (FM); Arrigo, V. (PG); Broietti, F. C. D. (PQ) UEL
- EDU-014** Estudo de caso da disciplina 'Química Aplicada à Engenharia': processo corrosivo em portões metálicos em São Miguel-RN. Dias, S. S. (PQ); Chaves, F. A. (IC); Ramos, J. E. T. (PQ) UFERSA
- EDU-015** Utilização de Normas Técnicas de produtos no ensino de Química. Oliveira, T. S. A. (IC); Nunes, R. C. (PQ) IFF
- EDU-016** Um exemplo da aplicação de séries em aulas de Físico-Química: dedução da equação de Ramette. Pietezak, D. F. (IC); Meier, M. M. (PQ); Santana, L. H. (PQ) UDESC
- EDU-017** Texto didático interativo no contexto da atmosfera terrestre com aportes da geometria e polaridade de moléculas. Santos, L. P. (IC); Moreira, B. C. T. (PQ); Santana, D. A. (PQ) UNEB
- EDU-018** The approach of the principles of Green Chemistry by means of ludic activities in the formation of chemistry professionals. Costa, M. C. S. (PG); Soares, M. H. F. B. (PQ); Mesquita, N. A. S. (PQ) UFG
- EDU-019** Destilaria: An innovative board game to improve the organic chemistry learning. MARTINS, M. F. (IC); AVERSA, T. M. (PQ) IFRJ-Campus Duque de Caxias
- EDU-020** Uso de simuladores no estudo dos estados físicos da matéria e do modelo cinético molecular. FURLANI, J. M. S. (PQ); CANDIDO, L. V. (IC); OLIVEIRA, M. B. (IC) UNIFEI
- EDU-021** Territórios analíticos: Uma abordagem dinâmica para o equilíbrio de complexação. Avelino, D. O. S.; Alves, G. F. S.; Santos, D. J. S.; Lira, P. H. A.; Félix, A. M. A.; Santos Alves, G. F. (IC) UFAL

- EDU-022** Leite em “mama” África e a lei 10639/03 no ensino de química. S. Neto, M.; Silva, J. P (PG); Faustino, G. A. A (IC); Alvino, A. C. B. (PG); Santos, M. A (PG); Santos, V. L (PQ); Camargo, M. R (PQ); Vargas, R. N (PQ); Bastos, M. A (PG); Moura, A. R (IC); Lima, G. L. M (IC); Oliveira, L. A (IC); Fernandes, F. S (IC); Silva, A. G (IC); Benite, C. R. M (PQ); Benite, A. M. C (PQ) UFG
- EDU-023** Teaching Chemistry: an interface between the teaching of chemical bonds and alternative materials. FEIJÓ, G.S. (IC); MORAES, A.C. (IC); SILVA, M.D.B. (PQ); REIS, A.S. (PQ) UEPA
- EDU-024** Estruturas educacionais virtuais (EEV) por meio de modelos físicos (MF). Fonseca, A. M. (PQ); Oliveira de, S. J. (IC); Santos, F. K. O. (IC); Martins, E. S. (PG); Sousa de, L. M. (PG); Colares, R. P. (PQ); Seco, M. A. (IC) UNILAB
- EDU-025** Production of a two-dimensional tactile Water Treatment Station for students with visual impairment. Santos, L. S. (IC); Oliveira, M. S. (IC); Cid, T. P. (IC); Rocha, A. C. S. (IC); Penco, V. S. N. (PQ); Estevão, A. P. S. S. (PQ); Silva, A. C. (PQ) IBC
- EDU-026** Low cost molecular models production with digital modeling and fabrication. Mateus, A. L. (PQ) UFMG
- EDU-027** 3D model of Chemistry for assembly of molecules accessible to all and low cost. Candido, Geovany (TC); Duarte, E A (PQ); Maia, D J (PQ) IFSP
- EDU-028** Universidade e Sociedade - o que a Universidade Pública pode Oferecer aos Estudantes - Eletroquímica ao Alcance de toda Sociedade. Castione, R. C. M. S. (FM); Vicinguera, M.L.F. (FM); Oliva, A. D. (FM); Salgado, J. R. C. (PQ) UNILA
- EDU-029** Chemical Kinetics on the tip fingers: an Assistive Technology Resource for Blind and Low Vision Students. Oliveira, M. S. (IC); Santos, L. S. (IC); Cid, T. P. (IC); Rocha, A. C. S. (IC); Penco, V. S. N. (PQ); Estevão, A. P. S. S. (PQ); Silva, A. C. (PQ) IBC
- EDU-030** Scientific articles: a tool for teaching environmental chemistry in technical environmental course. Cruz, R. P. (FM); Mendonça, M. L. T. G. (FM); Sarmiento, J. P. (IC); Mesquita, L. M. (TC); Silva, I. O. (IC); Lima, T. R. Q. (IC) UFRRJ
- EDU-031** Use of photography as didactic approach for teaching Chemistry at high school groups. Anunciação, D. S. (PQ); Queiroz, S. F. (IC); Ferreira Júnior, J. C. (PQ) UFAL
- EDU-032** An Educational Game for the Heat Conceptual Profile Mapping. Leite, M. A. S. (PG); Mesquita, N. A. S. (PQ); Soares, M. H. F. B. (PQ) UFG
- EDU-033** Microplastics and Superheroes - Learning through a Playful Activity. Almerindo, G. I. (PQ); Ehrhardt, A. (PQ); Nalepa, K. T. (IC); Bona, T. F. (IC); Brandellero, M. V. (IC); Fischer, A. C. K. (IC); Costódio, P. F. S. (PQ); Furlanetto, L. (PQ) UNIVALI
- EDU-034** O uso do vídeo no ensino e na aprendizagem de habilidades laboratoriais técnicas. Alvim, T.R. (PQ); Batista, G.F. (IC) CEFET-MG
- EDU-035** Kit para experimentos de eletroquímica, produzido com condutores flexíveis de grafite laminado sobre celulose. Santos, J. (PG); Abreu Filho, P. (PQ); Batista, B. (PQ); Galebeck, F. (PQ) UNICAMP
- EDU-036** Produção de biodiesel a partir de óleo de azeite (*Olea europae*) como proposta de contextualização no ensino de química. Oliveira, S. J. (IC); Fonseca, A. M. (PQ); Carmo, M. (IC); Colares, R. P. (PQ); Martins, V. E. P. (PQ); Silva, B. A. E. (IC) UNILAB
- EDU-037** Visão dos discentes a respeito de jogos analógicos e digitais no ensino de química. Beltrame, A. C. F. (IC); Stevanato, A. (PQ); Zapateiro, G. A. (IC); MORAES, M. P. (IC); Santos, D. P. (IC); Poli, C. T. (FM) UTFPR
- EDU-038** Representação Social de graduandos de Química sobre “Experimentação”. Receptuti, C. C. (PG); Pereira, T. M. (PG); Vogel, M. (PQ); Rezende, D. B. (PQ) IQUSP
- EDU-039** Atividades Experimentais Investigativas: Visões e Propostas de Professores de Química do Ensino Médio. Akahoshi, L. H. (PQ); Marcondes, M. E. R. (PQ); Souza, F. L. (PQ); Ayres-Pereira, T. I. (PG) IQUSP
- EDU-040** Valuable Obstacle as a challenge to the development of the professional knowledge of a Chemistry teacher. PENA, G. B. O (PG); MESQUITA, N. A. S (PQ) UFG
- EDU-041** O ensino da química na concepção dos estudantes de Licenciatura em Educação do Campo-CNM/UFMA. Marcelo, C. R. (PQ) UFMA
- EDU-042** Chemistry teaching for deprived of liberty: challenges of teaching in a recovery center. Oliveira, D. C. B. (IC); Santos, R. A. (IC); Silva, L. O. (PQ) UEPA
- EDU-043** Chemistry teaching perceptions of students from Territorial Center of Professional Education from Vitória da Conquista/BA. Novaes, A. B. S. V. (IC); Silva, S. A. (IC); Santos, S. A. (FM) IFBA
- EDU-044** Perfil formativo dos professores de Química do Instituto Federal de Educação, Ciência e Tecnologia de Goiás. Ferreira, V. S. (IC); Mesquita, N. A. (PQ) IFG
- EDU-045** Socioeconomic Profile of Brazilian Chemistry Students: An Analysis of the Enade Reports. Moreira, D. N. (PQ); Geglio, P. C. (PQ) UFPB
- EDU-046** A Supervisor narration on the history of a PIBID-Chemistry subproject and the construction of teacher professionalism. Pereira, T. M. (PG); Receptuti, C. C. (PG); Vogel, M. (PQ); Rezende, D. B. (PQ) IQUSP
- EDU-047** Incentivo, estímulo, e as ações que levam um aluno do ensino fundamental a se tornar um pesquisador. Uma parceria universidade/escola pública. Castione, R. C. M. S. (FM); Salgado, J. R. C. (PQ); Bet, M. A. (IC) Colégio Estadual Professor Flávio Warken
- EDU-048** Synthesis of alpha-Lapachol, beta-lapachone and hydroxy-hydrolapachol from lapachol (demolition timber): A Research Module for the Organic Chemistry Laboratory. Oliveira, M. D. A. (PG); Costa, J. M. S. (IC); Andrade, T. J. A. S. (PQ); Costa Júnior, J. S. (PQ) IFPI

- EDU-049** Experimento de fotocatalise para aula prática de físico química utilizando resíduo de laboratório. Castro, L. M. F. (PG); Santos, T. S. (IC); Cavalcante, L. A. (IC); Souza, M. O. G. (PQ) UNEB
- EDU-050** Microwave reactions: a green alternative to laboratory classes. SILVA, G. A. L. (IC); SILVA, B. B. (IC); ALMEIDA, Q. A. R. (PQ) IFRJ-Campus Duque de Caxias
- EDU-051** Investigação de parâmetros da cromatografia em camada delgada para avaliação preliminar da qualidade de biodiesel. Lourencetti, C. (PQ) IFSP-Matão
- EDU-052** Experiments and interactive tools to stimulate the learning of fundamental concepts of chemistry. Pedrozo, E. C. (PQ); Santos, D. M. D. (IC); Nascimento, B. N. (IC); Moura, L. C. M. (IC) EEL-USP
- EDU-053** Auto-discharge of a cell: experimental proposal from a continuous professional development courses about applied electrochemistry. Goes, L. F. (PG); Albuquerque, G. Z. Q. (IC); Vairolette, Lucas (IC); Santos, A. H. (TC); Fernandez, C. (PQ); Agostinho, S. M. L. (PQ) IQUSP
- EDU-054** Determination of the Iron(III)-Thiocyanate Reaction Equilibrium Constant using digital images. Mendonça, P.X (IC); Ledesma, C.M (PG); Borges, E.M (PQ) FURB
- EDU-055** Extraction of caffeine from tea in experimental classes of organic chemistry: comparative study. Quintino, M. P. (PQ); Bastos, T. L. (IC); Arantes, G. C. V. (IC) PUC-GO
- EDU-056** Algumas estratégias para ensino de química no Ensino Médio Técnico. Cunha, E. M. S. (IC); Melo, J. C. S. (IC); Couto, G. G. (FM) IFMS
- EDU-057** As contribuições da pedagogia de teatro na formação de professores. Feliciano, J. M. O. (IC); Alves, V. A. (PQ); Siqueira, M. C. (PQ) UFTM
- EDU-058** Study of the contribution of augmented reality for the teaching of organic chemistry in high school. Silva, C. C. (FM); Almeida, S. H. (PG) IFG
- EDU-059** Química no recreio, uma nova forma de ensinar a eletroquímica aos alunos do Ensino Médio. Pasin, R. O. (IC); Silva, C. R. (IC); Castione, R. C. M. S. (FM); Carmona, J. L. C. (IC); Dutra, R. (IC); Estimable, R. (IC); Rodrigues, A. T. G. (IC); Ortiz, F. J. A. (IC); Junior, M. G. O. (IC); Salgado, J. R. C. (PQ) Colégio Estadual Professor Flávio Warken
- EDU-060** Cozinha científica: motivando e promovendo o ensino de química. Colares, R. P. (PQ); Santos, R. M. (IC); Fonseca, A. M. (PQ); Sousa, M. B. (PQ); Oliveira, S. J. (PG); Souza, M. C. M. (PQ); Menezes, E. A. (PQ); Barros, M. S. P. (PG) UNILAB
- EDU-061** Atividade experimental de eletroquímica: contribuição ao processo ensino-aprendizagem. Diniz, B.P. (PG); Brito, E.C.P. (IC); Madalena, L.S. (IC); Silva, L.A. (PQ); Alves, V.A. (PQ) UFTM
- EDU-062** QUÍMICA LÚDICA: a arte de aprender brincando. Fonseca, A. S. (IC); Rodrigues, N. M. C. (IC); Almeida, M. D. S. (PQ); Anjos, D. S. C. (PQ) IF-Sertão Pernambucano
- EDU-063** O ensino de química: um olhar sobre as metodologias empregadas aos alunos surdos. Santos, D. C. P. (PG); Meireles, G. K. Q. (FM); Fonseca, K. C. J. L. (PQ) FBCT
- EDU-064** Chemical Circuit - a Pratical Experience of PET on Alexander Graham Bell Public School. Siqueira, C. T. (IC); Cassa, S. G. S. (IC); Pessoa, T. C. C. (IC); Pinheiro, A. F. (IC); Silva, A. N. (IC); Souza, A. T. (IC); Cunha, B. S. (IC); Cassini, G. C. (IC); Costa, I. S. (IC); Santos, J. B. (IC); Pereira, M. F. (IC); Costa, P. R. A. (IC); Santos, A. P. B. (PQ); Crespo, L. T. C. (PQ) IFRJ-Campus Duque de Caxias
- EDU-065** Jogo da Veeelha Estequiometria - abordagem interdisciplinar para o ensino envolvendo conteúdos químicos e matemáticos. Bastos, C. S. (IC); Moreira, B. C. T. (PQ) UNEB
- EDU-066** Estudo de casos: uma análise de aplicação do método.

Rodrigues, N. M. C. (IC); Fonseca, A. S. (IC); Vieira, G. A. B. (PQ) IF Sertão Pernambucano - Campus Petrolina

## ELE – Eletroquímica e Eletroanalítica

- ELE-001** Determination of fenitrothion in food samples by using single-wall carbon nanohorns and zein thin film. Itkes, M. P. M. (IC); Oliveira, G. G. (PQ); Fatibelo-Filho, O. (PQ); Janegitz, B.C. (PQ) UFSCar-Campus de Araras
- ELE-002** Evaluation of Triazoles Compounds as a corrosion inhibitor for 1020 carbon steel. Godoy, A. A. (IC); Lougon, D. J. F. (IC); Teixeira, S. F. (IC); Cotrim, B. A. (FM); Resende, G. O. (FM); Souza, F. C. (FM) IFRJ
- ELE-003** Correlating surface growth of nanoporous gold with electrodeposition parameters to optimize amperometric sensing of nitrite. Kumar, A. (PQ); Gonçalves, J. M. (PQ); Sukeri, A. (PQ); Koiti, A. (PQ); Bertotti, M. (PQ) IQUSP
- ELE-004** A sample drop cell based on gold microelectrodes obtained from split electronic chips. Pedrotti, J. J. P. (PQ); Oliveira, W. V. O. (IC); Hígino, G. S. H. (PG); Trevisan, J. T. T. (IC) UPM
- ELE-005** Carbon supported hybrids nanostructures PtSn with CeO<sub>2</sub> nanorods for Direct Ethanol Fuel Cells. Gentil, T. C. (PG); Parreira, L. S. (PQ); Souza, F. M. (PG); Pinheiro, V. S. (PG); Nandenha, J. (PQ); Neto, A. O. (PQ); Santos, M. C. (PQ) UFABC
- ELE-006** Improving the electrochemical response of furosemide by drop casting chemically reduced graphene oxide onto glassy carbon electrodes. Vasconcelos, S. C. (IC); Rodrigues, E. M. (IC); da Silva, F. D. (PG); Semaan, F. S. (PQ); Dornellas, R. M. (PQ) UFF

- ELE-007** A novel thin film Sn<sub>3</sub>O<sub>4</sub> supported titanium (Sn<sub>3</sub>O<sub>4</sub>/Ti) successfully applied in the photoelectrocatalytic degradation of Acid Yellow 17 under visible light. Huda, A. (PG); Torquato, L. D. M. (PQ); Suman, P. H. (PQ); Handoko, C. T. (PQ); Gulo, F. (PQ); Zaroni, M. V. B. (PQ); Orlandi, M. O. (PQ) IQAr-UNESP
- ELE-008** O uso de filmes nanoporosos de Au na fabricação de microssensores eletroquímicos para a detecção de peróxido de hidrogênio. Carvalho Junior, E. J. (IC); Hernández Saravia, L. P. (PG); Catota Saézn, H. S. (IC); Bertotti, M. (PQ) IQUSP
- ELE-009** Evaluation of adsorption behavior of fibronectin protein onto PEDOT-co-PDLLA thin films supported on Au electrodes by QCM-D. Araujo Silva, R. (PQ); de Torresi, S. I. C. (PQ) IQUSP
- ELE-010** Direct detection of BHA in food samples using oil/water interface electrochemistry as main tool. Alcantara, A. C. (PG); de Godoi, K. T. S. (PG); Suffedini, H. B. (PQ) UFABC
- ELE-011** Synthesis and characterization of cerium nanoparticles supported in graphene nanosheets.  
Lima, T. S. (PG); Paz, E. C. (PG); Santos, M. C. (PQ); Codognoto, L. (PQ) UNIFESP-Diadema
- ELE-012** Development of electrochemical paper-based analytical device for detection of Pseudomonas aeruginosa in water and saliva samples. Silva, R. F. (IC); de Araujo, W. R. (PQ) IQUSP
- ELE-013** Flow injection analysis of furosemide in pharmaceutical formulations using electrochemically reduced graphene oxide modified electrode. Ataíde, V. N. de (PG); Gonçalves, J. M. (PG); Mendes, L. F. (PG); Araujo, W.R. de (PQ); Araki, K. (PQ); Paixão, T. R. L. C. da (PQ) IQUSP
- ELE-014** H<sub>2</sub>O<sub>2</sub> detection in alkaline medium by Batch Injection Analysis using Prussian blue/carbon nanotubes/reduced graphene oxide film. Silva, S. C. (IC); Nossol, E. (PQ); Cardoso, R. M. (PG); Richter, E. M. (PQ); Munoz, R. A. A. (PQ) UFU
- ELE-015** Influence of the electrode and chaotropicity of the electrolyte on the oscillatory behavior of the electrocatalytic oxidation of SO<sub>2</sub>. Dourado, A. H. B. (PG); Munhos, R. L. (PG); Varela, H. (PQ); Torresi, S. I. C. (PQ); Arenz, M. (PQ) IQUSP
- ELE-016** Effect of iron concentration on degradation of Orange II azo dye by electro-Fenton and UVC Photoelectro-Fenton. Paz, E. C. (PG); Pinheiro, V. S. (PG); Aveiro, L. R. (PG); Santos, M. C. (PQ) UFABC
- ELE-017** Silk fibroin based impedance biosensor using interdigitated array microelectrode. Costa, M. F. (PG); Cipriano, T. (PQ); Rojas, J. E. U. (PG); Peroni, L. A. (PQ); Christoffolete, M. A. (PQ); Benvenho, A. R. V. (PQ); Guha, S. (PQ); Alves, W. A. (PQ) UFABC
- ELE-018** Modeling of poly(Vinylidene Fluoride) by molecular dynamics simulations. Da Silva, R. C. (IC); Silva, F. C. A. (PG); Costa, L. T. (PQ) UFF
- ELE-019** Electrodeposition of Prussian Blue/Carbon Nanotubes Composites at a Liquid-Liquid Interface. Husmann, S. (PG); Booth, S. G. (PG); Dryfe, R. A. W. (PG); Zarkin, A. J. G. (PQ) UFPR
- ELE-020** Sensor eletroquímico à base de polieletrólito para a determinação de prometazina. Oliveira, R. C. (IC); Sousa, C. P. (PQ); Lima-Neto, P. (PQ); Correia, A. N. (PQ) UFC
- ELE-021** Use of TiO<sub>2</sub> nanotubes electrodes decorated with silver nanoparticle/nanocubes for enhanced CO<sub>2</sub> photoelectroreduction. Perini, J. A. L. (PQ); Christovam, L. M. (PG); Torquato, L. D. M. (PQ); Ribeiro, S. J. L. (PQ); Zaroni, M. V. B. (PQ) IQAr-UNESP
- ELE-022** Electrochemical study and quantification of anesthetic xylazine in urine and pharmaceutical formulations.  
de Araujo, W. R. (PQ); Mendes, L. F. (PG); Silva, A. R. S. (IC); Bacil, R. P. (PG); Paixão, T. R. L. C. (PQ); Angnes, L. (PQ) IQUSP
- ELE-023** Determination of fructose in fruit juices using an electrode modified with reduced graphene oxide and molecularly imprinted polymer poly(phenylboronic acid). Moreira, L. F. P. P. (IC); Buffon, E. (PG); Sá, A. C. (PQ); Stradiotto, N. R. (PQ) IQAr-UNESP
- ELE-024** Development of electroanalytical sensors based on electropolymeric films and molecular imprinting technology. Teixeira, W. S. R. (PG); Silva, M. K. L. (PG); Gruber, Jonas (PQ); Cesarino, I. (PQ); Megid, J. (PQ) IBB-UNESP
- ELE-025** Evaluation of sulfonamide-based anilines as a corrosion inhibitor for 1020 carbon steel. Godoy, A. A. (IC); Lougon, D. J. F. (IC); Teixeira, S. F. (IC); Meira, V. N. (IC); Santiago, V. S. (FM); Souza, F. C. (FM) IFRJ
- ELE-026** Platinum surface oxidation in the presence of different alcohols. Roquette, J. M. (IC); Santiago, P. V. B. (PG); Angelucci, C. A. (PQ); Souza-Garcia, J. (PQ) UFABC
- ELE-027** Electrochemical oxidation of the Sunset Yellow in acidic medium using boron-doped diamond anode (BDD). Neves, C. G. (IC); da Silva, L. A. L. (PG); Carvalho, A. E. (PQ); Barros, W. R. P. (PQ) UFGD
- ELE-028** Desenvolvimento de eletrodos de grafite para detecção eletroquímica em substrato de papel. Rocha, D. S. (IC); Duarte, L. C. (PG); Dias, A. A. (PG); Santana, M. H. P. (PQ); Coltro, W. K. T. (PQ) UFG
- ELE-029** TiO<sub>2</sub> nanotubes modified with ZIF-8 used for CO<sub>2</sub> capture and photoelectroreduction. Cardoso, J. C. (PQ); Stulp, S. (PQ); Brito, J.F. (PG); Flor, J. B. (PQ); Frem, R. C. G. (PQ); Zaroni, M. V. B. (PQ) IQAr-UNESP
- ELE-030** Gold Leaf: from gilding to the fabrication of AuNP-modified electrochemical sensor. Ameku, W. A. A. (PG); Santos, M. S. F. S. (PQ); Gutz, I. G. R. G. (PQ); Paixão, T. R. L. C. P. (PQ) IQUSP
- ELE-031** Niobium as co-electrocatalyst for Pd in alkaline medium: improved selectivity and mechanism for ethanol electrooxidation reaction. Souza, F. M. (PG); Parreira, L. S. (PQ); Oliveira, V. H. A. (IC); Pinheiro, V. S. (PG); Batista, B. L. (PQ); Nandeha, J. (PQ); Neto, A. O. (PQ); Santos, M. C. (PQ) UFABC
- ELE-032** Comportamento voltamétrico de um análogo sulfonil-hidrazona do nitrofuril com potencial atividade antichagásica. Almeida, L. S. (IC); Chiavassa, L. D. (PG); Gatti, F. M. (PG); Trossini, G. H. G. (PQ); La Scalea, M. A. (PQ) UNIFESP-Diadema



- ELE-033 Inner- or outer-sphere. We should still learn about heterogeneous electronic transfer.** Chaves, B. P. (IC); Cavallieri, M. C. (IC); Beruski, O. B. (PQ); Cabral, M. F. (FM) IFRJ
- ELE-034 Modeling the electroreduction of hydrogen peroxide in alkaline media.** Rodrigues Pinto, M. R. (PG); Miranda, R. C. C. (PG); da Silva, K. N. (PG); Sitta, E. (PQ); Nagao, R. (PQ) UNICAMP
- ELE-035 Amperometric and voltammetric determination of tibolone in pharmaceutical and saliva samples.** da Silva, W. P. (PG); da Rocha, R. G. (PG); Muñoz, R. A. A. (PQ); Richter, E. M. (PQ) UFU
- ELE-036 QCM-D and ATR-FTIR studies applied to the understanding of LCysteine adsorption: how can viscoelastic changes be explained?.** Dourado, A. H. B. (PG); Silva, R. A. (PQ); Torresi, R. M. (PQ); Arenz, Matthias (PQ); Córdoba de Torresi, S. I. (PQ) IQUSP
- ELE-037 Application of the carioca bean (*Phaseolus vulgaris* L.) for the electroanalytical detection of phenol using graphite- SiO<sub>2</sub>-TiO<sub>2</sub> electrode.** Mihos, F. C. S. S. (PG); Guedes, P. H. C. (IC); Ribeiro, E. S. (PQ); Silva, M. L. C. (PQ); Salgado, A. M. (PQ) UFRJ
- ELE-038 Electrocatalytic activity of niquel hexacyanoferrate supported on reduced graphene oxide for electrooxidation reaction Glycerol.** Rodrigues, I. A. (PQ); Viégas, D.S.S. (PG); Silva, L. M.S. (PG); Marques, A.L.B. (PQ) UFMA
- ELE-039 Development of an enzymatic cascade immobilized on modified nafion to produce an efficient ethanol/O<sub>2</sub> biofuel cell.** Franco, J. H. (PQ); De Andrade, A. R. (PQ) FFCLRP-USP
- ELE-040 Voltammetric Behavior Study of Nitrofurazone at Multi-wall Carbon Nanotube-Modified Glassy Carbon Electrode in Aqueous Media.** Brito, C.L. (PG) FCF-USP
- ELE-041 Platinum nanoparticles supported on carbon-based materials as electrocatalysts for methanol oxidation reaction.** Giareta, R. (IC); Pasin, R. O. (IC); Salgado, J. R. C. (PQ) UNILA
- ELE-042 Eletrodeposição e caracterização da liga NiFe com 20 e 30% de substituição do Ni no banho de watts.** Tavares, I. L. M. (IC); Cunha, A. C. C. (IC); Medeiros, F. C. (IC); Silva, P. S. G. (PQ) UFCG
- ELE-043 Nanoporous Gold Microelectrode as Scanning Electrochemical Microscopy (SECM) Probe for the Study of Dopamine Diffusion.** Selva, J. S. G. (PG); Sáenz, H. S. C. (IC); Saravia, L. H. (PG); Sukeri, Anandhakumar (PQ); Montero, P. J. E. (PQ); Bertotti, M. (PQ) IQUSP
- ELE-044 Performance and characterization a new electrochemical sensor based on Fe<sub>3</sub>O<sub>4</sub>/MWCNT-O to detection Metribuzin Herbicide.** Silva da, L. A. L. (PG); Corazza, M. Z. (PQ); Carvalho, A. E. (PQ) UFGD
- ELE-045 Voltammetric study of nitrofurazone in ionic liquids by using a carbon fiber microelectrode.** Chiavassa, L.D. (PG); Camilo, F.F. (PQ); La-Scalea, M.A. (PQ) UNIFESP-Diadema
- ELE-046 Fabrication of a disposable electrochemical paper-based device for cortisol quantification.** Mendes, L. F. (PG); Araujo, W. R. (PQ); Paixão, T. R. L. C. (PQ) IQUSP
- ELE-047 Electrochemical sensor based on MIP grafted on multi-walled carbon nanotubes for 17beta-estradiol determination.** Marques, G. L. (IC); Dos Santos, D. M. (PQ); Almeida, F. G. (IC); Rocha, L. R. (PG); Tarley, C. R. T. (PQ) UEL
- ELE-048 Development of an electrochemical lectin-based biosensor using a novel Galectin-1-Maltose Binding Protein fusion molecule.** Gomes, P. O. M. (PG); De Leo, T. C. (PG); Batistuti, M. R. (PQ); Dias-Baruffi, M. (PQ); Naal, Z. (PQ) FFCLRP-USP
- ELE-049 Submicro quantification of N-acetylcysteine by electrochemically-driven homogeneous catalysis, on boron-doped diamond electrodes.** Goulart, M.O.F. (PQ); Santos, A.C.F. (PG); Moura, F.A. (PQ); Luz, R.C. (PQ); Kubota, L.T. (PQ); Damos, F.S. (PQ) UFAL
- ELE-050 Electrochemical biosensor based on botryosphaeran as a novel biomaterial for laccase immobilization.** Mattos, G. J. (IC); Dekker, A. M. B. (PQ); Dekker, R. F. H. (PQ); Camargo, P. H. C. (PQ); Barbosa, E. C. M. (PG); Sartori, E. R. (PQ) UEL
- ELE-051 Complex Dynamic during the oscillatory electro-oxidation of glucose on platinum.** Ferreira, G. C. A. (PG); Varela, H. (PQ) IQSC-USP
- ELE-052 Carbon nanotube/reduced graphene oxide nanocomposite formed at interfacial method: Properties and potential electroanalytical applications.** Rocha, D. P. (PG); Castro, S. V. F. (PG); Silva, M. N. T. (PG); Cardoso, R. M. (PG); Tormin, T. F. (PG); Richter, E. M. (PQ); Nossol, Edson (PQ); Munoz, R. A. A. (PQ) UFU
- ELE-053 Desenvolvimento e caracterização de um sensor fotoeletroquímico nanoestruturado utilizando BiVO<sub>4</sub>.** Araujo, M. S. (IC); Galvão, J.C.R. (PG); Dall'Antonia, L.H. (PQ); Tarley, C.R.T. (PQ); Matos, R. (PQ); Medeiros, R.A. (PQ) UEL
- ELE-054 Electrochemical bistability induced by surface area changes.** Rospendowski, J. (IC); Rodrigues, M. (PG); Nagao, R. (PQ) UNICAMP
- ELE-055 Nanostructured Nickel Hydroxide Electrodes by Electrodeposition.** Cerqueira, G. (IC); Colombo, R. N. P. (PG); Torresi, S. I. C. (PQ) IQUSP
- ELE-056 Electrochemical study of carbon nanotube@polyaniline hybrid for application in active solar cell layer.** Ferreira, L. L. (PG); Fengler, T. A. L. (IC); Calado, H. D. R. (PQ) UFMG
- ELE-057 Enzymatic biosensor based on tyrosinase and gold nanostructures for Bisphenol A determination.** Silva, J. A.; Lavayen, V. G.; Inroga, F. A. D. (PG) UFRGS
- ELE-058 Performance of the LiFePO<sub>4</sub> in supercapatteries.** Ortega, P. F. R. (PQ); Santos, G. O. (IC); Silva, G. G. (PQ); Blanco, C. (PQ); Santamaría, R. (PQ); Lavall, R. L. (PQ) UFMG
- ELE-059 Eletrodeposição de prata usando líquido iônico [HMIM<sup>+</sup>][HSO<sub>4</sub><sup>-</sup>].** Sousa, N. G. (IC); Sousa, C. P. (PQ); Eguiluz, K. I. B. (PQ); Salazar-Banda, G. R. (PQ); Correia, A. N. (PQ); Lima-Neto, P. (PQ) UFC

**ELE-060** MBP-Gal-1 chimeric protein immobilization onto GCE functionalized by electrochemical reduction of pyridinium diazonium derivative. Gomes, M. F. (PG); Gomes, P. O. M. (PG); Silva, W. R. (TC); Batistuti, M. R. (PQ); Donato, P. M. (PQ); Naal, Z. (PQ) FFCLRP-USP

**ELE-061** Electrochemical SERS of Flavin on a Gold Surface. Jaimes, R.F.V.V.J. (PQ); Salcedo, W.J.S. (PQ); Corio, P.C. (PQ) IQUSP

**ELE-062** Carbon nanofibers modified screen-printed electrode for copper analysis in bioethanol by anodic stripping voltammetry.

Azevedo, V. H. R. (IC); Da Silva, J. L. (PQ); Stradiotto, N. R. (PQ) IQAr-UNESP

## EST – Química Estrutural

**EST-001** In Situ Preparation of a complex salt formed by the anionic metallacycle  $[\text{Co}_2(\text{H}_2\text{mpba})_3]_2^-$  stabilized by the  $[\text{Co}(\text{tppz})_2]^{2+}$  complex. Mariano, L. S. (IC); Do Pim, W. D. (PQ); Doriguetto, A. C. (PQ); Rosa, I. M. L. (PQ); Ribeiro, M. A. (PQ); Stumpf, H. O. (PQ); Marinho, M. V. (PQ) UNIFAL

## FIS – Físico-Química

**FIS-001** Estudo de modelagem molecular, em compostos híbridos de Nor- $\beta$ -lapachona com chalconas, na investigação do tratamento do câncer. LIRA, P. H. A. (IC); Malta, V. R. S. (PQ); Silva, S. W. D. (PQ); da Silva, J. R. N. (IC) UFAL

**FIS-002** Secondary ion emission from water ice induced by mev of fission fragments and its applicability in astrochemistry. Santos, J. de C. (IC); Andrade, D. P. P. (PQ); da Silveira, E. F. (PQ); Baptista, Leonardo (PQ); Boechat-Roberty, H. M. (PQ) UFRJ

**FIS-003** A Study of the Influence of Debris on the Adsorption Capacity of Functionalized Multi-Walled Carbon Nanotubes. Amaral, T. M. (IC); Santos, G. O. (IC); Pires, N. J. (PQ); Castro, V. G. (PQ); Silva, G.G. (PQ); Lavall, R. L. (PQ); Ortega, P. F. R. (PQ) CEFET-MG

**FIS-004** Impact of water concentration on the electro-oxidation of methanol on platinum. Romano, R. L. (IC); Previdello, B. A. F. (PQ); Varela, H. (PQ) IQSC-USP

**FIS-005** A homemade device colorimeter for quantitative and qualitative analysis of organophosphates. Nascimento, L. L. Q. (IC); Baptista, V.S. (PG); Souza, E.O. (PQ) UFPR

**FIS-006** Colorimetric detection of glyphosate via an aromatic derivative. Hellinger, H.R. (IC); Silva, S. V. (PG); Orth, E. S. (PQ) UFPR

**FIS-007** 2D, 3D and 4D QSAR studies relating flavanoid inhibitor activity in alpha estrogen receptors. Barcelos, V. H. T. (IC); Borges de Melo, E. (PQ); Martins, J. P. A. (PQ) UFMG

**FIS-008** Study of the influence of NaY zeolite particle size on CO adsorption: analysis by infrared spectroscopy with fourier transform. Viana, A.; Neto, P. R. C.; Rizzo-Domingues, R. C. P.; Kich Severo, I. (IC) UTFPR

**FIS-009** Amides as nucleophiles in dephosphorylation processes: reactivity favored by tautomerism. Fernandes, J. M. (IC); Campos, R. B. (PQ) UTFPR

**FIS-010** Stereochemical studies of Dansylglycine bound to protein Human Serum Albumin. de Souza, A. R. (PQ); Boza, I. A. F. (PG); Ximenes, V. F. (PQ); Morgon, N. H. (PQ) UNESP-Bauru

**FIS-011** Reverse solvatochromism of iminophenolate dyes comprised of 5-nitrofur-2-yl or 5-nitrothiophen-2-yl as electron acceptor. Melo, C. E. A. (PG); Nicoletti, C. R. (PQ); Rezende, M. C. (PQ); Bortoluzzi, A. J. (PQ); Heying, R. S. (PG); Oliboni, R. S. (PQ); Caramori, G. F. (PQ); Machado, V. G. (PQ) UFSC

**FIS-012** 4-Aminoantipyrine abatement from water by electrochemical advanced oxidation processes and study of its complex with Fe(III). Silva, L. M. (PG); Gozzi, F. (PQ); Sirés, I. (PQ); Brillas, E. (PQ); Oliveira, S. C. (PQ); Machulek Jr., A. (PQ) UFMS

**FIS-013** Physical Chemical properties and vibrational analysis of Reline, a choline chloride based DES, and dimethyl sulfoxide mixtures. Triolo, A.; Andanson, J. M.; Husson, P.; Avila, J. N. L. IQUSP

**FIS-014** Spontaneous electrostatic charging during phase transition at solid-gas and liquid-gas interfaces. Burgo, T. A. L. (PQ); Moreira, K. S. (IC); Galembeck, F. (PQ) UFMS

**FIS-015** Effect of temperature on the liquid-liquid equilibrium of the ternary system water + pluronic10R5 + ammonium thiosulfate. Fontoura, B.M. (PG); Chagas, F.O. (PG); Vargas, S.J.R (PG); da Silva, L.H.M (PQ); Hespanhol, M.C (PQ) UFRJ

**FIS-016** Probing the biophysical interactions of chitosan derivatives with cell membrane models using Sum-Frequency Generation Spectroscopy. De Oliveira Pedro, R. (PQ); Miranda, P. B. (PQ) IFSC-USP

**FIS-017** Excess of vibrational density of states and relaxation processes studies on glass forming ionic liquids. Lima, T.A. (PQ); Li, Z. (PG); Zhang, Y. (PQ); Ribeiro, M. C. C. (PQ) IQUSP

**FIS-018** Synthesis Ag/Nb<sub>2</sub>O<sub>5</sub> nanostructures for the visible light photocatalytic degradation of the methylene blue dye. Jambo, R. B. A. (IC); Santos, P. B. (PG); Andrade, G. F. S. (PQ) UFJF

**FIS-019** Mechanistic study between the pesticide methyl-parathion and imidazole: unusual selective attack at the aliphatic carbon. Silva, V. B. (PG); Nunes, M. C. (PQ); Nascimento, L. L. Q. (IC); Oliveira, A. R. M. (PQ); Orth, E. S. (PQ) UFPR

**FIS-020** Descoloração e degradação do corante reativo Remazol Preto B por oxidação com H<sub>2</sub>O<sub>2</sub>/NaOH. Mora, A. (IC); Floriani, H. L. (IC); Mittersteiner, M. (PG); De Jesus, P. C. (PQ) FURB

- FIS-021** Phase inversion behavior of poly(ethylene glycol) + NaOH + water aqueous two-phase systems (ATPSs): Effect of polymer molar mass. Penido, J. A. (PG); Gonçalves, G. R. S. (IC); Carvalho, I. M. (IC); Mageste, A. B. (PQ); Ferreira, G. M. D. (PQ) UFOP
- FIS-022** Use of surfactants as selective modulators in the partition in aqueous two-phase systems: An alternative for speciation of dyes. Penido, J.A. (PG); Martins, P.L. (IC); Ferreira, G.M.D. (PQ); Mageste, A.B. (PQ) UFOP
- FIS-023** Análise de dopagens substitucionais com V e N na superfície de TiO<sub>2</sub> através do método DFT-GGA. Da Silva, G. O. (PG); Politi, J. R. S. (PQ); Martins, J. B. L. (PQ) UnB
- FIS-024** The effect of acetone and sulfuric acid concentrations on sequential oscillations in a modified Belousov-Zhabotinsky reaction. Chern, M. S. (PG); Faria, R. B. (PQ) UFRJ
- FIS-025** The use of agro-industrial waste and Moringa oleifera leaves as antioxidants sources for soy oil biodiesel. Valenga, M. G. P. (PG); Boschen, N. L. (PG); Rodrigues, P. R. P. (PQ); Maia, G. A. R. (PQ) UNICENTRO
- FIS-026** Study of the behavior of the methyl orange (MOR) dye in binary mixtures using amphiprotic solvents. Sant'Ana, A. C. (IC); Danguí, A. Z. (IC); Nicolini, K. P. (PQ); Nicolini, J. (PQ) IFPR
- FIS-027** Effect of inhibitors and a bad solvent on a Brazilian crude oil: kinetics of asphaltene adsorption on gold surfaces of QCM electrode. Balestrin, L. B. S. (PG); Bertran, C. A. (PQ); Cardoso, M. B. (PQ); Loh, W. (PQ) UNICAMP
- FIS-028** Estudo comparativo da eficiência de adsorção de diferentes classes de corantes textéis empregando residuo industrial. Miguel, T. (IC); Schmitz, F. (PG); Barcellos, I.O. (PQ) FURB
- FIS-029** Solubilidade de timina (THY) em água do mar artificial para estudos de química prebiótica. Carvalho, D. A. (IC); Silva, A. C. (PG); Carneiro, C. E. A. (PQ) UFOB
- FIS-030** Análise físico-química e determinação de metais tóxicos presentes na manipueira. Melo, I. K. L. (IC); Tavares, M. C. (PG); Cavalcanti, J. C. M. (PQ); Júnior, J. G. S. (PQ); Botero, W. G. (PQ); Del Colle, V. (PQ) UFAL
- FIS-031** Surface modification of aseptic carton package for energy harvesting devices. Moreira, K. S. (IC); Burgo, T. A. L. (PQ) UFSM
- FIS-032** Raman spectroscopy applied to the restoration and conservation of cellulose-supported work of art. Campos, P. S. (IC); Castro, A. A. N. (PQ); Sant'Ana, A. C. (PQ) UFJF
- FIS-033** Influência da relação molar óleo de macaúba / metanol na produção de biodiesel em um reator de leito fixo. Aguiar, F. C. L. (PG); Silva, F. M. (PQ); Suarez, P. A. Z. (PQ); Cunha, M. F. (IC) UnB
- FIS-034** New Approach For Calculation Of Enthalpy Of Formation From Computational Thermochemistry. Batistela, V. R. (PQ); Sene, A. P. (IC); Dias, A. O. (PG); Vanzin, D. (PG); Ueno, L. T. (PQ) UEM
- FIS-035** Computer simulations of chiro-magnetic nanoparticles. Santos, U. S. (PG); Yeom, J. (PQ); Kotov, N. A. (PQ); de Moura, A. F. (PQ) UFSCar
- FIS-036** Microbial habitability of Europa sustained by radioactive sources. Thiago, A. (PG); de Avellar, M. G. B. (PQ); Rodrigues, F. (PQ); Galante, D. (PQ) CNPEM
- FIS-037** Effect of macromolecule hydrophobicity on liquid-liquid equilibrium of aqueous two-phase system composed of (NH<sub>4</sub>)<sub>2</sub>S<sub>2</sub>O<sub>3</sub>. Chagas, F. O. (PG); Fontoura, B. M. (PG); Vargas, S. J. R. (PG); da Silva, L. H. M. (PQ); Hespanhol, M. C. (PQ) UFV
- FIS-038** Síntese e caracterização do monômero di-hidrogenofosfato de 10-metacrilóxidecila (10-MDP). Furtado, P. R. P. (IC); Meier, M. M. (PQ); Castro, N. (PG); Gariani, R. G. (PQ) UDESC
- FIS-039** Encapsulação de monômero metacrílico: caracterização do complexo de inclusão e do polímero formado. Savanhago, R. M. (IC); Meier, M. M. (PQ) UDESC

## FOT – Fotoquímica

- FOT-001** The photodegradation behavior of two indium phthalocyanines and its influence on the photohaemolysis of human red blood cells. Silva da, A. R. (PQ); Silva da, L. C. D. (IC); Rocha, S. L. (IC) IFES-Campus Aracruz
- FOT-002** Synthesis and characterization of tetraporphyrins dispersed in peptide based low molecular weight gelators. Vassiliades, S. V. (PG); Pinheiro, M. V. B. (PQ); Krambrock, K. (PQ); Giutinni, F. (PQ); Alves, W. A. (PQ) UFABC
- FOT-003** Produção fotoquímica de O<sub>2</sub> e H<sub>2</sub> a partir da água usando um complexo tricarbonil de Mn(II) na ausência de oxidantes. Marchi, R. C. (PG); Carlos, R. M. (PQ) UFSCar
- FOT-004** Photocatalytic treatment of wastewater from cassava processing by using NiO/Ni/TiO<sub>2</sub> composites. SANTOS, K. S. (PG); LOPES, P. A. L. (PG); SILVA, L. A. (PQ) UFBA
- FOT-005** Amyloid Beta Monitoring Through a Ru(II) Complex: Luminescent Probe Candidate for Early Diagnosis of Alzheimer's Disease. Cali, M. P. (PG); Carlos, R. M. (PQ) UFSCar
- FOT-006** A study of the photophysical and solvatochromic properties of naphtho[2,3-b]benzofuran-6,11-diones. Teixeira, R. I. (PG); Tonin, M. D. (PG); de Lucas, N. C. (PQ); Garden, S. J. (PQ) UFRJ
- FOT-007** Photocatalyzed [2+2]-cycloaddition of 3-(2-oxo-2-phenylethylidene)-2-oxindole by ruthenium complexes. Teixeira, R. I. (PG); Garden, S. J. (PQ); de Lucas, N. C. (PQ) UFRJ

- FOT-008** Synthesis and photophysical studies of new fluorescent N-acylhydrazone and semicarbazone-7-NEt<sub>2</sub>-coumarin dyes. Pereira, T. M. (PG); Miranda, F. S. (PQ); Kummerle, A. E. (PQ) UFRRJ
- FOT-009** Estudo por fotólise por pulso de laser da reatividade do triplete de dimetoxi-xantonas frente a doadores de energia, elétron e hidrogênio. Ferreira, R. C. (PG); de Almeida, V. G. (IC); de Oliveira, C. H. C. S. (PG); Machado, A. E. H. (PQ); Cesarin-Sobrinho, D. (PQ); Netto-Ferreira, J. C. (PQ) UFRRJ
- FOT-010** Photodegradation of sodium diclofenac and toxicity monitoring. Lima, L. S. (IC); Galdino, M. M. (IC); Souza, D. R. (PQ) UFOB
- FOT-011** Estudo da interação entre azul de metileno e curcumina para uso em terapia fotodinâmica combinada com antiangiogênica. Silva, R. C. (PG); Neri, C. R. (TC); Serra, O. A. (PQ); Iamamoto, Y. (PQ); Buzzá, H. H. (PQ); Borissevitch, I. E. (PQ); Gonçalves, P. J. (PQ) UFG
- FOT-012** Síntese e avaliação fotofísica preliminar de benzimidazóis bifenílicos. Araujo, N. S. de (PG); Rocha, T. C. da (IC); Villar, J. D. F. (PQ); Miranda, F. da S. (PQ) IME
- FOT-013** Preparation and characterization of fibroin hydrogels for potential application in photodynamic therapy. Ulloa, J.E (PG); Giuntini, F (PQ); Alves, W (PQ) UFABC
- FOT-014** Síntese e caracterização do complexo [Ru(phen)<sub>2</sub>(iso)]PF<sub>6</sub>. Pachel, B. (IC); Marchi, R.C. (PG); Silva, D. F. (PQ); Fernandes, J. B. (PQ); Silva, M. F. G. F. (PQ); Carlos, R. M. (PQ) UFSCar
- FOT-015** Nature-inspired fluorescent betalains. Bastos, E. L. (PQ) IQUSP
- FOT-016** Development of topical formulation containing methylene blue for photodynamic therapy. Costa, L. A. G. (IC); Pereira, H. K. M. (IC); Fontes, A. (PQ); Falcão, J. S. A. (PQ); Santos, B. S. (PQ) UFPE

## INO – Química Inorgânica

- INO-001** Degradação do antibiótico levofloxacino catalisada por porfirinas de manganês. Lage, A. L. A. (PG); Silva da, M. A. N. (TC); Martins, D. C. S. (PQ) UFMG
- INO-002** trans-[Ru(NH<sub>3</sub>)<sub>4</sub>(pyS)X] complexes: syntheses, characterization and self-assembled monolayer on gold. Azevedo, I. A. L. (IC); Paulo, T. de F. (PQ); Castro de, C. B. (PG); Diógenes, I. C. N. (PQ) UFC
- INO-003** Stability study of the complex ion [Cu(opba-dCl)]<sup>2-</sup> in function of pH. Souza, D. O. (IC); Pedroso, E. F. (PQ); Dutra, R. C. Q. (PQ) CEFET-MG
- INO-004** Indirect Detection of HO• Radical Produced by a Copper Complex under Electrolysis Conditions: Ascorbic Acid as Redox Probe. Dibo, V. S. (IC); Abreu, D. S. (PG); Ramos, A. I. B. (PG); Nascimento, O. R. (PQ); Diógenes, I. C. N. (PQ) UFC
- INO-005** Síntese e comportamento catalítico de porfirinas de Mn(III) na formação de carbonatos cíclicos utilizando CO<sub>2</sub> e epóxidos. Milani, J. L. S. (PQ); Meireles, A. M. (PG); Bezerra, W. A. (IC); Martins, D. C. S. (PQ); Chagas, R. P. (PQ); Cangussu, D. (PQ) UFG
- INO-006** Energy transfer in trivalent europium diphenylphosphinate matrix associated with αβ-diketone ligand. Lazzarini, A. B. (IC); Castro de, P. R. (IC); Bim, L. F. B. (PG); Cebim, M. A. (PQ) IQAr-UNESP
- INO-007** Helical Coordination Polymer from Manganese(II) 16-Metallacrown-6 Recognition of Zwitterionic L-Glutamate. Wioppiold, T. A. (PG); Abram, U. (PQ); Lang, E. S. (PQ) UFSM
- INO-008** Luminescent lanthanide MOFs based on ligand 4,4',4''-((benzene-1,3,5-triyltris(methylene))tris(oxy))tribenzoate ligand: syntheses, structures and photophysical properties. Petiot, L. (PG); Mazali, I. O. (PQ); Sigoli, F. A. (PQ) UNICAMP
- INO-009** Synthesis, characterization and antitumor activity of a 2,5-diketopiperazine copper coordination compound. Silva da, F. F. (PQ); Silva Neto da, J. F. (PQ); Jimenez, G. C. (PQ); Souza de, D. M. B. (PQ); Falcão, E. H. L. (PQ); Alves Jr., S. (PQ) UFPB
- INO-010** Particularities of trivalent europium luminescence in a pure phenylphosphinate matrix. Bim, L. F. B.; Cebim, M. A.; Teotônio, G. L. E. (IC) IQAr-UNESP
- INO-011** Derivado de 1,3,4-oxadiazol como ligante em compostos beta-dicetonados de Gadolínio. Scapolan, M. I. X. (IC); Adati, R. D. (PQ); Westphal, E. (PQ) UTFPR
- INO-012** Chemosensor based on HABA for detection of F<sup>-</sup>, CH<sub>3</sub>COO<sup>-</sup> and PO<sub>4</sub><sup>3-</sup> anions. Santos, C. H. (IC); Bagatin, I. A. (PQ) UNIFESP-Diadema
- INO-013** Ruthenium(II) terpyridine complexes containing heteroaryl-2-imidazole ligands featuring catalytic activity for water oxidation. Huamaní, L. E. S. C. (PG); Guerra, R. B. (PG); Bibi, N. (PG); Formiga, A. L. B. (PQ) IQ-UNICAMP
- INO-014** Chemical fixation of carbon dioxide to cyclic carbonates catalyzed by zinc(II) complexes bearing 1,2-disubstituted-benzimidazole ligands. das Chagas, R. P. (PQ); Milani, J. L. S. (PQ); Cangussu, D. (PQ); Vilela, G. A. (IC); Bezerra, W. D. (IC) UFG
- INO-015** Propriedades fotoluminescentes do CeO<sub>2</sub> dopado com Cobalto. Tavares, M. S. (IC); Ferreira, G. B. (PQ); Siqueira Júnior, J. M. (PQ) UFF
- INO-016** Amphiphilic complexes of terbium(III) and gadolinium(III) nanostructured micelles: synthesis, cytotoxic and apoptotic activities in tumor cells and MRI applications. Silva, S. R. (PQ); Islam, A. (PG); Duarte, E. C. (IC); Dittz, D. (PQ); Colnago, L. A. (PQ); Paiva, F. F. (PQ); Lopes, M. T. P. (PQ); Frezard, F. (PQ); Demicheli, C. P. (PQ) UFRR
- INO-017** Titanium films by sol-gel process doped Yb<sup>3+</sup> and Er<sup>3+</sup>: thermal treatment effect. Baldini, D. C. (PG); Faria, E. H. (PQ); Ciuffi, K. J. (PQ); Rocha, L. A. (PQ); Nassar, E. J. (PQ) UNIFRAN

- INO-018** Oxidação de cicloexano por PhIO ou PhI(OAc)<sub>2</sub> em solventes da Química Verde catalisada por uma Mn-porfirina. Malheiros, R. O. (IC); Guimarães, A. S. (PG); Meireles, A. M. (PG); Lage, A. L. A. (PG); Silva, G. F. (PQ) UFMG
- INO-019** Synthesis, chemical characterization and DNA interaction study of a new valproate zinc (II) ternary complex. dos Santos, P. R. (PG); Smiderle, F. (IC); Back, D. F. (PQ); Pich, C. T. (PQ); Moura, S. (PQ) UCS
- INO-020** Synthesis, characterization and LB films construction of a ruthenium complex with a new methyl 9-hydroxyphenalene-5-carboxylate ligand. Winnischer, H. (PQ); Godoy, I. M. W. (PG); Westphal, E. (PQ) UFPR
- INO-021** Chemical behavior of chloridotetrakis(ibuprofenato)diruthenium(II,III). Hayashi, M. (IC); Rehman, H. U. (PG); Silva, D. O. (PQ) IQUSP
- INO-022** Synthesis of magnetic composites by combustion method: Materials for photodegradation of methylene blue. Ferreira, M. G. (IC); Garrido, F. M. S. (PQ); Medeiros, M. E. (PQ) UFRJ
- INO-023** Otimização da síntese de um complexo de cobalto(III) através de síntese em fluxo. Pacheco, C. M. (IC); Mello, M.V.P. (PG); Lanzaster, M. (PQ) UFF
- INO-024** Coumarin-N-acylhydrazone ligands and their Ru(II) complexes: structure, characterization and antimicrobial activity. Almeida, P. S. V. B. (PG); Pereira, T. M. (PG); Guedes, G. P. (PQ); Kummerle, A. E. (PQ); Oliveira, L. L. (PQ); Neves, A. P. (PQ) UFRRJ
- INO-025** Synthesis, crystal structure and magnetic properties of a luminescent Europium(III) complex containing oxamate as a ligand. Vaz, R. C. A.; Esteves, I. O.; Oliveira, W. X. C.; Pedroso, E. F.; Pereira, C. L. M.; Viana, T. K. F. P. (IC) UFMG
- INO-026** Síntese, estrutura cristalina e caracterização vibracional de um ligante pirazólico funcionalizado e um novo complexo de Coll. Dias, I. M. (PG); Soares, I. C. (PG); Junior, H. C. S. (PG); Ferreira, G. B. (PQ); Guedes, G. P. (PQ) UFRRJ
- INO-027** Rigid bipodal ligand as molecular building block to construct new metal-organic frameworks. Matos, C. R. M. O. (PG); Ronconi, C. M. (PQ) UFF
- INO-028** Iron(III) complexes with tridentate Schiff bases derived from diaminomaleonitrile: synthesis and characterization. Döring, T. H. (IC); Dockal, E. R. (PQ); da Cruz Jr, J. W. (PQ) UFSC
- INO-029** Oxamate-based Cobalt(II) Complex and dpss: assembling of the [Co(H<sub>2</sub>O)<sub>6</sub>][Co<sub>2</sub>(H<sub>2</sub>mpba)<sub>2</sub>]-2,2-dpss-2H<sub>2</sub>O complex in the solid. Campos, N. R. (PG); do Pim, W. D. (PQ); Dorignetto, A. C. (PQ); Valdo, A. K. S. M. (PG); Martins, F. T. (PQ); Stumpf, H. O. (PQ); Marinho, M. V. (PQ) UNIFAL
- INO-030** Síntese e caracterização do novo complexo metálico estrôncio com ligante 1-10-fenantrolina. Calisto, G. C. M. (IC); Silva, S. R. (PQ) UFRR
- INO-031** Investigation of photodynamic efficiency of new porphyrin derivative. Gomes, A. (PG); Marques, J. A. (PQ); Borges, C. P. F. (PQ) UEPG
- INO-032** Síntese e avaliação da eficiência da 5,10,15,20-tetraquis(4-metiltiliofenil)porfirina para terapia fotodinâmica. Ignácio, M. H. (IC); Dias, F. S. (IC); Martins, D. C. S. (PQ) UFMG
- INO-033** Properties and photocatalytic activity of BiVO<sub>4</sub> nanoflowers decorated with AuNP synthesized under conventional and microwave heating. Hirata, F. T. H. (IC); Souza, J. S. (PQ); Corio, P. (PQ) IQUSP
- INO-034** Citotoxicidade de complexos de Ru(II) com diferentes tipos de isomeria. Campos, V. N. S.; Leite, C. M.; Oliveira, K. M.; SILVA, T. E. M.; Honorato, J.; Corrêa, R. S.; Otero, D. M.; Batista, A. A. UFMA
- INO-035** Identification of molecular species in solution by theoretical calculations: how far can we trust the models?. Madureira, J. (PQ); Lucchetti, P. (IC); Moreira, G. M. (IC) UFF
- INO-036** Synthesis, characterization, cytotoxic and anti-M. tuberculosis activity of novel platinum(II) complexes. Lima, M. F. (IC); Oliveira, L. P. (PG); Carneiro, Z. A. (PQ); Ribeiro, C. M. (PQ); Paixão, D. A. (PQ); Pivatto, M. (PQ); Souza, M. V. N. (PQ); Teixeira, L. R. S. (PQ); Albuquerque, S. (PQ); Pavan, F. R. (PQ); Guerra, W. (PQ) UFU
- INO-037** Synthesis and characterization of gadolinium coordination compounds containing different classes of ligands. Oliveira, D. H. (IC); Westphal, E. (PQ); Adati, R. D. (PQ) UTFPR
- INO-038** Reactions of organic and inorganic tellurium derivatives with 2,6-dipicolinoyl-bis(N,N-diethylthiourea). Santos dos, S. S. (PQ); Nhuyen, H. H. (PQ); Lang, E. S. (PQ); Abram, U. (PQ) FU-Berlin
- INO-039** Aromatic Beta-diamide and beta-monoketo-monoamide as promising ligands for Eu(III) and Tb(III) complexes with high luminescence. Correa, L. A.; Donnici, C. L. (PQ); Araujo, M. H. (PQ); Borges, A. S. B. (PQ); Scarpari, S. L. (PQ); Ribeiro, S. J. L. (PQ) UFMG
- INO-040** Synthesis and characterization of thiosemicarbazones and their coordination compounds. Costa, V. A. (IC); Mota, F. D. (IC); Lima, M. A. (PG); Rocha, F. V. (PQ) UFSCar
- INO-041** Novel binuclear chromium(III) complexes with potential application as building blocks in single molecule magnets synthesis. Reis, D. M. (PQ); Stoeberl, B. J. (IC); Santana, F. S. (PG); Giese, S. O. (PQ); Hughes, D. L. (PQ); Soares, J. F. (PQ) UTFPR
- INO-042** Surface immobilization of carboxymethylated cashew gum (Anacardium Occidentale L.) on FeCo magnetic nanoparticles. Oliveira, M. K. S. (PG); Costa, L. A. (IC); Silva, M. A. S. (PQ); Richter, A. R. (PG); Paula, R. C. M. (PQ); Diógenes, I. C. N. (PQ) UFC
- INO-043** Lowering water oxidation overpotential of a mononuclear ruthenium(II) complex bearing ionizable imidazole moieties. Guerra, R. B. (PG); Huamaní, L. E. S. C. (PG); Bibi, N. (PG); Formiga, A. L. B. (PQ) IQ-UNICAMP
- INO-044** Application of gold mining sludge in the preparation of materials for photo degradation of methylene blue. Ferreira, M. G. (IC); Grigorovski Júnior, J. M. A. (IC); Garrido, F. M. S. (PG); Medeiros, M. E. (PQ); Silva, F. A. N. G. (PQ); Silva, V. P. R. (PG); Castilho, Z. C. (PQ) UFRJ

- INO-045** Investigation of the adduct between chlorite and chlorine dioxide by electronic spectroscopy. Martins, G. W. (PG); Faria, R. B. (PQ) UFRJ
- INO-046** Dinuclear platinum(II) complex with oxadiazol adamantane. Silva, J. T. (IC); Querino, A. L. de A. (TC); Diniz, R. (PQ); Silva, H. (PQ) UFMG
- INO-047** Estudo da coordenação dos ligantes 4-cloro e 4-nitro-benzaldeído-tiosemicarbazona derivados do R-(+)-limoneno com cobre(II). Santos, B. R. (IC); Beltrame, A. C. F. (IC); Stocco, A. F. (IC); Stevanato, A. (PQ); Vandresen, F. (PQ) UTFPR
- INO-048** Estudo teórico da inclusão de complexos de platina (II) não covalentes em beta-ciclodextrinas. Candido, J. M. B. (IC); Paixão, N. M. (PG); Costa, L. A. S. (PQ) UFJF
- INO-049** DNA/BSA binding properties of metallo-tetrakis(1-naphthyl)porphyrins: the metal central ion effect. Silveira da, C. H. (PG); Garoforo, E. (IC); Iglesias, B. A. (PQ) UFSM
- INO-050** Identificação de ácido acetil salicílico em formulações farmacêuticas sólidas por espectroscopia de infravermelho. Alhadas, R. D. (IC); Vieira, B. L. M. (IC); Toledo, T. A. (TC); Barbosa, D. B. A. (FM) IF Sudeste MG
- INO-051** The effect of the temperature on Brilliant Green dye bleaching catalyzed by zinc hydroxide nitrate. Rocha, M. G. (IC); Ucoski, G. M. (PQ); Nakagaki, S. (PQ); Machado, G. S. (PQ) UFPR
- INO-052** Study of crylene acid ligand coordinated to lanthanide compound. Cardoso, L. P. (IC); Dias, M. R. G. (PG); Piliassô, C. (PQ); Adati, R. D. (PQ) UTFPR
- INO-053** Co(II) benzimidazoles complexes: Synthesis, characterization and catalytic studies to chemical fixation of CO<sub>2</sub> in cyclic carbonates. Milani, J. L. S. (PQ); Cangussu, D. (PQ); das Chagas, R. P. (PQ); Vilela, G. A. (IC); Valdo, A. K. S. M. (PG); Terra, F. (PQ) UFG
- INO-054** Organically modified Urea-sepiolite to application in caffeine removal. da Silva, E. (PG); Saltarelli, M. (PQ); de Faria, E. H. (PQ); Nassar, E. J. (PQ); Ciuffi, K. J. (PQ) UNIFRAN
- INO-055** Lanthanide complex as potential nitric oxide luminescent probe. Cabral, F. M. (PG); Brito Júnior, G. A. (PQ); Mazali, I. O. (PQ); Sigoli, F. A. (PQ) IQ-UNICAMP
- INO-056** Iron (II) oxalate as precursor of magnetic composites for dye adsorption. Aldighieri Grigorovski Júnior, J. M. (IC); Garrido, F. M. S. (PQ); Medeiros, M. E. (PQ) UFRJ
- INO-057** Synthesis of a new copper (II) complex with Benzoylpyridylthiourea: Characterization by X-ray diffraction. Santos, J. R. N. (IC); Quintino, M. P. (PQ); Sabino, J. R. (PQ) PUC-GO
- INO-058** Síntese e caracterização química dos complexos de Sb(III) e Bi(III) com ligante bidentado para atuação como agentes leishmanicidas. Lopes, D. S. (IC); Silva, S. R. (PQ) UFRR
- INO-059** Spectroscopy and electrochemical studies of phenanthroline derivatives Cu<sup>2+</sup>, Pd<sup>2+</sup> and Ru<sup>3+</sup> complexes. Barbosa, R. S. (IC); Bagatin, I. A. (PQ) UNIFESP-Diadema
- INO-060** Complexos binucleares de Fe(III)/Cu(II) e Co(III)/Cu(II) contendo bases de Schiff tetradentadas: síntese e caracterização. de França, I. V. (IC); Dockal, E. R. (PQ); da Cruz Jr, J. W. (PQ) UFSC
- INO-061** Síntese, caracterização vibracional e estruturas cristalinas de dois novos polímeros de coordenação contendo um ligante pirazólico. Soares, I. C. (PG); Brito, H. A. (IC); Dias, I. M. (PQ); Junior, H. C. S. (PG); Ferreira, G. B. (PQ); Guedes, G. P. (PQ) UFRJ
- INO-062** Layered double hydroxides and acetylsalicylic acid: reactivity and desorption studies. Oliveira, I. N. (PG); Silva, K. K. S. (IC); Morais, C. C. (PG); Rosseto, R. (PQ) UEG
- INO-063** Synthesis, spectroscopy of copper(II) catechol complexes. Correa, C.P. (IC); Chinelate, B.M. (IC); Martins, G. S. (IC); Toledo, T.A. (PQ); Barbosa, D.B.A. (PQ) IF Sudeste MG- Juiz de Fora
- INO-064** Spectroscopic studies of Copper I and II complexes by DFT calculations. Oliveira, H. F. S. (PG); Silveira, R. G. (PQ); Rocha, F. V. (PQ) UFSCar
- INO-065** Synthesis and characterization of Cu<sub>2</sub>O Thin Films for Photoelectrochemical (PEC) applications. Coli, J. F. C. (IC); Gonçalves, C. B. (PG); Zapata, M. (PQ); Dorigueto, A. C. (PQ) UNIFAL
- INO-066** Papaína incorporada em sílica mesoporosa ordenada. Losito, D. W. (IC); Corazza, F. G. (PG); Lopes, P. S. (PQ); Martins, T. S. (PQ) UNIFESP-Diadema
- INO-067** Síntese, caracterização e atividade eletrocatalítica frente à RRO de um novo complexo de níquel (II). Diniz, M.M. (IC); Moura, F.S. (PG); Petizero, T.D. (PG); Casellato, A. (PQ); Medeiros, M.E. (PQ); Garrido, F.M.S. (PQ) UFRJ
- INO-068** Reactivity studies on a cobalt(III) complex towards the development of catechol-based bioreductive prodrugs. da Silva, A. F. M. (PG); Gómez, J. A. G. (PQ); Lanznaster, M. (PQ) UFF
- INO-069** Exploring DNA binding and cleavage, Topo I inhibition, and cytotoxic activity of two new Cu(II) compounds containing 4-aminoantipyrene. Souza, I. P. (PG); Machado, B. P. (IC); Carvalho, A. B. (PG); Binatti, I. (PQ); Kellett, A. (PQ); Pereira-Maia, E. C. (PQ); Silva-Caldeira, P. P. (PQ) CEFET-MG
- INO-070** Synthesis and characterization of Copper Metal-Organic Frameworks for adsorption of Phenol. Carvalho, A. N. (IC); Ribeiro, G. (PQ) UNIFEI
- INO-071** Porfirinas de manganês imobilizadas em partículas magnéticas: catalisadores heterogeneizados para degradação do ciprofloxacino. Marciano, A. C. (IC); Lage, A. L. A. (PG); Vieira, S. S. (PQ); Araújo, M. H. (PQ); Martins, D. C. S. (PQ) UFMG

- INO-072** Determination of Point of Zero Charge of Super Fine Fibrous Peat. Szpoganicz, B. P. (PG); Meurer, L. (IC); Probst, L. F. D. (PQ); Szpoganicz, B. (PQ) UFSC
- INO-073** Palladium complexes with oxadiazol and thiazolidine-adamantane ligands: the influence of heterocycle in Pd-S bond. Silva, J. T. (IC); Alvarenga, G. M. (IC); Silva, H. (PQ) UFMG
- INO-074** Diphenylphosphine/Ru(II) complexes with antitumor activity: interactions with DNA and with HSA. Guedes, A. P. M. (PG); Grawe, G. F. (PG); Leite, C. M. (PG); Silveira-Lacerda, E. P. (PQ); Silva, T. E. M. (IC); Batista, A. A. (PQ) UFSCar
- INO-075** Pd (II) complexes as potential inhibitors of Topoisomerase II. Lima, M. A. (PG); Deflon, V. M. (PQ); Rocha, F. V. (PQ) UFSCar
- INO-076** Experimental and theoretical characterization of Sn(IV), Sb(III) and Bi(III) Xanthate. Silva da, V. H. M. (IC); Ferreira, G. B. (PQ) UFF
- INO-077** Spin crossover tuning through ligand design: Magnetic measurements, Mössbauer and crystal structures of two isomeric Fe(II) complexes with 2-aryl-imidazole ligands. Bibi, N. (PG); Huamaní, L. E. S. C. (PG); Guerra, R. B. (PG); Oliveira, A. A. (PG); Berón, F. (PQ); Paesano Júnior, A. (PQ); Formiga, A. L. B. (PQ) UNICAMP
- INO-078** Synthesis and structural characterization of multinuclear palladium(II) arylchalcogenolates compounds. Fagundes, N. V. (IC); Cechin, C. N. (PG); Tirloni, B. (PQ); Lang, E. S. (PQ) UFSM
- INO-079** Degradação do antibiótico norfloxacino por H<sub>2</sub>O<sub>2</sub> e KHSO<sub>5</sub>, catalisada por porfirinas de manganês halogenadas. Meireles, A. M. (PG); Idemori, Y. M. (PQ); Martins, D. C. S. (PQ) UFMG
- INO-080** Synthesis and Characterization of basic catalysts designed by Calixarenes or Silicas to take advantage of Glycerol. Machado, D. (PG); Gomes, E. L. (PQ); Bagatin, I. A. (PQ) UNIFESP-Diadema
- INO-081** Synthesis and analysis of a novel dinuclear bis(oxamate) type complex using [Co<sub>2</sub>(H<sub>2</sub>mpba)<sub>3</sub>]<sub>2</sub> mesocate as building block. Simosono, C. A. (IC); Campos, N. R. (PG); Pim, W. D. (PQ); Doriguetto, A. C. (PQ); Valdo, A. K. S. M. (PG); Martins, F. T. (PQ); Stumpf, H. O. (PQ); Marinho, M. V. (PQ) UNIFAL
- INO-082** Complexos fluorescentes de Lantânio-Espiropirano com aplicações em materiais poliméricos. Reis, I. F. (PG); De Sousa, F. B. (PQ) UNIFEI
- INO-083** Studies of chromium (VI) adsorption in Eucalyptus grandis bark. Alexiou, A. D. P. (PQ); Godim, A. S. (IC); Romoff, P. (PQ) UPM
- INO-084** Synthesis and characterization of new Zn(II) complexes designed as prototypes for chemotherapeutic treatment of bacterial infections. Arruda, H. J. (PG); Vitória, F. (PG); Neves, A. P. (PQ); Kummerle, A. E. (PQ) UFRRJ
- INO-085** Investigation on formation of highly luminescent β-Diketone-Ln(III)-edta water-soluble complexes. Teotonio, E. E. S. (PQ); Silva, H. M. (PG); Faustino, W. M. (PQ); Brito, H. F. (PQ); Malta, O. L. (PQ); Felinto, M. C. F. C. (PQ) UFPB
- INO-086** Perylene-derived calix[4]arenes with potential application in luminescent systems. Oliveira, G. M. (IC); Bagatin, I. A. (PQ) UNIFESP-Diadema
- INO-087** Complexos de Fe(II), Mn(II) e Zn(II) derivados de um ligante do tipo oxamato funcionalizado: síntese e caracterização. Maciel, J. W. O. (PG); Kallinke, L. H. G. (PG); Valdo, A. K. S. M. (PG); Martins, F. T. (PQ); Gomes, D. C. C. (PQ) UFG
- INO-088** Synthesis, characterization and biological activity of complex nitrosyls. Paz, I. A. (PG); Lopes, L. G. F. (PQ); Nascimento, N. R. F. (PQ); Silva, C. D. S. (PQ); Sousa, E. H. S. (PQ) UFC
- INO-089** Bright Orange-Red Emission in a New Heteroleptic CuI complex Based on Phosphine/Pyrazoline Ligands. Favarin, L. R. V. (PG); Laranjeira, G. B. (PG); Teixeira, C. F. A. (PG); Lima, L. M. (IC); Pinto, L. M. C. (PQ); Bezerra, L. (PG); Júnior, A. M. (PQ); Duarte, A. P. (PQ); Pizzutti, L. (PQ); Back, D. F. (PQ); Maia, G. (PQ); Casagrande, G. A. (PQ) UFMS
- INO-090** Investigação de um complexo cobalto(III)-4-cloroacetoacetato de etila como possível plataforma biorredutível para liberação de fármacos. Mello, M. V. P. (PG); Gomez, J. A. G. (PQ); Lanznaster, M. (PQ) UFF
- INO-091** Sínteses de decavanadatos contendo complexos de cobalto(II), cobre(II) e níquel(II). Leme, L. B. P. (IC); Missina, J. M. (PG); Postal, K. (PG); Franco, M. P. (PG); Santana, F. S. (TC); Hughes, D. L. (PQ); Soares, J. F. (PQ); Nunes, G. G. (PQ) UFPR
- INO-092** Synthesis and characterization of Fe<sub>3</sub>O<sub>4</sub>@SiO<sub>2</sub> core-shell magnetic nanoparticles. Ribas, V.C. (IC); Lavayen, V. (PQ); Arguello, J. (PQ) UFRGS
- INO-093** Visible-light photocatalytic response of titanate nanotubes (TiNT) - polyheptazine (HPZ) hybrid. Almeida, V. A. (IC); Souza, J. S. (PQ) UFABC
- INO-094** Glifosato como ligante frente ao chumbo divalente. Hottes, E. (PG); Hottes, S. (IC); Herbst, M. H. (PQ) UFRRJ
- INO-095** Effects of new ruthenium amphiphile compounds on peptides aggregation. Soares, B. M. (PG); Winnischofer, H. (PQ); Pazinato, J. (PG); Westphal, E. (PG); Cavalieri, F. (PQ); Alves, W. A. (PQ) UFABC
- INO-096** Electrocatalytic activity of water oxidation by coordination polymer Co-pentacyanidoferrate(II). Pires, B. M. (PG); Strohauser, S. (PG); Formiga, A. L. B. (PQ); Bonacin, J. A. (PQ) UNICAMP
- INO-097** Iron (III) dinuclear metallacycle cavity as an effective ammonia storage system. Silva, I. F. (PG); Teixeira, I. F. (PG); Barros, W. P. (PQ); Pinheiro, C. B. (PQ); Teixeira, A. P. C. (PQ); Stumpf, H. O. (PQ) UFMG
- INO-098** Oxidation catalysts based on ironporphyrin supported on diatomaceous earth. do Prado, M.V. (PG); Ciuffi, K. J. (PQ) UNIFRAN

- INO-099** Compostos de  $\eta^6$ -arenorutênio(II) com ligantes fenilazo e feniloxadiazó: estabilidade, cinética de substituição de ligantes e atividade citotóxica em modelo de glioma humano. Pazinato, J. (PG); Cesca, E. C. (PG); Winnischofer, H. (PQ); Westphal, E. (PQ); Gallardo, H. (PQ); Winnischofer, S.M.B. (PQ) UFPR
- INO-100** Complexos de Cu (I) que incorporam trifenilfosfina e aciltioureas: avaliação de suas propriedades citotóxicas. Leite, C. M. (PG); Castellano, E. E. (PQ); Batista, A. A. (PQ) UFSCar
- INO-101** Outstanding Optical Properties from Partial Substitution of Pb by Sn in Cs-Pb-Sn-Br Nanocrystals. Vitoreti, A. B. F. (PG); Agouram, S. (PQ); de la Fuente, M. S. (PQ); Muñoz-Sanjosed, V. (PQ); Schiavon, M. A. (PQ); Mora-Seró, I. (PQ) UJI
- INO-102** Aplicação de palygorskita organofilizada na remoção de glifosato em efluente aquoso. Napoli Barbato, C.N.B. (PQ); Viana Rodrigues, P. V. R. (IC); Bertolino, L. C. B. (PQ); Arruda Nogueira Gomes da Silva, F. A. N. G. S. (PQ); Schwenck Brandão, V. S. B. (PQ) IFRJ

## **MAT – Química de Materiais**

- MAT-001** Temperature Induced Optical Changes in Type II Metallopolymer based in Fluorene-Terpyridine Europium Complex. Turchetti, D. A. (PQ); Santana, A. J. (PG); Duarte, L. G. T. A. (PG); Domingues, R. A. (PQ); Atvars, T. D. Z. (PQ); Akcelrud, L. C. (PQ) UFPR
- MAT-002** Síntese de Filmes de Nanopartículas de Ouro e Polímero Luminescente em Substrato de Silica para Aplicação em Sensores Óticos. Klimpovuz, C. R. (IC); Silva, H. V. C. (IC); Turchetti, D. A. (PG); Akcelrud, L. C. (PQ); Oliveira, M. M. (PQ) UTFPR
- MAT-003** Thermal processing optimization to obtain composites for controlled release of fertilizer. Chiaregato, C. G. (IC); Faez, R. (PQ) UFSCar-Campus de Araras
- MAT-004** Efeito da temperatura na molhabilidade de fibras de blendas de Ecovio®/PNIPAAm eletrofiadas. Pascoalino, L. A. (IC); Muniz, E. C. (PQ); Curti, P. S. (PQ) UTFPR
- MAT-005** Electrochemical vs Chemical: The most efficient synthesis method for a new ternary nanocomposite GO/WO<sub>3</sub>NW/Pani. Aquino, C. B. (PG); Nagaoka, D. A. (PG); Cândido, E. G. (IC); Machado, M.M. (PQ); Camargo, P. H. C. (PQ); Domingues, S. H. (PQ) UPM
- MAT-006** Synthesis and characterization of superparamagnetic iron oxide nanoparticles covered with methylene blue and hypericin molecules. Toledo, V. H. (IC); Haddad, P. S. (PQ); Ribeiro, M. S. (PQ); Yoshimura, T. M. (PG); Toledo, S. P. (PG) UNIFESP-Diadema
- MAT-007** Cerium (IV) hydrogenphosphate as an intercalation matrix for Pd(II). Duarte, J. P. P. (IC); Rocha, L. D. S. (PG); Souza, R. M. (PQ); Medeiros, M. E. (PQ); Malta, L. F. B. (PQ) UFRJ
- MAT-008** Preparation of graphene oxide (GO) membranes with potential application in water desalination. Barros, M. F. (IC); Sousa, S. C. B. (IC); Tecchio, C. M. (TC); Fernandes, L. S. (IC); Martins, I. V. (IC); Vasconcelos, C. K. B. (PQ); Viana, M. M. (PQ) UFMG
- MAT-009** Three-dimensional graphene nanofilters for heavy metal ions removal from water: a combined experimental and theoretical study. Lino, B. (IC); Ximenes, V. (IC); Reis, G.R.L. (IC); Bordin, J.R. (PQ); Matos, C.F. (PQ) UNIPAMPA
- MAT-010** Er<sup>3+</sup> and Yb<sup>3+</sup> up conversion on oxide matrix obtained by non-hydrolytic sol-gel. Granito, C. J. (IC); de Andrade, F. H. P. (IC); Ferreira, M. F. (IC); Baldini, D. C. (PG); de Faria, E. H. (PQ); Ciuffi, K. J. (PQ); Rocha, L. A. (PQ); Nassar, E. J. (PQ) UNIFRAN
- MAT-011** Swelling behavior of gelatin/dextran hydrogel crosslinked by Diels-Alder click chemistry. Piazza, R. D. (PG); Brandt, J. V. (PG); Marques, R. F. C. (PQ); Jafellici Jr, M. (PQ) IQAr-UNESP
- MAT-012** Effect of functionalization of porous silica as nanoreactor for preparation of fluorescent Carbon Dots. Mikhralieva, A. (PG); Motta, H. B. (IC); Zaitsev, V. (FM) PUC-RIO
- MAT-013** Utilização da técnica de reels e do método DFT para a obtenção do GAP dos copolímeros PFO-DBT e PSiF-DBT. Santos, V. F. (IC); Machado, S. P. (PQ); Rocco, M. L. M. (PQ) UFRJ
- MAT-014** Development of active SERS platform via self-assembly monolayers of AuNRs. Bär, J. (PG); Barros, A. (PQ); Camargo, D. H. S. (PG); Oliveira, L. H. (PQ); Falsetti, L. O. Z. (IC); Sigoli, F. A. (PQ); Santos, D. P. (PQ); Bufon, C. C. B. (PQ); Mazali, I. O. (PQ) IQ-UNICAMP
- MAT-015** Pseudocapacitors from crumpled graphene balls/mixed transition metal oxides composites. Nonaka, L. H. (IC); Barce, E. T. (IC); Souza, V. H. R. (PQ) UFGD
- MAT-016** Obtenção de fibras a partir da blenda polimérica de PCL e PBAT para liberação de sulfadiazina de prata. Hardt, J. C. (PG); Dragunski, D. C. (PQ); Caetano, J. (PQ); Rosenberger, A. G. (PG) UNIOESTE
- MAT-017** Porous ceramic based on phlogopite from the polymeric sponge method. Filho, F. M. (PQ); Procópio, A. M. S. (PG); Silva, M. C. (PQ) UNIFEI
- MAT-018** Influence of different fuels in the combustion synthesis of copper vanadate and its application in photocatalysis. Camargo, L. P. (IC); Lucilha, A. C. (PQ); Dall'Antonia, L. H. (PQ) UEL
- MAT-019** Synthesis of Nickel Molybdates - a comparative study of co-precipitation and sol-gel method. Silva da, M. V. (PG); Siqueira, K. P. F. (PQ) UFOP
- MAT-020** Structure determination of NVP-AS co-crystal at different temperatures. Costa, R. N. (PG); Siedler, S. (PG); Cardoso, S. G. (PQ); Linck, Y. G. (PQ); Reviglio, L. (PG); Monti, G. A. (PQ); Carvalho, A. M. G. (PQ); Resende, J. A. L. C. (PQ); Rocha, H. V. A. (PQ); Cuffini, S. L. (PQ) UNIFESP-SJC
- MAT-021** Coating of organosilicon thin films protecting polypropylene against photodegradation. Freitas, A. S. M. (PG); Fernandes, F. O. (IC); Rangel, E. C. (PQ); Cruz, N. C. (PQ); Delgado-Silva, A. O. (PQ); Waldman, W. R. (PQ) UFSCar



- MAT-022** Incorporation of carbon SWNT in polymer blends based on Nylon 66 and Silk Fibroin for application in engineering materials. Souza, L. M. (PG); Scremin, F. R. (PQ); Bittencourt, P. R. S. (PQ) UTFPR
- MAT-023** Spray-dried materials components ratio evaluation by TGA. França, D. (PG); Faez, R. (PQ) UFSCar-Campus de Araras
- MAT-024** Synthesis of Donor-Acceptor (D-A) hybrids based on functionalized thiophene-imides for high fluorescent material development. Costa, A. M. (PG); Donnici, L. C. (PQ) UFMG
- MAT-025** Study of the adsorption of tannic acid by clay modified with polyethylenimine. Henriques, R.R. (PG); Celestino, G.G. (IC); Shiguihara, A.L. (PQ); Constantino, V.R.L. (PQ); Soares, B.G. (PQ); Amim Jr., J. (PQ) UFRJ
- MAT-026** Kinetics of adsorption of methylene blue dye in mesoporous silica encapsulated magnetite nanoparticles. Silva, R. M. A. (IC); Rodrigues, L. S. (IC); Silva, J. A. D. (PQ) IFF
- MAT-027** Nanogold on porous glass as a passive sampler for monitoring of gaseous elemental mercury in artisanal gold mining. Santos, E. B. (PQ); Moher, P. (PQ); Ferlin, S. (IC); Fostier, A. H. (PQ); Mazali, I. O. (PQ); Telmer, K. (PQ); Brolo, A. G. (PQ) UNIFESP-SJC
- MAT-028** Novel conducting, biocompatible and biodegradable copolymer PEDOT-co-PLLA for biomedical applications. Da Silva, A. C. (PG); Semeano, A. T. S. (PG); Ulrich, A. H. (PQ); Higgins, M. J. (PQ); Torresi, S. I. C. (PQ) UOW
- MAT-029** Polythiophene/Au and polythiophene/Au/CNTs nanocomposite thin films to organic solar cell application. Inagaki, C. S. (PG); Neves, M. F. F. (PG); Lima, L. F. (PG); Oliveira, M. M. (PQ); Roman, L. S. (PQ); Zarbin, A. J. G. (PQ) UFPR
- MAT-030** A new route for preparing multi-oxide nanocomposites of nanoparticles-decorated nanotubes. Dias, C. S. B. (PQ); Garcia, F. (PQ); Mazali, I. O. (PQ); Cardoso, M. B. (PQ); Souza e Silva, J. M. S. (PQ) LNLS
- MAT-031** Extracellular matrix digestion products for tissue engineering. Lobato, G. M. M. (PG); Catalani, L. H. (PQ); Winck, F. V. (PQ) IQUSP
- MAT-032** Fast and efficient graphene oxide (GO) reduction by using a lab-made UV photoreactor. Iorio, E.I.C. (IC); Sousa, N.C.O.S. (PG); Pedrotti, J.J.P. (PQ) UPM
- MAT-033** Estudo de reações biocatalíticas envolvendo microrganismos funcionalizados com óxidos metálicos. Almeida, C. L. da C. (PG); Maciel, V. M. B. (PG); Santana, D. A. de (PQ); Santos, R. M. G. dos (PQ); Santos, M. M. dos (PQ) UFBA
- MAT-034** Photoluminescence and scintillation of GdOCl:Eu<sup>3+</sup> obtained from homogeneous precipitation method. Krauser, M. O. (PG); Davolos, M. R. (PQ); Cebim, M. A. (PQ) IQAr-UNESP
- MAT-035** Preparação de catalisadores de óxido de ferro a partir do minério de ferro. Santos, J.R.L. (IC); Mendes, A.P.S. (IC); Martins, A.R. (PQ); Lima, S.P. (PQ); Rangel, M.C. (PQ) IFBA
- MAT-036** Synthesis and characterization of chitosan-based nanocarriers for siRNA release. Martins, G. O. (PG); Junior, A. M. M. (PG); Lima, A. M. F. (PQ); Petrónio, M. S. (PQ); Tiera, V. A. O. (PQ); Tiera, M. J. (PQ) IBILCE-UNESP
- MAT-037** Study of dye-modified Ag/TiO<sub>2</sub> nanocomposites for application in photocatalysis. Almeida, G. C. (IC); Mohallen, N. D. S. (PQ); Viana, M. M. (PQ) UFMG
- MAT-038** Anti-scaling performance of a textured copper-based Slippery Liquid-Infused Porous Surface (SLIPS). Diniz, G.A. (IC); Sofiatti, E. (IC); Sousa, M. F. B. (PQ); Bertran, C. A. (PQ) IQ-UNICAMP
- MAT-039** Síntese e caracterização de um novo candidato a sistema veiculador de fármaco empregando-se nanopartículas magnéticas e pilar[en]arenos. Fernandes, T. S. (PG); Santos, E. C. S. (PG); Madriaga, V. G. C. (IC); Barroco, C. V. (IC); Nascimento, V. (PQ); Ronconi, C. M. (PQ) UFF
- MAT-040** Quantification and separation of rare earth elements from fluorescent lamp phosphors and synthesis of luminescent nanoparticles. Alonso Freitas, G. A. F. (IC); Huaman De La Cruz, A. R. H. L. C. (PG); Padilla-Chavarría, H. I. P. C. (PG); Gioda, A. G. (PQ); Dillenbourg Saint'Pierre, T. D. S. (PQ); Kai, J. K. (PQ) PUC-RIO
- MAT-041** Study of the interactions between carboxymethylcellulose and ethylenediamine for synthesis of nanoparticles. Britto, D. (PQ); Tostes, B. de V. A. (IC); Duarte, D. S. (IC); Pires, I. C. B. (IC) Embrapa Semárido
- MAT-042** Thermal stability of the Green Coffee Cake as a response to the water vapor blast process for the production of high value materials. Brito, E. B. (PG); Pimenta, L. T. G. (IC); Barbosa, S. C. (PQ); Marques, M. F. V. (PQ) UFRJ
- MAT-043** Efficient amine functionalization of carbon nanotubes with triethylenetetramine through microwave assisted reaction for applications in nanofluids. Silveira, T. G. O. (IC); Monteiro, V. E. M. M. (IC); Silva, A. P. (IC); Nuncira, J. A. V. (PG); Caliman, V. (PQ); Silva, G. G. (PQ) UFMG
- MAT-044** Activated material obtained from shale by-products for sulfur removal of fuel oil. Mangrich, A. S. (PQ); Drabecki, A. B. A. (PG); Schultz, J. (PQ) UFPR
- MAT-045** Core-shell nanofibers as drug carriers for transdermal delivery of drugs with antimalarial activity. Rebouças, L. O. (PG); Catalani, L. H. (PQ); Immich, A. P. S. (PQ) IQUSP
- MAT-046** Copolymers used as additives for fuels. Muniz, A. S. (PQ); Ferraz, F. A. (PQ); Oliveira, A. R. S. (PQ); César-Oliveira, M. A. F. (PQ) UFPR
- MAT-047** Hierarchical structured materials formed by combination of zeolite crystals and bacterial cellulose fibers. Bessa, R. A. (PG); Castro, A. L. P. (IC); Pereira, A. L. S. (PG); Rosa, M. F. (PQ); Loiola, A. R. (PQ) UFC
- MAT-048** Irreversible low-temperature dehydration of H<sup>+</sup>-exchanged titanate nanostructures. Leite, M. M. (PQ); Vichi, F. M. (PQ) IQUSP

- MAT-049** Graphene Oxide functionalized with (3-Aminopropyl) triethoxysilane and its applications in composites. Serodre, T. (PG); Resende, V. G. (PQ); Santos, A. P. (PQ); Furtado, C. A. (PQ) CDTN
- MAT-050** Colloidal stability of silica nanoparticles during bioconjugation reactions with a silylated amyloidogenic peptide. Decandio, C.C (PG); Liberato, M.S. (PQ); Cardoso, M.B (PQ); Alves, W.A. (PQ) UFABC
- MAT-051** Polyethylene glycol conjugation to amyloidogenic peptide via click reaction. Pereira, W. S. G. (PG); Domakoski, A. C. (PG); Vassiliades, S. V. (PG); Cavalieri, F. (PQ); Alves, W. A. (PQ) UFABC
- MAT-052** Influence of reagents concentrations during synthesis for silver nanoparticles stability. Novais de Abreu, A. (IC); Silva, G. (IC); Damasceno, D. (PQ); Casanova Coltro, M.C.R. (PQ) IFG
- MAT-053** Hydrophobic and Electrostatic Effects of Chitosan Derivatives on the Antifungal Activity against *Aspergillus flavus*. Amoroso, H. C. (IC); Lima, A. M. F. (PQ); Tiera, M. J. (PQ); Assis, O. B. G. (PQ); Tiera, V. A. O. (PQ) IBILCE-UNESP
- MAT-054** Preparação e caracterização de filmes de zeína contendo pontos quânticos de ZnO. Schmitz, F. (PG); da Silva, A. L. E. P. (IC); Vidotti, I. C. R. (PQ); Zimmermann, L. M. (PQ) FURB
- MAT-055** Chitosan/waste coffee grounds composite: An efficient and eco-friendly adsorbent for removal of pharmaceuticals contaminants from water. Lessa, E.F. (PG); Nunes, M.L. (IC); Fajardo, A.R. (PQ) UFPel
- MAT-056** Synthesis and characterization of a conjugated metallopolymer complexed with terbium ions. Campos, E. C. G. (PG); Zanlorenzi, C. (PQ); Turchetti, D. A. (PQ); Akcelrud, L. C. (PQ) UFRJ
- MAT-057** Optimization of the Ni/Al layered double hydroxide synthesis by factorial design. Rocha, L. D. S. (PG); Nascimento, L. A. (IC); Correa, B. G. (IC); Santos, R. V. (PG); Senra, J. D. (PQ); Malta, L. F. B. (PQ) UFRJ
- MAT-058** Avaliação dos engaços de uva BRS Violeta e *Vitis labrusca* Isabel como potenciais precursores de carvão ativado para fins de adsorção. Pires, I. C. B. (IC); Costa, K. B. S. (PQ); Anjos, D. S. C. dos A. (PQ); Tostes, B. de V. A. (IC) IF Sertão Pernambucano - Campus Petrolina
- MAT-059** A photodispositive based on reduced graphene oxide modified with polyethylenimine to deliver amphotericin B. Vitorino, L. S. (IC); Bessa, I. A. A. (IC); Custódio, T. (PG); Santos, E. C. S. (PG); Ronconi, C. M. (PQ) UFF
- MAT-060** Desenvolvimento de nanocompósito argila aniônica/carvão hidrotérmico para uso como adsorvente multifuncional. Albano, R. L. B. S. (PG); Ferreira, O. P. (PQ) UFC
- MAT-061** Oleylamine-mediated synthesis of unusual 4H (hcp)/fcc phase in gold nanorods. Moares, D. A. (PG); Souza Jr., J. B. (PG); Mogili, V. (PQ); Ferreira, F. F. (PQ); Varanda, L. C. (PQ) IQSC-USP
- MAT-062** 45S5 Bioglass Scaffold to repair bone tissue damages. de Oliveira Silva, M. (PG); Bertran, C. A. (PQ) UNICAMP
- MAT-063** Síntese de nanopartículas de sílica MCM-48 funcionalizadas com difenilssilano para adsorção de BTEX. Garcia Osorio, D. S. (PG); Nogueira, H. P. (PG); Araki, K. (PQ) IQUSP
- MAT-064** Relation between porosity, particle size and adsorption efficiency of methyl methacrylate-based crosslinked polymer resins. Martins, M. F. (IC); Silva, C. M. F. (PQ); Lucas, E. F. (PQ); Almeida, Q. A. R. (PQ); Aversa, T. M. (PQ) UFRJ
- MAT-065** Atividade antimicrobiana e caracterização de filmes de amido de mandioca/quitosana reforçados com fibras de cana-de-açúcar. Franco, P. C. I. (PG); Faria, M. L. (PQ); Bilck, A. P. (PQ); Menegon, E. A. S. (PQ) FEMA
- MAT-066** Controlled delivery fertilizer: from agro-residues to agribusiness. Faez, R. (PQ); Hsieh, Y.L. (PQ) UC Davis
- MAT-067** Glycerol oleate reaction with citric acid to produce solid and liquid products for different applications. Mendonça, F. G. (PG); Menezes, I. R. S. (IC); Fonseca, P. X. (IC); Gomes, M. S. (PG); Santos, M. R. D. (IC); Salviano, A. B. (PG); Martins, P. S. (PQ); Lago, R. M. (PQ) UFMG
- MAT-068** Peptide-graphene composite material in the development of energy storage devices. Cipriano, T. C. (PQ); Torresi, R. M. (PQ) IQUSP
- MAT-069** Preparation and use of porous TiO<sub>2</sub> in adsorption and photocatalytic degradation of organic dyes in water. Vieira, K. C. (IC); Stumpf, H. O. (PQ); Pim, W. D. do (PQ) CEFET-MG
- MAT-070** Photoluminescence and scintillation of Gd<sub>2</sub>O<sub>3</sub>:Y,Lu,Eu spherical particles. Requena, G. F. (IC); Moralles, V. A. (PG); Krauser, M. O. (PG); Cebim, M. A. (PQ); Davolos, M. R. (PQ) IQAR-UNESP
- MAT-071** Study of LCC and quitosana gel toxicity: parametrisation in arthropod test. FIGUEIREDO, F. C. (FM); SANTOS, S.T (PG); LIMA JUNIOR, R.O. (PQ); FERREIRA, N. S. (IC); SANTOS JUNIOR, J.S (PQ) UFPI
- MAT-072** Two routes comparison for silver and gold nanoparticles deposition on silica substrate for future application in optic sensors. Pereira, A. F. (PG); Oliveira, M. M. (PQ) UTFPR
- MAT-073** Polyaniline against black phosphorus degradation: a long-term stability study. Fonsaca, J. E. S. (PG); Domingues, S. H. (PQ); Orth, E. S. (PQ); Zarbin, A. J. G. (PQ) UFPR
- MAT-074** Adsorption of metformin hydrochloride by ecovio® solution in electrospinning and activated carbon. Meira, A. C. R. (PG); Módenes, A. N. (PQ); Dragunski, D. C. (PQ); Bittencourt, P. R. S. (PQ) UNIOESTE
- MAT-075** Investigation of the structural and optical properties of cobalt molybdate - A possible temperature indicator. Costa, R. K. S. (PG); Teles, S. C. (IC); Siqueira, K. P. F. (PQ) UFOP

- MAT-076** Electrical conductive films of reduced graphene oxide and polyaniline prepared from a solid gel. Martins, V. H. N. (IC); Souza, V. H. R. (PQ) UFGD
- MAT-077** Biopolymeric films of diethylaminoethyl-chitosan derivatives: potential application as antimicrobial coatings. Cunha, O. M. (PG); Tiera, M. J. (PQ); Lima, A. M. F. (PQ); Assis, O. B. G. (PQ); Tiera, V. A. O. (PQ) IBILCE-UNESP
- MAT-078** Tri-ureasil hybrid gel as biofilm forming for controlled release of cubebin. Jesus, N. A. M. (PG); Silva, M. L. A. (PQ); Cunha, W. (PQ); Tavares, D. C. (PQ); Furtado, R. A. (PG); Molina, E. F. (PQ) UNIFRAN
- MAT-079** Structure-property relations of chiral polyfluorene derivatives. Baev, A.; Prasad, P. N.; Zanlorenzi, C. (PQ); Nowacki, B. (PQ); Akcelrud, L. (PQ) UFPR
- MAT-080** Hydrophobic papers based on cellulose coated with recycled polystyrene. Maturi, F. E.; Barud, H. S.; Silva, R. R.; Ribeiro, S. J. L.; Cardoso, M. B.; Cebrian, A. V. S. (IC) IQAr-UNESP
- MAT-081** Accelerated aging study on rheological properties of synthetic bitumens. Souza, R. S. (PG); Visconte, L. L. (PQ); Costa, V. G. (PQ) INT
- MAT-082** Gold Electrodeposition on Porous Polymeric Templates for Raman Spectroscopy. Colombo, R. N. P. (PG); Moreira, R. V. (PG); Faria, D. L. A. (PQ); Torresi, S. I. C. (PQ) IQUSP
- MAT-083** Dye-sensitized solar cells based on TiO<sub>2</sub> nanoparticles. Amparo, S. Z. S. (IC); Almeida, G. C. (IC); Lage, A. L. A. (PG); Martins, D.C. da. S. (PQ); Mohallem, N. D. S. (PQ); Viana, M. M. (PQ) UFMG
- MAT-086** Corrosive process study at a central of water treatment and distribution in Potiretama - CE rural area. Ramos, J. E. T. (PQ); Dias, S. S. (PQ); Moura, R. A. (IC) UFERSA
- MAT-087** Nanoencapsulação do extrato do fruto de *Guazuma ulmifolia* Lam. utilizando poli (ácido láctico-co-ácido glicólico). Zafred, A. F. D. (IC); Santos, M. N. G. (PG); Terezan, A.P. (PQ); Silva, J.R. (PQ); Azevedo, R. B. (PQ); Kato, L. (PQ); Oliveira, C. M. A. (PQ); Rabelo, D. (PQ); Sartoratto, P. P. C. (PQ) UFG
- MAT-088** Synthesis of a luminescent hybrid of silica and Iridium complex for biomarker application. Mutti, A. M. G. (PG); Santos, J. A. O. (PG); Canisares, F. S. M. (PG); Pires, A. M. (PQ); Lima, S. A. M. (PQ) FCT-UNESP-Câmpus de Presidente Prudente
- MAT-089** Simultaneous oxygen and temperature ratiometric optical probes based on an europium(III) complex and anthracene covalently bounded to pdms. Gálico, D. A. (PG); Mazali, I. O. (PQ); Sigoli, F. A. (PQ) UNICAMP
- MAT-090** Synthesis, characterization and photophysical properties of a fluorene-benzothiadiazole / fluorene-terpyridine block copolymer. Turchetti, D. A.; Akcelrud, L. C.; Santana, A. J. (PG) UFPR
- MAT-091** Study of the Association of Few-walled Carbon Nanotubes with the Semiconductor Complex Bu<sub>4</sub>N[Ni(dmit)<sub>2</sub>]. Rodrigues, M. K. (IC); Lara, L. R. S. (PQ); Mambriani, R. V. (PQ); do Pim, W. D. (PQ); Stumpf, H. O. (PQ) UFMG
- MAT-092** A scalable new platform to produce all-carbon low-cost paper-based electrodes. Bertacchi, J. P. F. (PG); Galembeck, F. (PQ) UNICAMP
- MAT-093** Development of materials based on calcium polyphosphate/alginate for bone cement applications. Monte, J. P. (IC); Silva, G. B. A. (IC); Falcão, J. S. A. (PQ); Santos, B. S. (PQ) UFPE
- MAT-094** Preparation and characterization of ashes from cassava and sugarcane bagasse wastes. Oliveira, A. V. B. (IC); Silva, T. M. R. (TC); Fávoro, S. L. (PQ); Batistela, V. R. (PQ) UEM
- MAT-095** Synthesis and characterization of AuPd and AuPt bimetallic nanoparticles for biointegration with microorganisms. Santana, S. M. F. (PG); Bispo, V. M. (PG); Geris, R. (PQ); Malta, M. (PQ) UFBA
- MAT-096** Conjugated polymer to gold nanoparticles passivation. Synthesis, characterization and photophysics interpretation. Silva, H. V. C. (IC); Klimpovuz, C. R. (IC); Turchetti, D. A. (PQ); Oliveira, M.M. (PQ); Akcelrud, L. C. (PQ) UFPR
- MAT-097** Intensified Raman spectrum of 4-MBA on nonstoichiometric CeO<sub>2</sub>. Reinaldo, A. C. (IC); Silva, I. C. (PG); Sigoli, F. A. (PQ); Mazali, I. O. (PQ) UNICAMP
- MAT-098** Hidrogéis nanoestruturados contendo nanowhiskers de celulose para liberação tópica de fármaco. Melo, B.C. (IC); Rodrigues, F.H.A. (PQ) UVA
- MAT-099** Reutilização de sílica gel contaminada com compostos orgânicos na síntese de vidros silicatos. Gomes, I. F. (IC); Silva, C. F. (PG); Pedrosa, L. F. (PQ); Ribeiro, G. (PQ); Ribeiro, S. (PQ); Souza, M. L. (PQ); Silva, L. (PQ); Ferreira, E. A. (PQ) UFF
- MAT-100** Electronic structure, morphology and charge transport of GO-PEDOT:PSS blends for organic photovoltaics. Holakoei, S. (PG); Lima, L.F. (PG); Borges, B.G.A.L. (PQ); de Matos, C.F. (PQ); Zarbin, A.J.G. (PQ); Roman, L.S. Roman (PQ); Turci, C.C. (PQ); Rocco, M.L.M. (PQ) UFRJ
- MAT-101** Rare earth oxide-based nanoparticles with application in photodynamic therapy for cancer. Silva, B. A. (PG); Padilla-Chavarría, H. I. (PG); Zaitsev, V. (PQ); Mendivelso, E. A. C. (PQ); Alves, L. A. (PQ); Xing, Y. (PQ); Kai, J. (PQ) PUC-RIO
- MAT-102** Photoelectrochemical degradation of methylene blue dye on Ti/TiO<sub>2</sub> nanotubes electrode. González-Moya, J. R. (PQ); Santos, I. M. (IC); Machado, G. (PQ) CETENE
- MAT-103** UV-Shielding and enhanced thermal stability of poly(vinyl alcohol)/graphene composites. Carvalho, R. D. E. (PG); Carvalho, R. H. (IC); Silva, V. R. (PQ); Ferreira, M. P. (PQ); Santos, A. P. (PQ); Furtado, C. A. (PQ) CDTN
- MAT-104** From graphite to graphene: improving the Hummers method to produce high quality reduced graphene oxide (rGO). Nagaoka, D. A. (PQ); Domingues, S. H. (PQ) UPM

- MAT-105 Unraveling the differences in the activity and stability of non-enzymatic electrochemical sensors by controlling surface facets.** da Silva, A.G.M. (PQ); Pastrían, F.A.C. (PG); Dourado, A.H.B. (PG); Batista, A.P.L. (PQ); de Oliveira-Filho, A.G.S. (PQ); Camargo, P.H.C. (PQ); de Torresi, S.I.C. (PQ) IQUSP
- MAT-106 Sínteses de cristais líquidos iônicos e estudo de suas propriedades mesomórficas.** Ovalle, S. (PG); Westphal, E. (PQ); Gallardo, H. (PQ) UFSC
- MAT-107 Uso do Poliestireno expandido no aumento da hidrofobicidade em isoladores elétricos cerâmicos usados em linhas de transmissão.** Ferreira, R. G. (IC); Souza, D. O. (IC); Calado, C. R. (PQ) CEFET-MG
- MAT-108 Thin films of ternary nanocomposites between carbon nanotubes, Prussian blue and polyaniline.** Schmidt, A. (PG); Husmann, S. (PG); Zarbin, A. J. G. (PQ) UFPR
- MAT-109 Aqueous dispersions of carbon nanotubes without passivation or functionalization.** Damasceno, J. P. V. (PG); Zarbin, A. J. G. (PQ) UFPR
- MAT-110 Characterization of the Pani/MoO<sub>3</sub> hybrid for ethanol electrooxidation.** Ratuchne, F.; Antoniazzi, C.; Danczuck, M.; Castro, E. G. (PQ) UNICENTRO
- MAT-111 Charcoal and activated carbon from yeast biomass residues.** Melo, V. F.; Modesto, H.; Komatsu, J. S.; Carvalho, W. A.; Labuto, G.; Santos, M. S. (IC) UNIFESP-Diademá
- MAT-112 Effect of glass powder as reinforcing filler in the production of recycled polypropylene composites.** Costa, I. S. (IC); Almeida, L. A. (IC); Junior, J. C. J. (PQ); Silva, A. L. N. (PQ); Nasser, R. O. (PQ); Aversa, T. M. (PQ) IFRJ-Campus Duque de Caxias
- MAT-113 Functionalization of fungal cells with transition metal oxides for the development of biomimetic hybrid structures.** Bispo, V. M. (PG); Geris, R. (PQ); Malta, M. (PQ) UFBA
- MAT-114 Frontier micro/mesoporous silica obtained by the hydrolysis of TEOS in pressurized aqueous CO<sub>2</sub>.** Winkler, M. E. G. (PG); Kunita, M. H. (PQ); Muniz, E. C. (PQ); Rubira, A. F. (PQ) UEM
- MAT-115 Mixed matrix membranes Synthesis with MIL-101(Cr) for gas separation.** Santos, G.H.G. (PG) UFRJ
- MAT-116 Removal of Cu<sup>2+</sup> ions from aqueous solutions using starch-g-poly(acrylic acid)/rice husk ash: adsorption kinetics.** Melo, B. C. (IC); Rocha, A. J. R. (IC); Cardoso, V. A. (IC); Magalhães, C. E. C. (PQ); Rodrigues, F. H. A. (PQ) UVA
- MAT-117 Evaluation of silicone rubber hydrophobicity after different periods of accelerated photo-ageing.** Munaro, A. P. (PG); Salum, A. S. (PQ); Richart, F. S. (PQ); Silva, F. I. C. (PQ); Molinari, J. (TC); Munaro, M. (PQ); Akcelrud, Leni (PQ) UFPR
- MAT-118 Comparison of Hybrid Conjugates Containing Amyloidogenic Peptides and Gold Nanoparticles.** Pelin, J. N. B. D. (PG); Alves, W. A. (PQ) UFABC
- MAT-119 Isolation of cellulose and cellulignin from sugarcane bagasse by green chemical treatments.** Messa, L. L. (PG); Faez, R. (PQ) UFSCar-Campus de Araras
- MAT-120 Preparation of BiVO<sub>4</sub>-decorated ZnO nanorods for oxygen evolution using photo-electrocatalysis.** Almeida, R. M. (PG); Freitas, A. L. M. (PG); Souza, J. S. (PQ); Souza, F. L. (PQ); Alves, W. A. (PQ) UFABC
- MAT-121 Importance of corrosion resistance of the cannula test in control quality of hypodermic needles.** Carvalho, C. M. (PG); Vale, R. F. D. (TC); Fust, A. M. B. S. (TC); Venâncio, L. F. (TC); Leandro, K. C. (PQ); Gemal, A. L. (PQ); Silva, F. S. Q. (PQ); Feitoza-Silva, M. (PQ) FIOCRUZ
- MAT-122 Proposed regulatory change in view of the silicone quantification test in hypodermic syringes.** Alves, C. S. (PG); Vale, R. F. D. (TC); Fust, A. M. B. S. (TC); Venâncio, L. F. (TC); Leandro, K. C. (PQ); Feitoza-Silva, M. (PQ) FIOCRUZ
- MAT-123 Electrochemical application of all-chemically synthesized graphene/iron oxide composites.** dos Santos, J. (IC); Lopes, L. C. (PG); Zarbin, A. J. G. (PQ) UFPR
- MAT-124 Activity of immobilized porcine pancreatic lipase into mesoporous silica SBA-15 in transesterification reactions.** Rocha, I. N. d. S. (IC); Silva, J. A. D. (PQ) IFF
- MAT-125 Thin films of nanocomposites between graphene and nickel hexacyanoferrate nanoparticles applied in energy storage.** Neiva, E. G. C. (PQ); Zarbin, A. J. G. (PQ) UFPR
- MAT-126 Ag<sub>2</sub>WO<sub>4</sub> polymorphs: selective synthesis and characterization.** Alvarez-Roca, R. (PQ); Lemos, P. S. (PG); Longo, E. (PQ) UFSCar

## **MED – Química Medicinal**

- MED-001 Serine protease from Bothrops asper snake venom and its inhibition in the presence of hesperitin.** Grillo, G. R. (IC); dos Santos, R. V. (PG); Tasic, L. (PQ) UNICAMP
- MED-002 Discovery of new Plasmodium cGMP-dependent protein kinase inhibitors with antiplasmodial and transmission blocking activities.** Cassiano, G. C. (PQ); Tomaz, K. C. P. (PG); Lima, M. N. N. (PG); Neves, B. J. (PQ); Tavella, T. A. (PG); Mottin, M. (PQ); Braga, R. C. (PQ); Calit, J. (IC); Cravo, P. V. L. (PQ); Bargieri, D. Y. (PQ); Andrade, C. H. (PQ); Costa, F. T. M. (PQ) UNICAMP
- MED-003 Synthesis, acute toxicity, antioxidant and antinociceptive activity of new sulfonamides derived from carvacrol.** Oliveira, A. S. (PQ); Brighente, I. M. C. (PQ); Nunes, R. J. (PQ); Yunes, R. A. (PQ); Nucci-Martins, C. (PG); Santos, A. R. S. (PQ) UFSC

- MED-004** **Structure-activity relationships for a series of benzimidazole derivatives as cruzain inhibitors.** Ferreira, L. L. G. (PQ); Pauli, I. (PQ); de Souza, M. L. (PQ); Oliva, G. (PQ); Ferreira, R. S. (PQ); Dessoy, M. A. (PQ); Slafer, B. W. (PQ); Dias, L. C. (PQ); Andricopulo, A. D. (PQ) IFSC-USP
- MED-005** **Identificação de novos candidatos a agentes antitumorais.** Martins, C.T. (IC); Silva, E.M.G. (IC); Magalhães, L.G. (PG); Mass, E.B. (PG); Russowsky, D. (PQ); Andricopulo, A.D. (PQ) IFSC-USP
- MED-006** **Screening of the MMV pathogen box on *Schistosoma mansoni* juvenile worms for antischistosomal drug discovery.** Neto, J. M. R. (PG); Valente, W. C. G. (TC); Chino, M. E. T. A. (TC); Chaves, E. F. C. L. (TC); Santos, M. K. S. (IC); Schirato, G. V. (PQ); Santos, A. L. (PQ); Dantas, R. F. (PQ); Senger, M. R. (PQ); Júnior, F. P. S. (PQ) FIOCRUZ
- MED-007** **ADME-T and pharmacokinetic parameters of antitrypanosomal / antitumoral analogues of licarín A.** Moraes, T. R. (PG); Fernandes, J. P. S. (PQ); Sartorelli, P. (PQ); Tempone, A. G. (PQ); Girola, N. (PG); Fortuna, A. C. B. (PQ); Falcão, A. C. (PQ); Lago, J. H. G. (PQ) UC
- MED-008** **A new 3-nitro-1,2,4-triazole derivative is more potent and selective than benzimidazole against *Trypanosoma cruzi*.** Castelo-Branco, F. S. (PQ); França, R. R. F. (PG); Menozzi, C. A. C. (PG); Baptista, M. S. (IC); Sales-Júnior, P. A. (PQ); Murta, S. M. F. (PQ); Romanha, A. J. (PQ); Pinto, A. C. (PQ); Boechat, N. (PQ) FIOCRUZ
- MED-009** **Analysis of the biological activity of antidiabetic compounds using CoMFA models.** Pantaleão, S. Q. (PG); Lima, A. N. (PQ); Philot, E. A. (PQ); Scott, A. L. (PQ); Honorio, K. M. (PQ) UFABC
- MED-010** **Design, synthesis and anti-plasmodium falciparum activity of novel bis-trifluoromethylquinolines derivatives.** Gandi, M. O. (IC); Carvalho, A. S. (PQ); Mendonça, J. S. (PQ); Krettli, A. U. (PQ); Boechat, N. (PQ) FIOCRUZ
- MED-011** **Construction and validation of 3D chemical similarity models of triclosan.** Fernandes, P. O. (IC); Franco, I. D. (IC); Maltarollo, V. G. (PQ) UFMG
- MED-012** **Planejamento, síntese e avaliação biológica de novos derivados carboidrazonamidas candidatos a protótipos tripanocidas.** do Nascimento, M. S. S. (PG); Teixeira, R. L. (IC); Barbosa, J. M. C. (IC); Salomão, K. (PQ); de Castro, S. L. (PQ); Carvalho, S. A. (PQ); da Silva, E. F. (PQ); Fraga, C. A. M. (PQ) FIOCRUZ
- MED-013** **Interaction models of the protein Phosphoethanolamine Methyltransferase from *Haemonchus contortus* relating drugs and lignans through molecular docking.** Féboli, A. (PG); Borges, A. (PG); Laurentiz, R. S. (PQ) FEIS-UNESP
- MED-014** **Plasmonic photothermal cancer therapy with reduced graphene oxide core/shell nanocomposites.** Turcheniuk, K.; Dumych, T.; Bilyuy, R.; Nazarkovskiy, M.; Zaitsev, V. (PQ) PUC-RIO
- MED-015** **Blind docking and Semi-Empirical Studies of  $\beta$ -Tubulin Inhibitors.** Fokoue, H. H. F. (PQ); Carneiro, T. R. C. (PQ); Barreiro, E. J. B. (PQ); Lima, L. M. L. (PQ); Sant'Anna, C. M. R. S. (PQ) UFRJ
- MED-016** **Drug Design based on vouacapanic derivative with antileukemic activity.** Lobato, C. C. (PG); Borges, R. S. (PQ); Silva, C. H. T. P. (PQ); Santos, C. B. R. (PQ) UNIFAP
- MED-017** **Sirtinol analogues design and molecular docking in the search for *Trypanosoma cruzi* Sirtuin 2 inhibitors.** Fornari Pereira, E. (PG); Trossini, G. H. G. (PQ); Ferraz, W. (IC); Ferreira, G. M. (PG) FCF-USP
- MED-018** **Estudos visando a síntese e avaliação farmacológica de compostos heterocíclicos candidatos a protótipos de fármacos inovadores para o tratamento da doença de Alzheimer.** Gontijo, V. S. (PQ); Rosa, M. C. (IC); Castro, N. G. (PQ); Viegas, C. V. (PQ) UNIFAL
- MED-019** **Synthesis, cytotoxicity and in vitro evaluation of antileishmanial activity of benzoylguanidines.** Silva, K. M. S. (PG); Fabris, M. (PG); Brito, T. O. (PG); Macedo Jr., F. C. (PQ); Bortoleti, B. T. S. (PG); Pavanelli, W. R. (PQ); Costa, I. C. (PQ); Bispo, M. L. F. (PQ) UEL
- MED-020** **Antibacterial activity of new 2-amino-1,4-naphthoquinones.** Silva da, C. C. (PG); Paiva, R. O. (PQ); Costa da, G. L. (PQ); Echevarria, A. (PQ) UFRRJ
- MED-021** **Theoretical Investigation of thiosemicarbazones and dialkylphosphorylhydrazones as Proposed Serine Proteases Inhibitors.** Mendes, B. H. M. (IC); Sant'Anna, C. M. R. (PQ) UFRRJ
- MED-022** **Synthesis and cytotoxicity activity of new analogs of Santacruzamate A.** Andrade, S. N. (PG); Seckler, D. E. L. (IC); Freitas, T. R. (PG); Nunes, R. R. (PG); Evangelista, F. C. G. (PG); Humberto, J. L. (PQ); Sabino, A. P. (PQ); Taranto, A. G. (PQ); Varotti, F. P. (PQ); Hilário, F. F. (PQ) UFSJ
- MED-023** **Risk Assessment for synthetic cannabinoids: an application in criminal science.** Castro, C. J. (FM); Rodrigues, R. C. (PG); Melo, M. E. (PQ); Bruni, B. A. (PQ) FFCLRP-USP
- MED-024** **Drug Discovery applied to Agrobusiness: prediction of *Rhipicephalus microplus* Acetylcholinesterases isoforms, an important target in the development of carrapaticides.** Estrela, I. O. (IC); Freitas, H. F. (PQ); Pita, S. S. R. (PQ) UFBA
- MED-025** **Synthesis and biological evaluation of the coumarins derivatives as potential inhibitors of the production of the *Pseudomonas aeruginosa* Virulence factor pyocyanin.** Maciel, C. A. O. (IC); Froes, T. Q. (PG); Forezi, L. S. M. (PQ); Cardoso, M. F. C. (PQ); Costa, D. C. S. (PG); Ferreira, V. F. (PQ); Silva, F. C. (PQ); Castilho, M. S. (PQ) UFBA
- MED-026** **Design of new analogs and investigation of SmTGR inhibition by fragments identified by X-ray crystallography.** Souza-Neto, L. R. (PG); Silva-Jr, F. P. (PQ); Dantas, R. F. (PQ) FIOCRUZ
- MED-027** **Development of a protocol for the virtual screening of a series of small-molecules ligands of the tubulin colchicine binding site.** Palomino-Salcedo, D. L. (PG); Magalhães, L. G. (PG); Oliva, G. (PQ); Andricopulo, A. D. (PQ) IFSC-USP
- MED-028** **Study of the molecular interactions between DPP-IV and some inhibitors used for the treatment of type II diabetes mellitus.** Martins, M. C. M. R. (PG); Pantaleão, S. Q. (PG); Honório, K. M. (PQ) UFABC

- MED-029** Chemoinformatics strategies for a series of antichagasic compounds. Medeiros, A. R. (IC); Ferreira, L. L. G. (PQ); Braga, R. C. (PQ); Andricopulo, A. D. (PQ) IFSC-USP
- MED-030** New pyrazolopyrimidines as Inhibitor of *L. amazonensis* Arginase. Pinheiro, L. C. S. (PQ); Feitosa, L. M. (PG); Silveira, F. F. (PG); Ferreira, M. L. G. (PQ); Souza, D. L. (IC); Hoelz, L. V. B. (PQ); Come, J. A. A. S. S. (PG); Silva, E. R. (PQ); Boechat, N. (PQ) FIOCRUZ
- MED-031** Multivariate QSAR study of Modafinil derivatives with molecular descriptors derived from SMILES notations and free softwares. de Melo, E. B. (PQ); Bruni, A. T. (PQ) FFCLRP-USP
- MED-032** Thiosemicarbazones indole-based derivatives: Anticancer activity and Docking Studies towards topoisomerase inhibition. Couto, T. R. (PQ); Silva, L. A. (IC); Rodrigues, L. M. S. (IC); Aguiar, E. C. (PQ); Oliveira, J. F. (PQ); Lima, T. S. (PG); Pedrosa, S. C. B. L. (PQ); Lima, M. C. A. (PQ) UFRPE
- MED-033** Molecular modeling studies upon the hybrid prophylactic agent between 7-methoxytacrine (7-MEOTA) and 4-pyridinealdoxime (4-PA) with different spacer lengths. Silva, J. A. V. (PG); Nepovimova, E. (PQ); Ramalho, T. C. (PQ); Kuca, K. (PQ); França, T. C. C. (PQ) IME
- MED-034** 3'-Hydroxychalcones against multidrug-resistant *Mycobacterium tuberculosis*: Design using Topliss' method, synthesis and bioassay. Assis, L. R. (PG); Rodrigues, L. O. (PG); Campos, D. L. (PG); Ribeiro, C. M. (PG); Silva, I. C. (PQ); Pavan, F. R. (PQ); Regasini, L. O. (PQ) IBILCE-UNESP
- MED-035** Sulfation of the  $\beta$ -1,3;1,6-D-glucan botryosphaeran and evaluation of its derivatives against herpes and dengue viruses. Sacchelli, B. A. L. (PG); Bernardes, T. M. (IC); Barbosa-Dekker, A. M. (PQ); Galhardi, L. C. F. (PQ); Linhares, R. E. C. (PQ); Orsato, A. (PQ) UEL
- MED-036** Synthesis, antileishmanial activity and protease inhibition of benzoxazoles derivatives. Folquitto, L. R. S. (PG); Nogueira, P. F. (IC); Espuri, P. F. (PG); Gontijo, V. S. (PQ); Souza, T. B. (PQ); Marques, M. J. (PQ); Carvalho, D. T. (PQ); Júdice, W. A. S. (PQ); Dias, D. F. (PQ) UNIFAL
- MED-037** Synthesis of thiosemicarbazide derivatives with antimicrobial activity. Lima, MLL (IC); Ximenes, RM (PQ); Sena, KXFR (PQ); Albuquerque, JFC (PQ) UFPE
- MED-038** Pharmacokinetic and Docking studies of Thiazolidinedione derivatives inhibitors of Trypanothione Reductase of *Trypanosoma cruzi* (TcTR). Peralva, C. M. S. (IC); Metwally, K. (PQ); Pita, S. S. (PQ) UFBA
- MED-039** Discovery of marinoquinolines as potent and fast-acting *Plasmodium falciparum* inhibitors with *in vivo* activity. Aguiar, A. C. C. (PQ); Panciera, M. (PQ); dos Santos, E. F. S. (PG); Singh, M. K. (PG); Garcia, M. L. (PG); de Souza, G. E. (PG); Nakabashi, M (PQ); Garcia, C. R. S. (PQ); Oliva, G. (PQ); Correia, C. R. D. (PQ); Guido, R. V. C. (PQ) IFSC-USP
- MED-040** Molecular modeling of thiosemicarbazones, candidateDual inhibitors of snake venoms metalloproteases and Pospholipases A2. Nascimento, N. L. (IC); Cistia, C. D. N. (PG); Kümmerle, A. E. (PQ); Sant'Anna, C. M. R. (PQ) UFRRJ
- MED-041** Chalcones synthesis by Claisen-Schmidt condensation and evaluation of larvicidal activity in *Aedes aegypti*. Barreiros, A. L. B. S.; Souza, G. B. (PG); Alves, P. B. (PQ); Barreiros, B. S. B. (PQ); Barreiros, M. L. (PQ); Cavalcante, S. C. H. (PQ); Brito, T. B. (PG); Costa, E. V. (PQ) UFS
- MED-042** Evaluation of the interaction of  $\alpha\beta$ -carboline derivatives with DNA by molecular fluorescence and correlation with antiproliferative activity. Silva, M. M. (PG); Pereira, K. T. O. (PG); Barbosa, V. A. (PQ); Sarragiotto, M. H. (PQ); Santos, J. C. C. (PQ); Figueiredo, I. M. (PQ) UFAL
- MED-043** H2S-Donating monastrol: A new calcium channel modulator. Braga, T. C. (PG); Soares, K. V. (IC); Jesus, I. C. G. (PG); Guatimosim, S. (PQ); Fátima, A. (PQ) UFMG
- MED-044** Molecular modeling studies of the nicotinic acetylcholine receptor (nAChR) $\alpha$ 7: Validation and analysis of bioactive compounds. Frediani, N. F. (PG); Batista, V. S. (PG); Nascimento-Júnior, N. M. (PQ) IQAr-UNESP
- MED-045** In vitro Screening of chalcones against urease activity. Severino, R. P. (PQ); Rosa, T. F. (IC); Mendes, L. C. (IC); Lima, R. S. (PG); De Castro, M. R. C. (PG); Bernardes, A. (PG); Perez, C. N. (PQ); De Sousa, L. R. F. (PQ) UFG-Catalão
- MED-046** Biochemical characterization of new *Schistosoma mansoni* aspartic proteases inhibitors identified by virtual screening. Gomes, B. F. (IC); Senger, M. R. (PQ); Neves, B. J. (PG); Owens, R. (PQ); Furnham, N. (PQ); Andrade, C. H. (PQ); Silva-Junior, F. P. (PQ) FIOCRUZ
- MED-047** In vitro inhibition of *Helicobacter pylori*, interaction studies and molecular docking of lichen natural products with jack bean urease. Nunes, C. S. (PG); Maciel, T. M. S. (PG); Lage, T. C. A. (PG); Mota, Y. C. C. (PG); Masia, C. (PG); Fátima, A. (PQ); Fernandes, S. A. (PQ); Modolo, L. (PQ); Sisto, F. (PQ); Santos, J. C. C. (PQ); Figueiredo, I. M. (PQ) UFAL
- MED-048** Caracterização de novos agentes perturbadores de microtúbulos com propriedades anticâncer. Silva, E. M. G. (IC); Martins, C. T. (IC); Magalhães, L. G. (PG); Mass, E. B. (PG); Russowsky, D. (PQ); Andricopulo, A. D. (PQ) IFSC-USP
- MED-049** Construction and validation of QSAR models for thiazole derivatives with antifungal activity. Teixeira, I. N. S. (PG); Maltarollo, V. G. (PQ); Oliveira, R. B. (PQ) UFMG
- MED-050** Biotransformation of taxifolin by *Beauveria bassiana* ATCC 7159. Werworm, L. F. M. (IC); Nascimento, S. L. F. (IC); Sinhorin, A. P. (PQ); de Oliveira, V. (PQ); Pazini, F. (PQ) UFMT
- MED-051** Antitumor Activity of Mesoionic Salts in Osteosarcoma. Sousa-Pereira, D. (PG); Barbosa, L. D. (PG); Frauches-Santos, C. (PG); Cruz, V. (IC); Leal, A. C. (PQ); Cavalcanti, A. S. (PQ); Echevarria, A. (PQ) UFRRJ
- MED-052** Synthesis and antileishmanial activity of novel $\beta$ -carboline-1,3,5-triazine hybrids. Barea, P. (PG); Barbosa, V. A. (PQ); Leoncio, M. S. (IC); de Paula, J. C. (PG); da Costa, W. F. (PQ); Nakamura, C. V. (PQ); Sarragiotto, M. H. (PQ) UEM
- MED-053** Development of new potential *Mycobacterium tuberculosis* enoyl-ACP reductase inhibitors. Maia, F. L. (IC); Gonçalves, R. S. (PQ); Albuquerque, M. G. (PQ); Lima, C. H. (PQ); Oliveira, L. N. (PG); Castro, J. C. (IC); Mathias, L. S. (IC) UFRJ

- MED-054** Planejamento, síntese e avaliação biológica de novos derivados 4-nitroimidazólicos candidatos a agentes tripanocidas. Alcântara, G. P. (PG); Barbosa, J. M. C. (IC); Salomão, K. (PQ); de Castro, S. L. (PQ); Carvalho, S. A. (PQ); da Silva, E. F. (PQ); Fraga, C. A. M. (PQ) FIOCRUZ
- MED-055** Docking studies of alkaloids from *Prosopis juliflora* against Acetylcholinesterase 1 of *Rhipicephalus microplus* (RmAChE1). Pita, S. S. R. (PQ); Branco, A. (PQ); Lima, H. G. (PG); Batatinha, M. J. M. (PQ); Freitas, H. F. (PQ) UFBA
- MED-056** Molecular modeling and prediction toxicity studies of organozinc metalodrugs candidate to anticancer agents. Santos, P. R. (PG); Fernandes, M. S. (IC); Oliveira, A. F. (PG); Paula, F. R. (PQ); Melo, E. B. (PQ); Machado, P. (PQ); Silva, S. M. (PQ) UNIPAMPA
- MED-057** Construction and Validation of HQSAR models for cell permeability, human intestinal absorption and oral bioavailability. Almeida, I. A. (IC); Maltarollo, V. G. (PQ) UFMG
- MED-058** Antiglycation activity of new derivatives of lipoic acid. Torres, N. M. P. O. (PG); Batista, A. C. S. (IC); Fernandes, P. O. (IC); Silva, R. A. (IC); Xavier, J. A. (PG); Goulart, M. O. F. (PQ); Alves, R. B. (PQ); Freitas, R. P. (PQ) UFMG
- MED-059** In vitro leishmanicidal activity of dihydroquinoline lactones. Laurentiz, R. S. (PQ); Pissurno, A. P. R. (PG); Magalhães, L. G. (PQ) FEIS-UNESP
- MED-060** Simplificação molecular como estratégia para descoberta e otimização de candidatos a fármacos antituberculose. Borsoi, A. F. (IC); Pissinate, K. (PQ); Bizarro, C. V. (PQ); Basso, L. A. (PQ); Machado, P. (PQ) PUC-RS
- MED-061** Síntese e avaliação farmacológica de acilhidrazonas como protótipos de fármacos multialvos para o tratamento da doença de Alzheimer. Santos, D. C. (IC); Nogueira, T. L. C. (IC); Quimas, J. V. F. (IC); Henriques, R. R. (PG); Lopes Jr., M. A. A. (PG); Carvalho, L. L. (PQ); Romeiro, N. C. (PQ); Silva, L. L. (PQ); Souza, A. L. F. (PQ) UFRJ
- MED-062** Estudos computacionais utilizados na procura de potenciais inibidores da enzima arilalkilamina N-acetiltransferase do mosquito *Aedes Aegypti*. Dantzger, D. R. C. (IC); Scotti, L. (PQ); Scotti, M. T. (PQ); Ishiki, H. M. (PQ) UNOESTE
- MED-063** Molecular modeling studies of the nicotinic acetylcholine receptor (nAChRs) $\alpha 4\beta 2$ : Validation and analysis of bioactive compounds. Batista, V. S. (PG); Nascimento-Júnior, N. M. (PQ) IQAR-UNESP
- MED-064** Síntese e avaliação farmacológica de derivados de dihidropirimidinonas inibidores duais MPO/AChE para o tratamento da Doença de Alzheimer. Souza, A. L. F.; Oliveira, T. C. C. (PG); Quimas, J. V. F. (IC); Nogueira, T. L. C. (IC); Bastos, J. M. D. (IC); Romeiro, N. C. (PQ); Silva, L. L. (PQ); Ferreira Souza, A. L. (PQ) UFRJ
- MED-065** Molecular modeling studies of the *Penicillium Camemberti* Lipase (PCL) enzyme: Docking and validation of bioactive compounds. Ribeiro, T. R. (PG); Batista, V. S. (PG); Nascimento-Júnior, N. M. (PQ) IQAR-UNESP
- MED-066** Structure-activity methods applied to NPS amphetamines e cathinones in order to predict risk assessment. Melo de, E. B. (PQ); Pinke Rodrigues, C. H. (PG); Martins, J. P. A. (PQ); Bruni, A. T. (PQ) FFCLRP-USP
- MED-067** Novel azido and glucuronamide-based nucleosides of potential therapeutic interest. Pereira, R. G.; Jorda, R.; Reznicková, E.; Krystof, V.; Csuk, R.; Oliva, G.; Xavier, N. M.; Loesche, A.; Mesquita, N. N.

## ORG – Química Orgânica

- ORG-001**  $\gamma$ -hydroxy(amino)amides: enzymatic catalysis via nitrile hydratases and ketoreductases. Tordato, E. A. (PG); Machado, L. H. C. (IC); Milagre, C. D. F. (PQ) IQAR-UNESP
- ORG-002** Relevance of kinetic data of cellulose acylation to the synthesis of cellulose mixed esters. Bioni, T. A. (PG); El Seoud, O. A. (PQ) IQUSP
- ORG-003** Quantificação de ésteres metílicos por análise termogravimétrica aplicando parâmetros cinéticos. Costa, M. B. (PQ); Thomas, N. (PG); Dal Pozzo, D. M. (PG); Gato, F. (PG); Scremin, F. R. (PQ) UTFPR
- ORG-004** Synthesis of Carboxyl-functionalized ionic liquids from cyclic anhydrides. Cassol, T. M. (PG); Berton, G. H. (IC); Souza, T. J. (PG); Junior, S. A. (PQ) UTFPR
- ORG-005** Mechanochemical the synthesis of enamiones. Evangelista, E. S. (PG); Cunha, S. (PQ) UFBA
- ORG-006** Pentacyclic triterpenes and the cytotoxic potential of *Vochysia divergens* Pohl stem extract. Pimenta, L. P. (PG); Pedroso, R. C. N. (PG); Souza, W. P. (PG); Valerino-Díaz, A. B. (PG); Santos dos, L. C. (PQ); Soares, M. A. (PQ); Tavares, D. C. (PQ); Silva, M. L. A. (PQ); Cunha, W. R. (PQ); Pauletti, P. M. (PQ); Januário, A. H. (PQ) UNIFRAN
- ORG-007** Use of Trichloroisocyanuric Acid for the Conversion of Amides to Amines via Hofmann Degradation. Bastos, G. A. (IC); de Mattos, M. C. S. (PQ) UFRJ
- ORG-008** New chiral oxazolidine-dihydropyridines. Moura, R. G. (PG); Palma, D. Y. R. (IC); Di Vitta, C. (PQ); Marzorati, L. (PQ) IQUSP
- ORG-009** Substituent effect evaluation on spectroscopic properties of Schiff bases derived from diaminomaleonitrile and salicylaldehydes. Mello, L. S. (PG); Dockal, E. R. (PQ); Cruz Júnior, J. W. (PQ) UFSCar
- ORG-010** Synthesis and characterization of non-symmetric dimeric ionic liquid crystals derived from 1,3,4-oxadiazole heterocycle. Kutz, M. S. (IC); Molin, F. (PQ) UTFPR
- ORG-011** Chemical composition of essential oil from inflorescences from male and female specimens of *Baccharis punctulata* DC. Oliveira de, M. S. (IC); Ascari, J. (PQ); Nunes, D. S. (PQ); Scharf, D. R. (PQ); Simionatto, E. L. (PQ); Heiden, G. (PQ) UTFPR

- ORG-012** **Synthesis and theoretical studies of the rotational barrier of 2,4,6-Trifenetil-1,3,5-triazine.** Del Cistia, C. D. N. (PQ); Barbosa, I. R. (IC); Echevarria, A. (PQ); Sant'Anna, C. M. R. (PQ) UFRRJ
- ORG-013** **A study of extraction of natural products from renewable sources: naringin from grapefruit peels and hesperidin from orange peels.** Cortez, M. V. M. (IC); Nunes, A. V. J. (IC); França, E. L. (PG); Sakukuma, M. C. K. (PG); David, J. M. (PQ); Victor, M. M. (PQ) UFBA
- ORG-014** **Solvent effect on the conformational preference of some 1,3-disubstituted acyclic compounds by <sup>1</sup>H NMR.** Karas, L. J. (PG); Batista, R. B. (PG); Viesser, R. V. (PG); Tormena, C. F. (PQ); Rittner Neto, R. (PQ); de Oliveira, P. R. (PQ) UTFPR
- ORG-015** **Three-component synthesis of arylidene-succinimides via *in situ* Wittig reaction.** Barretto, F. A. (PG); Cunha, S. D. (PQ) UFBA
- ORG-016** **A new multicomponent synthesis of pyrimido[4,5-b]quinolinetetraones.** Santana, L. L. B. (PQ); Dourado, G. A. A. (PG); Cunha, S. (PQ) UFBA
- ORG-017** **Síntese de 2,5-dicloro-3,6-bis[(quinolon-6-il)amino]-1,4-benzoquinonas com potencial atividade antipirônica.** Costa, A. R. P. (IC); Silva, R. C. (PG); Batalha, P. N. (PQ); Boechat, F. C. S. (PQ); Souza, M. C. B. V. (PQ) UFF
- ORG-018** **Síntese e aplicação de organocatalisadores bifuncionais em reações de Michael estereosseletivas envolvendo nitrociano-compostos.** Soares, P. M. A. (PG); Vinhato, E. (PQ); Rodrigues, A. (PQ) UNIFESP-Diadema
- ORG-019** **Palladium-Catalyzed Carbonylative  $\alpha$ -Arylation of Azlactones.** Pinheiro, D. L. J. (PG); Nielsen, D. U. (PQ); Amarante, G. W. (PQ); Skrydstrup, T. (PQ) AU-DK
- ORG-020** **Abordagens complementares nas sínteses totais de (+)- e (-)-bernumidina.** Corrêa, B. K. (PG); Silva, T. R. C. (PG); Raminelli, C. (PQ) UNIFESP-Diadema
- ORG-021** **Synthesis of New Schiff Bases (N-Aryl)Phosphoramidic. Possible Microbiocidal.** De Macedo, W. P. (PQ); Lousa, P. H. F. (PG) UEG
- ORG-022** **Synthesis and biological screening of tetrazolyl-4-oxoquinolines as antitumor agents.** Oliveira, P. H. R.; Souza, M. C. B. V.; Boechat, F. C. S.; Fernandes, P. D.; Tolentino, N. M. C.; Vale, T. M. (IC) UFF
- ORG-023** **Enantioselective Heck-Matsuda Reaction on Dihydrofurans: Synthesis of Isobenzofuranones and Isochromanones.** de Lucca Jr., E. C. (PQ); Kattela, S. (PQ); Correia, C. R. D. (PQ) IQ-UNICAMP
- ORG-024** **Syntheses of sulfides via Wittig reaction using thiosulfonates.** Moura, I. M. R. (IC); Silva, A. T. (PG); Menezes, P. H. (PQ) UFPE
- ORG-025** **Síntese de cristais líquidos liotrópicos e sua aplicação como meio de alinhamento para obtenção de parâmetros anisotrópicos em RMN.** Silva, D.G.B (PG); Hallwass, F (PQ); Navarro-Vázquez, A (PQ) UFPE
- ORG-026** **Synthesis and photophysical investigation of new quinoline derivatives.** Pastrello, B. (PG); Dos Santos, G. C. (PG); Silva-Filho, L. C. (PQ); Ximenes, V. F. (PQ) UNESP-Bauru
- ORG-027** **Síntese de oxazolidinonas via reação de cloroaminociclicização promovidas por sais de Pd(II).** Papa, B. L. (PG); Vinhato, E. (PQ); Rodrigues, A. (PQ) UNIFESP-Diadema
- ORG-028** **Synthesis of isocoumarins and 3,4-dihydroisocoumarins for antiproliferative activity.** Santos, L. S. (PG); Chapadeiro, R. T. (IC); de Freitas, R. P. (PQ); Alves, R. B. (PQ) UFMG
- ORG-029** **Direct sequential C-H iodination/organoyl-thiolation of quinonoid deactivated systems: A new frontier for potent trypanocidal quinones.** Jardim, G. A. M. (PG); Oliveira, W. X. C. (PQ); de Freitas, R. P. (PQ); Menna-Barreto, R. F. S. (PQ); Silva, T. L. (PQ); Goulart, M. O. F. (PQ); da Silva Júnior, E. N. (PQ) UFMG
- ORG-030** **Enantioselective Heck-Matsuda arylation of the non-activated cyclopentene.** Chorro, T. H. D. (IC); Polo, E. C. (PQ); Correia, C. R. D. (PQ) UNICAMP
- ORG-031** **Strong conformational preference of cis-2-fluoro- and cis-2-chlorocyclohexylamine measured by DNMR.** Basso, E. A. (PQ); Francisco, C. B. (PG); Fernandes, C. S. (PG); Melo, U. Z. (PG); Paschoalino, V. T. (IC) UEM
- ORG-032** **Resolução cinética de derivados de 1-feniletanol mediadas por Lipase B de *Candida antarctica* imobilizada em batelada e fluxo contínuo.** de Melo, L. S. (IC); Junior, J. C. C. da S. (IC); Felner, P. P. (IC); de Souza, L. C. (IC); Aguilón, A. R. (PQ); Leão, R. A. C. (PQ); Miranda, L. S. M. (PQ); de Souza, R. O. M. A. (PQ) UFRJ
- ORG-033** **Estudos visando às sínteses totais de (R)- e (S)-nuciferina.** Percim, G. P. (PG); Rivero, E. A. I. (IC); Silva, D. O. (PQ); Raminelli, C. (PQ) UNIFESP-Diadema
- ORG-034** **Síntese de Selenoésteres mediante rearranjo sigmatrópico entre selenoacetilenos e difenilsulfóxido catalisada por ácido trifílico.** Baldassari, L. L. (PG); Mantovani, A. C. (PQ); Maulide, N. (PQ); Lüdtko, D. S. (PQ) UFRGS
- ORG-035** **Heterociclo quinoxalina aplicado à preparação de cristais líquidos: síntese, mesomorfismo e propriedades físicas.** Aguiar, L. O. (PG); Souza, S.P. (IC); Vieira, A. V. (PQ) UFBA
- ORG-036** **Síntese de N-ftalimidas derivados do Eugenol e avaliação da sensibilidade de cepas de *Candida Albicans* frente à estes compostos.** Santana, K. S. (IC); Silva, C. M. (TC); Marçal, L. L. (PQ) IFRJ - Campus Nilópolis
- ORG-037** **Zinc-promoted, L-proline catalyzed allylation of aromatic aldehydes with allyl bromide in aqueous medium.** Silva, R. A. (PQ); Souza, F. A. M. (IC); Couto, T. R. (PQ) UFRPE
- ORG-038** **Arylation of  $\beta$ -ketosulfoxonium ylides with arynes: a direct synthesis of pro-chiral ylides and mono-arylated ketones.** Talero, A. G. (PG); Martins, B. S. (PQ); Burtoloso, A. C. B. (PQ) IQSC-USP



- ORG-039** Continuous flow enzymatic kinetic resolution of benzylic alcohols: development of a low-cost homemade bioreactor. Januário, G. O.; Milagre, H.M. S. (PQ) IQAr-UNESP
- ORG-040** Estudo da oxidação catalisada por Lacase de amidas derivadas da tiramina. Aguiar de, V. M. (PG); Miranda, L. S. M. (PQ); Gonçalves, R. S. B. (PQ); Silva, R. E. (IC) UFRJ
- ORG-041** Estudo sintético da delta-decalactona e derivados. Costa, M. B. (PQ); Paula de, E. L. (PG); Feliciano, A. S. (IC) UEG
- ORG-042** Solvent-free synthesis of  $\alpha$ -acylated  $\beta$ -thioenaminones. Matos, J. S. (PG); Cunha, S. D. (PQ) UFBA
- ORG-043** Síntese e caracterização de novos derivados piperazínicos, análogos ao SQ109: Potenciais agentes antituberculose. Saraiva, M. F. (PQ); Reis, D. B. (PG) UNIFEI
- ORG-044** Synthesis of new inhibitors of cathepsin K with potential use in osteoporosis therapy. Gontijo, T. B. (PG); Silva Júnior, E. N. (PQ); Freitas, R. P. (PQ) UFMG
- ORG-045** Synthesis of new compounds based on Lawsone via a multi-component reaction. Cardoso, M. F. C. (PQ); Forezi, L. M. (PQ); Gil, C. C. (IC); Santos, T. S. (IC); De Paula, G. R. (PQ); Teixeira, L. A. (PQ); Silva, F. C. (PQ); Ferreira, V. F. (PQ) UFF
- ORG-046** Continuous flow biocatalyzed process enhanced production of (R)-1,2-propanediol mediated by Immobilized Candida Antarctica Lipase B. Aguilón, A. R. (PG); Cámara, D. N. (IC); Souza de, S. P. (PQ); Leão, R. A. C. (PQ); Miranda, L. S. M. (PQ); Souza de, R. O. M. A. (PQ) UFRJ
- ORG-047** Synthesis and condensation of amides derivatives from nonsteroidal anti-inflammatory drugs (NSAIDs) in “environmentally friendly” conditions. Santos, D. C. (PG); Ponquio, F. P. (IC); Reis, A. K. C. A. (PQ) UNIFESP-Diadema
- ORG-048** Catalyst-free synthesis of pyridazinones from 3-hydroxy-indole-2-ones. Santos, G. A. (PG); Cunha, S. D. (PQ) UFBA
- ORG-049** Dynamic kinetic resolution of amines with nickel catalysts supported on mixed oxides of lanthanum and alkaline earth metals. Silva, L. A. (IC); Lima, S.M (PQ); Siqueira, F.A (PQ); Fernandes, T. N. C. (IC) UNIFESP-Diadema
- ORG-050** Synthesis of Novel N-heterocycles from Biomass-derived Building Block Dimethyl Itaconate. Santos, G. J. S. R. (IC); Ludwig, F. P. (PG); Bastos, A. V. (PG); Bareño, V. D. O. (PG); Silva, S. M. (PQ); Flores, A. F. C. (PQ); Flores, D. C. (PQ) FURG
- ORG-051** Resolução cinética dinâmica da ( $\pm$ )-1-feniletilamina catalisada por níquel suportado em óxidos mistos de metais lantanídeos. Fernandes, T. N. C. (IC); Silva, L. A. (IC); Lima, S. M. (PQ); Siqueira, F. A. (PQ) UNIFESP-Diadema
- ORG-052** Synthesis and leishmanicidal activity of eugenol triazolic derivatives. Teixeira, R. R. (PQ); Gazolla, P. A. R. (PG); Lima, W. P. (PQ); Borsodi, M. P. G. (IC); Bergmann, B. R. (PQ); da Silva, A. M. (PQ) UFV
- ORG-053** Mechanochemical chlorination of acetamides via chemometric optimization. Araújo, D. M. (PG); Cunha, S. (PQ) UFBA
- ORG-054** Synthesis of indol sulfoxides and sulfones as broad spectrum antibacterials against the ESKAPE pathogens. Silveira, G. P. (PQ); Silva, E. E. (PG) UFRGS
- ORG-055** Emprego de partículas magnéticas modificadas com cálix[4]areno como catalisadores heterogêneos para síntese de xantonas. Souza, G. C. (IC); Zacchi, C. H. C. (PG); Fátima de, A. (PQ); Araújo de, M. H. (PQ) UFMG
- ORG-056** Synthesis of quinolinyl lactones. Pissurno, A. P. R. (PG); Laurentiz, R. S. (PQ) FEIS-UNESP
- ORG-057** Use of humic substances as a biostimulant in Solanum lycopersicum. Oliveira, D. C. B. (IC); Orlando, B. H. S. L. (IC); Pereira, G. M. (PQ) UEPA
- ORG-058** Efficient Synthesis of N-phenethylarythioamides by Kindler Reaction. Romanhi, P. (IC); Pontes, T. S. (IC); Proença, G. S. (IC); Oliveira, C. J. (IC); Viegas, P. R. (IC); Castro, B.G. (IC); Machado, L. A. (PG); Souza, M. C. (PQ); Pedrosa, L. F. (PQ) UFF
- ORG-059** Synthesis and luminescent properties of new naphthoquinoline lactones derivatives. Santos, F. A. (PG); Laurentiz, R. S. (PQ) FEIS-UNESP
- ORG-060** Estudo de derivados pirazólicos como inibidores de corrosão. Maia, C.E.B. (PG); Romeiro, G.A. (PQ); Velloso, M.C.C. (PQ); Silva, G.C. (IC); Ferro, M.V. (IC) UFF
- ORG-061** Synthesis of new bis-1,2,3-triazoles derivatives containing carboxylic acid groups: potential inhibitors of osteoclastogenesis. Reis, W. J. (PG); Freitas, R. P. (PQ); Alves, R. B. (PQ) UFMG
- ORG-062** Oxone-mediated direct  $\alpha$ -hydroxylation of  $\beta$ -dicarbonyl compounds. Marques, M. V. (TC); Peterle, M. M. (PG); Sá, M. M. (PQ) UFSC
- ORG-063** Dienone-amide produced by the bioluminescent mushroom Neonothopanus gardneri. Oliveira, M. D. D. A. (PG); Andrade, T. J. A. S. (PQ); Silva, D. H. S. (PQ); Stevani, C. V. (PQ); Junior, J. S. C. (PQ); Cito, A. M. G. L. (PQ) UFPI
- ORG-064** Synthesis of polycatenar photoisomerizable liquid crystals based on an expanded acylhydrazone core. Oliveira, W. A. (IC); Westphal, E. (PQ) UTFPR
- ORG-065** Laccase-catalyzed synthesis of dimers from 2,6-DMP: Optimization of TMBP synthesis and evaluation of its antioxidant action in biodiesel. Schirmann, J. G. (PG); Dekker, R. F. H. (PQ); Borsato, D. (PQ); Barbosa-Dekker, A. M. (PQ) UEL
- ORG-066** Síntese e Estudo de Cristais Líquidos Assimétricos Derivados do Heterocíclico 2,1,3-benzotiadiazol. de Jesus, E. C. (IC); Silva, T. O. B. (IC); Silva, E. R. (PG); Vieira, A. A. (PQ) UFBA
- ORG-067** Cleaving paraoxon with hydroxylamine: ammonium oxide isomer favors a frontside attack mechanism. LIMA, M. F. (PQ); da Cruz, P. A. U. (IC); Fernandes, M. E. C. (PG); Polaquini, C. R. (PG); Miguel, E. L. M. (PG); Pliego Jr., J. R. (PQ); Scorsin, L. (PG); de Oliveira, B. S. (IC); Nome, F. (PQ) IBILCE-UNESP

- ORG-068** Study of sulfamide and its N,N'-diindolyl derivative as anion carriers. Freitas, M. P. (PQ); Mendonça, J. G. P. (PG); Cormanich, R. A. (PQ); Fernandes, S. A. (PQ) UFLA
- ORG-069** Synthesis of aryl-amides derived from L-cysteine - potential double inhibitors of HIV1-PR and renin. Serralbo, A. S. (IC); Reis, A. K. C. A. (PQ); Longo Jr., L. S. (PQ) UNIFESP-Diadema
- ORG-070** Selective functionalization of N-heterocyclic substrates using the TMPLi/ZnCl<sub>2</sub> system. Nishimura, R. H. V. (PG); Murie, V. E. (PG); Clososki, G. C. (PQ) FCFRP-USP
- ORG-071** Pirrol-2,3-diona: Intermediário-chave para Acessar 4-(2-amino-2-oxoacetil)-5-aryl-N-arylpirazóis Regiosseletivamente. SILVA da, M. J. V. (PG); RIBEIRO, G. M. (PG); ROSA, F. A. (PQ) UEM
- ORG-072** Synthesis, X-Ray Structure of new complex with Paddle-Wheel SBUs. Silva, M.C (IC); Salzer, G. (IC); Barbosa, D.B.A (PQ); Toledo, T.A (PQ); Barbosa, E.P (PQ) IF Sudeste MG
- ORG-073** Relationship between Hammett's parameters and in silicodensity functional with tandem mass ESI-CID fragmentation: Dihydropyridines as prototypes. Dos Santos, P.R. (PG); Pereira, C.M.P. (PQ); de Paula, F.R. (PQ); Moura, S. (PQ) UCS
- ORG-074** Synthesis of 5-aminotetrazoles from thioureas using trichloroisocyanuric (TCCA). Lima da Silva, T.L.S. (PQ); Christine Dutra da Silva, A. C. Dutra S. (IC) UFRJ
- ORG-075** A multidimensional liquid chromatography method for monitoring on flow the activity of PNP-Mt immobilized enzyme. Castro, A. C. (IC); Moraes, M. C. (PQ); Martinelli, L. K. B. (PQ); Santos, D. S. (PQ); Basso, L. A. (PQ) UFF
- ORG-076** Bidirectional synthesis of symmetric bis-benzoxazines by Mannich reaction of eugenol and diamines. Mattos, R. R. (PG); Cunha, S. D. (PQ) UFBA
- ORG-077** Multicomponent synthesis of 5-aminotetrazoles and bistetrazoles promoted by bismuth nitrate pentahydrate. Jesus de, I. S. (PG); Cunha, S. D. (PQ) UFBA
- ORG-078** Aplicação de carbodiimidas na síntese de anestésicos locais. Bezerra, M. A. M. (PG); Pimentel, J. V. P. (IC); Miranda, L. S. M. (PQ); Souza, R. O. M. A. (PQ) UFRJ
- ORG-079** Assignment of the relative and absolute stereochemistry of two novel epoxides using NMR and DFT-GIAO calculations. Demuner, A. J. (PQ); Alvarenga, E. S. (PQ); Viana, V. M. (IC); Moraes, F. C. (PG) UFV
- ORG-080** Rare Earth Triflate-Catalyzed Gröbke-Blackburn-Bienaymé reaction under microwave heating to access imidazo[2,1-b]thiazoles. Longo Jr., L. S. (PQ); Anjos, N. S. (IC); Fiorentino, E. S. C. (IC) UNIFESP-Diadema
- ORG-081** Systematic studies toward iodocyclization of (Z)-thiobutenynes using water as solvent: Ecofriendly synthesis of 3-iodothiophenes. Carvalho, D. B. (PG); Andrade, C. B. (PG); Soares, O. (PG); Shigumoto, C. Y. K. (PQ); Baroni, A.C. M. (PQ) UFMG
- ORG-082** Síntese de cristais líquidos iônicos derivados do núcleo triazolotriazina. Dutra, B. N. (IC); Molin, F. (PQ) UTFPR
- ORG-083** An 8-step approach for the total synthesis of (-)-pleocarpanone. Novaes, L. F. T. (PG); Pastre, J. C. (PQ) UNICAMP
- ORG-084** Preparation of magnetic particles modified with calixarenes and evaluation as catalyst in Biginelli reaction. Zacchi, C. H. C. (PG); Vieira, S. S. (PQ); Ardisson, J. D. (PQ); de Fátima, A. (PQ); Araujo, M. H. (PQ) UFMG
- ORG-085** Síntese de acilonucleosídeos fosfonatos quinolônicos, ANPs, possíveis compostos anti-CHIKV. Faro, L. V. (PQ); Boechat, F. C. S. (PQ); Souza de, M. C. (PQ); Paixão, I. C. N. P. (PQ); Souza de, M. C. B. V. (PQ) UFF
- ORG-086** Síntese de sílicas ativas: avaliação da matriz e de adsorção de boro. Couto, M.T. (PQ); Cassella, R.J. (PQ); Souza, J.M. (PG); Silva, D.A. (TC); Rodrigues, J.E.F.C (TC) IFRJ
- ORG-087** Síntese de quinolonas conjugadas a triazóis e investigação de sua atividade leishmanicida. Oliveira, V. G. (PG); Regufe, P. F. (IC); Lima, M. F. O. (IC); Faiões, V. S. (PQ); Pacheco, J. S. (PG); Boechat, F. C. S. (PQ); Torres-Santos, C. (PQ); Silva, F. C. (PQ); Souza, M. C. B. V. (PQ) UFF
- ORG-088** Synthesis of 4-quinolone-porphyrin conjugates as potential photosensitizers. Sagrillo, F. S. (PG); Gomes, A. T. P. (PQ); de Souza, A. G. (IC); Costa, A. R. P. (IC); Boechat, F. C. S. (PQ); de Souza, M. C. B. V. (PQ); Neves, M. G. P. M. S. (PQ); Cavaleiro, J. A. S. (PQ) UA-Portugal
- ORG-089** Chemical characterization of pyriproxifene by chromatography (HPLC-PDA and CG-MS). Alves, P. S. (PG); Costa, J. M. S. (IC); Oliveira, M. D. A. (PG); Andrade, T. J. A. S. (PQ); Costa Júnior, J. S. (PQ) UESPI
- ORG-090** Optimization of the solvent mixture for extraction of phenolic compounds with antioxidant activity from *Byrsonima basiloba* Juss. Roberto, T. C. (IC); Scaramboni, B (PG); dos Santos, C. (PQ) UNESP-FCL-Assis
- ORG-091** Synthesis of 2-aminothiazoles using  $\alpha$ -bromoketones and thiourea in PEG-400. Matos, G. F. (PG); Ferreira, A. S. (PG); Chagas, R. P. (PQ); Barros, O. S. R. (PQ) UFG
- ORG-092** Regiospecific synthesis and antitumor evaluation of thioethers derived from Juglone. Gomes, C.B.S.M.R. (PG); Moreira, C.S. (PG); Forezi, L.S.M. (PQ); Cordeiro, P.S. (IC); do Nascimento, V. (PQ); Montenegro, R.C. (PQ); Ferreira, V.F. (PQ); da Rocha, D.R. (PQ) UFF
- ORG-093** Theoretical insights on the racemization of azlactone rings. de Castro, P. P. (PG); Batista, G. M. F. (IC); dos Santos, H. F. (PQ); Amarante, G. W. (PQ) UFJF
- ORG-094** Desenvolvimento de novos biocatalisadores imobilizados contendo lipases para a produção do carbonato de glicerila em batelada e fluxo contínuo. Nascimento, M.A. (PG); Gotardo, L.E. (IC); Raul, L. (IC); Leão, R.A.C. (PQ); Junior, I.I. (PQ); Souza, R.O.M.A. (PQ) UFRJ

- ORG-095** Reações de bromoaminociclicização enantiosseletivas. Matsushima, J. E. (IC); Rodrigues, A. (PQ) UNIFESP-Diadema
- ORG-096** Synthesis of analytical standards of 25I-NBOME and 25I-NBOH for forensic purposes. Queiroz, M. P. (IC); de Barros, W. A. (PG); Neto, L. S. (PQ); Nascentes, C. C. (PQ); de Fátima, A. (PQ) UFMG
- ORG-097** Synthesis and antifungal evaluation of alpha amino acids. Araújo, A. F. (FM); Ferreira, A. P. (IC); Lima, P. S. V. (PG); Souza, H. D. S. (PG); Silva, D. F. (PG); Lima, E. O. (PQ); Filho, P. F. A. (PQ); Oliveira, R. F. (PG); Huang, M. N. (PG); Neris, A. M. (PG) UFPB
- ORG-098** Expanding the redox-relay strategy: accessing carbonylated compounds from alkenyl silyl and methyl ethers by heck arylations. Esteves, H. (PG); Menezes da Silva, V. H. (PQ); Correia, C. R. D. (PQ) UNICAMP
- ORG-099** Silver-Catalyzed Direct Selenylation of Indoles. Rios, E. A. M. (PG); Rampon, D. da S. (PQ) UFRP
- ORG-100** Push-pull systems: A very useful building blocks for the preparation of biological active heterocycles. Bitencourt, J. (PG); Passarelli, C. (PQ); Costa, J.M. de F. (PG); Almeida, M. (PQ); Pedroso, N. (IC); de Lima, Ednilza (IC); da Silva, J. (IC); Quincoces, J. (PQ) UNIAN
- ORG-101** Sand-Starch mixtures as stationary phases: Low-cost Column Chromatography for dyes purification in Organic Chemistry class. Costa Cerqueira, B. C. C. (IC); De Paula, R. D. P. (PQ) UFRB
- ORG-102** Unequivocal structural assignments of three cardanol - derived: an experimental and theoretical approach. Barbosa, LRB (PG); Lacerda Junior, VLJ (PQ); Beatriz, AB (PQ); Neto, ACN (PQ) UFES
- ORG-103** Synthesis of new nitroxides modified with disulfide functionality to be used as spin label. Batista, A. C. S. (IC); Santos, F. S. (PG); Freitas, R. P. (PQ) UFMG
- ORG-104** A Practical Synthesis of densely substituted 2H-furo[3,2-b]benzopyran-2-ones. Roza Nuñez, W.E. (PG); Cunha, S. (PQ) UFBA
- ORG-105** Síntese de um novo ligante quirál do tipo sanduiche cobaltoceno-imidazolina. Vinhato, E (PQ); Souza, I. A. (IC) UNIFESP-Diadema
- ORG-106** Novel 4-aryl aminoquinoline-3-carbonitriles as Inhibitors of HIV-1 reverse transcriptase. Bernardino, A. M. R. (PQ); Melo, B. C. L. (PG); Polillo, G. (PG); Pereira, H. S. (PQ); Paixão, I. C. P. (PQ); Ribeiro, M. S. (PG); Borges, J. C. (FM) UFF
- ORG-107** Síntese de Dihidropirimidinonas e avaliação de interação com o ssDNA. Schmoeller, L.A. (IC); Gariani, R. A. (PQ); Xavier, F. R. (PQ); Wodtke, F. (PG) UDESC
- ORG-108** Synthesis of carbohydrate-linked pentadienone derivative with antitumor properties. Passarelli, C. (PQ); Michalik, D. (PQ); Costa, J.M. de F. (PG); Almeida, M. (PQ); Maria, D.A. (PQ); Ribeiro, A.O. (PQ); Vogel, C. (PQ); Quincoces, J. (PQ) Rostock Universität
- ORG-109** Production of biodiesel with homogeneous and heterogeneous catalysts by microwave in ethanol. Costa, P. R. A da (IC); Cassa, S. G. S. (IC); Aversa, T. M. (PQ); Almeida, Q. A. R. de (PQ) IFRJ-Campus Duque de Caxias
- ORG-110** Síntese, caracterização e avaliação das atividades citotóxica e antiacetilcolinesterase de chalconas. Farias, I.F. (PG); Lemos, T. L. G. (PQ); Nascimento, P.G.G. (PG); Mesquita, B.M. (PG); Silva, R.A.C. (PQ); Oliveira, I.R. (PQ); Trevisan, M.T.S. (PQ); Rocha, D.D. (PQ); Filho, M.O.M. (PQ) UFC
- ORG-111** Biocatalytic Promiscuity: Use of lipases as catalyst on Henry reaction. Durigon, M. C. S. (IC); Dias, M. R. G. (PG); Krieger, N. (PQ); Couto, G. H. (PQ); Pilissão, C. (PQ) UTFPR

## QPN – Química de Produtos Naturais

- QPN-001** Composição química e atividade biológica do óleo essencial da semente de *Schinus molle*. Valente, V. M. M. (PQ); Morais, N. K. (IC); Valente, P. M. (PG) UFV-Campus de Rio Paranaíba
- QPN-002** Antifungal activity of the essential oil of *Campomanesia macrobracteolata* and *Protium* sp. against *Thielaviopsis paradoxa*. Santos dos, K. R. (PG); Dutra, J. P. (PG); Luber, J (PG); Kitagawa, R. R. (PQ); Borges, W. S. (PQ) UFES
- QPN-003** Variabilidade composicional em óleo essencial de flores de *Caesalpinia pulcherrima* (L.) SW. Catunda Jr., F. E. A. (PQ); Azevedo, A. M. A. (PG); Sá Jr., E. P. (PG); Carvalho, M. G. (PQ); Araújo, T. F. (PQ) UNINTA
- QPN-004** Chemical composition and antimicrobial activity of essential oil obtained from two species of the Lauraceae family. Coutinho, E. J. (IC); Costa, É. R. (PG); Louro, G. M. (PG); Nicolau, C. L. (PG); Silva, J. C. M. (PG); Filho, C.C.S. (IC); Fernandes, S.S.L. (PG); Cabral, M.R.P. (PG); Simionatto, E. (PQ) UEMS
- QPN-005** Chemical composition of leaves and fruits essential oils from *Schinus terebinthifolius* genders cultivated at Ceara-Brazil. Rodrigues, T. H. S. (PQ); Dias, F. M. F. (IC); Azevedo, F. R. P. (IC); Silva, P. T. (IC); Santos, H. S. (PQ); Bandeira, P. N. (PQ) UVA
- QPN-006** Chemical composition and antimicrobial activity of essencial oil *Psidium Myrtoides* O. Berg. Dias, R. F. C.; DIAS, R. F. C. (PG); Aquino, F. J. T. (PQ); Morais, S. A. L. (PQ); Nascimento, E. A. (PQ); Oliveira, A. (PQ); Cunha, L. C. S. (PQ); Ambrosio, M. A. L. V. (PQ); Martins, C. H. G. (PQ); Souza, J. M. (IC) UFU
- QPN-007** Avaliação da ação fotoprotetora do extrato aquoso de *Campomanesia adamantium*. Gaiola, L. (IC); Catalan, T. B. S. (PG); Cardoso, C. A. L. (PQ) UEMS
- QPN-008** Antimicrobial activity of the essential oil of leaves of *Banisteriopsis malifolia* (Nessl& Martius) B. Gates. Chang, R. (PQ); Martins, V. E. X. (PG); Silingardi, H. M. T. (PQ); Nascimento, E. A. (PQ); Cunha, L. C. S. (PQ); Martins, C. H. G. (PQ); Ambrósio, M. A. L. V. (PQ); Garcia, L. A. (IC); Morais, S. A. L. (PQ); Aquino, F. J. T. (PQ) UFU

- QPN-009** Chemical composition of essential oils of seven Piper species (Piperaceae) from Marambaia Island, Mangaratiba, RJ (Brazil). Ramos, Y.J. (PG); Moreira, D.L. (PQ) FIOCRUZ
- QPN-010** Extraction of the essential oil from the leaves of *Piper hispidinervum* using supercritical CO<sub>2</sub>. Simionatto, E. L. (PQ); Scharf, D. R. (PQ); Wientage, G. H. (IC); Klinkowski, B. H. (IC); Salamoni, J. (IC); Cardozo Filho, L. (PQ) FURB
- QPN-011** The influence of abiotic factors on the production of essential oils of *Eugenia uniflora*. Santos, R. O.; Pioker, F. C.; Imbernon, R. A. L.; Sannomiya, M. (PQ) EACH-USP
- QPN-012** Chemical study of flowers from two species of *Croton* visited by bees: *velame (Croton heliotropiifolius Kunth)* and *marmeleiro (Croton sonderianus Muell. Arg.)*. Pereira Cabrera, P.C. (PG); Guade da Silva, G.S. (PG); Amorim Camara, A.C. (PQ); Sarmiento Silva, S.S. (PQ) UFRPE
- QPN-013** Chemical composition of the volatile oil from two *Xylopia* species from the State of Pará, Brazil. Cascaes, M. M. (PQ); Andrade, E. H. A. (PQ); Sousa, E. M. (IC); Nascimento, L. D. (PG); Guilhon, G. M. S. P. (PQ); Anjos, T. O. (IC); Pereira, S. F. M. (IC); Oliveira, J. (PQ) MPEG
- QPN-014** Chemical Composition and biological activities of the essential oil from leaves of *Bauhinia cheilantha* Bong. Steud. Silva, A. M. A. (PG); da Silva, H. C. (IC); Monteiro, A. O. (PG); Santiago, G. M. P. (PQ); Alves, P. B. (PQ); Militão, G. C. G. (PQ) UFC
- QPN-015** Multivariate analysis of chemical composition and theoretical study on muscarinic receptors of essential oils from medicinal plants. ROCHA, G.N.S.A.O. (IC); SILVA, L.O.B. (PQ); VILAR, F.C.R. (PQ); CAMELO, M.L.V. (PQ); LORENZO, V.P. (PQ) IF-Sertão Pernambucano
- QPN-016** Chemical composition and biological activity of essential oil of species *Nectandra lanceolata* (Lauraceae). Costa, É. R. (PG); Simionatto, E. (PQ); Coutinho, E. J. (IC); Louro, G. M. (PG); Nicolau, C. L. (PG); Silva, J. C. M. (PG) UEMS
- QPN-017** Identificação do composto antifúngico no óleo essencial das folhas de *Callistemon viminalis*. Valente, P. M. (PG); Valente, V. M. M. (PQ); Lima, J. A. M. (IC) UFV-Campus de Rio Paranaíba
- QPN-018** Antimicrobial activity of essential oils of *Psidium salutare* var. *sericeum* e *mucronatum* (Myrtaceae) against *Candida albicans*. Ethur, E. M. (PQ); Bona, C. M. (IC); Buhl, B. (IC); Scheibel, T. (IC); Kauffmann, C. (PQ); Hoehne, L. (PQ); Freitas, E. M. (PQ); Marchi, M. I. (PQ) UNIVATES
- QPN-019** Flavonoids of in situ and in vitro culture from *Lomatozona artemisiifolia* Baker leaves. Wakui, V. G. (PG); Moreira, M. P. (PG); Terezan, A. P. (PG); Sibov, S. T. (PG); Lopes, F. J. F. (PQ); Oliveira de, C. M. A. (PQ); Kato, L. (PQ) UFG
- QPN-020** *Pterodon pubescens* Benth. (Sucupira) ethanol extract mouthwash pharmaceutical forms. Alves, N. (IC); Figueiredo, M. C. (PG); Foglio, M. A. (PQ) UNICAMP
- QPN-021** Isolation in alginate microcapsules of the pathogen *Tritrichomonas foetus*, to evaluate the tricomonocidal activity of plant extracts. Ramirez, M. R. (PQ); Oyhenart, J. A. (PQ) UFRGS
- QPN-022** Estudo químico de três espécies de *Chamaecrista Moench* nativas do Nordeste do Brasil. Almeida, M. T. (IC); Lima, D. R. (PG); Vasconcelos, M. G. (PQ) UFC
- QPN-023** Comparative study of drying methods of *Vitis labrusca* grape peels: greenhouse or Oshibana?. Carra, J. B. (PG); Matos, R. L. N. (PG); Novelli, A. P. (IC); Casagrande, R. (PQ); Georgetti, S. R. (PQ); Arakawa, N. S. (PQ); Baracat, M. M. (PQ) UEL
- QPN-024** Ethnopharmacology of medicinal plants of the Cerrado Region (Goiás, Brazil). Oliveira, Y. F. (IC); Gomides, N. A. M. T. P. (PG); Severino, V. G. P. (PQ) UFG
- QPN-025** Phytochemical prospection and phytotoxic effect of plant species *Luehea candicans* stem bunch. Camara, M. B. P. (PG); Cantanhede Filho, A. J. (PQ); Carneiro, F. J. C. (PQ); Dias, E. J. S. (PG); Pereira, S. G. (PQ); Marques, G. E. C. (PQ) IFMA
- QPN-026** Oxidative evaluation of blends of soy oil, chia oil and coconut oil in biodiesel. Pedraça, P. (IC); Silva, M. A. (IC); Souza de, M. L. (IC); Atala, A. P. (TC); Ávila, M. C. (IC); Fraga, I. M. (PQ); Souza, D. A. (PQ) IFMT
- QPN-027** Atividade antiproliferativa de frações ricas em biflavonoides de espécies de *Ouratea*, *Ochnaceae*. Fidelis, Q. C. (PQ); Perdomo, R. T. (PQ); Teixeira, J. V. S. (IC); Carvalho, M. G. (PQ) UFRRJ
- QPN-028** Phenolic composition of a propolis type from Ceará-Brazil: study of different extraction techniques. Frota, V. M. (IC); Dias, F. M. F. (IC); Santos, H. S. (PQ); Rodrigues, T. H. S. (PQ); Bandeira, P. N. (PQ); Vale, J. P. C. (PQ) UVA
- QPN-029** Evaluation of Syntetic Peptidomimetics as Cathepsin K Inhibitors. Silva, T. L. (PG); Santos, D. A. (PG); Brömme, D. (PQ); Correia, A. G. (PQ); Vieira, P. C. (PQ) UFSCar
- QPN-030** Extraction of species *Mimosa tenuiflora* (Willd.) front of different ethanolic concentrations and temperature. Moraes, S. A. (PQ); Santos dos, J. (IC); Balliano, T. L. (PQ); Soletti, J. I. (PQ) UFAL
- QPN-031** Chemical characterization and study of the antibacterial activities of the extract of the palm tree *Acrocomia aculeata* (Jacq) Lodd ex Mart. Oliveira, A. I. T. (PG); Costa, R. F. (PG); Silva, J. F. M. (PQ); Pimenta, R. S. (PQ); Mahmoud, T. S. (PQ); Nascimento, G. N. L. (PQ); Moraes, P. B. (PQ) UFT
- QPN-032** Dereplication Study by HPLC-MS-MS and activity against *Leishmania chagasi* of the leaf extract of *Trichilia emarginata*. Viegas, F. P. D. (PG); Espuri, P. F. (PG); Amaral, J. G. (PG); Marques, M. J. (PQ); Lopes, N. P. (PQ); Soares, M. G. (PQ) UNIFAL
- QPN-033** Avaliação da composição química, toxicidade, atividades antioxidante e antimicrobiana de extratos das folhas de *Dolioscarpus dentatus*. Almeida, T. A. F. (IC); Marcorini, L. F. B. (PQ); Cardoso, C. A. L. (PQ) UEMS
- QPN-034** Nutritional value, physicochemical and rheological parameters of pulp and by-products of buriti fruit (*Mauritia flexuosa*) after lyophilization. Freire, J. A. P. (PQ); Araújo, R. O. (IC); Aquino, J. S. (PG); Campos, A. R. N. (PG); Viana, V. G. F. (PQ); Costa Júnior, J. S. (PQ); Moura, A. K. S. (PG); Citó, A. M. G. L. (PQ); Medeiros, S. R. A. (PG); Lima, A. C. S. (PQ); Oliveira, M. D.A. (PG); Ferreira, P. M. P. (PQ) IFPI

- QPN-035** Avaliação fitoquímica da espécie vegetal *Manilkara Subsericea* (Mart.) Dubard. Riehl, C. A. S.; Silva, A. A.; Gutierrez, E. D. P. M. (PG) UERJ
- QPN-036** Avaliação da atividade antioxidante e viabilidade celular de extratos do fruto de *Guazuma ulmifolia* Lam. (mutamba). dos Santos, M. N. G. (PG); Terezan, A. P. (PQ); da Silva, J. R. (PQ); de Azevedo, R. B. (PQ); Rabelo, D. (PQ); Kato, L. (PQ); de Oliveira, C. M. A. (PQ); Sartoratto, P. P. C. (PQ) UnB
- QPN-037** Phytotoxic evaluation of agroindustrial vinasse residue in relation to *Lactuca sativa* and *Ipomoea purpurea*. Luz, D. A. (PG); Ferreira, P. S. (IC); Simas, N. K. (PQ); Gomes, A. C. C. (PQ); Kuster, R. M. (PQ) UFES
- QPN-038** Evaluation of three methodologies to optimization of phycobiliprotein extraction in aqueous fraction of *Arthrospira platensis*. Cavalcanti, L. P. A. N. (PG); Teixeira, C. M. L. L. (PQ); Martins, R. C. C. (PQ) INT
- QPN-039** Chemical composition and biological activities of the leaves and stem of *Macrolobium rigidum* R.S. Cowan (Leguminosae). Nascimento, B. O. (PG); David, J. M. (PQ); Santos, P. A. (PG); Araújo Neto, J.F. (PG); David, J. P. (PQ) UFBA
- QPN-040** Identification of alkaloids from the stem bunch of the plant species *Annona tomentosa* R. E. Fr. (Araticum-bravo). Pinheiro, A. A. (IC); Camara, M. B. P. (PG); Santos, J. R. J. (PQ); Rocha, C. Q. (PQ); Dias, G. O. C. (PQ) UFMA
- QPN-041** Ocorrência de flavonoides e outros compostos fenólicos em folhas de *Casearia arborea* (Salicaceae). Santos, A.L. (PG); Ferreira, M.J.P. (PQ); Soares, M.G. (PQ); Lago, J.H.G. (PQ); Sartorelli, P. (PQ) UNIFESP-Diadema
- QPN-042** Evaluation of monoamine oxidase inhibitory potential of *Erythrina verna* alkaloids using zebrafish model. Rambo, D. F. (PG); Bieglmeyer, R. (PQ); Toson, N. S. B. (IC); Henriques, A. T. (PQ) UFRGS
- QPN-043** Composição química e atividade antiparasitária in vitro de *Nectandra barbellata* Coe-Teixeira (Lauraceae). Londero, V. S. (PG); Antar, G. M. (PG); Baitello, J. B. (PQ); Costa-Silva, T. A. (PG); Tempone, A. G. (PQ); Lago, J. H. G. (PQ) UNIFESP-Diadema
- QPN-044** Chemical composition of cuticular waxes of *Bignoniaceae* species (Bignoniaceae). Carvalho, J. C. S. (PG); Lohmann, L. G. (PQ); Ferreira, M. J. P. (PQ) IB-USP
- QPN-045** Evaluation of acaricidal activity of extracts of *Spilanthes acmella* (Jambu) against *Tetranychus urticae* and isolation of spilanthol. Arrospide, T. M. (IC); Liesen, A. P. (PQ); da Camara, C. A. G. (PQ); Moraes, M. M. (PQ); Silva, M. M. (PG) UFRPE
- QPN-046** Chemical study of *Myrcia sylvatica* (G. Meyer) DC. leaves. Duarte, B. H. S.; Cascaes, M. M.; Guilhon, G. M. S. P.; Andrade, E. H. A.; Santos, L. S.; Delgado, J. P. S. (PG) UFPA
- QPN-047** Method for isolation of flavonoids from *Solanum paludosum* with activity on the enzyme human topoisomerase II-alpha. Oliveira, A.V.T. (IC); Silva, A.F.F. (IC); Silva, G.R. (PQ); Camara, C.A. (PQ); Silva, T.M.S. (PQ) UFRPE
- QPN-048** Antichemotactic activity of *Verbena montevidensis* and brasoside. Vestena, A. S. (PG); Soares, K. D. (PG); von Poser, G. L. (PQ); Zuanazzi, J. A. S. (PQ); Bordignon, S. A. L. (PQ); Apel, M. A. (PQ) UFRGS
- QPN-049** Phytochemical screening of dried leaves of *Calea pinnatifida* (R. Br.) Less. Amorim, J. M. (IC); Gama, R. M. (PQ); Armando Júnior, J. (PQ) FMABC
- QPN-050** Avaliação in vitro da atividade antifúngica e prospecção fitoquímica da *Lafoensia pacari* (Mangaba Brava). Santos, A.K.M. (IC); Carneiro, F.J.C. (PQ); Fonseca, A.S. (IC); Dias, E.J.S. (PG); Câmara, M.B.P. (PG); Cardoso, D.V.V. (PQ) IFMA
- QPN-051** Semi-high resolution  $\alpha$ -glucosidase and PTP1B inhibition profiling for investigation of antidiabetic constituents in *Picramnia bahiensis*. Gimenes, L. (PG); da Silva, M.F.G.F. (PQ); Vieira, P.C. (PQ); Fernandes, J.B. (PQ); Staerk, D. (PQ) KU
- QPN-052** Estudo químico do extrato acetato da casca do fruto da *Pithecoctenium crucigerum* Gentry (Bignoniaceae). Picro, K. G. (PG); Costa, M. B. (PQ); Pereira, E. T. V. (PG); Forim, M. R. (PQ) UEG
- QPN-053** Prospecção fitoquímica e atividade antifúngica da espécie vegetal *Humiria balsamifera* (Mirim). Marques, J. C. (IC); Câmara, M. B. P. (PG); Marques, G. E. C. (PQ); Filho, A. J. C. (PQ); Moraes, F. C. (PQ); Melo, A. L. M. (IC); Dias, E. J. S. (PG) IFMA
- QPN-054** Atividade antioxidante por HPTLC-DPPH dos extratos de folhas, caule e raiz de *Pleonotoma jasminifolia* Kunth Miers. (Bignoniaceae). Rodrigues, C. N. (IC); Rocha, W.C. (PQ); Yamaguchi, K. K. Lima (PQ) UFAM
- QPN-055** Obtenção de álcoois através de bioeduções de carbonilados utilizando células íntegras de *Phaseolus lunatus* (feijão-fava). Pereira, A. K. L. S. (PQ); Moraes, M. I. (PG); Saraiva, E. S. (PG); Vieira, E. C. (PQ); Bezerra, F. S. (PQ); Machado, L. L. (PQ); Nunes, F. M. (PQ); Lemos, T. L. G. (PQ) UFPI
- QPN-056** Sistemax, an online web-based cheminformatics tool for data management of secondary metabolites. Scotti, M. T. (PQ); Herrera-Acevedo, C. (PG); Branquinho, T. O. (PQ); Costa, R. P. O. (IC); Santos, S. Y. K. O. (PG); Rodrigues, R. P. (PQ); Scotti, L. (PQ); Da-Costa, F. B. (PQ) UFPB
- QPN-057** Antimicrobial activity of the lichen *Usnea steineri* and isolated compounds against phytopathogens. Cintra, L. S. (PG); Sampaio, D. F. G. (IC); Vasconcelos, M. A. L. (TC); Tozatti, M. G. (PQ); Januário, A. H. (PQ); Pauletti, P. M. (PQ); Silva, M. L. A. (PQ); Martins, C. H. G. (PQ); Cunha, W. R. (PQ) UNIFRAN
- QPN-058** In vitro cytotoxic potential of the crude extract of fungi derived from ascidians *Didemnum perlucidum* and *Botrylloides giganteum*. Kellner Filho, L. C. (PG); Pimenta, L. P. (PG); Pedroso, R. C. N. (PG); Assis, R. N. A. (IC); Dos Anjos, E. O. (IC); Cosme, W. Z. (TC); Siqueira, K. A. (PG); Soares, M. A. (PQ); Tavares, D. C. (PQ); Januario, A. H. (PQ) UNIFRAN
- QPN-059** Selective biotransformation of coumarins by *Cunninghamella elegans*. Nascimento, J. S. (PG); Conceição, J. C. S. (PG); Nuñez, W. E. R. (PG); Cunha, S. (PQ); Silva, E. O. (PQ) UFBA
- QPN-060** Dereplication of azaphilones from the Amazonian endophytic fungus *Penicillium sclerotium* by LC-QTOF-MS/MS and molecular networking. Santiago, P. A. L. (PG); Guimarães, D. R. (IC); Souza, M. P. (PG); Angolini, C. F. F. (PQ); da Silva, F. M. A. (PQ); Costa, E. V. (PQ); de Souza, A. Q. L. (PQ); de Souza, A. D. L. (PQ); Koolen, H. H. F. (PQ) UEA

- QPN-061 Ion mobility spectrometry combined with ultra-performance liquid chromatography/mass spectrometry for the study of natural products.** Carnevale Neto, F. (PQ); Egan, J. M. (PG); McFarlane, J. (PG); Costa-Lotufo, L. V. (PQ); Lopes, N. P. (PQ); Linington, R. G. (PQ) SFU
- QPN-062 The role of secondary metabolites in structuring benthic communities in seaweeds of sandstone reefs on the coast of Pernambuco (Brazil).** Rosa Filho, J.S. (PQ); Alves, R.V.A. (IC); Rebouças, P.H.L. (IC); Silva, F.F. (PQ); Santana, A.L.B.D. (PQ); Carvalho, T.L. (IC); Nascimento, V.M.S. (IC); Nascimento, M.S. (PQ) UFPE
- QPN-063 Bioprospecting anticancer metabolites from *Microsphaeropsis arundinis*, an endophytic fungi from *Paepalanthus planifolius*.** Botero, W. B. (PG); Amorim, M. R. (PG); Polesi, M. C. (TC); Carlos, I. Z. (PQ); Santos, L. C. (PQ) IQAr-UNESP
- QPN-064 Compounds identified by CG-MS in mycelium from *Cercospora brachiata* fungi.** Felisbino, J. K. R. P. (PG); Vieira, B. S. (PQ); Silva, N. A. (PG); Oliveira, A. (PQ); Sousa, R. M. F. (PQ) UFU
- QPN-065 Chemical study of *Aspergillus* sp. (FSF06), a soil fungus from the forest of the Serra de Carajás.** Watanabe, L. A. (PG); Rocha, A. S. (IC); Souza, M. G. S. (PG); Santos, A. S. (PQ); Feitosa, A. O. (PG); Carvalho, J. M. (PG); Marinho, A. M. R. (PQ); Marinho, P. S. B. (PQ) UFPA
- QPN-066 Chemical prospection of *Humicola fuscoatra*, an endophyte of marine red alga *Asparagopsis taxiformis*.** Mendonça, I. C. (PG); Honório, A. E. (PG); Medina, R. P. (PQ); Silva, D. H. S. (PQ) IQAr-UNESP
- QPN-067 Metabolic production analysis of *Hypoxylon investiens*, an endophytic fungus isolated from the marine red algae *Asparagopsis taxiformis*.** Rufino, V. H. L. (PQ); Medina, R. P. (PG); Silva, D. H. S. (PQ) IQAr-UNESP
- QPN-068 Doxycycline biodegradation by symbiotic bacteria from *Diabrotica speciosa* (Coleoptera: Chrysomelidae).** Madera, K.S.M. (IC); Durango, L.G.C. (PG); Lima, E.M. (PG); Martínez, O.C. (PQ); Forim, M.R. (PQ) UFSCar
- QPN-069 A Novel Strategy for Heterologous Production of the Depsipeptide Ionophore Valinomycin.** Sigrist, R. (PG); Paulo, B. S. (PG); de Oliveira, L. G. (PQ) IQ-UNICAMP
- QPN-070 Interações químicas de micro-organismos presentes no formigueiro das formigas cortadeiras: análise do metabolismo secundário do colútilo do fungo mutualista, *Leucoagaricus gongylophorus*, com fungos negros.** Pereira, A. K. (PG); Zandonai, D. P. (PG); Pimenta, E. F. (PQ); Pagnocca, F. C. (PQ); Silva, M. F. G. F. (PQ); Forim, M. R. (PQ); Vieira, P. C. (PQ); Fernandes, J. B. (PQ) UFSCar
- QPN-071 Potencial fitotóxico do extrato e da citocalasina H produzidos pelo fungo endofítico *Diaporthe anacardii*.** Romano, J R (IC); Biasetto, C R (PQ); Bolzani, V. S. (PQ); Araujo, A R (PQ) IQAr-UNESP
- QPN-072 Bioreduções de aldeídos e cetonas utilizando *Cucurbita moschata* (abóbora) como biocatalisador para a produção de álcoois.** Nunes, F. M. (PQ); Moraes, M. I. (PG); Saraiva, E. S. (PG); Vieira, E. C. (PQ); Bezerra, F. S. (PQ); Machado, L. L. (PQ); Lemos, T. L. G. (PQ); Pereira, A. K. L. S. (PQ) UFPI
- QPN-073 Synthesis of artesunic acid and dihydroartemisinin acetate and studies of *in vitro* activity against *Schistosoma mansoni*, BH strain.** Boaventura Jr., S. (PQ); Oliveira, R.N. (PQ); Corrêa, S.A.P. (PG); Allegretti, S.M. (PQ); Garcia, V.L. (PQ) UNICAMP
- QPN-074 Bergenin from *Peltophorum dubium*: isolation and cytotoxicity and antioxidant activities of its chemical derivatives.** Silva Neto, O. C. (PG); Santos, P. A. (PG); Teodoro, M. T. F. (PG); Pinto, L. S. (PG); David, J. M. (PQ); David, J. P. (PQ) UFBA
- QPN-075 Metabolomic analyses of *Strongylodon macrobotrys* (Leguminosae) and molluscicidal activity on *Achatina fulica*.** Pimenta, L. P. S. (PQ); Souza, B. A. (PG); Melo, N. O. (IC); Costa, F. M. P. (IC); Filho, J. D. S. (PQ); Machado, A. R. T. (PQ) UFMG
- QPN-076 *Psychotria vellosiana* Benth: A cyclotide-rich species.** Pinto, M. E. F. (PQ); Cilli, E. M. (PQ); Bolzani, V. S. (PQ) IQAr-UNESP
- QPN-077 Ácidos aristoloquicos em chás de espécies de *Aristolochia*.** Silva, T (PQ); Pinto, A. C. M. (IC); Nascimento, I. R (PQ); Lopes, L. M. X. (PQ) IQAr-UNESP
- QPN-078 Chemical composition of bufonids toads from Legal Amazonia.** Kerkhoff, J. (PG); Souza, E. B. R. (PG); Vasconcelos, L. G. (PG); Rodrigues, D. J. (PQ); Dall'Oglio, E. L. (PQ); Sinhorin, A. P. (PQ) UFMT
- QPN-079 The citrus defense in response to phytopathogen *Xylella fastidiosa*.** Soares, M. S (PQ); Amaral, J. C (PG); da Silva, D. F (PG); da Silva, M. M (PG); da Silva, M. F. das G. F. (PQ); Fernandes, J. B. (PQ); de Souza, A. A. (PQ) UFSCar
- QPN-080 Chemical composition and antiradical activity of pollen bee from *Melipona mandaíca* Smith (Hymenoptera: Apidae).** Monteiro, A. L. B. (PG); Neto, J. F. (PQ); Silva, E. M. S. (PQ); Correia, R. C. (PQ); Camara, C. A. (PQ); Silva, T. M. S. (PQ) UFRPE
- QPN-081 Analysis of geopropolis from the stingless bee *Melipona subnitida* (jandaira) by UHPLC-QTOF-MS/MS.** Souza, H. J. S. (IC); Cabrera, S. P. (PG); Silva, E. M. S. (PQ); Camara, C. A. (PQ); Silva, T. M. S. (PQ) UFRPE
- QPN-082 Chemical composition and antioxidant potential of honey bee of abelha branca (*Friesiomelella doederleini*).** Santisteban, M.R. (PG); Neto, F.J (PQ); Silva, S.M.E (PQ); Correia, C.R (PQ); Camara, A.C (PQ); Silva, S.M.T (PQ) UFPE
- QPN-083 (Z)-octadec-9-enolide, a kairomone isolated from the Mediterranean flour moth (*Anagasta kuehniella*) frass.** Melo, D. J. (PG); Favaris, A. P. (PG); Vidal, D. M. (PQ); Bento, J. M. S. (PQ); Zarkin, P. H. G. (PQ) UFPR
- QPN-084 Amino-naphthoquinones and isatins of *Salinispora arenicola*, a bacterium recovered from the marine sediments of St. Peter and St. Paul, Brazil.** Silva, A. B. (PG); Silveira, E. R. (PQ); Wilke, D. V. (PQ); Costa-Lotufo, L. V. (PQ); Torres, M. C. M. (PQ); Pessoa, O. D. L. (PQ) UFC
- QPN-085 Avaliação da atividade anti-Trypanossoma cruzi de alcaloides identificados em *Duguetia lanceolata*.** Dantas, E. P. (PG); Caldas, L. A. (PG); Lago, J. H. G. (PQ); Soares, M. G. (PQ); Tempone, A. G. (PQ); Sartorelli, P. (PQ) UNIFESP-Diadema
- QPN-086 Dereplication strategies for discovering cytotoxic compounds from *Swinglea glutinosa* (Rutaceae).** Carvalho, A.C. (PG); Ribeiro, A.I (PG); Silva, M.F.G.F. (PQ); Medeiros, L.S. (PQ); Veiga, T.A.M. (PQ) UNIFESP-Diadema

**QPN-087** Duguetinine, an isoquinoline-derived alkaloid with an unprecedented skeleton from the bark of *Duguetia surinamensis* (Annonaceae). De Oliveira, R. N. (PG); Da Silva, F. M. A. (PQ); Baliza, I. R. S. (IC); Bomfim, L. M. (IC); Soares, M. B. P. (PQ); Bezerra, D. P. (PQ); Almeida, J. R. G. S. (PQ); Koolen, H. H. F. (PQ); Costa, E. V. (PQ) UFAM

**QPN-088** Chemical, Cytotoxic and Antimalarial Study of *Dipteryx lacunifera*. Alexandre, L. S. (IC); Chaves, M. H. (PQ); Vieira Junior, G. M. (PQ) UFPI

**QPN-089** Elaboration of spectral library on HPLC-DAD and identification of chemical constituents in *Dipteryx lacunifera*. Gomes, J. P. S. (IC); Chaves, M. H. (PQ); Vieira Junior, G. M. (PQ) UFPI

**QPN-090** Phytochemical study of polar phases from *Richtera campestris* (Asteraceae). Farinella, V. F. (PG); Tamayose, C. I. (PG); Roque, N. (PQ); Ferreira, M. J. P. (PQ) IB-USP

**QPN-091** Chemodiversity of exudates from foliar surfaces of *Richtera discoidea* (Asteraceae). Tamayose, C. I. (PG); Roque, N. (PQ); Ferreira, M. J. P. (PQ) IQUSP

**QPN-092** Chemical characterization of antidiabetic active ethanolic extract from *Jatropha aethiopica* (Euphorbiaceae) leaves. Gamiotea-Turro, D. (PG); Valerino-Díaz, A. B. (PG); Ortiz-Nuñez, Y. (PQ); Rinaldo, D. (PQ); Bosqueiro, J. R. (PQ); Camaforte, N. A. P. (PQ); dos Santos, L. C. (PQ) IQAr-UNESP

**QPN-093** Acyl-glycosyl flavone from *Glandularia selloi* (Verbenaceae). Vestena, A. S. (PG); von Poser, G. L. (PQ); Vignoli-Silva, M. (PQ); Castro-Gamboa, I. (PQ); Zuanazzi, J. A. S. (PQ) UFRGS

**QPN-094** Phenolic compounds isolated from *Renalmia nicolaioides* rhizomes. Gevú, K. V. (PG); Silva, I. G. (PG); Lima, H. R. P. (PQ); da Cunha, M. (PQ); de Carvalho, M. G. (PQ) UFRRJ

**QPN-095** Identificação de ácido elágico e derivados das folhas de *Terminalia actinophylla* por ESI-ITMS. Sousa, R. P. (PG); Araújo, B. Q. (PQ); Vieira Júnior, G. M. (PQ); Chaves, M. H. (PQ) UFPI

**QPN-096** Genotoxic and mutagenic assessment of neolignans isolated from *Nectandra leucantha* on human melanoma cells. Sousa, F. S. (PG); Nunes, E. A. (PG); Grecco, S. S. (PQ); Conserva, G. A. (PG); Cerchiaro, G. (PQ); Lago, J. H. G. (PQ) UFABC

**QPN-097** Atividade antifúngica de quinóides isolados de *Pentacalia desiderabilis* (Vell.) Cuatrec. (Asteraceae). Gomes, K. S. (PG); Murakami, C. (PG); Young, M. C. M. (PQ); Antar, G. M. (PQ); Ferreira, M. J. P. (PQ); Sartorelli, P. (PQ); Lago, J. H. G. (PQ) UFABC

**QPN-098** Butenolídeos com atividade anti-Leishmania isolados de *Nectandra oppositifolia* Ness & Mart (Lauraceae). Conserva, G. A. A. (PG); Costa-Silva, T. A. (PG); Tempone, A. G. (PQ); Antar, G. M. (PQ); Lago, J. H. G. (PQ) UFABC

**QPN-099** Biological activities and identification of compounds of *Cordia sessilis* Vell. (Kuntze). UFU

**QPN-100** Constituintes químicos isolados das partes aéreas de *Serissa foetida* (Rubiaceae). Sebold, S.B.S (PG); Côrrea, J.G.S. (IC); Avincola, A.S. (PG); Pomini, A.M. (PQ); Santin, S.M.O (PQ) UEM

**QPN-101** New steroidal saponins from *Solanum paniculatum* L. (Solanaceae) leaves. Valerino-Díaz, A. B. (PG); Gamiotea-Turro, D. (PG); Zanatta, A. C. (PG); Vilegas, W. (PQ); dos Santos, L. C. (PQ) IQAr-UNESP

**QPN-102** Influence of the decoction time in the extraction of the bioactive terpenes of white sucupira's seeds (*Pterodon emarginatus*) in alcoholic beverages. Oliveira, J.B. (IC); Ferreira, B.L. (IC); Machado, A. M. R. (PQ); Lucas, E.M.F. (PQ) CEFET-MG

**QPN-103** Triterpenoides do caule de *Tocoyena hispida* Standl. Sousa, E. A. (PG); Rosa, A. P. A. (IC); Vieira-Júnior, G. M. (PQ); Chaves, M. H. (PQ) UFPI

**QPN-104** Identification of bufadienolides and cytotoxic activity of *Rhinella jimi* venom. Monção Filho, E. S. (PG); Chaves, M. H. (PQ); Sousa, R. P. (PG); Araújo, B. Q. (PQ); Ferreira, P. M. P. (PQ); Fonseca, M. G. (PQ); Pessoa, C. (PQ); Lima, D. J. B. (PQ); Vieira Júnior, G. M. (PQ) UFPI

**QPN-105** Estudo fitoquímico e atividade fotoprotetora dos galhos de *Platonia insignis* Mart. (Clusiaceae). Aragão da Silva, A.G (IC); Moreira, R.A (IC); Freitas, Sâmia D.L (PQ); de Sousa, Renato P. (PG); Chaves, Mariana H. Chaves (PQ) UFPI

**QPN-106** Clerodane and other terpenoids from *Croton sacaquinha* Croizat leaves. Silva, E. S.; Sacramento, B. S.; Duarte, B. H. S.; Delgado, J. P. S.; Guilhon, G. M. S. P.; Santos, L. S.; Andrade, E. H. A. UFPA

**QPN-107** Isoprenoides das folhas de *Ephedranthus piscarpus* R. E. Fries. Chaves, M. C. (PQ); Veras, M. D. A. (PG); Vieira Júnior, G. M. (PQ); Freitas, S. D. L. (PQ); Araújo, B. Q. (PQ) UFPI

**QPN-108** Triterpenoides, Esteroides e ácidos graxos dos frutos de *Senna acruensis* Benth. Silva, L. F. F. (PG); Santiago, R. F. (IC); Vieira Júnior, G. M. (PG); Chaves, M. H. (PG) UFPI

**QPN-109** Isolamento e caracterização de metabólitos secundários da fração hexânica da espécie vegetal *Machaerium brasiliense* Vogel (Fabaceae). Silva, J.F. (IC); Peixoto, M.A. (PG); Jasper, J.O. (IC); Ximenez, G.R. (PG); Pastorini, L.H. (PQ); Pomini, A.M. (PQ); Santin, M.O. (PQ) UEM

**QPN-110** Anti-inflammatory activity of friedelanans from *Maytenus robusta* branches. Sousa, G. F. (PQ); Aguiar, M. G. (PG); Dias, D. F. (PQ); Moreira, M. E. C. (PQ); Vieira Filho, S. A. (PQ); Duarte, L. P. (PQ) UFMG

**QPN-111** Triterpenoides de *Luehea divaricata* Mart. & Zucc. SANTOS, L.F (PG); CHAVES, M.H (PQ); VIEIRA-JÚNIOR, G.M (PQ) UFPI

**QPN-112** Estudo fitoquímico do extrato hexânico de galhos de *Tontelea micrantha*: isolamento do novo triterpeno friedelan-1,3,21-triona. Ferreira, F. L. (PG); Silva, L. S.M. (IC); Duarte, L. P. (PQ); Vieira-Filho, S. A. (PQ); Pimenta, L. P. S. (PQ); Simões, M. O. M. (PQ) UFMG

**QPN-113** Sesquiterpenos, diterpenos, p-cumaratos de alquenila e flavonóide das partes aéreas de *Baccharis retusa* (Asteraceae). Barcellos, A.F. (PG); Ueno, A.K. (PQ); Grecco, S.S. (PQ); Sartorelli, P. (PQ); Guadagnin, R.C. (PQ); Romoff, P. (PQ); Ferreira, M.J.P. (PQ); Tcacenco, C.M. (PQ); Lago, J.H.G. (PQ) UFABC

- QPN-114** Antitrypanosomal activity and evaluation of the mechanism of action of acetogenins from the seeds of *Porcelia macrocarpa* (Annonaceae). Oliveira, E. A. (PG); Sartorelli, P. (PQ); Young, M. C. M. (PQ); Murakami, C. (PQ); Soares, M. G. (PQ); Tempone, A. G. (PQ); Costa-Silva, T. A. (PQ); Lago, J. H. G. (PQ) UNIFESP-Diadema
- QPN-115** Potencial antiproliferativo em células tumorais humanas do alcaloide 4-N-óxido-harmano isolado da espécie *Psychotria schlechtendaliana*. Corrêa, J. G. S. (IC); Peixoto, M. A. (PG); Moura, V. M. (PQ); Carvalho, J. E. (PQ); Ruiz, A. L. T. G. (PQ); Meurer, E. C. (PQ); Pomini, A. M. (PQ); Santin, S. M. O. (PQ) UEM
- QPN-116** Evaluation of the effect on the mitochondrial membrane potential in *L. amazonensis* caused by Calealactone C isolated from *Calea pinnatifida*. Caldas, L. A. (PG); Yoshinaga, M. L. (IC); Ferreira, M. J. P. (PQ); Lago, J. H. G. (PQ); Passero, L. F. D. (PQ); Sartorelli, P. (PQ) UNIFESP-Diadema
- QPN-117** A bioguided study of the *Tabernaemontana catharinensis*: the indole alkaloids in focus. Rosales, P.F. (PG); Cusin, Y.T. (IC); Canci, B.T. (PG); Roesch-Ely, M (PQ); Gower, A.C.E. (PQ); Silva, S.M. (PQ) UCS
- QPN-118** Chemical composition and mineral content in monofloral bee pollen from *Elaeis guineensis*. Gomes, A. N. P. (PG); Silva, G. R. (PQ); Santos, F. A. R. (PQ); Alves, R. F. (PQ); Camara, C. A. (PQ); Silva, T. M. S. (PQ) UFRPE
- QPN-119** Untargeted metabolomics analysis of Asteraceae species, targeting glucose-uptake enhancing metabolites in C2C12 cells. Jaiyesimi, O. A. (PG); Sampaio, I. H. (PG); Alberici, L. C. (FM); Vargas-Rechia, C. G. (FM); Gobbo-Neto, L. (FM) FCFRP-USP
- QPN-120** Estudo fitoquímico do extrato hexânico das folhas de *Maytenus quadrangulata* (Celastraceae). Aguiar, M. G. (PG); Sousa, G. F. (PQ); Duarte, L. P. (PQ); Filho, S. A. V. (PQ); Simões, M. O. M. (PQ) UFMG
- QPN-121** Investigação das substâncias presentes nas frações apolares do extrato de uma amostra de própolis verde. Pires, L. O. (PG); Castro, R. N. (PQ) UFRRJ
- QPN-122** *Copaifera reticulata* and the antibacterial activity of the acidic diterpenes. Rezende, C.R (PQ); Santos, D.G. (PG); Uekane, T. (PQ); Castro, V.S. (PG); Comte Junior, C.A. (PQ) UFRJ
- QPN-123** Purification of bioactive natural Products by centrifugal partition chromatography (CPC). Mandova, T.; Audo, G.; Michel, S.; Grougnet, R. Faculty of Pharmacy Paris Descartes
- QPN-124** Citrus phytopathogens battle: A nature's story of chemical warfare and survival. Costa, J. H.; Wassano, C. I.; Angolini, C. F. F.; Eberlin, M. N.; Fill, T. P. UNICAMP
- QPN-125** Orbitides from *Jatropha mollissima* and their Synthetic Analogues as Inhibitors of Butyrylcholinesterase. Ramalho, S. D.; Sanches, P. R. S.; Cilli, E. M.; Cardoso, C. L.; Bolzani, V. S.; Pinto, M. E. F.; Lima de, J. L.

## QVE – Química Verde

- QVE-001** Green synthesis of Ag nanoparticles using quercetin flavonoid: Synthesis and characterization by UV/VIS and FTIR techniques. Rodrigues, D. R. F. (IC); Silva, V. I. (IC); Soares, J. J. (TC); Denardin, E. L. G. (PQ) UNIPAMPA
- QVE-002** Deep eutectic solvents as functional additives for Starch-based films. Maia, R. A. (IC); Araújo, A. C. L. (IC); Andrade, I. M. G. (IC); França, V. F. (IC); Morais, W. S. (PG); Costa, T. S. (TC); Moreira, D. N. (PQ) UFPB
- QVE-003** Síntese de biodiesel metílico e de biodiesel etílico a partir do óleo de algodão. Reolon, D. (IC); Lazarotto, G. (IC); Lencina Filho, P. S. D. (IC); Schneid, C. C. (PQ); Osti, R. Z. (PQ); Shimamoto, G. G (PQ); Tubino, M. (PQ); Silveira, E. L. C. (PQ) UFMT
- QVE-004** Sustainable catalysts for organophosphate degradation: rice husk functionalization with hydroxamic acid groups. Ferreira, J. G. L. (PG); Takarada, W. H. (IC); Orth, E. S. (PQ) UFRPR
- QVE-005** Recuperação de solventes orgânicos. Alternativa sustentável já praticada na UFRGS. Dias, B.C. (IC); Leseux, E.J. (IC); Schwarz, F.W. (PG); Oliveira, G.V. (TC); Dias, S.L.P. (PQ); de Oliveira, E.R. (PQ) UFRGS
- QVE-006** Development of starch-based films using a biofriendly ionic liquid as plasticizer. Araújo, A. C. L. (IC); Costa, T. S. (TC); Sousa, A. S. B. (PG); Silva, S. M. (PQ); Moreira, D. N. (PQ) UFPB
- QVE-007** Effect of deep eutectic solvents on the heating profile of sonicated organic solvents. França, V. F. (IC); Maia, R. A (IC); Andrade, I. M. G. (IC); Morais, W.S. (PG); Costa, T.S. (TC); Moreira, D.N. (PQ) UFPB
- QVE-008** How green additives affect the water heating profile under ultrasound irradiation: a methodological study. Andrade, I. M. G. (IC); Maia, R. A. (IC); França, V.F. (IC); Morais, W.S. (PG); Costa, T.S. (TC); Moreira, D.N. (PQ) UFPB
- QVE-009** Synthesis of esters and ketals from levulinic acid and alcohols obtained by heterogeneous catalysis with a sulfonic acid resin. Behenck, L. S. (PG); Paula, F. H. M. (PG); Teixeira, A. T. (IC); Almeida, L. M. P. (IC); Lachter, E. R. (PQ) UFRJ
- QVE-010** A Green Chemistry approach: pectin extraction of the pinion pell for use in synthesis of silver nanoparticles. Schram, M. (IC); Takata, N. H. (PQ); Castro, E. G. (PQ) UNICENTRO
- QVE-011** A renewable catalyst for a renewable chemical: gram scale conversion of furfural to furfuryl alcohol by carrots (*Daucus carota*). Yamamoto, D.Y (IC); Filho, R.E.O (PG); Capeletto, M.G (PG); Omori, A.T (PQ) UFABC
- QVE-012** Avaliação do uso de óleo vegetal de Crambe (*Crambe abyssinica* Hochst) como fluido isolante para transformadores elétricos. Reis, A. C. C. S. (PG); Guedes, C. L. B. (PQ) UEL
- QVE-013** Chemical waste treatment: importance of the academic community awareness about responsible disposal. Morais, K.C. (IC); Paula, R.R. (IC); Pereira, R.S. (IC); Santos, J.M.S.R. (IC); Siqueira, L.D.F. (IC); Mesquita, I.S. (TC); Teixeira, A.M.S. (PQ) IFRJ-Campus Duque de Caxias



## TEC – Química Tecnológica

- TEC-001** The chemical data science by scientific and technological knowledge in big data of the antiretrovirals patents. Magalhães, J. L. (PQ); Mendes, F. M. L. (PQ); Antunes, A. M. S. (PQ); Hartz, Z. (PQ) FIOCRUZ
- TEC-002** Niobium oxide and calcium oxide catalyzing the transesterification reaction of *Acrocomia aculeate* and *Orbinya martiana* oils. Cubides-Román, D. C. (PQ); Constantino, A. F. (PG); Araújo de, M. C. (IC); Santos dos, R. B. (PQ); Neto, A. C. (PQ); Lacerda Jr., V. (PQ) UFES
- TEC-003** Incorporation of benzimidazoles and benzothiazoles to urea: Preparations and effects on ammonia loss from urea. Oliveira, B. G. F. (PG); de Fátima, A. (PQ); Cantarutti, R. B. (PQ) UFMG
- TEC-004** Optimization of the transesterification reaction of soy oil catalyzed by sodium ethyleneglycoxide. Santos, S. J. (IC); De Oliveira, M. K. (IC); Renner, R. E. (IC); Espíndola, G. C. (PG); Fontoura, L. A. M. (PQ); De Souza, G. (PQ); Priebe, G. P. S. (PQ) CIENTEC
- TEC-005** Determination of physicochemical properties of biodiesel and blends using low-field NMR and multivariate calibration. Constantino, A. F. (PG); Román, D. C. C. (PG); Santos, R. B. (PQ); Neto, A. C. (PQ); Barbosa, L. L. (PQ); Filgueiras, P. R. (PQ); Júnior, V. L. (PQ) UFES
- TEC-006** Evaluation of sodium glyceroxide as catalyst in the oils and fats transesterification reaction. Santos, S. J. (IC); Claro, M. N. (IC); Da Silva, J. A. (IC); Renner, R. E. (IC); De Castro, E. M. S. (IC); Fontoura, L. A. M. (PQ); De Souza, G. (PQ); Priebe, G. P. S. (PQ) CIENTEC
- TEC-007** Effect of acetic acid on the pyrolytic sugar yield during fast pyrolysis from several biomasses type. David, G. F. (PQ); Perez, V. H. (PQ); Fernandes, S. A. (PQ); Justo, O. R. (PQ); Lacerda Jr, V. (PQ) UFES
- TEC-008** Colorimetric paper indicator associated with smarhphone for formaldehyde detection in milk based and personal care products. Martins, G. B. C. (PG); Sucupira, R. R. (PG); Suarez, P. A. Z. (PQ) UnB
- TEC-009** Ultrasound-assisted demineralization of sugar cane straw with hydrogen peroxide as pre-treatment for biofuel production. Giacobe, K.; Silva, C. M.; Santos, D.; Flores, E. M. M.; Bizzi, C. A.; Motta, G. V. (PG) UFSM
- TEC-010** Extraction and characterization of passion fruit and guava oils from industrial residual seeds and their application as biofuels. Montenegro, M. A. (IC); Iha, O. K. (PG); Martins, G. B. C. (PG); Ehlert, E. (IC); Sucupira, R. R. (IC); Suarez, P. A. Z. (PQ) UnB
- TEC-011** Continuous ethanol production in an ideal mixing reactor. Silva, S, S, B, (IC); Armoa, M. H. (PQ); Meyer, W. R. (PQ) FATEC

## TEO – Química Teórica

- TEO-001** Merging two coarse-grained force fields: Extension of the ELBA force field for dipeptides and lipopeptides through SIRAH force field. de Souza, R. M. (PG); Dias, L. G. (PQ) FFCLRP-USP
- TEO-002** Bonding Dissociation Energy of M-NO bonding on  $[Ru(L1)L2NO]_n$  complexes. Silva, S C (PQ); Santos, F B (IC) UFMT
- TEO-003** Directional search algorithm for electrochemical oscillating time-series in a multidimensional parameter space. Nagao, R.; Miranda, R. C. C. (PG) UNICAMP
- TEO-004** Evaluation of the power conversion efficiencies of organic photovoltaic devices - theoretical investigation. Miranda, G. M. (PG); Zanlorenzi, C. (PQ); Akcelrud, L. (PQ) UFPR
- TEO-005** Conformational analysis of chalcone 1-(4-nitrophenyl)-2-propen-3-(4-hydroxy-3-methoxyphenyl)-1-one. Guaringue, R. P (IC); Rozada, T. C. (PQ); Fiorin, B. C. (PQ) UEPG
- TEO-006** Theoretical Study of Structural and Thermodynamic Properties for Ibuprofen Synthesis Mechanism. Morgon, N. H. (PQ); Lima, L. V. C. (PG) IQ-UNICAMP
- TEO-007** Análise computacional dos isômeros do Espiropirano e suas possibilidades de formar complexos de cobalto(II). Furlani, C. S. (IC); Reis, I. F. (PG); Lopes, J. F. (PQ) UNIFEI
- TEO-008** In silico methods applied in forensic science: simulated NMR spectra of new amphetamine- and cathinone-derived psychoactive substances. Assis, V. O.; Fernandes, J.; Dias, G.; Bruni, A. T.; Pinke Rodrigues, C. H. (IC) FFCLRP-USP
- TEO-009** Quantum mechanical molecular dynamics of liquid water - SCC-DFTB method reparametrized. Lourenço, M. P. (PQ); Dos Santos, E. C. (PG); Pettersson, L. G. M. (PQ); Duarte, H. A. (PQ) UFMG
- TEO-010** Topological study of interactions between some inhibitors and ALK-5 using QTAIM methodology. Almeida, M. O. (PG); Faria, S. H. D. M. (PG); Honório, K. M. (PQ) UFABC
- TEO-011** LC-wPBE: an appropriate DFT functional for a reliable description of transition energies in phthalocyanines. Silva, L. H. F. (IC); Caixeta, B. P. (PG); Machado, A. E. H. (PQ) UFU
- TEO-012** Inhibition mechanism of monoamine oxidase b by propargylamines: molecular docking and quantum-chemical approaches. Cunha da, E. F. F. (PQ); Ramalho, T. C. (PQ) UFLA
- TEO-013** Free energy profile of alkyl mesylate fluorination with CsF promoted by BACCA in tert-butanol solvent. Pliego, J. R. (PQ) UFSJ
- TEO-014** Computational evaluation of the effectiveness of Cu and Pt catalysts in the first steps of ethanol reforming. Tormena, M. M. L. (PG); Pontes, R. M. (PQ) UEM

# A

- Abdelraheem, W.; AMB-048  
Abram, U.; INO-007, INO-038  
Abreu Filho, P.; EDU-035  
Abreu, D. S.; INO-004  
Abreu, T. P.; AMB-038  
Accioly, J. E. S.; AMB-070  
Acedo, M. S. M. S. F.; ANA-016  
Adaime, M. B.; AMB-020  
Adati, R. D.; INO-011, INO-037, INO-052  
Afonso, B. A.; CAT-024  
Agostinho, S. M. L.; EDU-053  
Agouram, S.; INO-101  
Agudelo, A. J. P.; COL-005  
Aguar De, V. M.; ORG-040  
Aguar, A. C. C.; MED-039  
Aguar, E. C.; MED-032  
Aguar, F. C. L.; FIS-033  
Aguar, L. M.; ANA-029  
Aguar, L. O.; ORG-035  
Aguar, L. P.; CAT-025  
Aguilar, M. G.; QPN-110, QPN-120  
Aguillón, A. R.; ORG-032, ORG-046  
Akahoshi, L. H.; EDU-039  
Akcelrud, L. C.; MAT-001, MAT-002,  
MAT-056, MAT-090, MAT-096  
Akcelrud, L.; MAT-079, TEO-004  
Akcelrud, Leni; MAT-117  
Akiba, A. N.; AMB-045  
Albano, R. L. B. S.; MAT-060  
Alberici, L. C.; QPN-119  
Albert, A. L. M.; ANA-093  
Albino, J.; AMB-031  
Albuquerque, G. Z. Q.; EDU-053  
Albuquerque, JFC; MED-037  
Albuquerque, M. G.; MED-053  
Albuquerque, S.; INO-036  
Alcantara, A. C.; ELE-010  
Alcântara, G. P.; MED-054  
Aldighieri Grigorovski Júnior, J. M.; INO-056  
Alexandre, L. S.; QPN-088  
Alexiou, A. D. P.; INO-083  
Alhadas, R. D.; INO-050  
Allegretti, S. M.; QPN-073  
Almeida, C. A. P.; COL-013  
Almeida, C. L. da C.; MAT-033  
Almeida, F. A. F.; ANA-070  
Almeida, F. G.; ELE-047  
Almeida, G. A.; ANA-064  
Almeida, G. B.; EDU-002  
Almeida, G. C.; MAT-037, MAT-083  
Almeida, I. A.; MED-057  
Almeida, J. R. G. S.; QPN-087  
Almeida, L. A.; MAT-112  
Almeida, L. D.; AMB-068, EDU-002  
Almeida, L. M. P.; QVE-009  
Almeida, L. S.; ELE-032  
Almeida, M. A. R.; CAT-026  
Almeida, M. B.; BEA-007  
Almeida, M. B.; ANA-078, BEA-009  
Almeida, M. D. S.; AMB-017, EDU-062  
Almeida, M. O.; TEO-010  
Almeida, M. T.; QPN-022  
Almeida, M.; ORG-100, ORG-108  
Almeida, P. S. V. B.; INO-024  
Almeida, P. V. B.; ANA-012  
Almeida, Q. A. R. de; ORG-109  
Almeida, Q. A. R.; EDU-050, MAT-064  
Almeida, R. M.; MAT-120  
Almeida, S. H.; EDU-058  
Almeida, T. A. F.; QPN-033  
Almeida, V. A.; INO-093  
Almeida, V. G. K.; ANA-008  
Almeida, V. P.; AMB-055  
Almeida, V. R. G.; CAT-025  
Almerindo, G. I.; EDU-033  
Alonso Freitas, G. A. F.; MAT-040  
Alvarenga, E. S.; ORG-079  
Alvarenga, G. M.; INO-073  
Alvarez-Roca, R.; MAT-126  
Alves Jr., S.; INO-009  
Alves, C. S.; MAT-122  
Alves, C.; AMB-003  
Alves, D. da P.; ANA-008  
Alves, D. P.; BEA-007  
Alves, D. P.; ANA-078  
Alves, G. F. S.; EDU-021  
Alves, J. C.; AMB-010  
Alves, L. A.; MAT-101  
Alves, L. M. C.; AMB-058  
Alves, N.; QPN-020  
Alves, P. B.; MED-041, QPN-014  
Alves, P. S.; ORG-089  
Alves, R. B.; MED-058, ORG-028, ORG-061  
Alves, R. F.; QPN-118  
Alves, R. V. A.; QPN-062  
Alves, V. A.; EDU-057  
Alves, V. A.; EDU-061  
Alves, V. N.; ANA-046  
Alves, W.; FOT-013  
Alves, W. A.; ELE-017, FOT-002, INO-095,  
MAT-051, MAT-118, MAT-120  
Alves, W. A.; MAT-050  
Alvim, T. R.; EDU-034  
Alvino, A. C. B.; EDU-022  
Amaral, B. S.; BIO-003  
Amaral, J. C.; QPN-079  
Amaral, J. G.; QPN-032  
Amaral, T. M.; FIS-003  
Amarante, G. W.; CAT-015, ORG-019,  
ORG-093  
Ambrosio, M. A. L. V.; QPN-006  
Ambrósio, M. A. L. V.; QPN-008  
Ameku, W. A. A.; ELE-030  
Amim Jr., J.; MAT-025  
Amorim Camara, A. C.; QPN-012  
Amorim, J. M.; QPN-049  
Amorim, M. R.; QPN-063  
Amorim, T. L.; ANA-003  
Amoroso, H. C.; MAT-053  
Amparo, S. Z. S.; MAT-083  
Anaisse, F. J.; BEA-001  
Andanson, J. M.; FIS-013  
Andrade, C. B.; ORG-081  
Andrade, C. H.; MED-002, MED-046  
Andrade, D. C.; BEA-014  
Andrade, D. F.; ANA-069  
Andrade, D. P. P.; FIS-002  
Andrade, E. H. A.; QPN-013, QPN-046,  
QPN-106  
Andrade, F. B. C.; ANA-075, ANA-079  
Andrade, G. F. S.; FIS-018  
Andrade, I. M. G.; QVE-002, QVE-007,  
QVE-008  
Andrade, J. M. B.; COL-005  
Andrade, S. N.; MED-022  
Andrade, T. J. A. S.; EDU-048, ORG-063,  
ORG-089  
Andrade, V. P.; AMB-081  
Andricopulo, A. D.; MED-004, MED-027,  
MED-029, MED-048  
Andricopulo, A. D.; MED-005  
Andriolli, C. R.; COL-002  
Angelucci, C. A.; ELE-026  
Angnes, L.; ELE-022  
Angolini, C. F. F.; QPN-060, QPN-124  
Anjos Dos, V. E.; AMB-028  
Anjos, D. S. C. dos A.; MAT-058  
Anjos, D. S. C.; EDU-062  
Anjos, J. P.; BEA-019  
Anjos, N. S.; ORG-080  
Anjos, T. O.; QPN-013  
Antar, G. M.; QPN-043, QPN-097, QPN-098  
Antoniali-Junior, W. A.; ANA-086  
Antoniazzi, C.; MAT-110  
Antunes, A. M. S.; TEC-001  
Anuniação, D. S.; EDU-031  
Apel, M. A.; QPN-048  
Aquino Neto, F. R.; ANA-013  
Aquino, C. B.; MAT-005  
Aquino, F. J. T.; QPN-006, QPN-008  
Aquino, J. S.; QPN-034  
Aragão da Silva, A. G.; QPN-105  
Arakawa, N. S.; QPN-023  
Araki, K.; ELE-013, MAT-063  
Arantes, G. C. V.; EDU-055  
Araújo De, M. C.; TEC-002  
Araújo De, M. H.; ORG-055  
Araújo Neto, J. F.; QPN-039  
Araujo Silva, R.; ELE-009  
Araujo, A. R.; QPN-071  
Araújo, A. C. L.; QVE-002, QVE-006  
Araújo, A. F.; ORG-097  
Araújo, A.; ANA-072  
Araújo, B. Q.; QPN-095, QPN-104,  
QPN-107  
Araújo, D. M.; ORG-053  
Araújo, E. S.; AMB-001  
Araujo, M. H.; CAT-032  
Araujo, M. H.; INO-039  
Araújo, M. H.; INO-071  
Araujo, M. H.; ORG-084  
Araújo, M. L.; CAT-006  
Araujo, M. S.; ELE-053  
Araujo, N. S. de; FOT-012  
Araujo, R. G. O.; AMB-010  
Araújo, R. J.; CAT-011  
Araújo, R. L. B.; BEA-015

Araújo, R. N. M.; BIO-011, BIO-014  
 Araújo, R. O.; QPN-034  
 Araújo, T. F.; QPN-003  
 Araujo, T. M. de R.; AMB-019  
 Araujo, W. R. de; ELE-013  
 Araujo, W. R.; ELE-046  
 Arbilla, G.; AMB-006, AMB-007  
 Ardisson, J. D.; ORG-084  
 Arenz, M.; ELE-015  
 Arenz, Matthias; ELE-036  
 Arguello, J.; INO-092  
 Armando Júnior, J.; QPN-049  
 Armoa, M. H.; TEC-011  
 Arrigo, V.; EDU-013  
 Arrospide, T. M.; QPN-045  
 Arruda, H. J.; INO-084  
 Arruda, T. F.; ANA-047  
 Arruda, V. M.; AMB-055  
 Artiushenko, O.; ANA-039  
 Ascari, J.; ORG-011  
 Asencios, Y. J. O.; CAT-004  
 Assis Felix, C. S.; ANA-041  
 Assis, L. R.; MED-034  
 Assis, O. B. G.; MAT-053, MAT-077  
 Assis, R. C.; AMB-064  
 Assis, R. N. A.; QPN-058  
 Assis, V. O.; TEO-008  
 Assuncao, N. A.; AMB-004  
 Ataíde, V. N. de; ELE-013  
 Atala, A. P.; QPN-026  
 Atvars, T. D. Z.; MAT-001  
 Audo, G.; QPN-123  
 Augusti, R.; BEA-015  
 Aunque, R. F. O.; AMB-081  
 Aveiro, L. R.; ELE-016  
 Avelino, D. O. S.; EDU-021  
 Aversa, T. M.; EDU-019, MAT-064, MAT-112,  
 ORG-109  
 Avila, J. N. L.; FIS-013  
 Ávila, M. C.; QPN-026  
 Ávila-Costa, M.; BIO-009  
 Avincola, A. S.; QPN-100  
 Ayala, A. H. F.; BEA-007  
 Ayala, A. H.; ANA-078  
 Ayres, C.; EDU-007  
 Ayres-Pereira, T. I.; EDU-039  
 Azevedo, A. M. A.; QPN-003  
 Azevedo, F. R. P.; QPN-005  
 Azevedo, I. A. L.; INO-002  
 Azevedo, J. C. R.; AMB-024  
 Azevedo, R. B.; MAT-087  
 Azevedo, R. S. A.; ANA-018  
 Azevedo, R. S.; ANA-087  
 Azevedo, V. H. R.; ELE-062

**B**

B. de Andrade, J.; BEA-013  
 Bacil, R. P.; ELE-022  
 Back, D. F.; INO-089  
 Back, D. F.; INO-019  
 Baev, A.; MAT-079

Bagatin, I. A.; INO-012, INO-059, INO-080,  
 INO-086  
 Bagatin, M. C.; BIO-012  
 Bail, A.; COL-002, COL-003, COL-012  
 Baitello, J. B.; QPN-043  
 Balbinot, F. P.; ANA-050  
 Baldassari, L. L.; ORG-034  
 Baldini, D. C.; INO-017, MAT-010  
 Balestrin, L. B. S.; FIS-027  
 Baliza, I. R. S.; QPN-087  
 Balliano, T. L.; QPN-030  
 Ballotin, F. C.; CAT-009  
 Ballotin, F. C.; CAT-031  
 Bandeira, P. N.; QPN-005, QPN-028  
 Baptista, Leonardo; FIS-002  
 Baptista, M. S.; MED-008  
 Baptista, V. S.; FIS-005  
 Bär, J.; MAT-014  
 Baracat, M. M.; QPN-023  
 Barbosa, D. B. A.; ORG-072  
 Barbosa, D. B. A.; AMB-066, INO-050  
 Barbosa, D. B. A.; INO-063  
 Barbosa, E. C. M.; ELE-050  
 Barbosa, E. P.; ORG-072  
 Barbosa, I. R.; ORG-012  
 Barbosa, J. L.; AMB-009  
 Barbosa, J. M. C.; MED-012, MED-054  
 Barbosa, J. R.; AMB-037, ANA-071  
 Barbosa, L. D.; MED-051  
 Barbosa, L. L.; TEC-005  
 Barbosa, L. M.; ANA-017  
 Barbosa, LRB; ORG-102  
 Barbosa, R. S.; INO-059  
 Barbosa, S. C.; MAT-042  
 Barbosa, S. L.; CAT-025, CAT-026  
 Barbosa, V. A.; MED-042, MED-052  
 Barbosa-Dekker, A. M.; MED-035, ORG-065  
 Barce, E. T.; MAT-015  
 Barcellos, A. F.; QPN-113  
 Barcellos, I. O.; FIS-028  
 Barcellos, P. S.; AMB-027  
 Barcelos, D. A.; AMB-026  
 Barcelos, V. H. T.; FIS-007  
 Barea, P.; MED-052  
 Bareño, V. D. O.; ORG-050  
 Bargieri, D. Y.; MED-002  
 Barin, J. S.; ANA-010, BEA-005  
 Barone, M.; CAT-036  
 Baroni, A. C. M.; ORG-081  
 Barreiro, E. J. B.; MED-015  
 Barreiros, A. L. B. S.; MED-041  
 Barreiros, B. S. B.; MED-041  
 Barreiros, M. L.; MED-041  
 Barrett Reina, L. Del C.; BEA-015  
 Barretto, F. A.; ORG-015  
 Barroco, C. V.; MAT-039  
 Barros, A.; MAT-014  
 Barros, M. F.; MAT-008  
 Barros, M. S. P.; EDU-060  
 Barros, O. S. R.; ORG-091  
 Barros, W. P.; INO-097  
 Barros, W. R. P.; ELE-027  
 Barud, H. S.; MAT-080

Basso, E. A.; ORG-031  
 Basso, L. A.; MED-060, ORG-075  
 Bastos, A. V.; ORG-050  
 Bastos, C. S.; EDU-065  
 Bastos, E. L.; FOT-015  
 Bastos, G. A.; ORG-007  
 Bastos, J. M. D.; MED-064  
 Bastos, M. A.; EDU-022  
 Bastos, T. L.; EDU-055  
 Bataglion, G. A.; AMB-023  
 Batalha, P. N.; ORG-017  
 Batatinha, M. J. M.; MED-055  
 Batista, A. A.; INO-100  
 Batista, A. A.; INO-034, INO-074  
 Batista, A. C. S.; MED-058, ORG-103  
 Batista, A. D.; ANA-065  
 Batista, A. P. L.; MAT-105  
 Batista, B. L.; ELE-031  
 Batista, B.; EDU-035  
 Batista, G. F.; EDU-034  
 Batista, G. M. F.; ORG-093  
 Batista, J. C.; EDU-006  
 Batista, K. S.; ANA-049  
 Batista, R. B.; ORG-014  
 Batista, V. S.; MED-044  
 Batista, V. S.; MED-063, MED-065  
 Batistela, V. R.; AMB-056, FIS-034,  
 MAT-094  
 Batistuti, M. R.; ELE-048, ELE-060  
 Bautitz, I. R.; ANA-085  
 Bazito, R. C.; CAT-021  
 Bazito, R. C.; CAT-036  
 Bazito, R.; BEA-017  
 Bazzi, C.; ANA-082  
 Beato, M. O.; ANA-033  
 Beatriz, AB; ORG-102  
 Bechara, E. J. H.; AMB-004  
 Bego, A. M.; EDU-009  
 Behenck, L. S.; QVE-009  
 Belgo, H. C.; COL-010  
 Belframe, A. C. F.; EDU-037, INO-047  
 Benite, A. M. C.; EDU-022  
 Benite, C. R. M.; EDU-022  
 Benitez, L. B.; AMB-042  
 Bento, J. M. S.; QPN-083  
 Benvenho, A. R. V.; ELE-017  
 Bergamaschi, V. S.; CAT-014  
 Bergmann, B. R.; ORG-052  
 Bernardelli, J. K. B.; AMB-032  
 Bernardes, A.; MED-045  
 Bernardes, M. C.; AMB-011  
 Bernardes, T. M.; MED-035  
 Bernardino, A. M. R.; ORG-106  
 Berón, F.; INO-077  
 Bertacchi, J. P. F.; MAT-092  
 Bertoli, A. C.; CAT-031  
 Bertolino, L. C. B.; INO-102  
 Berton, G. H.; ORG-004  
 Bertotti, M.; ELE-003, ELE-008, ELE-043  
 Bertran, C. A.; COL-004, FIS-027, MAT-038,  
 MAT-062  
 Beruski, O. B.; ELE-033  
 Bessa, I. A. A.; MAT-059

Bessa, R. A.; MAT-047  
 Bet, M. A.; EDU-047  
 Bezerra, D. P.; QPN-087  
 Bezerra, F. S.; QPN-055, QPN-072  
 Bezerra, L.; INO-089  
 Bezerra, M. A. M.; ORG-078  
 Bezerra, W. A.; INO-005  
 Bezerra, W. D.; INO-014  
 Bianchi, V. N.; AMB-054  
 Biasetto, C. R.; QPN-071  
 Bibi, N.; INO-013, INO-043, INO-077  
 Biegelmeier, R.; QPN-042  
 Bielemann, N. J.; ANA-050, ANA-051  
 Bier, C. C.; ANA-058  
 Bilck, A. P.; MAT-065  
 Bilyuy, R.; MED-014  
 Bim, L. F. B.; INO-006, INO-010  
 Binatti, I.; INO-069  
 Bioni, T. A.; ORG-002  
 Bisinoti, M. C.; AMB-030, AMB-078  
 Bispo, M. L. F.; MED-019  
 Bispo, V. M.; MAT-095, MAT-113  
 Bitencourt Oliveira, L. B. O.; ANA-036  
 Bitencourt, G. F.; AMB-074  
 Bitencourt, G. R.; ANA-052  
 Bitencourt, J.; ORG-100  
 Bittencourt, I.; AMB-014  
 Bittencourt, P. R. S.; MAT-022, MAT-074  
 Bizarro, C. V.; MED-060  
 Bizzi, C. A.; ANA-043, TEC-009  
 Bizzi, C. A.; ANA-052  
 Blanco, C.; ELE-058  
 Boaventura Jr., S.; QPN-073  
 Boecheat, F. C. S.; ORG-017  
 Boecheat, F. C. S.; ORG-022, ORG-085,  
 ORG-087, ORG-088  
 Boecheat, N.; MED-008, MED-010, MED-030  
 Boecheat-Roberty, H. M.; FIS-002  
 Bolzan, R. C.; ANA-044  
 Bolzani, V. S.; ANA-005, BEA-018,  
 QPN-071, QPN-076, QPN-125  
 Bomfim, L. M.; QPN-087  
 Bona, C. M.; QPN-018  
 Bona, T. F.; EDU-033  
 Bonacin, J. A.; INO-096  
 Booth, S. G.; ELE-019  
 Bordignon, S. A. L.; QPN-048  
 Bordin, J. R.; MAT-009  
 Borges de Melo, E.; FIS-007  
 Borges, A. S. B.; INO-039  
 Borges, A.; MED-013  
 Borges, B. G. A. L.; MAT-100  
 Borges, C. B.; CAT-025  
 Borges, C. G.; AMB-019  
 Borges, C. P. F.; INO-031  
 Borges, E. M.; EDU-054  
 Borges, J. C.; ORG-106  
 Borges, R. S.; MED-016  
 Borges, W. S.; QPN-002  
 Borissevitch, I. E.; FOT-011  
 Borsato, D.; ANA-029, ORG-065  
 Borsodi, M. P. G.; ORG-052  
 Borsoi, A. F.; MED-060  
 Bortoleti, B. T. S.; MED-019  
 Bortolozzi, G. G.; BEA-010  
 Bortoluzzi, A. J.; FIS-011  
 Bortoluzzi, J. H.; CAT-010  
 Boschen, N. L.; FIS-025  
 Bosqueiro, J. R.; QPN-092  
 Botelho, B. G.; BEA-008  
 Botero, W. B.; QPN-063  
 Botero, W. G.; AMB-036, AMB-062, FIS-030  
 Boto, S. M.; CAT-004  
 Bottoli, C. B. G.; ANA-074  
 Boza, I. A. F.; FIS-010  
 Braga, A.; AMB-007  
 Braga, R. C.; MED-002, MED-029  
 Braga, T. C.; MED-043  
 Bragaia, G. P.; ANA-028  
 Braibante, M. E. F.; EDU-012  
 Branco, A.; MED-055  
 Brandão, G. C.; ANA-081  
 Brandão, G. P.; AMB-031  
 Brandellero, M. V.; EDU-033  
 Brandt, J. V.; MAT-011  
 Branquinho, T. O.; QPN-056  
 Breikreitz, M. C.; ANA-074  
 Brighente, I. M. C.; MED-003  
 Brillas, E.; FIS-012  
 Brito Júnior, G. A.; INO-055  
 Brito, A. V. S.; AMB-009  
 Brito, C. L.; ELE-040  
 Brito, E. B.; MAT-042  
 Brito, E. C. P.; EDU-061  
 Brito, H. A.; INO-061  
 Brito, H. F.; INO-085  
 Brito, J. F.; ELE-029  
 Brito, P. V. N.; ANA-014, BEA-011  
 Brito, T. B.; MED-041  
 Brito, T. C.; CAT-022  
 Brito, T. O.; MED-019  
 Britto, D.; MAT-041  
 Broietti, F. C. D.; EDU-013  
 Brolo, A. G.; MAT-027  
 Brömme, D.; QPN-029  
 Brum, J. R.; ANA-051, BEA-016  
 Bruni, A. T.; MED-031, MED-066, TEO-008  
 Bruni, B. A.; MED-023  
 Bueno, E. A. S.; EDU-013  
 Bueno, M. C.; ANA-064  
 Buffon, E.; ELE-023  
 Bufon, C. C. B.; MAT-014  
 Buhl, B.; QPN-018  
 Burgo, T. A. L.; FIS-014, FIS-031  
 Burtoloso, A. C. B.; ORG-038  
 Busato, J. G.; AMB-034  
 Buzzá, H. H.; FOT-011

**C**

Cabral, F. M.; INO-055  
 Cabral, M. F.; ELE-033  
 Cabral, M. R. P.; QPN-004  
 Cabral, P. F. O.; EDU-010  
 Cabrera, S. P.; QPN-081  
 Caetano, I. K.; AMB-033  
 Caetano, J.; MAT-016  
 Caixeta, B. P.; TEO-011  
 Calado, C. R.; MAT-107  
 Calado, H. D. R.; ELE-056  
 Caldas, L. A.; ANA-057, ANA-058,  
 QPN-085, QPN-116  
 Calderon, E. R. D.; AMB-081  
 Cali, M. P.; FOT-005  
 Caliman, V.; MAT-043  
 Calisto, G. C. M.; INO-030  
 Calit, J.; MED-002  
 Camaforte, N. A. P.; QPN-092  
 Camara, A. C.; QPN-082  
 Camara, C. A.; QPN-047  
 Camara, C. A.; QPN-080, QPN-081,  
 QPN-118  
 Câmara, D. N.; ORG-046  
 Camara, M. B. P.; QPN-025, QPN-040  
 Câmara, M. B. P.; QPN-050  
 Câmara, M. B. P.; QPN-053  
 Camargo, D. H. S.; MAT-014  
 Camargo, L. P.; MAT-018  
 Camargo, M. R.; EDU-022  
 Camargo, P. H. C.; CAT-012, ELE-050,  
 MAT-005  
 Camargo, P. H. C.; MAT-105  
 Camelo, M. L. V.; QPN-015  
 Camilo, F. F.; ELE-045  
 Campos, A. R. N.; QPN-034  
 Campos, D. L.; MED-034  
 Campos, D. V. B.; AMB-029  
 Campos, E. C. G.; MAT-056  
 Campos, M. L. A. M.; AMB-012  
 Campos, N. R.; INO-029, INO-081  
 Campos, P. S.; FIS-032  
 Campos, R. B.; FIS-009  
 Campos, V. N. S.; INO-034  
 Campos, V. P.; AMB-009  
 Canan, C.; ANA-033  
 Canci, B. T.; QPN-117  
 Candido, E. G.; CAT-014  
 Cândido, E. G.; MAT-005  
 Candido, Geovany; EDU-027  
 Candido, J. M. B.; INO-048  
 Candido, L. V.; EDU-020  
 Canela, M. C.; AMB-027  
 Cangussu, D.; INO-005, INO-014, INO-053  
 Canisares, F. S. M.; MAT-088  
 Cantanhede Filho, A. J.; QPN-025  
 Cantarutti, R. B.; TEC-003  
 Capeletto, M. G.; QVE-011  
 Caramori, G. F.; FIS-011  
 Cardoso, C. A. L.; QPN-033  
 Cardoso, C. A. L.; ANA-086, QPN-007  
 Cardoso, C. L.; BIO-004, QPN-125  
 Cardoso, C. M.; ANA-090  
 Cardoso, D. V. V.; QPN-050  
 Cardoso, J. C.; ELE-029  
 Cardoso, L. P.; INO-052  
 Cardoso, M. B.; MAT-050  
 Cardoso, M. B.; FIS-027, MAT-030,  
 MAT-080  
 Cardoso, M. F. C.; MED-025, ORG-045

Cardoso, R. M.; ANA-065, ELE-014, ELE-052  
Cardoso, S. G.; MAT-020  
Cardoso, S. H.; BIO-007  
Cardoso, T. M. G.; ANA-067  
Cardoso, V. A.; MAT-116  
Cardozo Filho, L.; QPN-010  
Caricatti, V.; CAT-036  
Carlos, I. Z.; QPN-063  
Carlos, R. M.; FOT-003, FOT-005, FOT-014  
Carmignano, O.; CAT-031  
Carmo, M.; EDU-036  
Carmona, J. L. C.; EDU-059  
Carneiro, C. E. A.; FIS-029  
Carneiro, F. J. C.; QPN-025  
Carneiro, F. J. C.; QPN-050  
Carneiro, M. C.; ANA-038  
Carneiro, M. T. W. D.; AMB-031  
Carneiro, T. R. C.; MED-015  
Carneiro, Z. A.; INO-036  
Carnevale Neto, F.; QPN-061  
Carra, J. B.; QPN-023  
Carvalho Andrade, H. M.; ANA-041  
Carvalho Junior, E. J.; ELE-008  
Carvalho, A. B.; INO-069  
Carvalho, A. C.; QPN-086  
Carvalho, A. E.; ELE-027, ELE-044  
Carvalho, A. M. G.; MAT-020  
Carvalho, A. N.; INO-070  
Carvalho, A. S.; MED-010  
Carvalho, C. M. de; ANA-093  
Carvalho, C. M.; MAT-121  
Carvalho, D. A.; FIS-029  
Carvalho, D. B.; ORG-081  
Carvalho, D. T.; MED-036  
Carvalho, F. A. O.; BIO-013  
Carvalho, F. F.; EDU-005  
Carvalho, G. S. G.; CAT-015  
Carvalho, G. S.; ANA-043  
Carvalho, I. M.; COL-006, FIS-021  
Carvalho, J. C. S.; QPN-044  
Carvalho, J. E.; QPN-115  
Carvalho, J. M.; BIO-002, QPN-065  
Carvalho, L. L.; MED-061  
Carvalho, L. S.; CAT-001  
Carvalho, M. G.; QPN-003, QPN-027  
Carvalho, M. T. M.; ANA-061  
Carvalho, P. L. G.; AMB-044, AMB-046  
Carvalho, R. C.; ANA-069  
Carvalho, R. D. E.; MAT-103  
Carvalho, R. H.; MAT-103  
Carvalho, S. A.; MED-012, MED-054  
Carvalho, T. L.; QPN-062  
Carvalho, V. S.; AMB-067  
Carvalho, W. A.; CAT-006, MAT-111  
Carvalho-Jr, V. P.; CAT-024, CAT-028, CAT-029, CAT-030  
Casagrande, G. A.; INO-089  
Casagrande, R.; QPN-023  
Casanova Coltro, M. C. R.; MAT-052  
Cascaes, M. M.; QPN-013, QPN-046  
Casellato, A.; INO-067  
Cass, Q. B.; BIO-003  
Cassa, S. G. S.; EDU-064, ORG-109  
Cassella, R. J.; ANA-040, ANA-042, ORG-086  
Cassella, R. J.; ANA-047, ANA-055, ANA-056, ANA-084  
Cassiano, G. C.; MED-002  
Cassini, G. C.; EDU-064  
Cassol, T. M.; ORG-004  
Castel, D. K. A. D.; AMB-001  
Castellano, E. E.; INO-100  
Castelo-Branco, F. S.; MED-008  
Castiblanco, J. E.; ANA-060  
Castilho, M. S.; MED-025  
Castilho, Z. C.; INO-044  
Castilhos, Z. C.; AMB-026  
Castione, R. C. M. S.; EDU-028, EDU-047, EDU-059  
Castro De, C. B.; INO-002  
Castro De, P. R.; INO-006  
Castro, A. A. N.; FIS-032  
Castro, A. C.; ORG-075  
Castro, A. L. P.; ORG-047  
Castro, B. G.; ORG-058  
Castro, C. J.; MED-023  
Castro, E. G.; MAT-110, QVE-010  
Castro, J. C.; MED-053  
Castro, L. F.; AMB-057  
Castro, L. M. F.; EDU-049  
Castro, N.; FIS-038  
Castro, N. G.; MED-018  
Castro, R. N.; QPN-121  
Castro, S. V. F.; ELE-052  
Castro, V. G.; FIS-003  
Castro, V. S.; QPN-122  
Castro-Gamboa, I.; QPN-093  
Catalan, T. B. S.; QPN-007  
Catalani, L. H.; MAT-031  
Catalani, L. H.; MAT-045  
Catota Saénz, H. S.; ELE-008  
Catunda Jr., F. E. A.; QPN-003  
Caumo, S.; AMB-003  
Cavalcante, J. B. H.; AMB-005  
Cavalcante, L. A.; EDU-049  
Cavalcante, L. L.; AMB-071  
Cavalcante, S. C. H.; MED-041  
Cavalcanti, A. S.; MED-051  
Cavalcanti, J. C. M.; FIS-030  
Cavalcanti, L. P. A. N.; QPN-038  
Cavaleiro, J. A. S.; ORG-088  
Cavaliéri, F.; INO-095, MAT-051  
Cavallieri, M. C.; ELE-033  
Cebim, M. A.; INO-006, INO-010, MAT-034, MAT-070  
Cebrian, A. V. S.; MAT-080  
Cechin, C. N.; INO-078  
Celestino, G. G.; MAT-025  
Cerchiaro, G.; QPN-096  
Cerize, N. N. P.; COL-007  
Cerqueira, G.; ELE-055  
Cerqueira, T.; AMB-021  
Cesarino, I.; ELE-024  
Cesarin-Sobrinho, D.; FOT-009  
César-Oliveira, M. A. F.; MAT-046  
Cesca, E. C.; INO-099  
Chafran, L. S.; CAT-034  
Chagas, F. O.; ANA-032, FIS-037  
Chagas, F. O.; FIS-015  
Chagas, J. O.; AMB-063  
Chagas, R. P.; INO-005, ORG-091  
Chang, R.; QPN-008  
Chapadeiro, R. T.; ORG-028  
Chaves, A. R.; ANA-020  
Chaves, B. P.; ELE-033  
Chaves, E. F. C. L.; MED-006  
Chaves, F. A.; EDU-014  
Chaves, M. C.; QPN-107  
Chaves, M. H.; QPN-111  
Chaves, M. H.; QPN-088, QPN-089, QPN-095, QPN-103, QPN-104, QPN-108  
Chaves, Mariana H. Chaves; QPN-105  
Chern, M. S.; FIS-024  
Chiapetta, S. C.; ANA-006  
Chiapetta, S. C.; ANA-021, ANA-087, ANA-088, ANA-089  
Chiaregato, C. G.; MAT-003  
Chiarelo, M.; ANA-077  
Chiavassa, L. D.; ELE-032  
Chiavassa, L. D.; ELE-045  
Chinelate, B. M.; AMB-066  
Chinelate, B. M.; INO-063  
Chino, M. E. T. A.; MED-006  
Chorro, T. H. D.; ORG-030  
Christine Dutra da Silva, A. C. Dutra S.; ORG-074  
Christoffolete, M. A.; ELE-017  
Christovam, L. M.; ELE-021  
Cicuto, C. A. T.; EDU-007  
Cid, T. P.; EDU-025, EDU-029  
Cid, Y. P.; ANA-011  
Ciilli, E. M.; QPN-076  
Cilli, E. M.; QPN-125  
Cintra, L. S.; QPN-057  
Cipriano, T. C.; MAT-068  
Cipriano, T.; ELE-017  
Cistia, C. D. N.; MED-040  
Cito, A. M. G. L.; ORG-063  
Citó, A. M. G. L.; QPN-034  
Ciuffi, K. J.; INO-017, INO-054, INO-098, MAT-010  
Claro, M. N.; TEC-006  
Clososki, G. C.; ORG-070  
Cochran, K. H.; AMB-048  
Codevilla, C. F.; ANA-010  
Codognoto, L.; ELE-011  
Coelho Junior, G. S.; BEA-016  
Coffin, S.; AMB-048  
Colares, R. P.; EDU-024, EDU-036, EDU-060  
Coli, J. F. C.; INO-065  
Colnago, L. A.; INO-016  
Colombo, R. N. P.; ELE-055, MAT-082  
Colombo, R.; AMB-067  
Coltro, W. K. T.; ANA-066, ANA-067, ANA-068, ELE-028  
Come, J. A. A. S. S.; MED-030  
Comte Junior, C. A.; QPN-122

Conceição, J. C. S.; QPN-059  
 Conserva, G. A. A.; QPN-098  
 Conserva, G. A.; QPN-096  
 Consoli, R. A.; EDU-007  
 Constantino, A. F.; TEC-002, TEC-005  
 Constantino, I. C.; AMB-078  
 Constantino, I. C.; AMB-030, AMB-078  
 Constantino, V. R. L.; MAT-025  
 Corazza, F. G.; INO-066  
 Corazza, M. Z.; ELE-044  
 Corbellini, V. A.; ANA-080  
 Cordeiro, M. E.; AMB-059  
 Cordeiro, P. S.; ORG-092  
 Córdoba de Torresi, S. I.; ELE-036  
 Coreixas de Sá, C. S.; ANA-063  
 Corio, P. C.; ELE-061  
 Corio, P.; INO-033  
 Cormanich, R. A.; ORG-068  
 Correa, B. G.; MAT-057  
 Corrêa, B. K.; ORG-020  
 Correa, C. P.; INO-063  
 Côrrea, J. G. S.; QPN-100  
 Corrêa, J. G. S.; QPN-115  
 Correa, L. A.; INO-039  
 Corrêa, L. B. M.; AMB-037  
 Corrêa, M. J. C.; BIO-014  
 Corrêa, R. S.; INO-034  
 Corrêa, S. A. P.; QPN-073  
 Corrêa, S. M.; AMB-006  
 Correia, A. G.; QPN-029  
 Correia, A. N.; ELE-020, ELE-059  
 Correia, C. R.; QPN-082  
 Correia, C. R. D.; MED-039, ORG-023,  
 ORG-030, ORG-098  
 Correia, R. C.; QPN-080  
 Corsi, W. L.; EDU-011  
 Cortez, M. V. M.; ORG-013  
 Cortón, E.; ANA-068  
 Cosme, W. Z.; QPN-058  
 Costa Cerqueira, B. C. C.; ORG-101  
 Costa Da, D. R. M.; EDU-006  
 Costa Da, G. L.; MED-020  
 Costa Ferreira, S. L.; ANA-041  
 Costa Júnior, J. S.; EDU-048, ORG-089,  
 QPN-034  
 Costa, A. B.; BEA-005  
 Costa, A. C. S.; AMB-034  
 Costa, A. M.; MAT-024  
 Costa, A. R. P.; ORG-017, ORG-088  
 Costa, B. S.; AMB-060  
 Costa, C. L. S.; ANA-070  
 Costa, D. C. S.; MED-025  
 Costa, É. R.; QPN-016  
 Costa, E. R.; AMB-075  
 Costa, É. R.; QPN-004  
 Costa, E. V.; MED-041, QPN-060, QPN-087  
 Costa, F. M. P.; QPN-075  
 Costa, F. T. M.; MED-002  
 Costa, G. de S.; AMB-023  
 Costa, I. C.; MED-019  
 Costa, I. S.; EDU-064, MAT-112  
 Costa, J. H.; QPN-124  
 Costa, J. L.; ANA-017  
 Costa, J. M. de F.; ORG-100, ORG-108  
 Costa, J. M. S.; EDU-048, ORG-089  
 Costa, K. B. S.; MAT-058  
 Costa, K. R.; ANA-023  
 Costa, L. A. G.; FOT-016  
 Costa, L. A. S.; INO-048  
 Costa, L. A.; INO-042  
 Costa, L. M.; BEA-020  
 Costa, L. T.; ELE-018  
 Costa, M. B.; CAT-039, ORG-003,  
 ORG-041, QPN-052  
 Costa, M. C. S.; EDU-018  
 Costa, M. F.; ELE-017  
 Costa, N. C.; ANA-064  
 Costa, P. R. A da; ORG-109  
 Costa, P. R. A.; EDU-064  
 Costa, R. F.; QPN-031  
 Costa, R. K. S.; MAT-075  
 Costa, R. N.; MAT-020  
 Costa, R. O.; AMB-027  
 Costa, R. P. O.; QPN-056  
 Costa, S. S. L.; AMB-010  
 Costa, T. S.; QVE-002, QVE-006  
 Costa, T. S.; QVE-007, QVE-008  
 Costa, V. A.; INO-040  
 Costa, V. G.; MAT-081  
 Costa, W. K. O. C.; ANA-037  
 Costa-Lotufo, L. V.; QPN-061, QPN-084  
 Costa-Silva, T. A.; QPN-043, QPN-098,  
 QPN-114  
 Costódio, P. F. S.; EDU-033  
 Cotrim, B. A.; ELE-002  
 Cottet, L.; COL-013  
 Coutinho, E. J.; QPN-016  
 Coutinho, E. J.; AMB-069, AMB-075,  
 QPN-004  
 Couto, G. G.; EDU-056  
 Couto, G. H.; ORG-111  
 Couto, M. T.; ORG-086  
 Couto, T. R.; MED-032, ORG-037  
 Cravo, P. V. L.; MED-002  
 Crespo, L. T. C.; EDU-064  
 Crisóstomo, C. A. B.; CAT-003  
 Cristale, J.; AMB-018  
 Crocoli, L. C.; ANA-031  
 Cruz Júnior, J. W.; ORG-009  
 Cruz, G. C. S.; ANA-092  
 Cruz, G. F. B.; ANA-056  
 Cruz, N. C.; MAT-021  
 Cruz, R. P.; AMB-035, EDU-030  
 Cruz, T. R.; CAT-024  
 Cruz, V.; MED-051  
 Cubides-Román, D. C.; TEC-002  
 Cuendet, M.; BEA-018  
 Cuffini, S. L.; MAT-020  
 Cunha Da, E. F. F.; TEO-012  
 Cunha, A. C. C.; ELE-042  
 Cunha, B. S.; EDU-064  
 Cunha, E. M. S.; EDU-056  
 Cunha, L. C. S.; QPN-006, QPN-008  
 Cunha, M. F.; FIS-033  
 Cunha, O. M.; MAT-077  
 Cunha, S. D.; ORG-015, ORG-042,  
 ORG-048, ORG-076, ORG-077  
 Cunha, S.; ORG-005, ORG-016, ORG-053,  
 ORG-104, QPN-059  
 Cunha, T.; AMB-031  
 Cunha, W. R.; ORG-006, QPN-057  
 Cunha, W.; MAT-078  
 Cursino, A. C. T.; BEA-006  
 Curti, P. S.; MAT-004  
 Cusin, Y. T.; QPN-117  
 Custódio, D.; AMB-003  
 Custódio, T.; MAT-059

## D

D. Saint'pierre, T.; ANA-039  
 da Camara, C. A. G.; QPN-045  
 da Costa, W. F.; MED-052  
 da Cruz Jr, J. W.; INO-028, INO-060  
 da Cruz, G. N.; EDU-007  
 da Cruz, P. A. U.; ORG-067  
 da Cunha, M.; QPN-094  
 da Guarda, L. D. C.; AMB-013  
 da Paz, G. M.; CAT-031  
 da Rocha, D. R.; ORG-092  
 da Rocha, G. O.; AMB-010, ANA-009  
 da Rocha, R. G.; ELE-035  
 da Rosa, P. D.; BIO-008  
 da Silva Júnior, E. N.; ORG-029  
 da Silva, A. C.; MAT-028  
 da Silva, A. F. M.; INO-068  
 da Silva, A. G. M.; MAT-105  
 da Silva, A. L. E. P.; MAT-054  
 da Silva, A. M.; ORG-052  
 da Silva, B. A.; AMB-023  
 da Silva, D. F.; QPN-079  
 da Silva, E. C.; CAT-010  
 da Silva, E. F.; MED-012, MED-054  
 da Silva, E.; INO-054  
 da Silva, F. A. N. G. S.; INO-102  
 da Silva, F. D.; ELE-006  
 da Silva, F. M. A.; QPN-060, QPN-087  
 da Silva, G. A.; AMB-072  
 da Silva, G. O.; FIS-023  
 da Silva, H. C.; QPN-014  
 da Silva, J. A. F.; ANA-066  
 da Silva, J. A.; TEC-006  
 da Silva, J. D. S.; ANA-012  
 da Silva, J. L.; ELE-062  
 da Silva, J. R. N.; FIS-001  
 da Silva, J. R.; QPN-036  
 da Silva, J.; ORG-100  
 da Silva, K. N.; ELE-034  
 da Silva, L. A. L.; ELE-027  
 da Silva, L. H. M.; FIS-015  
 da Silva, L. H. M.; ANA-032, COL-005,  
 FIS-037  
 da Silva, M. F. Das G. F.; QPN-079  
 da Silva, M. F. G. F.; QPN-051  
 da Silva, M. J.; CAT-009  
 da Silva, M. M.; QPN-079  
 da Silva, M. V.; MAT-019  
 da Silva, R. C.; ELE-018

da Silva, R. P.; BIO-013  
 da Silva, V. H. M.; INO-076  
 da Silva, W. A.; ANA-004  
 da Silva, W. P.; ELE-035  
 da Silveira, E. F.; FIS-002  
 Dáas, A.; ANA-071  
 Da-Costa, F. B.; QPN-056  
 Dal Pozzo, D. M.; CAT-039, ORG-003  
 Dall'Oglio, E. L.; QPN-078  
 Dalla Vecchia, P.; ANA-054  
 Dall'Antonia, L. H.; ELE-053  
 Dall'Antonia, L. H.; MAT-018  
 Damasceno, D.; MAT-052  
 Damasceno, F. D.; AMB-022  
 Damasceno, J. P. V.; MAT-109  
 Damasceno, R. N.; ANA-071  
 Damos, F. S.; ELE-049  
 Danczuck, M.; MAT-110  
 Danguí, A. Z.; FIS-026  
 Dantas, E. P.; QPN-085  
 Dantas, G.; AMB-007  
 Dantas, M. D. A.; BIO-005  
 Dantas, R. F.; AMB-050  
 Dantas, R. F.; MED-006, MED-026  
 Dantas, T. C.; AMB-006  
 Dantzger, D. R. C.; MED-062  
 Das Chagas, R. P.; INO-014, INO-053  
 David, G. F.; TEC-007  
 David, J. M.; ORG-013, QPN-039, QPN-074  
 David, J. P.; QPN-039, QPN-074  
 d'Ávila, L. A.; ANA-069  
 Davolos, M. R.; MAT-034, MAT-070  
 de Abreu, H. A.; CAT-007  
 de Almeida, F. G.; ANA-045  
 de Almeida, R. M.; CAT-010  
 de Almeida, V. G.; FOT-009  
 de Andrade, A. R.; ELE-039  
 de Andrade, C. K.; AMB-028  
 de Andrade, F. H. P.; MAT-010  
 de Andrade, J. B.; ANA-009  
 de Andrade, J. K.; AMB-028  
 de Araújo, W. R.; ELE-012, ELE-022  
 de Avellar, M. G. B.; FIS-036  
 de Azevedo, R. B.; QPN-036  
 de Barros, W. A.; ORG-096  
 de Carvalho, M. G.; QPN-094  
 de Castro, E. M. S.; TEC-006  
 de Castro, M. R. C.; MED-045  
 de Castro, P. P.; ORG-093  
 de Castro, S. L.; MED-012, MED-054  
 de Faria, E. H.; INO-054  
 de Faria, E. H.; MAT-010  
 de Fátima, A.; ORG-084, ORG-096,  
 TEC-003  
 de França, I. V.; INO-060  
 de Freitas, E. M.; BIO-008  
 de Freitas, R. P.; ORG-028, ORG-029  
 de Godoi, K. T. S.; ELE-010  
 de Jesus, E. C.; ORG-066  
 de Jesus, P. C.; FIS-020  
 de La Cruz, A. R. H.; AMB-081  
 de La Cruz, J. K. H.; AMB-081  
 de La Cruz, M. N. S.; ANA-013  
 de La Fuente, M. S.; INO-101  
 de La Fuente-Nunez, C.; BIO-010  
 de Leo, T. C.; ELE-048  
 de Lima, E. C.; AMB-054  
 de Lima, Ednilza; ORG-100  
 de Lima, V. R. L.; AMB-023  
 de Lucas, N. C.; FOT-006, FOT-007  
 de Lucca Jr., E. C.; ORG-023  
 de Macedo, W. P.; ORG-021  
 de Matos, C. F.; MAT-100  
 de Mattos, M. C. S.; ORG-007  
 de Melo, E. B.; MED-031  
 de Melo, L. N.; CAT-010  
 de Melo, L. S.; ORG-032  
 de Melo, M. G.; AMB-023  
 de Moura, A. F.; FIS-035  
 de Moura, E. M.; CAT-031  
 de Oliveira Almeida, C. M. de O. A.;  
 ANA-036  
 de Oliveira Pedro, R.; FIS-016  
 de Oliveira Silva, M.; MAT-062  
 de Oliveira, B. S.; ORG-067  
 de Oliveira, C. H. C. S.; FOT-009  
 de Oliveira, C. M. A.; QPN-036  
 de Oliveira, E. R.; QVE-005  
 de Oliveira, H. F. M.; BIO-001  
 de Oliveira, K. C.; CAT-002  
 de Oliveira, L. G.; QPN-069  
 de Oliveira, L. L. G.; ANA-045  
 de Oliveira, M. K.; TEC-004  
 de Oliveira, M. T.; ANA-036  
 de Oliveira, P. R.; ORG-014  
 de Oliveira, R. N.; QPN-087  
 de Oliveira, V.; MED-050  
 de Oliveira-Filho, A. G. S.; MAT-105  
 de Paula, F. R.; ORG-073  
 de Paula, G. R.; ORG-045  
 de Paula, J. C.; MED-052  
 de Paula, R. D. P.; ORG-101  
 de Paulo, R. S.; CAT-018  
 de Sá, C. F.; AMB-013  
 de Sousa, D. N. R.; AMB-053  
 de Sousa, F. B.; INO-082  
 de Sousa, L. R. F.; MED-045  
 de Sousa, Renato P.; QPN-105  
 de Souza Mendes, P. R. S. M.; COL-008  
 de Souza, A. A.; QPN-079  
 de Souza, A. D. L.; QPN-060  
 de Souza, A. G.; ORG-088  
 de Souza, A. Q. L.; QPN-060  
 de Souza, A. R.; FIS-010  
 de Souza, G. E.; MED-039  
 de Souza, G.; TEC-004, TEC-006  
 de Souza, J. R.; ANA-012  
 de Souza, L. C.; ORG-032  
 de Souza, M. C. B. V.; ORG-088  
 de Souza, M. L.; MED-004  
 de Souza, M. P.; AMB-020  
 de Souza, R. M.; TEC-001  
 de Souza, R. O. M. A.; ORG-032  
 de Torresi, S. I. C.; ELE-009  
 de Torresi, S. I. C.; MAT-105  
 Decandio, C. C.; MAT-050  
 Deflon, V. M.; INO-075  
 Dekker, A. M. B.; ELE-050  
 Dekker, R. F. H.; ELE-050, ORG-065  
 Del Cistia, C. D. N.; ORG-012  
 Del Colle, V.; FIS-030  
 Delgado, J. P. S.; QPN-046, QPN-106  
 Delgado-Silva, A. O.; MAT-021  
 Delolo, F. G.; CAT-002  
 Delpino, I. S.; ANA-044  
 Demicheli, C. P.; INO-016  
 Demuner, A. J.; ORG-079  
 Denardin, E. L. G.; QVE-001  
 Dessoy, M. A.; MED-004  
 Di Benedetto, A. P. M.; AMB-073  
 Di Vitta, C.; ORG-008  
 Dias, A. A.; ELE-028  
 Dias, A. O.; FIS-034  
 Dias, B. C.; QVE-005  
 Dias, C. S. B.; MAT-030  
 Dias, D. F.; MED-036, QPN-110  
 Dias, E. J. S.; QPN-025, QPN-053  
 Dias, E. J. S.; QPN-050  
 Dias, F. M. F.; QPN-005, QPN-028  
 Dias, F. S.; INO-032  
 Dias, G. O. C.; QPN-040  
 Dias, G. P.; ANA-069  
 Dias, G.; TEO-008  
 Dias, I. M.; INO-026, INO-061  
 Dias, J. A.; CAT-034  
 Dias, L. C.; MED-004  
 Dias, L. G.; TEO-001  
 Dias, M. R. G.; INO-052, ORG-111  
 Dias, R. F. C.; QPN-006  
 Dias, S. C. L.; CAT-034  
 Dias, S. L. P.; QVE-005  
 Dias, S. S.; EDU-014, MAT-086  
 Dias-Baruffi, M.; ELE-048  
 Dibo, V. S.; INO-004  
 Dillenburg Saint'pierre, T. D. S.; MAT-040  
 Diniz, B. P.; EDU-061  
 Diniz, C. F. S.; AMB-016  
 Diniz, G. A.; MAT-038  
 Diniz, M. M.; INO-067  
 Diniz, R.; CAT-007, INO-046  
 Diógenes, I. C. N.; INO-002, INO-004,  
 INO-042  
 Diogo Junior, J. P.; AMB-050  
 Dionisio, E. R.; AMB-002  
 Dionysiou, D.; AMB-048  
 Dittz, D.; INO-016  
 do Lago, C. L.; ANA-066  
 do Nascimento, M. S. S.; MED-012  
 do Nascimento, V.; ORG-092  
 do Pim, W. D.; MAT-091  
 do Pim, W. D.; EST-001, INO-029  
 do Prado, M. V.; INO-098  
 do Rego, E. L.; ANA-012  
 Dockal, E. R.; INO-028, INO-060, ORG-009  
 Dolabela, M. F.; BIO-002  
 Domakoski, A. C.; MAT-051  
 Domingos, J. D. S.; BEA-011  
 Domingues, H. P.; BEA-002  
 Domingues, J. T.; AMB-044

Domingues, M. P. P.; AMB-041  
Domingues, R. A.; MAT-001  
Domingues, S. H.; MAT-005, MAT-073,  
MAT-104

Dominutti, P. A.; AMB-008  
Donagemma, R. A.; ANA-024  
Donate, P. M.; ELE-060  
Donato, F. F.; AMB-020  
Donnici, C. L.; BIO-009, INO-039  
Donnici, L. C.; MAT-024  
Dorigon, L.; COL-002  
Doriguetto, A. C.; EST-001, INO-029,  
INO-065, INO-081  
Döring, T. H.; INO-028  
Dornellas, R. M.; ELE-006  
dos Anjos, E. O.; QPN-058  
dos Anjos, J. P.; AMB-005  
dos Anjos, J. P.; BEA-013  
dos Santos, A. M. P.; ANA-081  
dos Santos, C.; ORG-090  
dos Santos, D. M.; ELE-047  
dos Santos, E. C. M.; ANA-071  
dos Santos, E. C.; TEO-009  
dos Santos, E. F. S.; MED-039  
dos Santos, E. N.; CAT-002, CAT-018  
dos Santos, G. C.; ORG-026  
dos Santos, H. F.; ORG-093  
dos Santos, J.; MAT-123  
dos Santos, L. C.; QPN-092, QPN-101  
dos Santos, M. N. G.; QPN-036  
dos Santos, M. R.; CAT-020  
dos Santos, P. R.; INO-019  
dos Santos, P. R.; ORG-073  
dos Santos, R. V.; BIO-001, MED-001  
dos Santos, W. N. L.; ANA-081  
dos Santos, W. P. C.; ANA-081  
Dourado, A. H. B.; ELE-015, ELE-036  
Dourado, A. H. B.; MAT-105  
Dourado, G. A. A.; ORG-016  
Drabecki, A. B. A.; MAT-044  
Dragunski, D. C.; MAT-016, MAT-074  
Druzian, G. T.; ANA-044  
Dryfe, R. A. W.; ELE-019  
Duarte, A. P.; INO-089  
Duarte, B. F.; ANA-086  
Duarte, B. H. S.; QPN-046, QPN-106  
Duarte, D. S.; MAT-041  
Duarte, E. A.; EDU-027  
Duarte, E. C.; INO-016  
Duarte, F. A.; ANA-010, ANA-054, BEA-005  
Duarte, H. A.; CAT-007, TEO-009  
Duarte, J. P. P.; MAT-007  
Duarte, L. C.; ANA-068, ELE-028  
Duarte, L. G. T. A.; MAT-001  
Duarte, L. P.; QPN-110, QPN-112, QPN-120  
Duarte-Junior, G. F.; ANA-066  
Dumych, T.; MED-014  
Durango, L. G. C.; QPN-068  
Durigon, M. C. S.; ORG-111  
Dutra, A. J. B.; ANA-042  
Dutra, B. N.; ORG-082  
Dutra, G. S. V.; ANA-065  
Dutra, J. P.; QPN-002

Dutra, R. C. Q.; INO-003  
Dutra, R.; EDU-059

## E

e Silva, F. A.; CAT-014  
e Souza, S. B.; ANA-024  
Eberlin, M. N.; ANA-017, ANA-074,  
QPN-124  
Echevarria, A.; MED-020, MED-051,  
ORG-012  
Egan, J. M.; QPN-061  
Egler, S. G.; AMB-025  
Eguiluz, K. I. B.; ELE-059  
Ehlert, E.; TEC-010  
Ehrhardt, A.; EDU-033  
El Seoud, O. A.; ORG-002  
Espindola, G. C.; TEC-004  
Espuri, P. F.; MED-036, QPN-032  
Estevão, A. P. S. S.; EDU-025, EDU-029  
Esteves, H.; ORG-098  
Esteves, I. O.; INO-025  
Estimable, R.; EDU-059  
Estrela, I. O.; MED-024  
Ethur, E. M.; BIO-008  
Ethur, E. M.; QPN-018  
Evangelista, E. S.; ORG-005  
Evangelista, F. C. G.; MED-022

## F

Fabris, M.; MED-019  
Fadini, P. S.; AMB-053  
Faez, R.; MAT-003, MAT-023, MAT-066,  
MAT-119  
Fagnani, E.; AMB-018  
Fagundes, N. V.; INO-078  
Faiões, V. S.; ORG-087  
Fajardo, A. R.; MAT-055  
Falcão, A. C.; MED-007  
Falcão, E. H. L.; INO-009  
Falcão, J. S. A.; FOT-016, MAT-093  
Falsetti, L. O. Z.; MAT-014  
Faria, D. L. A.; MAT-082  
Faria, E. H.; INO-017  
Faria, M. L.; MAT-065  
Faria, R. B.; INO-045  
Faria, R. B.; FIS-024  
Faria, S. H. D. M.; TEO-010  
Farias, I. F.; ORG-110  
Farinella, V. F.; QPN-090  
Faro, L. V.; ORG-085  
Fatibelo-Filho, O.; ELE-001  
Fátima De, A.; ORG-055  
Fátima, A.; MED-043, MED-047  
Faustino, G. A. A.; EDU-022  
Faustino, W. M.; INO-085  
Favarin, L. R. V.; INO-089  
Favaris, A. P.; QPN-083  
Fávaro, S. L.; MAT-094  
Féboli, A.; MED-013  
Feijó, G. S.; EDU-023  
Feiteira, F. N.; ANA-004  
Feitosa, A. O.; QPN-065  
Feitosa, L. M.; MED-030  
Feitoza-Silva, M.; ANA-092, ANA-093,  
MAT-121, MAT-122  
Feliciano, A. S.; ORG-041  
Feliciano, J. M. O.; EDU-057  
Felinto, M. C. F. C.; INO-085  
Felippe Pacheco, F. P.; ANA-063  
Felisbino, J. K. R. P.; QPN-064  
Félix, A. M. A.; EDU-021  
Felner, P. P.; ORG-032  
Felsner, M. L.; AMB-028  
Fengler, T. A. L.; ELE-056  
Ferlin, S.; MAT-027  
Fernandes, A. R.; ANA-020  
Fernandes, A.; ANA-042  
Fernandes, C. S.; ORG-031  
Fernandes, F. O.; MAT-021  
Fernandes, F. S.; EDU-022  
Fernandes, J. B.; QPN-051  
Fernandes, J. B.; FOT-014, QPN-070,  
QPN-079  
Fernandes, J. M.; FIS-009  
Fernandes, J. P. S.; MED-007  
Fernandes, J.; TEO-008  
Fernandes, L. S.; MAT-008  
Fernandes, M. E. C.; ORG-067  
Fernandes, M. S.; MED-056  
Fernandes, P. D.; ORG-022  
Fernandes, P. O.; MED-011, MED-058  
Fernandes, S. A.; MED-047, ORG-068,  
TEC-007  
Fernandes, S. S. L.; QPN-004  
Fernandes, T. N. C.; ORG-049, ORG-051  
Fernandes, T. S.; MAT-039  
Fernandes, W. B. C.; BIO-011  
Fernandez, C.; EDU-053  
Ferraz, B. S. R.; BEA-008  
Ferraz, F. A.; MAT-046  
Ferraz, H. C.; AMB-038  
Ferraz, W.; MED-017  
Ferreira Júnior, J. C.; EDU-031  
Ferreira Souza, A. L.; MED-064  
Ferreira, A. C. L. N.; CAT-037  
Ferreira, A. D.; ANA-002  
Ferreira, A. H.; ANA-033  
Ferreira, A. L. G.; COL-011  
Ferreira, A. P.; ORG-097  
Ferreira, A. S.; ORG-091  
Ferreira, B. L.; QPN-102  
Ferreira, E. A.; MAT-099  
Ferreira, E. M.; ANA-038  
Ferreira, F. F.; MAT-061  
Ferreira, F. L.; QPN-112  
Ferreira, G. B.; INO-015, INO-026, INO-061,  
INO-076  
Ferreira, G. C. A.; ELE-051  
Ferreira, G. M. D.; COL-005, COL-011,  
FIS-021  
Ferreira, G. M. D.; FIS-022  
Ferreira, G. M.; MED-017  
Ferreira, H. B. P.; CAT-023, CAT-037  
Ferreira, J. A.; ANA-074  
Ferreira, J. G. L.; CAT-013, QVE-004



Ferreira, J. M. S.; ANA-074  
 Ferreira, K. C.; EDU-005  
 Ferreira, L. L. G.; MED-004, MED-029  
 Ferreira, L. L.; ELE-056  
 Ferreira, M. F.; MAT-010  
 Ferreira, M. G.; INO-022, INO-044  
 Ferreira, M. J. P.; QPN-041, QPN-113  
 Ferreira, M. J. P.; QPN-044, QPN-090,  
 QPN-091, QPN-097, QPN-116  
 Ferreira, M. L. G.; MED-030  
 Ferreira, M. P.; MAT-103  
 Ferreira, N. S.; MAT-071  
 Ferreira, O. P.; MAT-060  
 Ferreira, P. M. P.; QPN-034, QPN-104  
 Ferreira, P. R.; AMB-014  
 Ferreira, P. S.; QPN-037  
 Ferreira, P. S.; ANA-073  
 Ferreira, R. C.; FOT-009  
 Ferreira, R. G.; MAT-107  
 Ferreira, R. M. F.; AMB-077  
 Ferreira, R. S.; MED-004  
 Ferreira, T. P.; ANA-011  
 Ferreira, V. B.; AMB-072  
 Ferreira, V. F.; MED-025, ORG-045  
 Ferreira, V. F.; ORG-092  
 Ferreira, V. S.; EDU-044  
 Ferro, M. V.; ORG-060  
 Fidelis, Q. C.; QPN-027  
 Figueira, B. A. M.; AMB-060  
 Figueiredo Filho, A.; AMB-033  
 Figueiredo, E. C.; ANA-095  
 Figueiredo, E. R.; AMB-072  
 Figueiredo, F. C.; MAT-071  
 Figueiredo, I. M.; ANA-022, BIO-005,  
 BIO-007, MED-042, MED-047  
 Figueiredo, M. C.; QPN-020  
 Figueiredo, M. K. K.; AMB-074  
 Figueiredo, N. G.; ANA-006  
 Figueiredo, N. G.; ANA-021  
 Figueredo, F.; ANA-068  
 Filgueiras, P. R.; ANA-073, TEC-005  
 Filho, A. J. C.; QPN-053  
 Filho, C. C. S.; QPN-004  
 Filho, F. M.; MAT-017  
 Filho, J. D. S.; QPN-075  
 Filho, M. O. M.; ORG-110  
 Filho, P. F. A.; ORG-097  
 Filho, R. E. O.; QVE-011  
 Filho, S. A. V.; QPN-120  
 Filippe, T. C.; AMB-024  
 Fill, T. P.; QPN-124  
 Finco, F. D. B. A.; AMB-072  
 Fiorentino, E. S. C.; ORG-080  
 Fiorin, B. C.; TEO-005  
 Fiorio, J. L.; CAT-016  
 Figueiredo, J. F. D.; ANA-037  
 Fischer, A. C. K.; EDU-033  
 Flor, J. B.; ELE-029  
 Flores, A. F. C.; ORG-050  
 Flores, D. C.; ORG-050  
 Flores, E. L. M.; AMB-013, ANA-033,  
 ANA-044, ANA-082  
 Flores, E. M. M.; ANA-043, ANA-054,  
 TEC-009  
 Flores, E. M. M.; ANA-052  
 Florez-Rodríguez, P. P.; CAT-017, CAT-033  
 Floriani, H. L.; FIS-020  
 Foglio, M. A.; QPN-020  
 Fokoue, H. H. F.; MED-015  
 Folquitto, L. R. S.; MED-036  
 Fonsaca, J. E. S.; MAT-073  
 Fonseca, A. M.; EDU-024, EDU-036,  
 EDU-060  
 Fonseca, A. S.; ANA-075, ANA-079,  
 EDU-062, EDU-066  
 Fonseca, A. S.; QPN-050  
 Fonseca, F. C.; CAT-014  
 Fonseca, K. C. J. L.; EDU-063  
 Fonseca, M. E.; CAT-038  
 Fonseca, M. G.; QPN-104  
 Fonseca, P. X.; MAT-067  
 Fontes, A.; FOT-016  
 Fontoura, B. M.; FIS-015  
 Fontoura, B. M.; FIS-037  
 Fontoura, L. A. M.; TEC-004, TEC-006  
 Forezi, L. M.; ORG-045  
 Forezi, L. S. M.; MED-025  
 Forezi, L. S. M.; ORG-092  
 Forim, M. R.; QPN-052, QPN-070  
 Forim, M. R.; QPN-068  
 Formiga, A. L. B.; INO-013, INO-043,  
 INO-077, INO-096  
 Fornari Pereira, E.; MED-017  
 Fornaro, A.; AMB-008  
 Fortuna, A. C. B.; MED-007  
 Fostier, A. H.; MAT-027  
 Fraga, C. A. M.; MED-012, MED-054  
 Fraga, I. M.; QPN-026  
 Fraifeld, F.; AMB-014  
 França, D.; MAT-023  
 França, E. L.; ORG-013  
 França, I. A.; AMB-056  
 França, R. R. F.; MED-008  
 França, T. C. C.; MED-033  
 França, V. F.; QVE-002, QVE-007  
 França, V. F.; QVE-008  
 Francisco, C. B.; ORG-031  
 Francisco, J. E.; ANA-004  
 Franco, I. D.; MED-011  
 Franco, J. H.; ELE-039  
 Franco, M. P.; INO-091  
 Franco, P. C. I.; MAT-065  
 Frauches-Santos, C.; MED-051  
 Frediani, N. F.; MED-044  
 Freire, A. S.; AMB-029  
 Freire, J. A. P.; QPN-034  
 Freire, R. S.; AMB-052  
 Freitas, A. L. M.; MAT-120  
 Freitas, A. S. M.; MAT-021  
 Freitas, E. M.; QPN-018  
 Freitas, H. F.; MED-024, MED-055  
 Freitas, L. G.; BEA-015  
 Freitas, M. P.; ORG-068  
 Freitas, M. S.; CAT-025  
 Freitas, R. P.; MED-058  
 Freitas, R. P.; ORG-044, ORG-061,  
 ORG-103  
 Freitas, S. D. L.; QPN-107  
 Freitas, S. S.; AMB-043  
 Freitas, Sâmya D. L.; QPN-105  
 Freitas, T. R.; MED-022  
 Frem, R. C. G.; ELE-029  
 Frezard, F.; INO-016  
 Friedrich, L. C.; ANA-085  
 Froes, T. Q.; MED-025  
 Frota, J. P. R. A.; COL-002  
 Frota, V. M.; QPN-028  
 Fryer, B.; AMB-048  
 Furlanetto, L.; EDU-033  
 Furlani, C. S.; TEO-007  
 Furlani, J. M. S.; EDU-020  
 Furnham, N.; MED-046  
 Furst, C. G.; BIO-009  
 Furtado, C. A.; MAT-049, MAT-103  
 Furtado, D. Z. S.; AMB-004  
 Furtado, P. R. P.; FIS-038  
 Furtado, R. A.; MAT-078  
 Fust, A. M. B. S.; ANA-092, ANA-094,  
 MAT-121, MAT-122  
 Fust, A. M. B. S.; ANA-093

## G

Gaiola, L.; QPN-007  
 Galante, D.; FIS-036  
 Galdino, M. M.; FOT-010  
 Galebeck, F.; EDU-035, FIS-014, MAT-092  
 Galhardi, L. C. F.; MED-035  
 Galhardo, T. S.; CAT-027  
 Gálico, D. A.; MAT-089  
 Gallardo, H.; INO-099, MAT-106  
 Galvan, D.; ANA-029  
 Galvão, J. C. R.; ELE-053  
 Gama, E. M.; ANA-034, ANA-035  
 Gama, E. M.; BEA-020  
 Gama, M. R.; ANA-016  
 Gama, R. M.; QPN-049  
 Gamiotea-Turro, D.; QPN-092, QPN-101  
 Gandi, M. O.; MED-010  
 Garcia Osorio, D. S.; MAT-063  
 Garcia, A. D. P.; AMB-046  
 Garcia, C. A. B.; AMB-010  
 Garcia, C. R. S.; MED-039  
 Garcia, F.; MAT-030  
 Garcia, H.; BEA-004  
 Garcia, L. A.; QPN-008  
 Garcia, M. L.; MED-039  
 Garcia, M. N. U.; ANA-058  
 Garcia, V. L.; QPN-073  
 Garden, S. J.; FOT-006, FOT-007  
 Gariani, R. A.; ORG-107  
 Gariani, R. G.; FIS-038  
 Garoforo, E.; INO-049  
 Garrido, F. M. S.; INO-022, INO-044,  
 INO-056  
 Garrido, F. M. S.; INO-067  
 Gato, F.; ORG-003  
 Gatti, F. M.; ELE-032

Gaubeur, G. I.; AMB-045  
Gauze, G. F.; BIO-012  
Gazzolla, P. A. R.; ORG-052  
Geglio, P. C.; EDU-045  
Gemal, A. L.; MAT-121  
Gentil, T. C.; ELE-005  
Genú, A. M.; AMB-033  
Geomonond, R. S.; CAT-012  
Georgetti, S. R.; QPN-023  
Geris, R.; MAT-095, MAT-113  
Gevú, K. V.; QPN-094  
Giacobe, K.; TEC-009  
Giaretta, R.; ELE-041  
Giertyas, C. J.; CAT-010  
Giese, E. C.; AMB-025  
Giese, S. O.; INO-041  
Gil, C. C.; ORG-045  
Gimenes, L.; QPN-051  
Gioda, A. G.; MAT-040  
Gioda, A.; AMB-002, AMB-081  
Giona, R. M.; COL-002  
Giona, R. M.; COL-003, COL-012  
Giordan, M.; EDU-009  
Girola, N.; MED-007  
Giuntini, F.; FOT-013  
Giuomini, F.; FOT-002  
Gobbo-Neto, L.; QPN-119  
Godim, A. S.; INO-083  
Godoy, A. A.; ELE-002, ELE-025  
Godoy, I. M. W.; INO-020  
Godoy, J. M.; AMB-014  
Goes, L. F.; EDU-053  
Goi, B. E.; CAT-024, CAT-028, CAT-029,  
CAT-030  
Gois, P. D. S.; CAT-028  
Goldani, L. Z.; BIO-008  
Golembiowski, C.; ANA-007  
Gomes, A. A.; ANA-072  
Gomes, A. C. C.; QPN-037  
Gomes, A. K. S.; ANA-085  
Gomes, A. N. P.; QPN-118  
Gomes, A. T. P.; ORG-088  
Gomes, A.; INO-031  
Gomes, B. F.; MED-046  
Gomes, C. B. S. M. R.; ORG-092  
Gomes, C. L.; ANA-075, ANA-079  
Gomes, D. C. C.; INO-087  
Gomes, E. L.; INO-080  
Gomes, I. F.; MAT-099  
Gomes, I. S.; ANA-088  
Gomes, J. P. S.; QPN-089  
Gomes, K. S.; QPN-097  
Gomes, M. F.; ELE-060  
Gomes, M. S.; MAT-067  
Gomes, O.; AMB-049  
Gomes, P. O. M.; ELE-048, ELE-060  
Gomes, S. F.; CAT-008  
Gómez, J. A. G.; INO-068  
Gomez, J. A. G.; INO-090  
Gomides, N. A. M. T. P.; QPN-024  
Gonçalves, A. D.; ANA-071  
Gonçalves, C. B.; INO-065  
Gonçalves, G. R. S.; FIS-021  
Gonçalves, H.; AMB-021  
Gonçalves, J. M.; ELE-003, ELE-013  
Gonçalves, P. J.; FOT-011  
Gonçalves, R. P.; BEA-002  
Gonçalves, R. S. B.; ORG-040  
Gonçalves, R. S.; MED-053  
Gonçalves, R. V.; CAT-016, CAT-027  
Gonçalves, T. R.; BEA-002  
Gontijo, T. B.; ORG-044  
Gontijo, V. S.; MED-018, MED-036  
González-Borrero, P. P.; AMB-033  
González-Moya, J. R.; MAT-102  
Gotardo, L. E.; ORG-094  
Gothe, M. L.; CAT-021  
Gothe, M. L.; CAT-036  
Goulart, M. O. F.; BIO-009, MED-058,  
ORG-029  
Goulart, M. O. F.; ELE-049  
Goveia, D.; AMB-036, AMB-062  
Gower, A. C. E.; QPN-117  
Gozzi, F.; FIS-012  
Gracio, C. E. R.; AMB-054  
Graeff, F.; BEA-002  
Granato, A. S.; CAT-015  
Granito, C. J.; MAT-010  
Grawe, G. F.; INO-074  
Grecco, S. S.; QPN-096  
Grecco, S. S.; QPN-113  
Green, W. H.; CAT-019  
Gressler, P. D.; AMB-042  
Grigorovski Júnior, J. M. A.; INO-044  
Grillo, G. R.; BIO-001, MED-001  
Grougnet, R.; QPN-123  
Gruber, Jonas; ELE-024  
Guadagnin, R. C.; QPN-113  
Guade da Silva, G. S.; QPN-012  
Guarheiro, L. L. N.; AMB-005, BEA-019  
Guaringue, R. P.; TEO-005  
Guatimosim, S.; MED-043  
Guedes, A. P. M.; INO-074  
Guedes, C. L. B.; QVE-012  
Guedes, G. P.; INO-024, INO-026, INO-061  
Guedes, J. S.; ANA-021, ANA-089  
Guedes, P. H. C.; ELE-037  
Guerra, A. J. T.; AMB-035  
Guerra, R. B.; INO-013, INO-043, INO-077  
Guerra, W.; INO-036  
Guerreiro, M. C.; CAT-005  
Guha, S.; ELE-017  
Guido, R. V. C.; MED-039  
Guilhon, G. M. S. P.; BIO-011, BIO-014,  
QPN-013, QPN-046, QPN-106  
Guimaraes, A. S.; BIO-007  
Guimarães, A. S.; INO-018  
Guimarães, D. R.; QPN-060  
Guimarães, I. P. M.; AMB-037  
Guinati, B. G. S.; ANA-067  
Gulo, F.; ELE-007  
Gusevskaya, E. V.; CAT-002, CAT-018  
Gutierrez, E. D. P. M.; QPN-035  
Gutz, I. G. R. G.; ELE-030

## H

Haddad, P. S.; MAT-006  
Hallwass, F.; ORG-025  
Handoko, C. T.; ELE-007  
Hardt, J. C.; MAT-016  
Hartz, Z.; TEC-001  
Hashimoto, P. K.; CAT-030  
Haun, U. G.; CAT-032  
Hauser-Davis, R. A.; AMB-073  
Hayashi, M.; INO-021  
Heidemann, G. P.; AMB-025  
Heiden, G.; ORG-011  
Heleno, F. F.; ANA-001  
Helfer, G. A.; BEA-005  
Hellingner, H. R.; FIS-006  
Henn, A. S.; BEA-016  
Henriques, A. T.; QPN-042  
Henriques, R. R.; MAT-025  
Henriques, R. R.; MED-061  
Herbst, M. H.; ANA-090, INO-094  
Hernández Saravia, L. P.; ELE-008  
Herrera-Acevedo, C.; QPN-056  
Hespanhol, M. C.; FIS-015  
Hespanhol, M. C.; ANA-032, FIS-037  
Heying, R. S.; FIS-011  
Higgins, M. J.; MAT-028  
Higino, G. S. H.; ELE-004  
Hilário, F. F.; MED-022  
Hirata, F. T. H.; INO-033  
Hoehne, L.; BIO-008, QPN-018  
Hoeltz, M.; AMB-042  
Hoelz, L. V. B.; MED-030  
Holakoei, S.; MAT-100  
Honorato, J.; INO-034  
Honório, A. E.; QPN-066  
Honorio, K. M.; MED-009  
Honório, K. M.; MED-028, TEO-010  
Hottes, E.; ANA-090, INO-094  
Hottes, S.; INO-094  
Hsieh, Y. L.; MAT-066  
Huaman de La Cruz, A. R. H. L. C.;  
MAT-040  
Huamani, L. E. S. C.; INO-013, INO-043,  
INO-077  
Huang, M. N.; ORG-097  
Huang, Y.; AMB-048  
Huda, A.; ELE-007  
Hughes, D. L.; INO-041  
Hughes, D. L.; INO-091  
Humberto, J. L.; MED-022  
Husmann, S.; ELE-019, MAT-108  
Husson, P.; FIS-013

Iamamoto, Y.; FOT-011  
Idehara, A. H. S.; CAT-028  
Idemori, Y. M.; INO-079  
Ierick, I. F.; ANA-005  
Iglesias, B. A.; INO-049  
Ignácio, M. H.; INO-032  
Iha, O. K.; TEC-010

Imbernon, R. A. L.; QPN-011  
Immich, A. P. S.; MAT-045  
Inagaki, C. S.; MAT-029  
Inroga, F. A. D.; ELE-057  
Iop, G. D.; ANA-010  
Iorio, E. I. C.; MAT-032  
Ishikawa, R. L.; BEA-007  
Ishiki, H. M.; MED-062  
Islam, A.; INO-016  
Itabaiana, I. Jr.; CAT-008  
Itkes, M. P. M.; ELE-001

## J

Jafelicci Jr, M.; MAT-011  
Jafelicci Jr, M.; COL-001  
Jaimes, R. F. V. V. J.; ELE-061  
Jaiyesimi, O. A.; QPN-119  
Jambo, R. B. A.; FIS-018  
Janegitz, B. C.; ELE-001  
Januário, A. H.; ORG-006, QPN-057  
Januario, A. H.; QPN-058  
Januário, G. O.; ORG-039  
Jardim, G. A. M.; ORG-029  
Jasper, J. O.; QPN-109  
Jesus De, I. S.; ORG-077  
Jesus, I. C. G.; MED-043  
Jesus, N. A. M.; MAT-078  
Jimenez, G. C.; INO-009  
João, J. J.; AMB-040  
Jorge, M. C. O.; AMB-035  
Júdice, W. A. S.; MED-036  
Junior, A. C.; EDU-001  
Junior, A. M. M.; MAT-036  
Júnior, A. M.; INO-089  
Júnior, F. P. S.; MED-006  
Junior, H. C. S.; INO-026, INO-061  
Junior, I. I.; ORG-094  
Junior, J. C. C. da S.; ORG-032  
Junior, J. C. J.; MAT-112  
Júnior, J. G. S.; FIS-030  
Junior, J. S. C.; ORG-063  
Junior, L. P.; ANA-049  
Junior, M. G. O.; EDU-059  
Junior, S. A.; ORG-004  
Júnior, V. L.; TEC-005  
Junqueira, C. M.; COL-006  
Justo, O. R.; TEC-007

## K

Kadooca, L. N.; BIO-009  
Kai, J. K.; MAT-040  
Kai, J.; MAT-101  
Kalinke, L. H. G.; INO-087  
Kamogawa, M. Y.; ANA-025  
Kamogawa, M. Y.; ANA-082  
Karas, L. J.; ORG-014  
Kato, L.; MAT-087, QPN-019, QPN-036  
Kattela, S.; ORG-023  
Kauffmann, C.; QPN-018  
Kehrig, H. A.; AMB-073  
Keller, M.; AMB-056  
Kellett, A.; INO-069

Kellner Filho, L. C.; QPN-058  
Kerkhoff, J.; QPN-078  
Khan, S.; ANA-091  
Kich Severo, I.; FIS-008  
Killner, M. H. M.; ANA-029  
Kimura-Hara, S.; AMB-048  
Kioshima, E. S.; BIO-012  
Kist, L. T.; AMB-042  
Kitagawa, R. R.; QPN-002  
Klein, A. F. N. V.; AMB-069  
Klimpovuz, C. R.; MAT-002, MAT-096  
Klinkowski, B. H.; QPN-010  
Koiti, A.; ELE-003  
Komatsu, J. S.; MAT-111  
Kool, J.; BIO-004  
Koolen, H. H. F.; AMB-023, QPN-060, QPN-087  
Korn, M.; ANA-083  
Korn, M. Das G. A.; ANA-048  
Korn, M. G. A.; ANA-083  
Korn, M.; ANA-049, ANA-062  
Kotov, N. A.; FIS-035  
Krambrock, K.; FOT-002  
Krause, M.; AMB-031  
Krauser, M. O.; MAT-034, MAT-070  
Krettlie, A. U.; MED-010  
Kreutz, J. C.; COL-012  
Krieger, N.; ORG-111  
Krzyzaniak, S. R.; ANA-052  
Kubota, L. T.; ELE-049  
Kuca, K.; MED-033  
Kuhn, D.; BIO-008  
Kumar, A.; ELE-003  
Kummerle, A. E.; FOT-008, INO-024, INO-084  
Kunita, M. H.; MAT-114  
Kürmmerle, A. E.; MED-040  
Kuster, R. M.; QPN-037  
Kuster, R. M.; ANA-073  
Kutz, M. S.; ORG-010

## L

La Scalea, M. A.; ELE-032  
Labuto, G.; MAT-111  
Lacerda Jr, V.; TEC-007  
Lacerda Jr., V.; TEC-002  
Lacerda Junior, Vlj; ORG-102  
Lacerda, I. C. A.; BEA-015  
Lachter, E. R.; CAT-022  
Lachter, E. R.; QVE-009  
Lage, A. L. A.; INO-001, INO-018, INO-071, MAT-083  
Lage, G. L. C.; CAT-026  
Lage, T. C. A.; MED-047  
Lago, J. H. G.; MED-007, QPN-043, QPN-085, QPN-096, QPN-097, QPN-098, QPN-114, QPN-116  
Lago, J. H. G.; QPN-041, QPN-113  
Lago, R. M.; CAT-009  
Lago, R. M.; CAT-031, MAT-067  
Lang, E. S.; INO-007, INO-038, INO-078  
Lanznaster, M.; INO-023, INO-068, INO-090  
Lara, L. R. S.; MAT-091  
Laranjeira, G. B.; INO-089  
La-Scalea, M. A.; ELE-045  
Laurentiz, R. S.; MED-013, MED-059, ORG-056, ORG-059  
Lavall, R. L.; ELE-058, FIS-003  
Lavayen, V. G.; ELE-057  
Lavayen, V.; INO-092  
Lazarotto, G.; QVE-003  
Lazzarini, A. B.; INO-006  
Leal, A. C.; MED-051  
Leandro, K. C.; ANA-093, ANA-094, MAT-121, MAT-122  
Leão, R. A. C.; ORG-032, ORG-046  
Leão, R. A. C.; ORG-094  
Ledesma, C. M.; EDU-054  
Leite, A. C. R.; BIO-005  
Leite, C. M.; INO-100  
Leite, C. M.; INO-034, INO-074  
Leite, D. S.; AMB-046  
Leite, M. A. S.; EDU-032  
Leite, M. M.; MAT-048  
Leite, O. D.; AMB-013, ANA-033, ANA-082, BEA-002  
Lelo, R. V.; CAT-005  
Leme, L. B. P.; INO-091  
Lemes, L. O.; AMB-051  
Lemos, E. G. M.; AMB-058  
Lemos, L. R.; AMB-064  
Lemos, L. S.; AMB-073  
Lemos, P. S.; MAT-126  
Lemos, T. L. G.; ORG-110, QPN-055, QPN-072  
Lencina Filho, P. S. D.; QVE-003  
Lenz, G. F.; ANA-085  
Leoncio, M. S.; MED-052  
Leonel, T. F.; AMB-058  
Lepri, F. G.; ANA-047  
Leseux, E. J.; QVE-005  
Lessa, E. F.; MAT-055  
Li, Z.; FIS-017  
Libardi, V. M.; ANA-001  
Liberato, M. S.; MAT-050  
Liesen, A. P.; QPN-045  
Lima da Silva, T. L. S.; ORG-074  
Lima De, J. L.; QPN-125  
Lima De, S. P.; CAT-001  
Lima De, V. A.; BEA-001  
Lima Junior, R. O.; MAT-071  
Lima, A. C. S.; QPN-034  
Lima, A. D. S.; ANA-022  
Lima, A. M. F.; MAT-036, MAT-053, MAT-077  
Lima, A. N.; MED-009  
Lima, C. D.; CAT-025  
Lima, C. H.; MED-053  
Lima, D. J. B.; QPN-104  
Lima, D. R.; QPN-022  
Lima, E. M.; QPN-068  
Lima, E. O.; ORG-097  
Lima, G. C.; ANA-095  
Lima, G. F.; ANA-064  
Lima, G. L. M.; EDU-022  
Lima, H. G.; MED-055  
Lima, H. R. P.; QPN-094

Lima, I. P.; ANA-011  
 Lima, J. A. M.; QPN-017  
 Lima, L. F.; MAT-029  
 Lima, L. F.; MAT-100  
 Lima, L. M. L.; MED-015  
 Lima, L. M.; INO-089  
 Lima, L. S.; FOT-010  
 Lima, L. V. C.; TEO-006  
 Lima, M. A.; INO-040, INO-075  
 Lima, M. C. A.; MED-032  
 Lima, M. F. O.; ORG-087  
 Lima, M. F.; INO-036, ORG-067  
 Lima, M. J. A.; ANA-025  
 Lima, M. J. A.; ANA-026  
 Lima, M. N. N.; MED-002  
 Lima, MLL; MED-037  
 Lima, P. S. V.; ORG-097  
 Lima, R. S.; MED-045  
 Lima, S. A. M.; MAT-088  
 Lima, S. M.; ORG-049  
 Lima, S. M.; ORG-051  
 Lima, S. P.; MAT-035  
 Lima, T. A.; FIS-017  
 Lima, T. R. Q.; EDU-030  
 Lima, T. S.; ELE-011, MED-032  
 Lima, W. P.; ORG-052  
 Lima-Neto, P.; ELE-020, ELE-059  
 Linardi, M.; CAT-014  
 Linck, Y. G.; MAT-020  
 Linhares, G. T.; AMB-066  
 Linhares, R. E. C.; MED-035  
 Linington, R. G.; QPN-061  
 Lino, B.; MAT-009  
 Lins, P. M.; ANA-074  
 Lira, P. H. A.; EDU-021, FIS-001  
 Lira, R. K. S.; CAT-008  
 Lobato, C. C.; MED-016  
 Lobato, G. M. M.; MAT-031  
 Lobo, F. A.; AMB-063, AMB-072  
 Lobo-Junior, E. O.; ANA-066  
 Loh, W.; FIS-027  
 Lohmann, L. G.; QPN-044  
 Loiola, A. R.; MAT-047  
 Lombardi, K. C.; AMB-033  
 Londero, V. S.; QPN-043  
 Longo Jr., L. S.; ORG-069, ORG-080  
 Longo, E.; MAT-126  
 Lopes Coriolano, D. L. C.; ANA-036  
 Lopes Jr., M. A. A.; MED-061  
 Lopes Junior, M. L.; BIO-011, BIO-014  
 Lopes, B. H. S.; EDU-006  
 Lopes, C. T.; BEA-007  
 Lopes, C. T.; ANA-078  
 Lopes, C. T.; BEA-009  
 Lopes, D. S.; INO-058  
 Lopes, F. J. F.; QPN-019  
 Lopes, J. C. D.; BIO-009  
 Lopes, J. F.; TEO-007  
 Lopes, L. C.; MAT-123  
 Lopes, L. G. F.; INO-088  
 Lopes, L. M. X.; QPN-077  
 Lopes, M. T. P.; INO-016  
 Lopes, N. P.; QPN-032

Lopes, N. P.; QPN-061  
 Lopes, P. A. L.; FOT-004  
 Lopes, P. S.; INO-066  
 Lopes, R. P. M.; AMB-076  
 Lopez, N.; CAT-016  
 Lorenzo, V. P.; QPN-015  
 Losito, D. W.; INO-066  
 Lougon, D. J. F.; ELE-002, ELE-025  
 Lourencetti, C.; EDU-051  
 Lourenço, M. P.; TEO-009  
 Lourenço, V. S.; CAT-004  
 Louro, G. M.; QPN-016  
 Louro, G. M.; AMB-075, QPN-004  
 Lousa, P. H. F.; ORG-021  
 Lovera, D. C. V.; BEA-003  
 Lu, T. K.; BIO-010  
 Lubert, J.; QPN-002  
 Lucas, E. F.; MAT-064  
 Lucas, E. M. F.; QPN-102  
 Luccas, P. O.; ANA-064, ANA-095  
 Lucchetti, P.; INO-035  
 Lucena, G. N.; COL-001  
 Lucilha, A. C.; MAT-018  
 Lüdtke, D. S.; ORG-034  
 Ludwig, F. P.; ORG-050  
 Luna, M. A.; ANA-091  
 Lustosa, L. H.; AMB-033  
 Luz, D. A.; QPN-037  
 Luz, D. A.; ANA-073  
 Luz, R. C.; ELE-049

**M**

Macedo Jr., F. C.; MED-019  
 Machado, A. B.; ANA-071  
 Machado, A. E. H.; FOT-009, TEO-011  
 Machado, A. M. R.; QPN-102  
 Machado, A. R. T.; QPN-075  
 Machado, B. A.; BEA-019  
 Machado, B. P.; INO-069  
 Machado, D.; INO-080  
 Machado, G. S.; INO-051  
 Machado, G.; MAT-102  
 Machado, L. A.; ORG-058  
 Machado, L. H. C.; ORG-001  
 Machado, L. L.; QPN-055, QPN-072  
 Machado, M. C.; EDU-003  
 Machado, M. M.; MAT-005  
 Machado, P.; MED-056, MED-060  
 Machado, S. P.; MAT-013  
 Machado, V. G.; FIS-011  
 Machado, W. T. V.; AMB-029  
 Machulek Jr., A.; FIS-012  
 Maciel, C. A. O.; MED-025  
 Maciel, J. W. O.; INO-087  
 Maciel, T. M. S.; MED-047  
 Maciel, V. M. B.; MAT-033  
 Madalena, L. S.; EDU-061  
 Madari, B. E.; ANA-061  
 Madeira, T. B.; BEA-007  
 Madeira, T. B.; ANA-078, BEA-009  
 Madera, K. S. M.; QPN-068  
 Madriaga, V. G. C.; MAT-039

Madureira, J.; INO-035  
 Magalhães, C. E. C.; MAT-116  
 Magalhães, J. L.; TEC-001  
 Magalhães, L. G.; MED-005  
 Magalhães, L. G.; MED-027, MED-048, MED-059  
 Magalhães, V. S.; ANA-011  
 Mageste, A. B.; AMB-064, COL-006, COL-011, FIS-021  
 Mageste, A. B.; FIS-022  
 Mahmoud, T. S.; QPN-031  
 Maia, C. E. B.; ORG-060  
 Maia, D. J.; EDU-027  
 Maia, F. L.; MED-053  
 Maia, G. A. R.; FIS-025  
 Maia, G.; INO-089  
 Maia, L. F. P. G.; AMB-002  
 Maia, R. A.; QVE-007  
 Maia, R. A.; QVE-002, QVE-008  
 Maldaner, A. O.; ANA-032  
 Maldaner, L.; ANA-030  
 Malheiros, R. O.; INO-018  
 Malta, L. F. B.; MAT-007, MAT-057  
 Malta, M.; MAT-095, MAT-113  
 Malta, O. L.; INO-085  
 Malta, V. R. S.; FIS-001  
 Maltarollo, V. G.; MED-011, MED-049, MED-057  
 Malvestiti, J.; AMB-050  
 Mambrini, R. V.; CAT-038, MAT-091  
 Mandelli, D.; CAT-006  
 Mandova, T.; QPN-123  
 Manduca, B.; AMB-052  
 Mangrich, A. S.; MAT-044  
 Mantovani, A. C.; ORG-034  
 Marçal, L. L.; ORG-036  
 Marcelo, C. R.; AMB-055, EDU-041  
 Marcelo, L. R.; AMB-055, AMB-068, EDU-002  
 Marchi, M. I.; QPN-018  
 Marchi, M. R. R.; ANA-019  
 Marchi, R. C.; FOT-003  
 Marchi, R. C.; FOT-014  
 Marciano, A. C.; INO-071  
 Março, P. H.; BEA-002  
 Marcondes, M. E. R.; EDU-039  
 Marcorini, L. F. B.; QPN-033  
 Maria, D. A.; ORG-108  
 Mariano Junior, D. R.; ANA-008  
 Mariano, L. S.; EST-001  
 Marinho, A. M. R.; BIO-002, QPN-065  
 Marinho, M. V.; EST-001, INO-029, INO-081  
 Marinho, O. R.; ANA-026  
 Marinho, P. S. B.; BIO-002, QPN-065  
 Marinho, W.; ANA-072  
 Marques, A. L. B.; ELE-038  
 Marques, F. F. C.; ANA-024  
 Marques, G. E. C.; QPN-025, QPN-053  
 Marques, G. L.; ELE-047  
 Marques, J. A.; INO-031  
 Marques, J. C.; QPN-053  
 Marques, L.; CAT-036  
 Marques, M. F. V.; CAT-035, MAT-042

Marques, M. J.; MED-036, QPN-032  
 Marques, M. V.; ORG-062  
 Marques, R. F. C.; COL-001, EDU-005, MAT-011  
 Marson, G. A.; EDU-007  
 Martinelli, L. K. B.; ORG-075  
 Martínez, O. C.; QPN-068  
 Martini, F. A.; AMB-042  
 Martins, A. R.; CAT-001  
 Martins, A. R.; MAT-035  
 Martins, B. S.; ORG-038  
 Martins, C. H. G.; QPN-006, QPN-008, QPN-057  
 Martins, C. T.; MED-005  
 Martins, C. T.; MED-048  
 Martins, D. C. Da. S.; MAT-083  
 Martins, D. C. S.; INO-001, INO-005, INO-032, INO-071, INO-079  
 Martins, E. S.; EDU-024  
 Martins, F. T.; INO-029, INO-081, INO-087  
 Martins, G. B. C.; CAT-020, TEC-008, TEC-010  
 Martins, G. F. L.; ANA-095  
 Martins, G. O.; MAT-036  
 Martins, G. S.; INO-063  
 Martins, G. W.; INO-045  
 Martins, I. V.; MAT-008  
 Martins, J. B. L.; FIS-023  
 Martins, J. P. A.; FIS-007, MED-066  
 Martins, M. C. M. R.; MED-028  
 Martins, M. F.; EDU-019, MAT-064  
 Martins, P. L.; FIS-022  
 Martins, P. S.; MAT-067  
 Martins, R. C. C.; QPN-038  
 Martins, T. G.; ANA-055  
 Martins, T. S.; INO-066  
 Martins, V. E. P.; EDU-036  
 Martins, V. E. X.; QPN-008  
 Martins, V. G.; ANA-006  
 Martins, V. H. N.; MAT-076  
 Maruyama, J. A.; EDU-005  
 Maruyama, S. A.; BEA-006  
 Marzorati, L.; ORG-008  
 Masia, C.; MED-047  
 Mass, E. B.; MED-005  
 Mass, E. B.; MED-048  
 Mateus, A. L.; EDU-026  
 Mathias, L. S.; MED-053  
 Matos, C. F.; MAT-009  
 Matos, C. R. M. O.; INO-027  
 Matos, G. F.; ORG-091  
 Matos, J. S.; ORG-042  
 Matos, R. L. N.; QPN-023  
 Matos, R. P.; ANA-034, ANA-035  
 Matos, R.; ELE-053  
 Matsushima, J. E.; ORG-095  
 Matsushita, M.; BEA-002  
 Mattos, G. J.; ELE-050  
 Mattos, R. R.; ORG-076  
 Maturi, F. E.; MAT-080  
 Maulide, N.; ORG-034  
 Mayumi, L.; AMB-024  
 Mazali, I. O.; ANA-053, INO-008, INO-055, MAT-014, MAT-027, MAT-030, MAT-089, MAT-097  
 Mazalli, A. V. G.; BEA-009  
 Mcfarlane, J.; QPN-061  
 Medeiros Junior, I.; ANA-066  
 Medeiros, A. R.; MED-029  
 Medeiros, F. C.; ELE-042  
 Medeiros, L. S.; QPN-086  
 Medeiros, M. E.; INO-022, INO-044, INO-056, MAT-007  
 Medeiros, M. E.; INO-067  
 Medeiros, R. A.; ELE-053  
 Medeiros, S. R. A.; QPN-034  
 Medeiros, T. A.; AMB-075  
 Medina, R. P.; QPN-066, QPN-067  
 Megid, J.; ELE-024  
 Meier, M. M.; EDU-016, FIS-038, FIS-039  
 Meira, A. C. R.; COL-012, MAT-074  
 Meira, V. N.; ELE-025  
 Meireles, A. M.; INO-005, INO-018, INO-079  
 Meireles, G. K. Q.; EDU-063  
 Melchert, W. R.; ANA-028  
 Mello, J. E.; ANA-051  
 Mello, L. S.; ORG-009  
 Mello, M. V. P.; INO-023  
 Mello, M. V. P.; INO-090  
 Mello, P. A.; ANA-010, ANA-054  
 Mello, P. A.; ANA-052  
 Melo Cardozo, I. M.; BEA-013  
 Melo De, E. B.; MED-066  
 Melo, A. L. M.; QPN-053  
 Melo, B. C. L.; ORG-106  
 Melo, B. C.; MAT-098  
 Melo, B. C.; MAT-116  
 Melo, C. E. A.; FIS-011  
 Melo, D. J.; QPN-083  
 Melo, D. Q.; AMB-017, ANA-075, ANA-079  
 Melo, E. B.; MED-056  
 Melo, G. R.; AMB-001  
 Melo, I. K. L.; FIS-030  
 Melo, J. C. S.; EDU-056  
 Melo, J. O. F.; BEA-015  
 Melo, M. E.; MED-023  
 Melo, N. O.; QPN-075  
 Melo, U. Z.; ORG-031  
 Melo, V. F.; MAT-111  
 Mendes, A. L. G.; ANA-010  
 Mendes, A. P. S.; MAT-035  
 Mendes, B. H. M.; MED-021  
 Mendes, C.; COL-009  
 Mendes, F. M. L.; TEC-001  
 Mendes, L. C.; MED-045  
 Mendes, L. F.; ELE-013, ELE-022, ELE-046  
 Mendes, T P P; ANA-020  
 Mendivelso, E. A. C.; MAT-101  
 Mendonça, D. M. H.; ANA-065  
 Mendonça, F. G.; MAT-067  
 Mendonça, I. C.; QPN-066  
 Mendonça, J. G. P.; ORG-068  
 Mendonça, J. S.; MED-010  
 Mendonça, L. F. M.; ANA-095  
 Mendonça, M. L. T. G.; AMB-035, EDU-030  
 Mendonça, P. X.; EDU-054  
 Meneghetti, L.; CAT-020  
 Meneghetti, M. R.; CAT-010  
 Menegon, E. A. S.; MAT-065  
 Menezes da Silva, V. H.; ORG-098  
 Menezes, E. A.; EDU-060  
 Menezes, G. da G.; AMB-019  
 Menezes, I. R. S.; MAT-067  
 Menezes, P. H.; ORG-024  
 Menna-Barreto, R. F. S.; ORG-029  
 Menozzi, C. A. C.; MED-008  
 Mercury, J. M. R.; AMB-060  
 Mesko, M. F.; ANA-050, ANA-051, BEA-016  
 Mesquita, B. M.; ORG-110  
 Mesquita, I. S.; AMB-065  
 Mesquita, I. S.; QVE-013  
 Mesquita, L. M.; EDU-030  
 Mesquita, N. A. S.; EDU-040  
 Mesquita, N. A. S.; EDU-018, EDU-032  
 Mesquita, N. A.; EDU-044  
 Messa, L. L.; MAT-119  
 Metwally, K.; MED-038  
 Meurer, E. C.; QPN-115  
 Meurer, L.; INO-072  
 Meyer, W. R.; TEC-011  
 Mezalira, D. Z.; CAT-005  
 Michalik, D.; ORG-108  
 Michel, S.; QPN-123  
 Michelutti, K. B.; ANA-086  
 Miguel, E. L. M.; ORG-067  
 Miguel, T.; FIS-028  
 Mihos, F. C. S. S.; ELE-037  
 Mikhralieva, A.; MAT-012  
 Milagre, C. D. F.; ORG-001  
 Milagre, H. M. S.; ORG-039  
 Milani, J. L. S.; INO-005, INO-014, INO-053  
 Milhomem, K. P.; AMB-043  
 Milinsk, M. C.; ANA-085  
 Militão, G. C. G.; QPN-014  
 Millan, R. D. S.; AMB-044  
 Millán, R. D. S.; AMB-046  
 Minatti, E.; COL-009  
 Miranda, A. C. G.; EDU-012  
 Miranda, F. da S.; FOT-012  
 Miranda, F. S.; FOT-008  
 Miranda, G. M.; TEO-004  
 Miranda, J. L.; AMB-038, CAT-023  
 Miranda, L. S. M.; ORG-032, ORG-040, ORG-046, ORG-078  
 Miranda, P. B.; FIS-016  
 Miranda, R. C. C.; ELE-034, TEO-003  
 Missina, J. M.; INO-091  
 Mittersteiner, M.; FIS-020  
 Moares, D. A.; MAT-061  
 Módenes, A. N.; MAT-074  
 Modesto, H.; MAT-111  
 Modolo, L.; MED-047  
 Mogili, V.; MAT-061  
 Mohallem, N. D. S.; MAT-083  
 Mohallen, N. D. S.; MAT-037  
 Moher, P.; MAT-027  
 Molin, F.; ORG-010, ORG-082  
 Molina, E. F.; MAT-078

Molinari, J.; MAT-117  
 Mombrini, L. M.; CAT-023  
 Monção Filho, E. S.; QPN-104  
 Monego, M. L. C. D.; AMB-024  
 Montagner, C. C.; AMB-048, AMB-080  
 Monte, J. P.; MAT-093  
 Monteiro, A. L. B.; QPN-080  
 Monteiro, A. L.; CAT-020  
 Monteiro, A. O.; QPN-014  
 Monteiro, F.; AMB-073  
 Monteiro, G. C.; ANA-005  
 Monteiro, M. I. C.; AMB-029  
 Monteiro, V. E. M. M.; MAT-043  
 Montenegro, M. A.; TEC-010  
 Montenegro, R. C.; ORG-092  
 Montero, P. J. E.; ELE-043  
 Monti, G. A.; MAT-020  
 Montini, A. C. S.; AMB-054  
 Mora, A.; FIS-020  
 Moraes, A. C.; EDU-023  
 Moraes, F. C.; ORG-079, QPN-053  
 Moraes, L. D.; AMB-076  
 Moraes, M. C.; ORG-075  
 Moraes, M. I.; QPN-055, QPN-072  
 Moraes, M. M.; QPN-045  
 Moraes, M. P.; EDU-037  
 Morais, A. A.; AMB-058  
 Morais, C. C.; INO-062  
 Morais, D. R.; ANA-017  
 Morais, K. C.; AMB-065  
 Morais, K. C.; QVE-013  
 Morais, N. K.; QPN-001  
 Morais, P. A. O.; ANA-061  
 Morais, P. B.; QPN-031  
 Morais, S. A. L.; QPN-006, QPN-008  
 Morais, S. A.; AMB-070, QPN-030  
 Morais, T. R.; MED-007  
 Morais, W. S.; QVE-002  
 Morais, W. S.; QVE-007, QVE-008  
 Moralles, V. A.; MAT-070  
 Mora-Seró, I.; INO-101  
 Moreira, A. B.; AMB-030  
 Moreira, A. B.; AMB-078  
 Moreira, A. F. S.; CAT-022  
 Moreira, B. C. T.; EDU-008, EDU-017,  
 EDU-065  
 Moreira, C. S.; ORG-092  
 Moreira, D. de L.; ANA-015  
 Moreira, D. L.; QPN-009  
 Moreira, D. N.; EDU-045, QVE-002,  
 QVE-006  
 Moreira, D. N.; QVE-007, QVE-008  
 Moreira, G. M.; INO-035  
 Moreira, I.; AMB-073  
 Moreira, K. S.; FIS-014, FIS-031  
 Moreira, L. F. P. P.; ELE-023  
 Moreira, M. E. C.; QPN-110  
 Moreira, M. P.; QPN-019  
 Moreira, R. A.; QPN-105  
 Moreira, R. V.; MAT-082  
 Moretto, C.; AMB-058  
 Morgon, N. H.; FIS-010, TEO-006  
 Morro, F. G.; AMB-032  
 Mota, C. J. A.; CAT-022  
 Mota, F. D.; INO-040  
 Mota, Y. C. C.; MED-047  
 Motta, G. V.; TEC-009  
 Motta, H. B.; MAT-012  
 Mottin, M.; MED-002  
 Moura, A. K. S.; QPN-034  
 Moura, A. R.; EDU-022  
 Moura, F. A.; ELE-049  
 Moura, F. S.; INO-067  
 Moura, I. M. R.; ORG-024  
 Moura, J. F.; AMB-073  
 Moura, L. C. M.; EDU-052  
 Moura, L. C.; AMB-038  
 Moura, R. A.; MAT-086  
 Moura, R. G.; ORG-008  
 Moura, S.; ANA-031, ANA-077, INO-019,  
 ORG-073  
 Moura, V. M.; QPN-115  
 Moya, H. D.; ANA-059, BEA-010, BEA-012  
 Mozeto, A. A.; AMB-053  
 Munaro, A. P.; MAT-117  
 Munaro, M.; MAT-117  
 Munhos, R. L.; ELE-015  
 Muniz, A. S.; MAT-046  
 Muniz, E. C.; MAT-004, MAT-114  
 Munoz, R. A. A.; ELE-052  
 Munoz, R. A. A.; ANA-065, ELE-014  
 Muñoz, R. A. A.; ELE-035  
 Muñoz-Sanjosed, V.; INO-101  
 Murakami, C.; QPN-097, QPN-114  
 Murie, V. E.; ORG-070  
 Murta, S. M. F.; MED-008  
 Mutti, A. M. G.; MAT-088

## N

Naal, Z.; ELE-048, ELE-060  
 Naccache, M. F. N.; COL-008  
 Nacif, J. E.; ANA-013  
 Nagao, R.; ELE-034, ELE-054, TEO-003  
 Nagaoka, D. A.; MAT-005, MAT-104  
 Nakabashi, M.; MED-039  
 Nakagaki, S.; INO-051  
 Nakamura, C. V.; MED-052  
 Nakamura, T. C.; ANA-012, ANA-014,  
 BEA-011  
 Nalepa, K. T.; EDU-033  
 Namikuchi, E. A.; ANA-053  
 Nandenha, J.; ELE-005, ELE-031  
 Naozuka, J.; AMB-004  
 Napoli Barbato, C. N. B.; INO-102  
 Nascentes, C. C.; AMB-016, ANA-034,  
 ANA-035, ORG-096  
 Nascimento, B. N.; EDU-052  
 Nascimento, B. O.; QPN-039  
 Nascimento, E. A.; QPN-006, QPN-008  
 Nascimento, E. D.; BIO-013  
 Nascimento, G. N. L.; QPN-031  
 Nascimento, I. R.; QPN-077  
 Nascimento, J. S.; QPN-059  
 Nascimento, L. A.; MAT-057  
 Nascimento, L. D.; QPN-013  
 Nascimento, L. L. Q.; FIS-005, FIS-019  
 Nascimento, M. A.; ORG-094  
 Nascimento, M. M.; ANA-009  
 Nascimento, M. S.; QPN-062  
 Nascimento, N. F. C.; ANA-027  
 Nascimento, N. L.; MED-040  
 Nascimento, N. R. F.; INO-088  
 Nascimento, O. R.; INO-004  
 Nascimento, P. G. G.; ORG-110  
 Nascimento, R. S.; AMB-060  
 Nascimento, S. L. F.; MED-050  
 Nascimento, V.; MAT-039  
 Nascimento-Júnior, N. M.; MED-044  
 Nascimento-Júnior, N. M.; MED-063,  
 MED-065  
 Nascimentov, V. M. S.; QPN-062  
 Nassar, E. J.; INO-017, INO-054, MAT-010  
 Nasser, R. O.; MAT-112  
 Navarro-Vázquez, A.; ORG-025  
 Nazarkovskiy, M.; MED-014  
 Neiva, E. G. C.; MAT-125  
 Nepovimova, E.; MED-033  
 Neres, M. E. S.; EDU-006  
 Neri, C. R.; FOT-011  
 Neri, J. A. M.; AMB-047  
 Neris, A. M.; ORG-097  
 Neto, A. C.; TEC-002, TEC-005  
 Neto, A. O.; ELE-005, ELE-031  
 Neto, ACN; ORG-102  
 Neto, F. J.; QPN-082  
 Neto, J. F.; QPN-080  
 Neto, J. M. R.; MED-006  
 Neto, L. S.; ORG-096  
 Neto, P. R. C.; FIS-008  
 Netto-Ferreira, J. C.; FOT-009  
 Neves, A. A.; ANA-001  
 Neves, A. P.; INO-024, INO-084  
 Neves, B. J.; MED-002, MED-046  
 Neves, C. G.; ELE-027  
 Neves, M. F. F.; MAT-029  
 Neves, M. G. P. M. S.; ORG-088  
 Nhuyen, H. H.; INO-038  
 Nicacio, A. E.; ANA-030  
 Nicolau, C. L.; QPN-016  
 Nicolau, C. L.; AMB-069, AMB-075,  
 QPN-004  
 Nicoletti, C. R.; FIS-011  
 Nicolini, J.; AMB-059, FIS-026  
 Nicolini, K. P.; AMB-059, FIS-026  
 Nielsen, D. U.; ORG-019  
 Nishimura, R. H. V.; ORG-070  
 Nixdorf, S. L.; BEA-007  
 Nixdorf, S. L.; ANA-078, BEA-009  
 Nóbrega, J. A.; ANA-037  
 Nogueira, H. P.; MAT-063  
 Nogueira, P. F.; MED-036  
 Nogueira, T. L. C.; MED-064  
 Nogueira, T. L. C.; MED-061  
 Nogueira, T.; AMB-008  
 Nome, F.; ORG-067  
 Nonaka, L. H.; MAT-015  
 Nossol, A. B. S.; AMB-079  
 Nossol, E.; ELE-014

Nossol, Edson; ELE-052  
Novacoski, E. J.; AMB-033  
Novaes, A. B. S. V.; EDU-043  
Novaes, L. F. T.; ORG-083  
Novais de Abreu, A.; MAT-052  
Novelli, A. P.; QPN-023  
Novo, D. L. R.; ANA-051  
Nowacki, B.; MAT-079  
Nucci-Martins, C.; MED-003  
Nuncira, J. A. V.; MAT-043  
Nunes, A. V. J.; ORG-013  
Nunes, C. da Silva; BIO-007  
Nunes, C. R. de O.; AMB-019  
Nunes, C. S.; MED-047  
Nunes, D. S.; ORG-011  
Nunes, E. A.; QPN-096  
Nunes, F. M.; QPN-055, QPN-072  
Nunes, G. G.; INO-091  
Nunes, J. T. L.; AMB-017, ANA-075,  
ANA-079  
Nunes, M. C.; FIS-019  
Nunes, M. L.; MAT-055  
Nunes, R. C.; EDU-015  
Nunes, R. J.; COL-009, MED-003  
Nunes, R. R.; MED-022  
Nuñez, W. E. R.; QPN-059

## O

Ogava, L. E.; AMB-013  
Oliboni, R. S.; FIS-011  
Oliva, A. D.; EDU-028  
Oliva, G.; MED-004, MED-027, MED-039  
Oliveira De, C. M. A.; QPN-019  
Oliveira De, D. F.; AMB-047  
Oliveira De, M. S.; ORG-011  
Oliveira De, S. J.; EDU-024  
Oliveira Jr, V. X.; BIO-010  
Oliveira, A. A.; INO-077  
Oliveira, A. C. S.; ANA-024  
Oliveira, A. F.; ANA-001, MED-056  
Oliveira, A. H. B.; AMB-017  
Oliveira, A. I. T.; QPN-031  
Oliveira, A. L.; BEA-017  
Oliveira, A. R. M.; FIS-019  
Oliveira, A. R. S.; MAT-046  
Oliveira, A. S.; ANA-072, BEA-005  
Oliveira, A. S.; MED-003  
Oliveira, A. V. B.; MAT-094  
Oliveira, A. V. T.; QPN-047  
Oliveira, A.; QPN-006, QPN-064  
Oliveira, B. G. F.; TEC-003  
Oliveira, C. J.; ORG-058  
Oliveira, C. M. A.; MAT-087  
Oliveira, D. C. B.; ORG-057  
Oliveira, D. C. B.; EDU-042  
Oliveira, D. H.; INO-037  
Oliveira, E. A.; QPN-114  
Oliveira, F. P. S.; AMB-017  
Oliveira, G. G.; ELE-001  
Oliveira, G. M.; INO-086  
Oliveira, G. V.; QVE-005  
Oliveira, H. F. S.; INO-064  
Oliveira, I. N.; INO-062  
Oliveira, I. R.; ORG-110  
Oliveira, J. B.; QPN-102  
Oliveira, J. F.; MED-032  
Oliveira, J. M. D.; EDU-006  
Oliveira, J.; QPN-013  
Oliveira, K. M.; INO-034  
Oliveira, K. T. DOS. S. DE; ANA-057  
Oliveira, L. A.; EDU-022  
Oliveira, L. B.; ANA-059  
Oliveira, L. C. de; AMB-062  
Oliveira, L. C. S.; AMB-069  
Oliveira, L. C.; AMB-036  
Oliveira, L. H.; MAT-014  
Oliveira, L. L.; INO-024  
Oliveira, L. N.; MED-053  
Oliveira, L. P.; INO-036  
Oliveira, M. A. L.; ANA-003  
Oliveira, M. B.; EDU-020  
Oliveira, M. D. A.; EDU-048, ORG-089  
Oliveira, M. D. A.; QPN-034  
Oliveira, M. D. D. A.; ORG-063  
Oliveira, M. K. S.; INO-042  
Oliveira, M. M.; MAT-002, MAT-029,  
MAT-072  
Oliveira, M. M.; MAT-096  
Oliveira, M. S.; EDU-025, EDU-029  
Oliveira, P. C. O.; AMB-074  
Oliveira, P. H. R.; ORG-022  
Oliveira, P. M.; CAT-026  
Oliveira, R. B.; MED-049  
Oliveira, R. C.; ELE-020  
Oliveira, R. F. de; ANA-062  
Oliveira, R. F.; ORG-097  
Oliveira, R. N.; QPN-073  
Oliveira, S. C.; FIS-012  
Oliveira, S. J.; EDU-036, EDU-060  
Oliveira, T. C. C.; MED-064  
Oliveira, T. S. A.; EDU-015  
Oliveira, V. G.; ORG-087  
Oliveira, V. H. A.; ELE-031  
Oliveira, W. A.; ORG-064  
Oliveira, W. V. O.; ELE-004  
Oliveira, W. X. C.; INO-025  
Oliveira, W. X. C.; ORG-029  
Oliveira, Y. F.; QPN-024  
Oliveira-Silva, D.; AMB-021  
Omori, A. T.; QVE-011  
Orlandi, M. O.; ELE-007  
Orlandin, G.; ANA-045  
Orlando, B. H. S. L.; ORG-057  
Orlando, R. M.; AMB-044, AMB-046,  
AMB-061, AMB-064  
Orsato, A.; MED-035  
Ortega, P. F. R.; ELE-058, FIS-003  
Orth, E. S.; CAT-013, FIS-006, FIS-019,  
MAT-073, QVE-004  
Ortiz, F. J. A.; EDU-059  
Ortiz, R. S.; ANA-031  
Ortiz-Nuñez, Y.; QPN-092  
Osti, R. Z.; QVE-003  
Otero, D. M.; INO-034  
Ovalle, S.; MAT-106

Owens, R.; MED-046  
Oyhenart, J. A.; QPN-021

## P

Pacheco, C. M.; INO-023  
Pacheco, J. S.; ORG-087  
Pacheco, W. F.; ANA-004  
Pachel, B.; FOT-014  
Padilla-Chavarría, H. I. P. C.; MAT-040  
Padilla-Chavarría, H. I.; MAT-101  
Paesano Júnior, A.; INO-077  
Pagnocca, F. C.; QPN-070  
Paim, A. P. S.; ANA-037  
Paiva, F. F.; INO-016  
Paiva, M. F.; CAT-034  
Paiva, R. O.; MED-020  
Paixão, D. A.; INO-036  
Paixão, I. C. N. P.; ORG-085  
Paixão, I. C. P.; ORG-106  
Paixão, N. M.; INO-048  
Paixão, T. R. L. C. da; ELE-013  
Paixão, T. R. L. C. P.; ELE-030  
Paixão, T. R. L. C.; ELE-022, ELE-046  
Palanch, M. F.; ANA-058  
Palma, D. Y. R.; ORG-008  
Palomino-Salcedo, D. L.; MED-027  
Pamphile-Adrian, A. J.; CAT-017  
Pamphile-Adrián, A. J.; CAT-033  
Panciera, M.; MED-039  
Pantaleão, S. Q.; MED-009, MED-028  
Papa, B. L.; ORG-027  
Parente, T. P.; CAT-035  
Parize, A. L.; COL-009  
Parreira, L. S.; ELE-005, ELE-031  
Paschoal, F. M. M.; AMB-030  
Paschoalino, V. T.; ORG-031  
Paschoalino, L. A.; MAT-004  
Pasin, R. O.; EDU-059, ELE-041  
Pasquini, C.; BEA-014  
Passarelli, C.; ORG-100, ORG-108  
Passero, L. F. D.; QPN-116  
Passos, F. B.; CAT-017, CAT-033  
Pastorini, L. H.; QPN-109  
Pastre, J. C.; ORG-083  
Pastrello, B.; ORG-026  
Pastrían, F. A. C.; MAT-105  
Patrício, P. R.; ANA-032  
Paula De, E. L.; ORG-041  
Paula, F. H. M.; QVE-009  
Paula, F. R.; MED-056  
Paula, R. C. M.; INO-042  
Paula, R. R.; AMB-065  
Paula, R. R.; QVE-013  
Pauletti, P. M.; ORG-006, QPN-057  
Pauli, I.; MED-004  
Paulino, J. F.; ANA-038  
Paulino-Lima, I. G.; AMB-071  
Paulo, B. S.; QPN-069  
Paulo, T. de F.; INO-002  
Paumgarten, F. J. R.; ANA-015  
Pavan, F. R.; INO-036, MED-034  
Pavanelli, W. R.; MED-019

Paz, E. C.; ELE-011, ELE-016  
 Paz, I. A.; INO-088  
 Pazinato, J.; INO-095, INO-099  
 Pazinato, M. S.; EDU-012  
 Pazini, F.; MED-050  
 Pedraça, P.; QPN-026  
 Pedrosa, L. F.; MAT-099, ORG-058  
 Pedrosa, S. C. B. L.; MED-032  
 Pedroso, E. F.; INO-003, INO-025  
 Pedroso, N.; ORG-100  
 Pedroso, R. C. N.; ORG-006, QPN-058  
 Pedrotti, J. J. P.; ELE-004  
 Pedrotti, J. J. P.; MAT-032  
 Pedrozo, E. C.; EDU-052  
 Peixoto, B. S.; AMB-074  
 Peixoto, M. A.; QPN-109  
 Peixoto, M. A.; QPN-115  
 Pelin, J. N. B. D.; MAT-118  
 Pena, G. B. O.; EDU-040  
 Penco, V. S. N.; EDU-025, EDU-029  
 Penido, J. A.; COL-006, COL-011, FIS-021  
 Penido, J. A.; FIS-022  
 Peralva, C. M. S.; MED-038  
 Peralva, V. N.; ANA-083  
 Perdigão, L. T.; CAT-009  
 Perdomo, R. T.; QPN-027  
 Perecim, G. P.; ORG-033  
 Perecin, C. J.; COL-007  
 Pereira Cabrera, P. C.; QPN-012  
 Pereira Netto, A. D.; AMB-011, ANA-004  
 Pereira, A. F.; MAT-072  
 Pereira, A. K. L. S.; QPN-055, QPN-072  
 Pereira, A. K.; QPN-070  
 Pereira, A. L. S.; MAT-047  
 Pereira, A. R. B.; AMB-005  
 Pereira, C. L. M.; INO-025  
 Pereira, C. M. P.; ORG-073  
 Pereira, E. T. V.; QPN-052  
 Pereira, G. M.; ORG-057  
 Pereira, H. K. M.; FOT-016  
 Pereira, H. S.; ORG-106  
 Pereira, K. T. O.; MED-042  
 Pereira, L. F.; AMB-068, EDU-002  
 Pereira, L. S. F.; ANA-052  
 Pereira, L. S. F.; ANA-054  
 Pereira, M. F.; EDU-064  
 Pereira, R. M.; ANA-050, ANA-051  
 Pereira, R. S.; AMB-065  
 Pereira, R. S.; QVE-013  
 Pereira, S. F. M.; QPN-013  
 Pereira, S. G.; QPN-025  
 Pereira, T. M.; EDU-038, EDU-046,  
 FOT-008, INO-024  
 Pereira, W. S. G.; MAT-051  
 Pereira-Maia, E. C.; INO-069  
 Peres, R. L.; BEA-004  
 Perez, C. N.; MED-045  
 Perez, V. H.; TEC-007  
 Perini, J. A. L.; ELE-021  
 Peroni, L. A.; BIO-001, ELE-017  
 Pessoa, C.; QPN-104  
 Pessoa, O. D. L.; QPN-084  
 Pessoa, T. C. C.; EDU-064  
 Peterle, M. M.; ORG-062  
 Peternelli, L. A.; ANA-076  
 Petiot, L.; INO-008  
 Petizero, T. D.; INO-067  
 Petrônio, M. S.; MAT-036  
 Pettersson, L. G. M.; TEO-009  
 Philot, E. A.; MED-009  
 Piazza, R. D.; MAT-011  
 Picasso, G.; ANA-091  
 Pich, C. T.; INO-019  
 Picoloto, R. S.; ANA-033, ANA-043,  
 ANA-044  
 Picro, K. G.; QPN-052  
 Pietezak, D. F.; EDU-016  
 Pietre De, M. K.; AMB-047  
 Pilissão, C.; INO-052, ORG-111  
 Pim, W. D. do; MAT-069  
 Pim, W. D.; INO-081  
 Pimenta, E. F.; QPN-070  
 Pimenta, L. P. S.; QPN-075, QPN-112  
 Pimenta, L. P.; ORG-006, QPN-058  
 Pimenta, L. T. G.; MAT-042  
 Pimenta, R. S.; QPN-031  
 Pimentel, J. V. P.; ORG-078  
 Pinheiro, A. A.; QPN-040  
 Pinheiro, A. F.; EDU-064  
 Pinheiro, C. B.; INO-097  
 Pinheiro, D. L. J.; ORG-019  
 Pinheiro, L. C. S.; MED-030  
 Pinheiro, M. V. B.; FOT-002  
 Pinheiro, V. S.; ELE-005, ELE-016, ELE-031  
 Pinke Rodrigues, C. H.; MED-066, TEO-008  
 Pinto, A. C. M.; QPN-077  
 Pinto, A. C.; MED-008  
 Pinto, C. O.; ANA-012  
 Pinto, L. M. C.; INO-089  
 Pinto, L. S.; QPN-074  
 Pinto, Licarion; ANA-072  
 Pinto, M. B.; CAT-007  
 Pinto, M. E. F.; QPN-076, QPN-125  
 Pinzón, A. D. G.; AMB-044  
 Ploker, F. C.; QPN-011  
 Piovezan, C. E.; AMB-030  
 Piovezan, C. E.; AMB-078  
 Pires, A. M.; MAT-088  
 Pires, B. M.; INO-096  
 Pires, I. C. B.; MAT-041, MAT-058  
 Pires, L. O.; QPN-121  
 Pires, N. J.; FIS-003  
 Pissinate, K.; MED-060  
 Pissurno, A. P. R.; MED-059, ORG-056  
 Pita, S. S. R.; MED-024, MED-055  
 Pita, S. S.; MED-038  
 Pivatto, M.; INO-036  
 Pizzuti, L.; INO-089  
 Pliego Jr., J. R.; ORG-067  
 Pliego, J. R.; TEO-013  
 Pochapski, D. J.; COL-013  
 Polaquini, C. R.; ORG-067  
 Polesi, M. C.; QPN-063  
 Poli, C. T.; EDU-037  
 Polillo, G.; ORG-106  
 Politi, J. R. S.; FIS-023  
 Polo, E. C.; ORG-030  
 Pomini, A. M.; QPN-100, QPN-109  
 Pomini, A. M.; QPN-115  
 Ponquoio, F. P.; ORG-047  
 Pontes, F. V. M.; AMB-026, ANA-038,  
 ANA-069  
 Pontes, R. M.; TEO-014  
 Pontes, T. S.; ORG-058  
 Porcu, O. M.; BEA-001  
 Portella, R. B.; BEA-011  
 Porto, B. L. S.; BEA-008  
 Postal, K.; INO-091  
 Prasad, P. N.; MAT-079  
 Prestes, O. D.; AMB-020  
 Previdello, B. A. F.; FIS-004  
 Priebe, G. P. S.; TEC-004, TEC-006  
 Probst, L. F. D.; INO-072  
 Procópio, A. M. S.; MAT-017  
 Proença, G. S.; ORG-058  
 Pupin, R. R.; ANA-005

## Q

Queiroz, E. F.; BEA-018  
 Queiroz, M. E. L. R.; ANA-001  
 Queiroz, M. P.; ORG-096  
 Queiroz, S. F.; EDU-031  
 Queiroz, S. L.; EDU-010  
 Querino, A. L. de A.; INO-046  
 Quimas, J. V. F.; MED-061, MED-064  
 Quincoces, J.; ORG-100, ORG-108  
 Quinhones, R.; BEA-004  
 Quintão, M. C.; CAT-007  
 Quintino, M. P.; EDU-055, INO-057

## R

Rabelo, D.; MAT-087, QPN-036  
 Raimundo Jr, I. M.; ANA-053  
 Ramalho, S. D.; QPN-125  
 Ramalho, T. C.; MED-033, TEO-012  
 Rambo, D. F.; QPN-042  
 Raminelli, C.; ORG-020, ORG-033  
 Ramirez, M. R.; QPN-021  
 Ramos, A. I. B.; INO-004  
 Ramos, B. S.; AMB-022  
 Ramos, D. P.; ANA-070  
 Ramos, J. E. T.; EDU-014, MAT-086  
 Ramos, Y. J.; QPN-009  
 Rampon, D. da S.; ORG-099  
 Rangel, E. C.; MAT-021  
 Rangel, M. C.; MAT-035  
 Ratuchne, F.; MAT-110  
 Raul, L.; ORG-094  
 Rebouças, L. O.; MAT-045  
 Rebouças, P. H. L.; QPN-062  
 Receputi, C. C.; EDU-038, EDU-046  
 Regasini, L. O.; MED-034  
 Regina, C. A. C.; AMB-004  
 Rego, E. L.; ANA-014  
 Regufe, P. F.; ORG-087  
 Rehman, H. U.; INO-021  
 Reinaldo, A. C.; MAT-097  
 Reis, A. C. C. S.; QVE-012



Reis, A. K. C. A.; ORG-047, ORG-069  
 Reis, A. S.; EDU-023  
 Reis, B. F.; ANA-025  
 Reis, B. F.; ANA-026  
 Reis, D. B.; ORG-043  
 Reis, D. M.; INO-041  
 Reis, G. R. L.; MAT-009  
 Reis, I. F.; INO-082, TEO-007  
 Reis, W. J.; ORG-061  
 Rengifo, A. F. C.; COL-009  
 Renner, R. E.; TEC-004, TEC-006  
 Reolon, C. M. M.; COL-003  
 Reolon, D.; QVE-003  
 Requena, G. F.; MAT-070  
 Resende, G. O.; ELE-002  
 Resende, J. A. L. C.; MAT-020  
 Resende, M. V. B.; CAT-009  
 Resende, V. G.; MAT-049  
 Reviglio, L.; MAT-020  
 Rezende, C. R.; QPN-122  
 Rezende, D. B.; EDU-038, EDU-046  
 Rezende, M. C.; FIS-011  
 Ribas, V. C.; INO-092  
 Ribeiro Filho, W. A.; ANA-057, ANA-058  
 Ribeiro, A. I.; QPN-086  
 Ribeiro, A. O.; ORG-108  
 Ribeiro, C. M.; INO-036, MED-034  
 Ribeiro, E. S.; ANA-045  
 Ribeiro, E. S.; ELE-037  
 Ribeiro, G. M.; ORG-071  
 Ribeiro, G.; INO-070, MAT-099  
 Ribeiro, J. A. A.; AMB-047  
 Ribeiro, J. P. R.; AMB-002  
 Ribeiro, L. E. B.; ANA-068  
 Ribeiro, M. A.; EST-001  
 Ribeiro, M. C. C.; FIS-017  
 Ribeiro, M. S.; MAT-006, ORG-106  
 Ribeiro, R. P.; CAT-037  
 Ribeiro, S. J. L.; ELE-021, INO-039, MAT-080  
 Ribeiro, S.; MAT-099  
 Ribeiro, T. R.; MED-065  
 Ribeiro, V. S.; AMB-010  
 Ribeiro, W. S.; BIO-014  
 Richardson, S.; AMB-048  
 Richart, F. S.; MAT-117  
 Richter, A. R.; INO-042  
 Richter, E. M.; ANA-065, ELE-014, ELE-035, ELE-052  
 Riegel-Vidotti, I. C.; CAT-013  
 Riehl, C. A. S.; QPN-035  
 Rinaldo, D.; QPN-092  
 Rios, E. A. M.; ORG-099  
 Ripardo Filho, H. S.; BIO-011, BIO-014  
 Rittner Neto, R.; ORG-014  
 Rivero, E. A. I.; ORG-033  
 Rizzato, T. M.; AMB-056  
 Rizzo-Domingues, R. C. P.; FIS-008  
 Robaina, N. F.; ANA-056  
 Roberto, T. C.; ORG-090  
 Rocco, M. L. M.; MAT-013  
 Rocco, M. L. M.; MAT-100  
 Rocha, A. A.; ANA-071  
 Rocha, A. C. S.; EDU-025, EDU-029  
 Rocha, A. J. R.; MAT-116  
 Rocha, A. S.; CAT-025, QPN-065  
 Rocha, C. O.; COL-001, EDU-005  
 Rocha, C. Q.; QPN-040  
 Rocha, D. D.; ORG-110  
 Rocha, D. P.; ANA-065  
 Rocha, D. P.; ELE-052  
 Rocha, D. S.; ELE-028  
 Rocha, F. R. P.; ANA-016  
 Rocha, F. V.; INO-040, INO-064, INO-075  
 Rocha, G. F. S. R.; CAT-012  
 Rocha, G. N. S. A. O.; QPN-015  
 Rocha, H. V. A.; MAT-020  
 Rocha, I. N. D. S.; MAT-124  
 Rocha, L. A.; INO-017, MAT-010  
 Rocha, L. D. S.; MAT-007, MAT-057  
 Rocha, L. R.; ELE-047  
 Rocha, M. G.; INO-051  
 Rocha, P. S. M.; ANA-084  
 Rocha, R. C. N.; ANA-057, ANA-058  
 Rocha, R. P. R. F.; ANA-027  
 Rocha, S. L.; FOT-001  
 Rocha, T. C. da; FOT-012  
 Rocha, W. C.; QPN-054  
 Rodrigues Gomes, M. R. R. G.; ANA-036  
 Rodrigues Pinto, M. R.; ELE-034  
 Rodrigues, A. C.; BEA-003  
 Rodrigues, A. T. G.; EDU-059  
 Rodrigues, A.; ORG-018, ORG-027, ORG-095  
 Rodrigues, C. A.; ANA-030  
 Rodrigues, C. C. S.; AMB-022  
 Rodrigues, C. N.; QPN-054  
 Rodrigues, D. J.; QPN-078  
 Rodrigues, D. R. F.; QVE-001  
 Rodrigues, E. A.; ANA-073  
 Rodrigues, E. M.; ELE-006  
 Rodrigues, F. A. V.; BIO-012  
 Rodrigues, F. H. A.; MAT-116  
 Rodrigues, F. H. A.; MAT-098  
 Rodrigues, F.; AMB-039, AMB-071, FIS-036  
 Rodrigues, G. D.; AMB-044, AMB-046, AMB-061, AMB-064, ANA-034  
 Rodrigues, I. A.; ELE-038  
 Rodrigues, J. E. F. C.; ORG-086  
 Rodrigues, L. C.; ANA-095  
 Rodrigues, L. M. S.; MED-032  
 Rodrigues, L. O.; MED-034  
 Rodrigues, L. S.; MAT-026  
 Rodrigues, M. K.; MAT-091  
 Rodrigues, M. N.; ANA-089  
 Rodrigues, M. V. R.; CAT-020  
 Rodrigues, M.; ELE-054  
 Rodrigues, N. M. C.; EDU-062, EDU-066  
 Rodrigues, P. R. P.; FIS-025  
 Rodrigues, R. C.; MED-023  
 Rodrigues, R. K. R.; COL-008  
 Rodrigues, R. P.; QPN-056  
 Rodrigues, T. H. S.; QPN-005, QPN-028  
 Rodrigues, T. S.; CAT-014  
 Roesch-Ely, M.; QPN-117  
 Rohwedder, J. J. R.; ANA-029  
 Roiffé, R. R.; ANA-013  
 Rojas, J. E. U.; ELE-017  
 Roldão, T. M.; AMB-025  
 Román, D. C. C.; TEC-005  
 Roman, L. S. Roman; MAT-100  
 Roman, L. S.; MAT-029  
 Romanha, A. J.; MED-008  
 Romanhi, P.; ORG-058  
 Roman-Leshkov, Y.; CAT-019  
 Romano, J. R.; QPN-071  
 Romano, R. L.; FIS-004  
 Romeiro, G. A.; AMB-074  
 Romeiro, G. A.; ORG-060  
 Romeiro, N. C.; MED-061, MED-064  
 Roméro-Gonzalez, R.; ANA-077  
 Romoff, P.; INO-083, QPN-113  
 Ronconi, C. M.; INO-027, MAT-039, MAT-059  
 Rondan, F. S.; ANA-050, BEA-016  
 Roque, J. V.; ANA-076  
 Roque, N.; QPN-090, QPN-091  
 Roquette, J. M.; ELE-026  
 Rosa Filho, J. S.; QPN-062  
 Rosa, A. P. A.; QPN-103  
 Rosa, F. A.; ORG-071  
 Rosa, I. M. L.; EST-001  
 Rosa, L. C. da; ANA-015  
 Rosa, L. N.; BEA-002  
 Rosa, M. C.; MED-018  
 Rosa, M. F.; MAT-047  
 Rosa, T. F.; MED-045  
 Rosales, P. F.; QPN-117  
 Rosenberger, A. G.; MAT-016  
 Rospendowski, J.; ELE-054  
 Rosseto, R.; AMB-051, INO-062  
 Rossi, L. M.; CAT-016, CAT-021, CAT-027  
 Rossi, L. M.; CAT-036  
 Rozada, A. M. F.; BIO-012  
 Rozada, T. C.; TEO-005  
 Rozendo, J. D.; CAT-021  
 Roza Nuñez, W. E.; ORG-104  
 Rubert, A.; AMB-042  
 Rubira, A. F.; MAT-114  
 Rufino, V. H. L.; QPN-067  
 Ruiz, A. L. T. G.; ORG-115  
 Ruiz, D.; CAT-001  
 Russo, H. M.; BEA-018  
 Russowsky, D.; MED-005, MED-048

## S

S. Filho, R. C.; BIO-005  
 S. Neto, M.; EDU-022  
 Sá Jr., E. P.; QPN-003  
 Sá, A. C.; ELE-023  
 Sá, M. M.; ORG-062  
 Sá, N. R. L.; AMB-068  
 Sá, V. A.; AMB-070  
 Sabino, A. P.; MED-022  
 Sabino, J. R.; INO-057  
 Sacchelli, B. A. L.; MED-035  
 Sacramento, B. S.; QPN-106  
 Sáenz, H. S. C.; ELE-043

Sagrillo, F. S.; ORG-088  
 Saint-Pierre, T. D.; AMB-073  
 Sakukuma, M. C. K.; ORG-013  
 Salamoni, J.; QPN-010  
 Salazar-Banda, G. R.; ELE-059  
 Salcedo, W. J. S.; ELE-061  
 Sales-Júnior, P. A.; MED-008  
 Salgado, A. M.; ELE-037  
 Salgado, J. R. C.; EDU-028, EDU-047,  
 EDU-059, ELE-041  
 Salomão, K.; MED-012, MED-054  
 Saltarelli, M.; INO-054  
 Salum, A. S.; MAT-117  
 Salviano, A. B.; MAT-067  
 Salzer, G.; ORG-072  
 Sampaio, D. F. G.; QPN-057  
 Sampaio, I. H.; QPN-119  
 Sanches, P. R. S.; QPN-125  
 Sandoval, W.; ANA-039  
 Sannomiya, M.; QPN-011  
 Sant'Ana, A. C.; FIS-032  
 Sant'Ana, A. C.; COL-010  
 Sant'Anna, C. M. R.; MED-040  
 Santamaría, R.; ELE-058  
 Santana Soares de Araújo, L. S. S. de A.;  
 ANA-036  
 Sant'Ana, A. C.; FIS-026  
 Santana, A. J.; MAT-001, MAT-090  
 Santana, A. L. B. D.; QPN-062  
 Santana, D. A. de; MAT-033  
 Santana, D. A.; ANA-018, EDU-017  
 Santana, F. O.; AMB-009  
 Santana, F. S.; INO-041, INO-091  
 Santana, K. S.; ORG-036  
 Santana, L. H.; EDU-016  
 Santana, L. L. B.; ORG-016  
 Santana, M. H. P.; ELE-028  
 Santana, M. V. A.; ANA-018  
 Santana, S. M. F.; MAT-095  
 Sant'anna, C. M. R. S.; MED-015  
 Sant'Anna, C. M. R.; MED-021, ORG-012  
 Santelli, R. E.; AMB-029  
 Santiago, G. M. P.; QPN-014  
 Santiago, P. A. L.; QPN-060  
 Santiago, P. V. B.; ELE-026  
 Santiago, R. F.; QPN-108  
 Santiago, V. S.; ELE-025  
 Santin, M. O.; QPN-109  
 Santin, S. M. O.; QPN-100  
 Santin, S. M. O.; QPN-115  
 Santisteban, M. R.; QPN-082  
 Santos Alves, G. F.; EDU-021  
 Santos Dos, F. S.; AMB-047  
 Santos Dos, G. R.; AMB-072  
 Santos Dos, J.; AMB-070, QPN-030  
 Santos Dos, K. R.; QPN-002  
 Santos Dos, L. C.; ORG-006  
 Santos Dos, R. B.; TEC-002  
 Santos Dos, S. S.; INO-038  
 Santos Junior, J. S.; MAT-071  
 Santos, A. A. B.; AMB-005  
 Santos, A. C. F.; ELE-049  
 Santos, A. G. C.; BIO-006  
 Santos, A. H.; EDU-053  
 Santos, A. K. M.; QPN-050  
 Santos, A. L.; MED-006  
 Santos, A. L.; QPN-041  
 Santos, A. P. B.; EDU-064  
 Santos, A. P.; MAT-049, MAT-103  
 Santos, A. R. S.; MED-003  
 Santos, A. S.; QPN-065  
 Santos, B. R. S.; ANA-081  
 Santos, B. R.; INO-047  
 Santos, B. S.; FOT-016, MAT-093  
 Santos, C. B. R.; MED-016  
 Santos, C. H.; INO-012  
 Santos, C. S.; ANA-058  
 Santos, D. A.; QPN-029  
 Santos, D. C. M. B.; ANA-083  
 Santos, D. C. P.; EDU-063  
 Santos, D. C.; MED-061, ORG-047  
 Santos, D. G.; QPN-122  
 Santos, D. J. S.; EDU-021  
 Santos, D. M. D.; EDU-052  
 Santos, D. P.; EDU-037, MAT-014  
 Santos, D. S.; ORG-075  
 Santos, D.; TEC-009  
 Santos, E. B. G. N.; ANA-049  
 Santos, E. B.; MAT-027  
 Santos, E. C. S.; MAT-039  
 Santos, E. C. S.; MAT-059  
 Santos, E.; AMB-022  
 Santos, F. B.; TEO-002  
 Santos, F. A. R.; QPN-118  
 Santos, F. A.; ORG-059  
 Santos, F. K. O.; EDU-024  
 Santos, F. S.; ORG-103  
 Santos, G. A.; ORG-048  
 Santos, G. H. F.; COL-005  
 Santos, G. H. G.; MAT-115  
 Santos, G. J. S. R.; ORG-050  
 Santos, G. O.; ELE-058, FIS-003  
 Santos, H. S.; QPN-005, QPN-028  
 Santos, I. C.; AMB-072  
 Santos, I. da S. P.; AMB-068  
 Santos, I. M.; MAT-102  
 Santos, I. S. P.; EDU-002  
 Santos, J. A. O.; MAT-088  
 Santos, J. B.; EDU-064  
 Santos, J. C. C.; ANA-022, ANA-023,  
 BIO-005, BIO-007, MED-042, MED-047  
 Santos, J. C.; EDU-001  
 Santos, J. de C.; FIS-002  
 Santos, J. L. O.; AMB-013, ANA-082  
 Santos, J. M. S. R.; AMB-065  
 Santos, J. M. S. R.; QVE-013  
 Santos, J. M.; ANA-017, ANA-060, ANA-074  
 Santos, J. R. J.; QPN-040  
 Santos, J. R. L.; MAT-035  
 Santos, J. R. N.; INO-057  
 Santos, J. V. da S.; ANA-012  
 Santos, J. V.; BEA-011  
 Santos, J.; EDU-035  
 Santos, K. S.; FOT-004  
 Santos, L. A.; BIO-002  
 Santos, L. C.; QPN-063  
 Santos, L. F.; QPN-111  
 Santos, L. P.; EDU-017  
 Santos, L. R.; ANA-083  
 Santos, L. S.; BIO-011, BIO-014, EDU-025,  
 EDU-029, ORG-028, QPN-046,  
 QPN-106  
 Santos, L. V. S.; AMB-037  
 Santos, M. A.; EDU-022  
 Santos, M. C.; ELE-005, ELE-011, ELE-016,  
 ELE-031  
 Santos, M. G. B.; AMB-079  
 Santos, M. K. S.; MED-006  
 Santos, M. M. dos; MAT-033  
 Santos, M. N. G.; MAT-087  
 Santos, M. R. D.; MAT-067  
 Santos, M. R.; BEA-003  
 Santos, M. S. F. S.; ELE-030  
 Santos, M. S.; MAT-111  
 Santos, P. A.; QPN-039, QPN-074  
 Santos, P. B.; FIS-018  
 Santos, P. R.; MED-056  
 Santos, P. V.; EDU-001  
 Santos, R. A.; EDU-042  
 Santos, R. B.; TEC-005  
 Santos, R. dos; ANA-015  
 Santos, R. F.; ANA-043, ANA-044  
 Santos, R. M. G. dos; MAT-033  
 Santos, R. M.; EDU-060  
 Santos, R. O.; QPN-011  
 Santos, R. P.; ANA-073  
 Santos, R. R. F.; BIO-007  
 Santos, R. R.; BEA-020  
 Santos, R. V.; MAT-057  
 Santos, S. A.; EDU-043  
 Santos, S. J.; TEC-004, TEC-006  
 Santos, S. S.; EDU-008  
 Santos, S. T.; MAT-071  
 Santos, S. Y. K. O.; QPN-056  
 Santos, T. C.; AMB-008  
 Santos, T. S.; EDU-049, ORG-045  
 Santos, U. S.; FIS-035  
 Santos, V. de S.; ANA-048  
 Santos, V. F.; MAT-013  
 Santos, V. L.; EDU-022  
 Santos, W. N. D.; ANA-018  
 Santos, W. P. C.; ANA-048  
 Saraiva, E. S.; QPN-055, QPN-072  
 Saraiva, M. F.; ORG-043  
 Saran, L. M.; AMB-058  
 Saravia, L. H.; ELE-043  
 Sardela, V. F.; ANA-013  
 Sarmento Silva, S. S.; QPN-012  
 Sarmento, J. P.; EDU-030  
 Sarragiotto, M. H.; MED-042, MED-052  
 Sartoratto, P. P. C.; MAT-087, QPN-036  
 Sartorelli, P.; MED-007, QPN-041,  
 QPN-085, QPN-097, QPN-113,  
 QPN-114, QPN-116  
 Sartori, E. R.; ELE-050  
 Sauthier, M. C. S.; ANA-018  
 Savanhago, R. M.; FIS-039  
 Scaglioni, P. T.; ANA-050, BEA-016  
 Scapolan, M. I. X.; INO-011

Scaramboni, B.; ORG-090  
Scaramboni, C.; AMB-012  
Scarpari, S. L.; INO-039  
Scharf, D. R.; ORG-011, QPN-010  
Scheibel, T.; QPN-018  
Schiavon, M. A.; INO-101  
Schirato, G. V.; MED-006  
Schirmann, J. G.; ORG-065  
Schlenk, D.; AMB-048  
Schmidt, A.; MAT-108  
Schmitz, F.; FIS-028, MAT-054  
Schmoeller, L. A.; ORG-107  
Schneid, C. C.; QVE-003  
Schneider, L. A. E.; ANA-085  
Schneider, R. C. S.; AMB-042  
Schnitzler, D. C.; AMB-032  
Schram, M.; QVE-010  
Schroeder, P.; AMB-074  
Schultz, J.; MAT-044  
Schwarz, F. W.; QVE-005  
Schwenck Brandão, V. S. B.; INO-102  
Scorsin, L.; ORG-067  
Scott, A. L.; MED-009  
Scott, F. B.; ANA-011  
Scotti, L.; MED-062, QPN-056  
Scotti, M. T.; MED-062, QPN-056  
Scremin, F. R.; MAT-022, ORG-003  
Sebastião, R. C. O.; CAT-031  
Sebold, S. B. S.; QPN-100  
Seckler, D. E. L.; MED-022  
Seco, M. A.; EDU-024  
Seeger, T. S.; ANA-054  
Seixas, F. A. V.; BIO-012  
Selva, J. S. G.; ELE-043  
Semaan, F. S.; ELE-006  
Semeano, A. T. S.; MAT-028  
Sena, D. H. S.; BEA-009  
Sena, KXFR; MED-037  
Sena, M. M.; AMB-034  
Sene, A. P.; FIS-034  
Senger, M. R.; MED-006, MED-046  
Senra, J. D.; MAT-057  
Serodre, T.; MAT-049  
Serra, O. A.; FOT-011  
Serralbo, A. S.; ORG-069  
Severino, R. P.; MED-045  
Severino, V. G. P.; QPN-024  
Severo, E. A.; ANA-082  
Shetty, M.; CAT-019  
Shiguemoto, C. Y. K.; ORG-081  
Shiguihara, A. L.; MAT-025  
Shimamoto, G. G.; QVE-003  
Shul'pin, G. B.; CAT-006  
Sibov, S. T.; QPN-019  
Siciliano, B.; AMB-007  
Siciliano, S.; AMB-073  
Siedler, S.; MAT-020  
Signorelli, F.; COL-004  
Sigoli, F. A.; INO-008, INO-055, MAT-014, MAT-089, MAT-097  
Sigrist, R.; QPN-069  
Silingardi, H. M. T.; QPN-008  
Silva Da, A. R.; FOT-001  
Silva Da, C. C.; MED-020  
Silva Da, F. F.; INO-009  
Silva Da, L. A. L.; ELE-044  
Silva Da, L. C. D.; FOT-001  
Silva Da, M. A. N.; INO-001  
Silva Da, M. B. G.; AMB-041  
SILVA Da, M. J. V.; ORG-071  
Silva Júnior, E. N.; ORG-044  
Silva Neto Da, J. F.; INO-009  
Silva Neto, O. C.; QPN-074  
Silva, A. A.; QPN-035  
Silva, A. B.; QPN-084  
Silva, A. C.; EDU-025, EDU-029, FIS-029  
Silva, A. F. F.; QPN-047  
Silva, A. G.; EDU-022  
Silva, A. L. N.; MAT-112  
Silva, A. M. A.; QPN-014  
Silva, A. N.; EDU-064  
Silva, A. P.; CAT-005, MAT-043  
Silva, A. R. S.; ELE-022  
Silva, A. T.; ORG-024  
Silva, B. A. E.; EDU-036  
Silva, B. A.; MAT-101  
Silva, B. B.; EDU-050  
Silva, B. F.; AMB-015  
Silva, C. A. S.; ANA-046  
Silva, C. C.; EDU-058  
Silva, C. D. S.; INO-088  
Silva, C. F.; MAT-099  
Silva, C. H. T. P.; MED-016  
Silva, C. M.; ORG-036  
Silva, C. M. de; AMB-006, AMB-007  
Silva, C. M. F.; MAT-064  
Silva, C. M.; TEC-009  
Silva, C. R.; EDU-059  
Silva, C. S.; AMB-040, ANA-037, EDU-004  
Silva, D. A.; ORG-086  
Silva, D. F.; FOT-014, ORG-097  
Silva, D. G. B.; ORG-025  
Silva, D. G.; ANA-041  
Silva, D. H. S.; ORG-063, QPN-066, QPN-067  
Silva, D. O.; INO-021, ORG-033  
Silva, E. E.; ORG-054  
Silva, E. F. R.; ANA-081  
Silva, E. M. G.; MED-005  
Silva, E. M. G.; MED-048  
Silva, E. M. S.; QPN-080, QPN-081  
Silva, E. O.; QPN-059  
Silva, E. R.; MED-030, ORG-066  
Silva, E. S.; ANA-022, QPN-106  
Silva, F. A. N. G.; AMB-026, INO-044  
Silva, F. A.; ANA-043  
Silva, F. C. A.; ELE-018  
Silva, F. C.; MED-025, ORG-045, ORG-087  
Silva, F. F.; QPN-062  
Silva, F. I. C.; MAT-117  
Silva, F. M.; FIS-033  
Silva, F. S. Q.; ANA-092, MAT-121  
Silva, G. A. L.; EDU-050  
Silva, G. A.; AMB-063  
Silva, G. B. A.; MAT-093  
Silva, G. C.; ORG-060  
Silva, G. F.; INO-018  
Silva, G. G.; AMB-039, ELE-058, MAT-043  
Silva, G. G.; FIS-003  
Silva, G. L.; BEA-018  
Silva, G. P. C.; AMB-024  
Silva, G. R.; QPN-047  
Silva, G. R.; QPN-118  
Silva, G. S.; AMB-080  
Silva, G.; MAT-052  
Silva, H. D. T.; AMB-004  
Silva, H. M.; INO-085  
Silva, H. V. C.; MAT-002, MAT-096  
Silva, H.; INO-046, INO-073  
Silva, I. C.; MAT-097, MED-034  
Silva, I. F.; INO-097  
Silva, I. G.; QPN-094  
Silva, I. O.; EDU-030  
Silva, J. A. D.; MAT-026, MAT-124  
Silva, J. A. V.; MED-033  
Silva, J. A.; ELE-057  
Silva, J. B.; ANA-070  
Silva, J. C. M.; AMB-075, QPN-016  
Silva, J. C. M.; AMB-069, QPN-004  
Silva, J. D. S.; ANA-014  
Silva, J. F. M.; QPN-031  
Silva, J. F.; QPN-109  
Silva, J. P.; EDU-022  
Silva, J. R.; MAT-087  
Silva, J. T.; INO-046, INO-073  
Silva, J. V. S.; BIO-002  
Silva, K. B. O.; AMB-002  
Silva, K. K. S.; INO-062  
Silva, K. M. S.; MED-019  
Silva, L. A.; CAT-011, FOT-004, MED-032, ORG-049, ORG-051  
Silva, L. A.; EDU-061  
Silva, L. F. F.; QPN-108  
Silva, L. H. F.; TEO-011  
Silva, L. I.; AMB-014  
Silva, L. L. da; AMB-006  
Silva, L. L.; MED-061, MED-064  
Silva, L. M. S.; ELE-038  
Silva, L. M.; FIS-012  
Silva, L. N.; AMB-060  
Silva, L. O. B.; QPN-015  
Silva, L. O.; EDU-042  
Silva, L. P. S.; BIO-011  
Silva, L. S. M.; QPN-112  
Silva, L.; MAT-099  
Silva, M. A. S.; INO-042  
Silva, M. A.; QPN-026  
Silva, M. B.; EDU-001  
Silva, M. C.; ORG-072  
Silva, M. C. S.; COL-009  
Silva, M. C.; BEA-019, MAT-017  
Silva, M. D. B.; EDU-023  
Silva, M. F. G. F.; FOT-014, QPN-070  
Silva, M. F. G. F.; QPN-086  
Silva, M. G. A.; EDU-001  
Silva, M. K. L.; ELE-024  
Silva, M. L. A.; MAT-078, ORG-006, QPN-057  
Silva, M. L. C.; ELE-037

Silva, M. M.; BIO-005, MED-042  
 Silva, M. M.; QPN-045  
 Silva, M. N. T.; ELE-052  
 Silva, M. P. A.; BEA-007  
 Silva, M. P.; ANA-078  
 Silva, M. R.; BEA-015  
 Silva, M. V. L.; ANA-081  
 Silva, N. A.; QPN-064  
 Silva, P. G.; AMB-054  
 Silva, P. J. C.; ANA-062  
 Silva, P. S. G.; ELE-042  
 Silva, P. T.; QPN-005  
 Silva, R. A. C.; ORG-110  
 Silva, R. A.; ELE-036, MED-058, ORG-037  
 Silva, R. C.; FOT-011, ORG-017  
 Silva, R. E.; ORG-040  
 Silva, R. F.; ELE-012  
 Silva, R. M. A.; MAT-026  
 Silva, R. R.; MAT-080  
 Silva, R. V. S.; AMB-074  
 Silva, S. C.; TEO-002  
 Silva, S. S. B.; TEC-011  
 Silva, S. A.; EDU-043  
 Silva, S. C.; ELE-014  
 Silva, S. J. B.; COL-011  
 Silva, S. M. E.; QPN-082  
 Silva, S. M. T.; QPN-082  
 Silva, S. M.; MED-056, ORG-050, QVE-006  
 Silva, S. M.; QPN-117  
 Silva, S. R.; EDU-006, INO-016, INO-030, INO-058  
 Silva, S. V. F. N.; AMB-045  
 Silva, S. V.; FIS-006  
 Silva, S. W. D.; FIS-001  
 Silva, T.; QPN-077  
 Silva, T. E. M.; INO-034, INO-074  
 Silva, T. F.; AMB-043  
 Silva, T. L.; ORG-029, QPN-029  
 Silva, T. M. R.; MAT-094  
 Silva, T. M. S.; QPN-047  
 Silva, T. M. S.; QPN-080, QPN-081, QPN-118  
 Silva, T. O. B.; ORG-066  
 Silva, T. R. C.; ORG-020  
 Silva, V. B.; FIS-019  
 Silva, V. I.; QVE-001  
 Silva, V. P. R.; INO-044  
 Silva, V. R.; MAT-103  
 Silva, W. N.; ANA-083  
 Silva, W. P.; AMB-070  
 Silva, W. R.; ELE-060  
 Silva, Y. F.; CAT-029  
 Silva-Caldeira, P. P.; INO-069  
 Silva-Filho, L. C.; ORG-026  
 Silva-Jr, F. P.; MED-026  
 Silva-Junior, F. P.; MED-046  
 Silveira Da, C. H.; INO-049  
 Silveira, E. L. C.; QVE-003  
 Silveira, E. R.; QPN-084  
 Silveira, F. F.; MED-030  
 Silveira, G. P.; ORG-054  
 Silveira, R. G.; INO-064  
 Silveira, T. G. O.; MAT-043  
 Silveira-Lacerda, E. P.; INO-074  
 Simas, N. K.; QPN-037  
 Simionatto, E.; QPN-016  
 Simionatto, E. L.; ORG-011, QPN-010  
 Simionatto, E.; AMB-069, AMB-075, QPN-004  
 Simões, M. O. M.; QPN-112, QPN-120  
 Simões, Y. S.; BIO-013  
 Simosono, C. A.; INO-081  
 Singh, M. K.; MED-039  
 Sinhorin, A. P.; MED-050, QPN-078  
 Siqueira Júnior, J. M.; INO-015  
 Siqueira, C. T.; EDU-064  
 Siqueira, F. A.; ORG-049  
 Siqueira, F. A.; ORG-051  
 Siqueira, K. A.; QPN-058  
 Siqueira, K. P. F.; MAT-019, MAT-075  
 Siqueira, L. D. F.; AMB-065  
 Siqueira, L. D. F.; QVE-013  
 Siqueira, M. C.; EDU-057  
 Siqueira, M. R. P.; ANA-015  
 Sirés, I.; FIS-012  
 Sisto, F.; MED-047  
 Sitta, E.; ELE-034  
 Skrydstrup, T.; ORG-019  
 Slafer, B. W.; MED-004  
 Smiderle, F.; INO-019  
 Soares Jr., A. L.; CAT-007  
 Soares, B. G.; MAT-025  
 Soares, B. M.; INO-095  
 Soares, I. C.; INO-026, INO-061  
 Soares, J. F.; INO-041, INO-091  
 Soares, J. J.; QVE-001  
 Soares, K. D.; QPN-048  
 Soares, K. V.; MED-043  
 Soares, M. A.; ORG-006, QPN-058  
 Soares, M. B. P.; QPN-087  
 Soares, M. G.; QPN-032, QPN-085, QPN-114  
 Soares, M. G.; QPN-041  
 Soares, M. H. F. B.; EDU-018, EDU-032  
 Soares, M. S.; QPN-079  
 Soares, O.; ORG-081  
 Soares, P. M. A.; ORG-018  
 Soares, R. R.; CAT-003  
 Soares, R.; AMB-029  
 Soares, S. S.; ANA-027  
 Soares, T. S.; ANA-032  
 Sobrinho, M. L.; AMB-011  
 Sodrê, F. F.; AMB-034  
 Sofiatti, E.; MAT-038  
 Soletti, J. I.; QPN-030  
 Somensi, C. A.; AMB-041  
 Sosen, G. W.; BIO-004  
 Sotomayor, M. D. P. T.; ANA-091  
 Sotomayor, M. P. T.; ANA-005  
 Sousa De, L. M.; EDU-024  
 Sousa, A. S. B.; QVE-006  
 Sousa, C. P.; ELE-020, ELE-059  
 Sousa, E. A.; QPN-103  
 Sousa, E. H. S.; INO-088  
 Sousa, E. M.; QPN-013  
 Sousa, F. S.; QPN-096  
 Sousa, G. F.; QPN-110, QPN-120  
 Sousa, J. L. S.; CAT-001  
 Sousa, M. B.; EDU-060  
 Sousa, M. F. B.; COL-004, MAT-038  
 Sousa, N. C. O. S.; MAT-032  
 Sousa, N. G.; ELE-059  
 Sousa, N. M.; EDU-006  
 Sousa, R. M. F.; QPN-064  
 Sousa, R. P.; QPN-095, QPN-104  
 Sousa, S. C. B.; MAT-008  
 Sousa-Pereira, D.; MED-051  
 Souza De, D. H. F.; BIO-003  
 Souza De, D. M. B.; INO-009  
 Souza De, M. C. B. V.; ORG-085  
 Souza De, M. C.; ORG-085  
 Souza De, M. L.; QPN-026  
 Souza De, R. O. M. A.; ORG-046  
 Souza De, S. P.; ORG-046  
 Souza e Silva, J. M. S.; MAT-030  
 Souza Jr., J. B.; MAT-061  
 Souza, A. G.; BEA-015  
 Souza, A. H. P.; BEA-003  
 Souza, A. L. F.; MED-061, MED-064  
 Souza, A. T.; EDU-064  
 Souza, B. A.; QPN-075  
 Souza, C. G.; ANA-069  
 Souza, D. A.; QPN-026  
 Souza, D. G.; ANA-085  
 Souza, D. L.; MED-030  
 Souza, D. M.; ANA-061  
 Souza, D. O.; INO-003, MAT-107  
 Souza, D. R.; FOT-010  
 Souza, E. A.; CAT-011  
 Souza, E. B. R.; QPN-078  
 Souza, E. M.; AMB-014  
 Souza, E. O.; FIS-005  
 Souza, F. A. M.; ORG-037  
 Souza, F. C.; ELE-002, ELE-025  
 Souza, F. L.; EDU-039, MAT-120  
 Souza, F. M.; ELE-005, ELE-031  
 Souza, G. B.; MED-041  
 Souza, G. C.; ORG-055  
 Souza, H. D. S.; ORG-097  
 Souza, H. J. S.; QPN-081  
 Souza, I. A.; ORG-105  
 Souza, I. P.; INO-069  
 Souza, J. C.; AMB-015  
 Souza, J. M.; ORG-086  
 Souza, J. M.; QPN-006  
 Souza, J. S.; INO-033, INO-093, MAT-120  
 Souza, K. R.; ANA-013  
 Souza, L. M.; MAT-022  
 Souza, M. C. B. V.; ORG-017, ORG-022, ORG-087  
 Souza, M. C. M.; EDU-060  
 Souza, M. C.; ORG-058  
 Souza, M. G. S.; QPN-065  
 Souza, M. L.; MAT-099  
 Souza, M. O. G.; EDU-049  
 Souza, M. P.; AMB-042, QPN-060  
 Souza, M. V. N.; INO-036  
 Souza, P. B.; ANA-080  
 Souza, R. C.; ANA-012, BEA-011

Souza, R. M.; MAT-007  
Souza, R. O. M. A.; ORG-078  
Souza, R. O. M. A.; ORG-094  
Souza, R. S.; MAT-081  
Souza, S. P.; ORG-035  
Souza, T. B.; MED-036  
Souza, T. de C.; AMB-006  
Souza, T. J.; ORG-004  
Souza, T. M.; AMB-011  
Souza, V. H. R.; MAT-015, MAT-076  
Souza, W. F. L.; AMB-057  
Souza, W. P.; ORG-006  
Souza-Garcia, J.; ELE-026  
Souza-Neto, L. R.; MED-026  
Staerk, D.; QPN-051  
Stapelfeldt, D. M. A. S.; AMB-077  
Stefanes, N. M.; COL-009  
Steinmacher, N. C.; BEA-003  
Stevanato, A.; EDU-011, EDU-037, INO-047  
Stevani, C. V.; ORG-063  
Stocco, A. F.; INO-047  
Stoerberl, B. J.; INO-041  
Stradiotto, N. R.; ELE-023, ELE-062  
Strohauer, S.; INO-096  
Stropa, J. M.; AMB-069, AMB-075  
Stulp, S.; ELE-029  
Stumpf, H. O.; EST-001, INO-029, INO-081,  
INO-097, MAT-069, MAT-091  
Suagaura, L. E.; ANA-019  
Suarez, P. A. Z.; CAT-020, FIS-033,  
TEC-008, TEC-010  
Sucupira, R. R.; CAT-020, TEC-008,  
TEC-010  
Suffedini, H. B.; ELE-010  
Sukeri, A.; ELE-003  
Sukeri, Anandhakumar; ELE-043  
Suman, P. H.; ELE-007  
Szpoganicz, B. P.; INO-072  
Szpoganicz, B.; INO-072

## T

Takarada, W. H.; CAT-013, QVE-004  
Takata, N. H.; QVE-010  
Talerio, A. G.; ORG-038  
Tamayose, C. I.; QPN-090, QPN-091  
Taranto, A. G.; MED-022  
Tarley, C. R. T.; ANA-045, ELE-053  
Tarley, C. R. T.; ELE-047  
Tasic, L.; BIO-001, MED-001  
Tavares, D. C.; MAT-078, ORG-006,  
QPN-058  
Tavares, F. S. C.; EDU-013  
Tavares, I. L. M.; ELE-042  
Tavares, M. C.; FIS-030  
Tavares, M. S.; INO-015  
Tavella, T. A.; MED-002  
Tcacenco, C. M.; QPN-113  
Tecchio, C. M.; MAT-008  
Teixeira, A. M. S.; AMB-065  
Teixeira, A. M. S.; QVE-013  
Teixeira, A. P. C.; CAT-009, CAT-031,  
CAT-032, INO-097  
Teixeira, A. T.; QVE-009

Teixeira, B. S.; ANA-018  
Teixeira, C. F. A.; INO-089  
Teixeira, C. M. L. L.; QPN-038  
Teixeira, I. F.; CAT-012, INO-097  
Teixeira, I. N. S.; MED-049  
Teixeira, J. V. S.; QPN-027  
Teixeira, L. A.; ORG-045  
Teixeira, L. R. S.; INO-036  
Teixeira, R. I.; FOT-006, FOT-007  
Teixeira, R. L.; MED-012  
Teixeira, R. R.; ORG-052  
Teixeira, S. F.; ELE-002, ELE-025  
Teixeira, V. G.; AMB-057  
Teixeira, W. S. R.; ELE-024  
Teixeira-Neto, E.; CAT-016  
Teles, S. C.; MAT-075  
Telles, G. C.; AMB-060  
Telmer, K.; MAT-027  
Tempone, A. G.; MED-007, QPN-043,  
QPN-085, QPN-098, QPN-114  
Teodoro, G. C.; AMB-030  
Teodoro, M. T. F.; QPN-074  
Teófilo, R. F.; ANA-076  
Teotônio, E. E. S.; INO-085  
Teotônio, G. L. E.; INO-010  
Terezan, A. P.; MAT-087  
Terezan, A. P.; QPN-019, QPN-036  
Terra, F.; INO-053  
Thiago, A.; FIS-036  
Thomas, N.; ORG-003  
Tiera, M. J.; MAT-036, MAT-053, MAT-077  
Tiera, V. A. O.; MAT-036, MAT-053,  
MAT-077  
Tirich, B. M.; COL-007  
Tirloni, B.; INO-078  
Tischer, B.; BEA-005  
Toigo, J.; COL-009  
Toledo, S. P.; MAT-006  
Toledo, T. A.; ORG-072  
Toledo, T. A.; AMB-066, INO-050  
Toledo, T. A.; INO-063  
Toledo, V. H.; MAT-006  
Tolentino, N. M. C.; ORG-022  
Tomaso, L. P. S.; ANA-090  
Tomaz, K. C. P.; MED-002  
Tondo, D. W.; COL-003  
Tonin, M. D.; FOT-006  
Tordato, E. A.; ORG-001  
Tormena, C. F.; ORG-014  
Tormena, M. M. L.; TEO-014  
Tormin, T. F.; ELE-052  
Torquato, A. S.; AMB-013, BEA-002  
Torquato, L. D. M.; ELE-021  
Torquato, L. D. M.; ELE-007  
Torres, J. P. M.; AMB-072  
Torres, M. C. M.; QPN-084  
Torres, M. D. T.; BIO-010  
Torres, N. M. P. O.; MED-058  
Torresi, R. M.; ELE-036, MAT-068  
Torresi, S. I. C.; ELE-015, ELE-055,  
MAT-028, MAT-082  
Torres-Santos, C.; ORG-087  
Toschi, S. S.; AMB-078

Toson, N. S. B.; QPN-042  
Tostes, B. de V. A.; MAT-041, MAT-058  
Tozatti, M. G.; QPN-057  
Trevisan, J. T. T.; ELE-004  
Trevisan, M. T. S.; ORG-110  
Trindade, W. G.; AMB-030  
Triolo, A.; FIS-013  
Trossini, G. H. G.; ELE-032, MED-017  
Trovo, A. G.; AMB-049  
Trovó, A. G.; AMB-079  
Tsang, E.; CAT-012  
Tubino, M.; QVE-003  
Turcheniuk, K.; MED-014  
Turchetti, D. A.; MAT-001, MAT-002,  
MAT-056, MAT-090, MAT-096  
Turci, C. C.; MAT-100

## U

Ucoski, G. M.; INO-051  
Uekane, T.; QPN-122  
Ueno, A. K.; QPN-113  
Ueno, L. T.; FIS-034  
Ulloa, J. E.; FOT-013  
Ulrich, A. H.; MAT-028  
Urban, R. C.; AMB-001

## V

Vairolette, Lucas; EDU-053  
Val, A. L.; AMB-023  
Valderrama, P.; BEA-002  
Valdo, A. K. S. M.; INO-029, INO-053,  
INO-081, INO-087  
Vale, J. P. C.; QPN-028  
Vale, R. F. D.; ANA-092, ANA-094,  
MAT-121, MAT-122  
Vale, R. F. D.; ANA-093  
Vale, T. M.; ORG-022  
Valenga, M. G. P.; FIS-025  
Valente, L. J.; BEA-007  
Valente, P. M.; QPN-001, QPN-017  
Valente, V. M. M.; QPN-001, QPN-017  
Valente, W. C. G.; MED-006  
Valerino-Diaz, A. B.; ORG-006, QPN-092,  
QPN-101  
Vandresen, F.; INO-047  
Vanzin, D.; FIS-034  
Varanda, L. C.; COL-007, MAT-061  
Varela, H.; ELE-015, ELE-051, FIS-004  
Vargas, R. N.; EDU-022  
Vargas, S. J. R.; FIS-015  
Vargas, S. J. R.; FIS-037  
Vargas, T. S.; ANA-087, ANA-088  
Vargas-Rechia, C. G.; QPN-119  
Varjão, T. A.; EDU-008  
Varotti, F. P.; MED-022  
Vasconcellos, P. C.; AMB-003  
Vasconcelos, C. K. B.; MAT-008  
Vasconcelos, L. G.; QPN-078  
Vasconcelos, M. A. L.; QPN-057  
Vasconcelos, M. G.; QPN-022  
Vasconcelos, S. C.; ELE-006  
Vassiliades, S. V.; FOT-002, MAT-051

Vaz, B G; ANA-020  
Vaz, R. C. A.; INO-025  
Veiga, T. A. M.; QPN-086  
Velloso, M. C. C.; ORG-060  
Veloso, M. C. C.; AMB-074  
Venâncio, L. F.; ANA-092, ANA-094,  
MAT-121, MAT-122  
Venâncio, L. F.; ANA-093  
Veras, M. D. A.; QPN-107  
Vestena, A. S.; QPN-048, QPN-093  
Viana Rodrigues, P. V. R.; INO-102  
Viana, A.; FIS-008  
Viana, M. M.; MAT-008, MAT-037, MAT-083  
Viana, T. K. F. P.; INO-025  
Viana, V. G. F.; QPN-034  
Viana, V. M.; ORG-079  
Vicente, A.; AMB-003  
Vichi, F. M.; MAT-048  
Vicinguera, M. L. F.; EDU-028  
Victor, M. M.; ORG-013  
Vidal, D. M.; QPN-083  
Vidinha, P.; BEA-017, CAT-021, CAT-036  
Vidotti, I. C. R.; MAT-054  
Viegas, C. V.; MED-018  
Viégas, D. S. S.; ELE-038  
Viegas, F. P. D.; QPN-032  
Viegas, P. R.; ORG-058  
Vieira Filho, S. A.; QPN-110  
Vieira Junior, G. M.; QPN-088, QPN-089  
Vieira Júnior, G. M.; QPN-095, QPN-104,  
QPN-107, QPN-108  
Vieira, A. A.; ORG-066  
Vieira, A. V.; ORG-035  
Vieira, B. L. M.; AMB-066, INO-050  
Vieira, B. S.; QPN-064  
Vieira, C. D.; EDU-002  
Vieira, D. F.; AMB-036, AMB-062  
Vieira, E. C.; QPN-055, QPN-072  
Vieira, E. G.; ANA-070  
Vieira, F. S.; BEA-014  
Vieira, G. A. B.; AMB-017, ANA-075,  
EDU-066  
Vieira, G. M.; CAT-018  
Vieira, J. C.; AMB-061  
Vieira, J. L.; AMB-040  
Vieira, J. S. C.; CAT-022  
Vieira, K. C.; MAT-069  
Vieira, L. V.; AMB-031  
Vieira, P. C.; QPN-029, QPN-070  
Vieira, P. C.; QPN-051  
Vieira, S. S.; CAT-031, INO-071, ORG-084

Vieira-Filho, S. A.; QPN-112  
Vieira-Júnior, G. M.; QPN-111  
Vieira-Júnior, G. M.; QPN-103  
Viesser, R. V.; ORG-014  
Vignoli-Silva, M.; QPN-093  
Vilar, F. C. R.; QPN-015  
Vilegas, W.; QPN-101  
Vilela, G. A.; INO-014, INO-053  
Villar, J. D. F.; FOT-012  
Villegas, M. E.; BEA-017  
Vinhai, J. O.; ANA-040  
Vinhato, E.; ORG-105  
Vinhato, E.; ORG-018, ORG-027  
Virtuoso, L. S.; COL-006  
Visconde, L. L.; MAT-081  
Visentainer, J. V.; ANA-030  
Vitoret, A. B. F.; INO-101  
Vitorino, L. S.; MAT-059  
Vítório, F.; INO-084  
Vogel, C.; ORG-108  
Vogel, M.; EDU-038, EDU-046  
Vollbrecht, C. P.; AMB-056  
Volpe, P. L. O.; BIO-001  
Von Poser, G. L.; QPN-048, QPN-093

## W

Wakui, V. G.; QPN-019  
Waldman, W. R.; MAT-021  
Wassano, C. I.; QPN-124  
Watanabe, L. A.; QPN-065  
Watanabe, L. S.; ANA-078  
Weinert, P. L.; ANA-002, ANA-007  
Werworn, L. F. M.; MED-050  
Westphal, E.; INO-011, INO-020, INO-037,  
INO-095, INO-099, MAT-106, ORG-064  
Wientage, G. H.; QPN-010  
Wilke, D. V.; QPN-084  
Winck, F. V.; MAT-031  
Windmüller, C. C.; AMB-016, AMB-061,  
ANA-035  
Winkler, M. E. G.; MAT-114  
Winnischofer, H.; INO-020, INO-095,  
INO-099  
Winnischofer, S. M. B.; INO-099  
Wioppiold, T. A.; INO-007  
Wisniewski, A.; ANA-060  
Wisniewski, C.; ANA-064  
Wodtke, F.; ORG-107  
Wolfender, J. L.; BEA-018  
Wyatt, N. L. P.; AMB-031

## X

Xavier, F. R.; ORG-107  
Xavier, J. A.; BIO-009, MED-058  
Ximenes, RM; MED-037  
Ximenes, V. F.; FIS-010, ORG-026  
Ximenes, V.; MAT-009  
Ximenez, G. R.; QPN-109  
Xing, Y.; MAT-101

## Y

Yamaguchi, K. K. Lima; QPN-054  
Yamaguchi, L. F.; AMB-071  
Yamamoto, D. Y.; QVE-011  
Yeom, J.; FIS-035  
Yoshimura, T. M.; MAT-006  
Yoshinaga, M. L.; QPN-116  
Young, M. C. M.; QPN-097, QPN-114  
Youssef, K.; BEA-012  
Yunes, R. A.; MED-003

## Z

Zacchi, C. H. C.; ORG-055, ORG-084  
Zafred, A. F. D.; MAT-087  
Zaitsev, V.; ANA-039, MAT-012, MAT-101,  
MED-014  
Zanatta, A. C.; QPN-101  
Zanatta, E. R.; CAT-039  
Zanchet, D.; CAT-019  
Zandonai, D. P.; QPN-070  
Zanella, R.; AMB-020  
Zanlorenzi, C.; MAT-056, MAT-079,  
TEO-004  
Zanoni, M. V. B.; ELE-029  
Zanoni, M. V. B.; AMB-015, ELE-007,  
ELE-021  
Zanotelli, N. C.; BEA-006  
Zapata, M.; INO-065  
Zapateiro, G. A.; EDU-037  
Zarbin, A. J. G.; ELE-019, MAT-029,  
MAT-073, MAT-108, MAT-109,  
MAT-123, MAT-125  
Zarbin, A. J. G.; MAT-100  
Zarbin, P. H. G.; QPN-083  
Zeraik, M. L.; BEA-018  
Zhang, Y.; FIS-017  
Zimmer, F. C.; BEA-003  
Zimmermann, L. M.; MAT-054  
Zuanazzi, J. A. S.; QPN-048, QPN-093

$\alpha$ -glucosidase; QPN-051  
 $\alpha$ -Pineno; QPN-003  
 $\alpha$ -Acylyated  $\beta$ -thioenaminones; ORG-042  
 $\beta$ -carboline; MED-052  
 $\beta$ -carbolines; MED-042  
 $\beta$ -diketonate; INO-006  
 $\beta$ -diketone; INO-085  
 $\beta$ -enamiodicetona; ORG-071  
 $\beta$ -glucan; MED-035  
 $\eta$ 6-arenorutênio(II); INO-099  
(N-aryl)phosphoramidic; ORG-021  
(R)-1,2-propanediol; ORG-046  
(Z)-thiobutenynes; ORG-081  
[2+2]-cycloaddition; FOT-007  
1,10-phenanthroline-5,6-dione; INO-059  
1,2,3-triazoles; MED-018; ORG-061  
1,3,4-oxadiazole; ORG-010  
1,3,4-oxadiazol; INO-011  
1,3,5-triazine; MED-052  
1,3,5-triazines; ORG-012  
1,4-naphthoquinone; FOT-006  
1,6-anhydro- $\beta$ -D-glucopiranoose; TEC-007  
1,8-Cineole; QPN-018  
1-Octanol; ANA-027  
10-MDP; FIS-038  
1H NMR; QPN-067  
2,1,3-Benzotiadiazol; ORG-066  
2,6-pyridinedicarboxylic acid; ANA-039  
2-(4-hydroxiazobenzene)benzoic; INO-012  
2-amino- 1,4-naphthoquinone; ORG-016  
2-Aminonaphthoquinones; MED-020  
2-Aminothiazoles; ORG-091  
22- $\alpha$ -O-spirostane; QPN-101  
25I-NBOH; ORG-096  
25I-NBOMe; ORG-096  
2H-Furo[3,2-b]benzopyran-2-one; ORG-104  
3,4-dihydroisocoumarins; ORG-028  
3-hydroxy-indole-2-one; ORG-048  
3-Iodothiophenes; ORG-081  
3D printer; EDU-027  
3D printing; ANA-068  
3D Similarity Chemical Model; MED-011  
4-aminoantipyrine; INO-069  
4-methoxy-1-naphthalene; BIO-012  
4H hcp phase; MAT-061  
5 amino-tetrazole; ORG-074  
5-aminotetrazoles; ORG-077  
7-MEOTA-4-PA; MED-033

## A

Ab initio molecular dynamics; FIS-035  
abastecimento público; ANA-012  
Abelha branca; QPN-082  
Absorção plasmon; MAT-002; MAT-072  
absorção plasmônica; AMB-076  
Absorption; MED-057  
ABTS; ORG-090  
Academic Community Awareness; AMB-065  
Acaricidal Activity; QPN-045  
accessibility; EDU-027  
acetalization; QVE-009  
Acetaminophen; ANA-015

acetate; INO-012  
Acetylcholinesterase; MED-064  
Acetofenonas substituídas; ORG-032  
Acetogenins; QPN-114  
Acetophenone; MED-036  
Acetylaleuritic acid; QPN-106  
acetylcholinesterase; AMB-027; MED-018;  
MED-024; MED-033; MED-055  
Acetylene; CAT-005  
acetylsalicylic acid; AMB-024  
Achatina fulica; QPN-075  
AChE; MED-061  
Aciclonucleosídeo; ORG-085  
Acid Chlorides; ORG-069  
Acid oxidation; FIS-003  
Acid Treatment; MAT-048  
Acid violet 19; ANA-091  
acidic diterpenes; QPN-122  
Acidithiobacillus ferrooxidans; AMB-039  
Acidity; CAT-034  
ácido acetilsalicílico; INO-050  
Ácido aristolóquico; QPN-077  
ácido betulínico; QPN-033  
ácido clorogênico; QPN-100  
Ácido diluído; ANA-048; ANA-083  
ácido paederósídico; QPN-100  
ácido tânico; MAT-025  
Ácido vanílico; QPN-041  
ácidos clorogênicos; QPN-090  
ácidos graxos; QPN-108  
ácidos graxos metil ésteres; BEA-008  
acids and Bases; EDU-006  
Acilhidrazonas; MED-061  
Aciltioureias; INO-100  
Acinetobacter baumani; QPN-016  
Acridonic alkaloids; QPN-086  
acrylate copolymers; MAT-046  
action mechanism; MED-042  
activated carbon; MAT-092  
Activated charcoal; CAT-025  
active dressings; MAT-050  
Activated carbon; MAT-074  
açúcares; ANA-089  
açúcares redutores; AMB-040  
acyclic compounds; ORG-014  
Acyldhrazones; ORG-064  
Adamantane; INO-073  
Adduct; MED-010  
Adesivo; FIS-038  
Aditivos; ANA-021  
adsorção; AMB-034; AMB-043; AMB-077;  
FIS-028; INO-102; MAT-058; MAT-060  
adsorção competitiva; AMB-034  
adsorption; AMB-044; AMB-045; AMB-053;  
AMB-056; AMB-057; ANA-058;  
ANA-063; CAT-007; CAT-025;  
COL-003; COL-012; ELE-044; FIS-003;  
FIS-027; INO-054; INO-070; INO-083;  
INO-097; MAT-044; MAT-055; MAT-064;  
MAT-069; MAT-074  
Adsorption isotherms; ANA-057  
Adsorvente alternativo; FIS-028  
adsorvente natural; AMB-043

aduct; INO-045  
Adulterants; ANA-032; ANA-078  
Adulteration; ANA-072  
advanced oxidation process; AMB-049  
Aedes aegypti; MED-041; ORG-089;  
QPN-014  
Aeolanthus suaveolens; ORG-041  
Aerogel; BEA-017  
Aerogel de grafeno; ANA-095  
África; EDU-022  
Agonist activity; MED-044  
Agregation; BIO-013  
Agricultura; ANA-012  
agrochemicals; AMB-032  
agrodefensivos; ANA-012  
agrotóxicos; AMB-017  
água; ANA-012  
Água de coco; ANA-014  
Água do mar; FIS-029  
água para consumo humano; AMB-055  
águas; AMB-067  
águas superficiais; AMB-011; AMB-028  
air pollution; AMB-008  
air quality; AMB-003  
Airbrush; MAT-080  
Albendazol; MED-013  
Alcalóides; QPN-085  
Alcanos; ANA-086  
Alcohol oxidation; CAT-006; CAT-010;  
ELE-026  
Alcoholic beverage; ANA-034  
alcoholic beverages; BEA-005  
Álcoois homoalílicos; ORG-037  
Aldehyde; CAT-018  
aldeídos; AMB-005; QPN-055  
Aldoxime; MED-033  
alfa arylation; ORG-019  
algae; AMB-042  
algae turf scrubber; AMB-042  
Alilação; ORG-037  
alimentos; BEA-011  
ALK-5; TEO-010  
alkaloids; MED-055; QPN-040; QPN-042;  
QPN-115  
Alkylamides; QPN-045  
Alkylation; ORG-026  
alpha-hydroxy malonates; ORG-062  
alpha-hydroxy-gamma-lactone; ORG-062  
alpha-hydroxylation; ORG-062  
Alternative green route; ORG-042  
Aluminum; AMB-079  
Alzheimer s disease; MED-018  
Alzheimer's Disease; FOT-005  
Alzheimer's disease; INO-095  
Alzheimer's disease; MED-044  
Amazon; AMB-030  
Amazon Basin; AMB-078  
Amazon Region; AMB-060  
Amazônia; AMB-023  
amazonian aquatic systems; AMB-022  
ambiental; EDU-049  
Amide; ORG-007

Amides; FIS-009; ORG-047  
Amido; BEA-017; MAT-065  
Amiláceos; ANA-083  
aminas quirais; ORG-051  
Amine; ORG-007  
amine oxidation; CAT-015  
Amino acids; ORG-097  
Amino-naphthoquinones; QPN-084  
aminoácidos; INO-034  
Ammonia; INO-097  
Ammonium thiosulfate; FIS-015  
Amostrador passivo; MAT-027  
Amperometric; ELE-035  
amphetamines; MED-066; TEO-008  
Amphilophium crucigerum; QPN-052  
Amphiphilic molecules; MAT-067  
amphotericin B; MAT-059  
Amyloid Beta Peptide; FOT-005  
Amyloid- $\beta$ ; INO-095  
Amyloids; MAT-118  
análise conformacional; TEO-005  
análise físico-química; AMB-035  
Análise Multivariada; ANA-048  
Análise por injeção em fluxo; ANA-095  
análise térmica; AMB-075  
análise termogravimétrica; ORG-003  
Análises em fluxo; ANA-026  
Análises por injeção em fluxo; ANA-028  
Analytical standards; ORG-096  
Anestésicos; ORG-078  
anilines; ELE-025  
anionic clays; AMB-051; INO-062  
Annonaceae; QPN-013; QPN-040;  
QPN-107; QPN-114  
anodization; MAT-102  
ANP; ANA-087; ANA-088  
Anthocyanin content; QPN-023  
Anthrone; QPN-051  
anthropogenic emissions; AMB-007  
Anti helminthic; MED-006  
anti-fouling; COL-004  
Anti-helmínticos naturais; MED-013  
Anti-inflammatory activity; QPN-110  
Anti-Leishmania; QPN-098  
Anti-Plasmodium falciparum; MED-010  
anti-scaling; COL-004; MAT-038  
Antiacetilcolinesterase; ORG-110  
Antibacterial; ORG-054  
Antibacterial Activity; MED-020  
antibiótico; QPN-001  
antibióticos; AMB-076; INO-071  
anticancer activity; BIO-009  
antichemotactic activity; QPN-048  
Anticoagulant solution; ANA-092  
anticonvulsant prototype; INO-019  
antidiabetic properties; QPN-092  
antifreeze; MAT-046  
Antifungal activities; ORG-097  
Antifungal activity; QPN-018  
antifúngica; QPN-050; QPN-053  
Antifúngico; ORG-036; QPN-001  
antigen-antibody interaction; ELE-017  
Antiglycation; MED-058  
Antigungal activity; QPN-002  
Antileishmanial activity; MED-019;  
MED-052; QPN-116  
Antimalarial; MED-010; QPN-088  
antimicrobial; MAT-053; MED-011; QPN-008  
antimicrobial activity; INO-024; MED-037;  
QPN-057  
Antimicrobial Peptides; BIO-010  
Antimicrobial activity; QPN-065  
Antimicrobianos; QPN-004  
antimônio; INO-058  
antineoplásico; ANA-006  
antioxidant action; ORG-065  
Antioxidant activities; QPN-039  
Antioxidant activity; BEA-012; MED-003;  
QPN-023; QPN-028; QPN-074  
Antioxidant capacity; BEA-010; BEA-018  
Antioxidante; FOT-014; MED-061;  
QPN-035; QPN-082  
antioxidantes; ANA-087; ANA-088  
Antioxidants; BEA-002; FIS-025  
antiparasitária; ORG-087  
antiproliferative activity; MED-042;  
ORG-028; QPN-016; QPN-115  
Antiproteolytic activity; MED-036  
antiradicalar; QPN-080  
Antiretrovirals; TEC-001  
antitrypanosomal; MED-007  
antitumor; INO-009; INO-016  
Antitumor activities; INO-074  
antitumoral; MED-007  
antiviral activity; MED-035  
Apdosperma; BIO-002  
Apocynaceae; QPN-117  
Aporphine alkaloids; QPN-087  
Appropriation of Concepts; EDU-018  
Aprendizagem; EDU-034; EDU-061  
aqueous CO<sub>2</sub> as a catalyst; MAT-114  
aqueous dispersions; MAT-109  
Aqueous fraction extraction; QPN-038  
Aqueous medium; CAT-006  
Aqueous two-phase system; FIS-015;  
FIS-037  
aqueous two-phase systems; AMB-064;  
COL-011; FIS-021; FIS-022  
Arduino; ANA-025  
argila; MAT-025  
arginase; MED-030  
Argininyl bufadienolides; QPN-078  
Aristolochia; QPN-077  
aromas; CAT-008  
Aromatizantes; ANA-021  
Aroylbisthiourea; INO-007  
arsênio; AMB-026  
Arte e ensino; EDU-057  
Artemetin; QPN-106  
Artepillin C; QPN-121  
Artesunic acid; QPN-073  
Arthrospira platensis; QPN-038  
Artigos científicos; EDU-010  
Aryl ketones; ORG-038  
Arylamides; ORG-069  
Arylation; ORG-038  
Aryldiazonium Salts; ORG-023  
Arylpropanoids; QPN-009  
Arynes; ORG-038  
Ascidians; QPN-058  
ASGM; MAT-027  
ash; MAT-094  
Aspergillus flavus; MAT-053  
Aspergillus sp. (FSF06); QPN-065  
asphaltene; FIS-027  
Assignments; ORG-102  
Assimetria; ORG-066  
Asteraceae; QPN-019; QPN-090; QPN-091;  
QPN-113; QPN-116; QPN-119  
astrobiologia; FIS-036  
astrobiology; AMB-039; AMB-071  
Astrochemistry; FIS-002  
At-line-bioassay; BIO-004  
Atendimento Educacional Esp.; EDU-063  
atividade anti-parasitária; QPN-085  
Atividade antiangiogênica; FOT-011  
Atividade Antifúngica; QPN-097  
Atividade antimicrobiana; BIO-014; INO-066  
atividade antipirônica; ORG-017  
atividade antiproliferativa; QPN-027  
atividade antioxidante; QPN-036  
Atividade citotóxica; ORG-110  
Atividade Exper Investigativa; EDU-039  
Atividade fotodinâmica; FOT-011  
atividade fotoprotetora; QPN-105  
atividade inibitória; BIO-008  
Atividade tripanocida; MED-012  
Atividades farmacológicas; ORG-041  
Atmosfera; EDU-017  
Atmospheric Biomonitoring; ANA-036  
atmospheric chemistry; AMB-008  
atmospheric contaminants; AMB-009  
atmospheric deposition; AMB-013  
atmospheric particulate matter; AMB-003  
atmospheric pollution; AMB-002  
atomic absorption spectrometry; ANA-045  
Átomos; EDU-005  
ATR; ANA-080  
ATR-FTIR; ELE-036  
Atrazina; AMB-080  
atropisomers; ORG-012  
ATRP; CAT-024; CAT-028  
ATS; AMB-042  
Au nanorods; MED-014  
Au-S interaction; INO-002  
Augmented; EDU-058  
Aulas experimentais; EDU-056  
Aulas práticas; EDU-060  
AuNP; ELE-030  
AuPd; MAT-095  
AuPt; MAT-095  
aurantricholide; ORG-104  
auto-discharge; EDU-053  
automação; ANA-064  
Automated system; ANA-065  
Azaphilones; QPN-060  
Azlactone; ORG-093



azlactones; ORG-019  
Azo dye; ELE-016  
azo dyes; AMB-051  
Azole; MED-008  
Azul de Metileno; CAT-037; FIS-018;  
FOT-011

## B

BAμE; AMB-020  
babaçu; AMB-075  
Baccharis punctulata; ORG-011  
Baccharis retusa; QPN-113  
Bacteria detection; ANA-068  
Bacterial cellulose; MAT-047  
Bacterial infection; ELE-012  
Bacterial infections; ORG-045  
Bacterial Resistance; MED-025  
bactericida; INO-030  
bactericide; QPN-122  
Bacuri; BIO-011  
Bader Analysis; CAT-007  
balanceamento; EDU-001  
banana peels; AMB-056  
Banisteriopsis; QPN-008  
barigui rver; AMB-024  
Barium; COL-003  
Bark tree; ANA-036  
Barley waste; FIS-025  
base de Schiff; INO-067  
baselines; AMB-022  
Bases de Schiff; ORG-021  
bases de Schiff tetradentadas; INO-060  
Basic Catalysis; INO-080  
Batch-injection analysis; ELE-052  
Baterias; EDU-028; EDU-059  
Bauhinia cheilantha; QPN-014  
BDD; ELE-027  
BDD electrode; ELE-010  
beach; AMB-031  
Bebidas adulteradas; ELE-028  
Belousov-Zhabotinsky; FIS-024  
Benzenoids; QPN-087  
benzimidazol; FOT-012  
benzimidazole; INO-014  
benzimidazoles; TEC-003  
Benzino; ORG-033  
Benzophenone; MED-036  
benzoquinona; ORG-017  
benzothiazoles; TEC-003  
Benzoylguanidines; MED-019  
Benzyl alcohol; CAT-010  
Berenil; ANA-022  
bergenin; QPN-074  
bernumidina; ORG-020  
beta-dicetona; INO-011  
beta-Hydroxy(amino)amides; ORG-001  
beta-Zeolite; AMB-047  
betalains; FOT-015  
BIA; ELE-006  
bifenil; FOT-012  
biflavonoides; QPN-027  
bifosfinas; INO-034

Big Data; TEC-001  
Biginelli; ORG-107  
Biginelli reaction; ORG-084  
Bignoniacae; QPN-044; QPN-052  
Bignonieae; QPN-044  
Bimetallic catalysts; CAT-017  
BINANA-; MED-028  
binary mixtures; FIS-026  
Binding Affinity; MED-063  
Bio-oil; CAT-009  
bio-óleo; TEC-010  
Bioaccumulation; AMB-058  
bioactive terpenes; QPN-102  
Bioavailability; ANA-035  
Biocatalisador; MAT-124  
biocatálise; CAT-008; ORG-040  
biocatalysis; ORG-001; ORG-065; QVE-011  
Biocatalyst; CAT-013  
Biocatalytic Membrane Reactor; TEC-011  
biocombustíveis; AMB-040; AMB-069;  
TEC-010  
Biocompatible polymer; ELE-009  
Biocromatografia; ORG-075  
Biodegradable; MAT-028  
Biodegradable films; QVE-002; QVE-006  
Biodegradable polymer; ELE-009  
Biodegradation; QPN-068  
Biodiesel; ANA-029; ANA-087; ANA-088;  
CAT-009; EDU-010; EDU-036;  
EDU-051; FIS-025; FIS-033; MAT-046;  
ORG-109; QPN-026; QVE-003;  
TEC-002; TEC-004; TEC-005;  
TEC-006; TEC-010  
bioenergia; AMB-041  
Bioethanol; ELE-062  
Biofilme; MAT-065  
Biofuel; TEC-004; TEC-006  
biogás; AMB-041  
biogenic emissions; AMB-007  
biogenic hydrocarbons; AMB-008  
Bioglass; MAT-062  
Biohíbrido; MAT-033  
Bioindicador; AMB-081  
Biological Activities; ORG-021; QPN-031;  
QPN-099  
biological activity; INO-084; ORG-108;  
QPN-006  
biological fluids; ELE-006  
bioluminescent mushroom.; ORG-063  
Biomarker; MAT-088  
Biomarkers; ANA-020  
biomass; AMB-042; AMB-059; AMB-074;  
CAT-019; CAT-038; QVE-011; TEC-007  
biomassa; AMB-070; AMB-077; MAT-060  
biomassa residual; AMB-040  
Biomaterial; MAT-028; MAT-093  
biomaterials; MAT-113  
Biomonitoring; AMB-081  
Biopolymer; MAT-042  
Bioprospeção; QPN-017  
bioreactors; ORG-039  
Bioreductive Prodrugs; INO-068  
bioremediation; AMB-042; AMB-058

bioreator a membrana; AMB-037  
Biorremediation; AMB-054  
biosensor; ELE-017; ELE-057  
Biosensors; ELE-048  
biosignature; AMB-039  
biosignatures; AMB-071  
biosorbent system; AMB-061  
biosorption; AMB-025; ANA-057  
biosensor; ELE-037  
biosorvente; AMB-055  
Biostimulant; ORG-057  
biotemplates; MAT-113  
Biothiols; ELE-049  
Biotransformação; BIO-014; MAT-033  
Biotransformações; QPN-055; QPN-072  
Biotransformation; MED-050  
Biphenylation; ORG-026  
bipodal dicarboxylic ligand; INO-027  
Bipy; BEA-010  
Bis(dethio)bis(methylthio)glio; QPN-065  
bis-benzoxazine; ORG-076  
bis-hydrazones; BIO-009  
Bis-trifluoromethylquinolines; MED-010  
BisGMA; FIS-039  
Bismuth; ANA-041; ORG-077  
bismuto; INO-058  
Bisperilenimidas; ORG-025  
Bisphenol A; AMB-054; ANA-027  
bistability; ELE-054  
bixin; AMB-044; AMB-046; AMB-061  
Black Mud; CAT-004  
Black phosphorus; MAT-073  
bleaching; MAT-119  
bleaching catalysis; INO-051  
Blendas; MAT-004  
Blends; QPN-026  
Blends of poly(lactic acid); CAT-034  
Blind docking Study; MED-015  
Block copolymers; MAT-090  
Blood bag; ANA-093  
Blood bags; ANA-092  
blood brain barrier (BBB); MED-007  
Boa noite cinderela; ELE-028  
board game; EDU-019  
Boehm titration; AMB-025  
Bombix mori; MAT-022  
Bone substitutes; MAT-093  
Boold bags; ANA-094  
Boro; ORG-086  
Boron doped diamond; ELE-052  
boron-doped diamond anode (BDD); FIS-012  
boron-doped diamond electrode; ELE-049  
borra de café; CAT-008  
Boson Peak; FIS-017  
Botryosphaeran; ELE-050; MED-035  
Botryosphaeria rhodina MAMB-05;  
ORG-065  
Bovine trichomonosis; QPN-021  
BPA; ELE-057  
Braille; EDU-027  
Brasoside; QPN-048  
Brazilian Cerrado; QPN-024

Brazilian Coast Fishes; AMB-072  
 Brazilian fruits; BEA-012  
 Brazilian toads; QPN-078  
 Bread; BEA-003  
 Breath-figure; MAT-082  
 brilliant green; AMB-044  
 Bromine; BEA-016  
 Bromoaminociclicização; ORG-095  
 BSA; INO-049  
 BTEX; ANA-055; ANA-056; MAT-063  
 bufadienolides; QPN-104  
 Bufonidae; QPN-078  
 building blocks; INO-041  
 bulk alcohols; TEO-013  
 Bupivacaína; ORG-078  
 Burity; QPN-034  
 Butenólídeos; QPN-098  
 Butyrylcholinesterase; QPN-125  
 byproducts; AMB-027

## C

C sequestration; AMB-033  
 C-H activation; ORG-029  
 C. limonia; QPN-079  
 C. sinensis; QPN-079  
 C6-C4-derivatives; QPN-009  
 CA4; MED-015  
 Cabernet Sauvignon; BEA-007  
 Caesalpinia pulcherrima; QPN-003  
 cafeoil; QPN-100  
 caffeine; ANA-004; INO-054  
 Caffeine extraction; EDU-055  
 Calcium; CAT-001; MED-043  
 calcium alginate; ORG-039  
 Calcium carbonate; MAT-038  
 calcium channel; MED-043  
 Calcium polyphosphate; MAT-093  
 Cálculo; EDU-016  
 Cálculos teóricos; ORG-068; TEO-005  
 Calea pinnatifida; QPN-116  
 Calea pinnatifida (R.Br) Less.; QPN-049  
 Calealactone C; QPN-116  
 calixarene; INO-086  
 Calixarenes; INO-080; ORG-084  
 Calixarenos; ORG-055  
 calorimetry; BEA-005; COL-005  
 CAM-B3LYP; TEO-011  
 câmara de combustão; AMB-005  
 Camellia sinensis; ANA-018  
 camomila; BEA-004  
 cana-de-açúcar; AMB-012  
 cãnçe; FIS-001  
 Cancer; COL-007  
 Câncer; COL-009; INO-023; INO-032;  
 INO-034  
 Cancer; INO-068; INO-075  
 Câncer; INO-090; INO-100  
 Cancer; MAT-101  
 Câncer; MED-005  
 Cancer; MED-015; MED-022  
 Câncer; MED-048  
 Cancer; MED-051; ORG-022; ORG-108;  
 TEO-010  
 Cancer cells; QPN-016  
 Candidíase; ORG-036  
 Candidiasis; QPN-018  
 Candy; ANA-063  
 Capacidade Antioxídante; QPN-121  
 capillary zone electrophoresis; ANA-003  
 caracterização; INO-030  
 caracterização eletroquímica; ELE-053  
 Caracterização físico-química; FIS-030  
 Carbamatos alílicos; ORG-095  
 carbaril; AMB-043  
 Carbodiimidas; ORG-078  
 Carbohidrazonamidas; MED-012  
 carbohydrate synthesis; ORG-108  
 Carbohydrates; ANA-066  
 carbon black; INO-044; INO-056  
 carbon capture; AMB-006  
 carbon dioxide; AMB-006; CAT-033;  
 INO-014  
 Carbon Dots; MAT-012  
 carbon fiber microelectrode; ELE-045  
 Carbon nanofibers; ELE-062  
 Carbon nanostructure; CAT-005  
 Carbon Nanotube; ELE-044; ELE-056;  
 MAT-022; MAT-029  
 Carbon nanotubes; ANA-052; ELE-019;  
 ELE-040; ELE-047; MAT-043; MAT-108  
 carbon nanotubes dispersions; MAT-109  
 Carbon nanotubes.; FIS-003  
 carbon steel; ELE-002  
 carbon structures; ELE-014  
 Carbon-based electrodes; ELE-033  
 Carbonatation; FIS-032  
 Carbonato de glicerila; ORG-094  
 carbonatos cíclicos; INO-005  
 carbonização hidrotérmica; MAT-060  
 carbonyl compounds; AMB-007; BEA-013  
 Carbonylation; ORG-019  
 Carboxilic acids; ORG-004  
 Carboxylic Acids; ORG-061  
 Carboxyl cellulose; CAT-020  
 carboydrázides; BIO-012  
 carcinogenic risk; AMB-029  
 Cardanol; ORG-102  
 cardiomyocyte; MED-043  
 Cardiovascular Diseases; INO-088  
 carotenoids; AMB-071; ANA-030  
 Carrapaticida; MAT-071  
 Carreadores de ânions; ORG-068  
 Carrots; QVE-011  
 Carvacrol; MED-003  
 Carvão ativado; MAT-058  
 casca de arroz; AMB-040  
 Casca de Pinhão; QVE-010  
 Casearia arborea; QPN-041  
 cashew gum; INO-042  
 Cassava; FOT-004; MAT-094  
 Catalisador; INO-079  
 catalisador biomimético; INO-018  
 catalisador heterogêneo; FIS-033  
 Catalisadores; MAT-035  
 catálise; INO-001; ORG-051  
 Catálise ácida; ORG-034  
 Catálise heterogênea; CAT-037; INO-071;  
 ORG-055  
 Catálise híbrida; CAT-036  
 catálise homogênea; CAT-036  
 Catálise orgânica; ORG-037  
 Catalysis; CAT-006; CAT-016; CAT-019;  
 CAT-038; ORG-049; ORG-083;  
 TEO-014  
 catalyst; CAT-035; MAT-057; TEC-004  
 Catalytic decomposition; CAT-005  
 Catechol; ELE-052; INO-063; INO-068  
 Catecholamines; ANA-020  
 Catecolaminas; ANA-013  
 Cathepsin D; MED-046  
 Cathepsin K inhibitors; ORG-044; QPN-029  
 cathinones; MED-066; TEO-008  
 cationic surfactant; COL-005  
 Cattle Tick; MED-024  
 CCR2; MAT-036  
 Cebola brava; BIO-011  
 Cédulas; ANA-008  
 Celastraceae; QPN-112; QPN-120  
 Cellulase immobilization; COL-001  
 Cellulose; MAT-042; MAT-066; MAT-080;  
 MAT-092; ORG-002  
 Cellulose modification; CAT-020  
 Celular death; INO-074  
 CeO<sub>2</sub>; CAT-012  
 Ceramic Membrane; TEC-011  
 Cercospora brachiata; QPN-064  
 Ceria; ELE-005  
 céria; INO-015  
 cerium nanostructured; ELE-011  
 Cerium(IV) oxide; MAT-097  
 cerrado; QPN-008  
 Cerrado biome; QPN-099  
 cerveja; BEA-020  
 Cerveja artesanal; BEA-019  
 Cetonas; QPN-055  
 cevada; AMB-043  
 CG-MS; QPN-006  
 Chagas Disease; MED-004; MED-008;  
 ORG-029  
 Chagas' disease; MED-017  
 chalcogenolate; INO-078  
 Chalcona; MED-053; TEO-005  
 Chalconas; BIO-014; MED-045  
 Chalconas sintéticas; ORG-110  
 Chalcone; MED-034  
 Chalcones; MED-041  
 Chamaecrista; QPN-022  
 Chamomilla recutita; BEA-004  
 CHAOTROPIC AGENTS; BIO-013  
 chaotropicity dependence; ELE-015  
 Characterization; MAT-023  
 Characterization of materials; FIS-008  
 Characterization techniques.; QVE-001  
 Charge-Transfer; MAT-024  
 Chás; QPN-077  
 chelant agent; AMB-045  
 Chemical bonds; EDU-012

Chemical Circuit; EDU-064  
 Chemical composition; QPN-013; QPN-039  
 Chemical Compounds; QPN-031  
 chemical ecology; QPN-083  
 Chemical functionalization; ELE-040  
 Chemical Jury; EDU-018  
 Chemical Kinetics; EDU-013  
 Chemical patents; TEC-001  
 Chemical Polymerization; MAT-005  
 Chemical profile; QPN-078  
 Chemical prospecting; QPN-066; QPN-067  
 Chemical recycling; CAT-035  
 Chemical study; QPN-065  
 Chemical synthesis of graphene; MAT-123  
 Chemical Waste; AMB-065; QVE-013  
 Chemiluminescent; ANA-025  
 Chemistry; EDU-042; EDU-058  
 Chemistry Education; EDU-013; EDU-033  
 Chemistry student; EDU-045  
 Chemistry teachers; EDU-040  
 Chemistry teaching; EDU-025; EDU-029;  
 EDU-032; EDU-043; EDU-064  
 Chemistry Undergraduate; EDU-046  
 Chemometric; ORG-053; QPN-015  
 Chemometrics; ANA-070; ANA-072;  
 ANA-073; BEA-002  
 Chemotherapy; MED-051  
 Chia; QPN-026  
 Chikungunya; ORG-085  
 Chiral amines; ORG-049  
 Chiral polymers; MAT-079  
 Chirality imprinting; FIS-035  
 Chirality parameter; MAT-079  
 Chitosan; FIS-016; MAT-023; MAT-036;  
 MAT-053; MAT-055; MAT-071; MAT-077  
 Chitosan composites; MAT-055  
 Chitosan films; ANA-063  
 chlorination; AMB-027; ORG-053  
 Chlorine; ANA-050  
 chlorine dioxide; INO-045  
 chlorite; INO-045  
 chlorogenic acid; QPN-032  
 Choline Chloride; COL-011; FIS-021  
 chromatographic resolution; BIO-003  
 Chromatography; ANA-001; ANA-016  
 Chromium (VI); ANA-057; INO-083  
 chromium(III); INO-041  
 Chronic myeloid leukemia; MED-016  
 chumbo; AMB-034; ANA-042  
 cianetação; AMB-026  
 Ciclodextrina; FIS-039  
 ciclodextrinas; INO-048  
 CID fragmentation; QPN-061  
 Ciência e Arte; EDU-004  
 Cigarros; ANA-021  
 cinchona; ORG-018  
 cinética; EDU-049; FIS-020; INO-099  
 Cinnamomum verum; QPN-004  
 Cipó cacheado; QPN-054  
 cipó-caboclo; QPN-033  
 Ciprofibrate; ANA-007  
 Citocalasina H; QPN-071  
 Citotoxicidade; INO-066; MED-054  
 Citrate; ANA-092  
 Citric acid; MAT-012; MAT-018; MAT-067  
 Citrus phytopathogens; QPN-124  
 Cladosporium herbarum; QPN-017  
 CLAE; ANA-002; ANA-011; QPN-052  
 Classical analysis; ANA-085  
 Classificação textural; ANA-061  
 classroom; EDU-052  
 clay minerals; AMB-057  
 Click chemistry; MAT-011; MED-018;  
 ORG-052  
 click reaction; MAT-051  
 clinical chemistry; ANA-080  
 cloração; AMB-067  
 clorexidina; AMB-067  
 cloroaminociclicização; ORG-027  
 Clusia grandiflora; BIO-011  
 Clusiaceae; BIO-011; QPN-105  
 CNLS; ORG-102  
 CO Adsorption; FIS-008  
 Co nanoparticles; CAT-027  
 Co-crystals; MAT-020  
 co-culture; QPN-124  
 CO<sub>2</sub>; CAT-021  
 CO<sub>2</sub> capture; AMB-038  
 CO<sub>2</sub> reduction; ELE-021  
 CO<sub>2</sub> supercrítico; BEA-017  
 CO<sub>2</sub> utilization; MAT-114  
 CO<sub>2</sub> valorization; CAT-027  
 Coarse-grained; TEO-001  
 coating; MAT-021  
 Coaxial fibers; MAT-045  
 cobalt catalysts; INO-053  
 Cobalt Complexes; INO-068  
 Cobalt oxide spinel; FIS-035  
 cobalt(II); EST-001; INO-029  
 Cobalt(II) Complexes; CAT-029  
 cobalto; INO-023  
 cobalto(II); INO-026; INO-091  
 Cobaltoceno; ORG-105  
 cobre; AMB-034; AMB-066; ANA-042;  
 ORG-072  
 Cobre (I); INO-100  
 Cobre(II); INO-091  
 Cocaína; ANA-008  
 Cocaine; ANA-032  
 Coconut; QPN-026  
 coconut oil; ANA-074  
 cocoon; INO-035  
 cocos nucifera Linn.; ANA-074  
 Coffee grounds; ANA-058; MAT-055  
 Coffee quality control; ANA-078  
 Collisional cross section; QPN-061  
 colloidal stability; INO-042  
 Colloids; MAT-041  
 Color; AMB-079  
 Colorimeter; FIS-005  
 Colorimetria; ANA-090  
 Colorimetric transition; ANA-032  
 Colorimetric indicator; TEC-008  
 column chromatography; ORG-101  
 Coluna de Pré-concentração; ORG-086  
 combustion method; INO-022  
 CoMFA; MED-009; MED-049  
 Comparative Modeling; MED-024  
 Compatibility; ANA-071  
 complex; INO-009; INO-076; MAT-088  
 Complex matrices; BIO-004  
 Complex Nitrosyls; INO-088  
 Complexação; EDU-021; FOT-011  
 Complexation capacity; ANA-025  
 complexes; INO-016; INO-055  
 Complexo; INO-082  
 Complexo de cobalto(III); INO-090  
 complexo de Mn(I); FOT-003  
 complexo de níquel (II); INO-067  
 Complexo Ru(II); FOT-014  
 complexes; INO-058  
 complexos binucleares; INO-060  
 complexos com amidas; INO-039  
 complexos de chumbo (II); INO-094  
 complexos de cobre(II); INO-047  
 Complexos de coordenação; TEO-007  
 complexos de inclusão; INO-048  
 Composição química; QPN-118  
 Composite; MAT-103; MAT-112  
 Composites; MAT-047  
 composto de coordenação; INO-011  
 Compostos carbonílicos; QPN-072  
 Compostos fendílicos; BEA-019; QPN-036  
 Comprimento de cadeia; ANA-086  
 Computacional Chemistry; INO-064  
 Computational Chemistry; TEO-014  
 Computer Aided Drug Design; MED-046  
 Computer-Aided prediction; BIO-009  
 CoMSIA; MED-049  
 Conceitos; EDU-005  
 Concentração ácida; ANA-062  
 conceptual profile; EDU-032  
 concreto; MAT-086  
 Condensation; CAT-026  
 condições sanitárias; AMB-068  
 Conducting; MAT-028  
 Conducting Polymer; MAT-110  
 conducting thin films; MAT-109  
 Conductive polymer; ELE-009  
 Conformational analysis; ORG-014  
 Conformations; ORG-031  
 Congo Red; ANA-058  
 conjugate rigid spacer; INO-027  
 Conjugated polymer; MAT-056  
 Conjugated polymers; MAT-090; MAT-096  
 connection mode; ANA-022  
 conservation; QPN-019  
 Consumo; EDU-015  
 Contactless detection; ANA-068  
 contagem microbiana; BEA-004  
 contaminantes ambientais; INO-071  
 contextualização; EDU-014; EDU-062  
 Continuous Fermentation; TEC-011  
 continuous flow; ORG-039  
 Continuous-flow; ORG-046  
 controle de qualidade de leite; ANA-067

Controlled drug delivery; MAT-045  
 Controlled release; BEA-006; MAT-003; MAT-078  
 Conventional heating; CAT-026  
 Conversão de CO<sub>2</sub>; CAT-023  
 cooperative collectors; AMB-004  
 coordination chemistry; EST-001; INO-081  
 coordination complex; INO-029  
 coordination complexes; INO-059  
 coordination compound; INO-025; INO-037; INO-052  
 Coordination compounds; INO-002; INO-003; INO-040; INO-063  
 Coordination Polymer; INO-007  
 copaifera reticulata; QPN-122  
 copper (I) complexes; INO-089  
 Copper Complex; INO-004; INO-057  
 Copper Complexes; INO-064  
 Copper determination; ELE-062  
 coprostanol; AMB-023  
 Coqueiros Community; QPN-024  
 corante; AMB-077; EDU-049  
 Corante básico; FIS-028  
 Corante direto; FIS-028  
 Corantes têxteis; FIS-028  
 Cordiera sessilis; QPN-099  
 Core shell structures; INO-092  
 Core-hole clock method; MAT-100  
 Corn stalks (*Zea Mays L.*); ANA-057  
 corrosão; EDU-014; MAT-086; ORG-060  
 Corrosion; MAT-121  
 corrosion inhibitor; ELE-025  
 corrosion inhibitors; ELE-002  
 Cortisol; ELE-046  
 Cosmetics; ANA-037; BIO-006; TEC-008  
 coumarin; FOT-008; INO-024; MED-025; QPN-059  
 Coumarin derivatives; INO-084  
 Coupling reactions; CAT-020  
 Coupling Reagents; ORG-069  
 cozinha científica; EDU-060  
 Cr(III); AMB-028  
 Cr(VI); AMB-028  
 CRF; MAT-023  
 CRGO; ELE-006  
 Criminal Science; MED-023  
 Cristais líquidos; ORG-025; ORG-035; ORG-066  
 Cristais líquidos; ORG-082  
 Cristais líquidos iônicos; ORG-082  
 Cristal líquido iônico; MAT-106  
 cromaticidade; INO-015  
 Cromatografia; ANA-086; BEA-007; BEA-009; BEA-019  
 cromatografia à gás; BEA-008  
 Cromatografia em camada delgada; ANA-005  
 Cromatografia em camada fina; EDU-051  
 cromatografia gasosa; AMB-075; ANA-014; ANA-075; ANA-079  
 cromatografia iônica; AMB-019  
 Cromatografia Líquida; ANA-013; ORG-075  
 cross-β structure; MAT-050; MAT-051  
 crosslinked polymer; MAT-064

Croton; QPN-012  
 Croton sacaquinha; QPN-106  
 crown ether; TEO-013  
 Crude glycerol; CAT-025  
 Crude oil; ANA-054; FIS-027  
 Crude oils; ANA-060  
 Crumpled graphene balls; MAT-015  
 Cruzain; MED-004; MED-029  
 Crystal disorder; INO-008  
 crystal engineering; INO-081  
 Crystal nucleation; MAT-118  
 crystal size; MAT-057  
 crystal structure; INO-025  
 CsPb<sub>1-x</sub>Sn<sub>x</sub>Br<sub>3</sub>; INO-101  
 CsPbBr<sub>3</sub>; INO-101  
 CTAB; COL-006  
 Cu(II) complexes; INO-069  
 Cu<sup>2+</sup> ions; MAT-116  
 Cu<sub>2</sub>O; MAT-105  
 Cu<sub>2</sub>V<sub>2</sub>O<sub>7</sub>; MAT-018  
 Cucurbita moschata; QPN-072  
 Cupper ions; ANA-053  
 Cuprous oxide; INO-065  
 Curcumina; FOT-011  
 cuticular waxes; QPN-044  
 Cyanide; FOT-004  
 cyclic anhydrides; ORG-004  
 cyclic carbonate; INO-014  
 cyclic carbonates; INO-053  
 cyclic peptides; QPN-125  
 Cyclic peptides; QPN-076  
 cyclic voltammetry; BIO-009; ELE-047; ELE-056; ELE-057; INO-059  
 cycloaddition; INO-014; ORG-016  
 Cyclohexylamine 2-substituted; ORG-031  
 Cyclopentane; COL-008  
 cyclopentene; ORG-030  
 Cyclotides; QPN-076  
 cytotoxic activity; INO-036; INO-069; MED-015; QPN-014; QPN-087  
 Cytotoxicity; INO-075; MAT-077; ORG-006; QPN-058; QPN-074; QPN-088; QPN-117

**D**

D-mannitol; ORG-079  
 DAGL-alpha; MED-065  
 DAT; MED-031  
 data management; QPN-056  
 DBA/2 mice; ANA-015  
 DBP; AMB-048  
 DEA; AMB-080  
 Debris; FIS-003  
 Decavanadato; INO-091  
 Decolorization; ELE-016  
 Decoralin; BIO-010  
 Deep Eutectic Solvents; QVE-002  
 Defects; ANA-078  
 Deficiente Auditivo; EDU-063  
 degradação; ANA-089; CAT-037; FIS-020  
 degradação de poluentes; AMB-052  
 Dehydration; MAT-048

delineamento composto central; AMB-050  
 delta-decalactona; ORG-041  
 demineralization; TEC-009  
 Demolition timber; EDU-048  
 dengue fever; MED-035  
 Density; TEC-005  
 Density functional theory; FIS-010; INO-061; ORG-073; ORG-093  
 Dental; FIS-039  
 Deodorants; ANA-037  
 dephosphorylation; FIS-005  
 Dephosphorylation; ORG-067  
 Dephosphorylation reactions; FIS-009  
 Deprived of liberty; EDU-042  
 dereplication; QPN-032; QPN-060  
 Derivado sulfonil-hidrazônico; ELE-032  
 Derivados de Pirazol; ORG-060  
 derivatives; QPN-074  
 DES; FIS-013; QVE-007; QVE-008  
 desalination; MAT-008; MAT-041  
 Descoloração; FIS-020  
 Desenvolvimento De Método; ANA-013  
 desinfecção; AMB-050  
 Desulfuriza; MAT-044  
 Detecção colorimétrica; ANA-067  
 detecção de fenol; ELE-037  
 Detecção eletroquímica; ELE-028  
 Determinação de metais; ANA-049  
 Detoxification; CAT-013; QVE-004  
 Dextran derivatization; MAT-011  
 DFT; CAT-007; INO-048; MAT-013; ORG-012; TEO-002; TEO-014  
 DFT and TD-DFT; TEO-011  
 DFT Calculations; INO-064  
 DHPM; MED-064  
 DIA; AMB-080  
 Diabetes; MED-009; MED-028  
 Diabrotica speciosa; QPN-068  
 Diacylglycerols; ANA-069  
 diagnostic ratios; AMB-022  
 Dialkylphosphorylhydrazones; MED-021  
 diamine; ORG-076  
 diaminomaleonitrile; INO-028; ORG-009  
 Diaphorte anacardii; QPN-071  
 Diarylheptanoid; QPN-094  
 Diastereoseletividade; CAT-002  
 Didactic Material; EDU-029  
 Didática; EDU-031  
 Diels-Alder; ORG-079  
 Diels-Alder adducts; ORG-008  
 Dienone-amide; ORG-063  
 diesel; ANA-042  
 Diesel oil analysis; ANA-044  
 Diethylaminoethyl derivatives; MAT-077  
 Diffractaic acid; QPN-057  
 Difusão; MAT-098  
 Digestão nítrica; ANA-083  
 Digital Image; EDU-054  
 Digital image analysis; ANA-063  
 Digital images; ANA-072  
 Dihidropirimidonas; ORG-107  
 Dihydroartemisinin acetate; QPN-073

dihydropyrimidinones; ORG-073  
Diidrochalconas; BIO-014  
diketopiperazine; INO-009  
dinuclear; INO-046  
Dióxido de Carbono; CAT-023; INO-005  
Dipeptides; ORG-044  
diphenylalanine; MAT-068  
Diphosphine Ru complexes; INO-074  
Dipteryx lacunifera; QPN-088; QPN-089  
Direct analysis; ANA-037  
Direct ethanol fuel cell; ELE-031  
Direct Selenylation; ORG-099  
diruthenium(II,III); INO-021  
Disciplina Química; EDU-063  
discoloration; MAT-018  
Discóticos; ORG-082  
disposable device; ELE-046  
dispositivos analíticos; ANA-067  
Dissipated Ultrasonic Power; QVE-008  
Distal functionalisation; ORG-098  
Disulfide; ORG-103  
Diterpene; QPN-106  
Divaniloil Glucose; QPN-041  
DLLME; AMB-021  
dmit; MAT-091  
DMSO; FIS-013  
DNA; INO-049  
DNA and HSA interaction; INO-074  
DNA binding; INO-069  
DNA cleavage; INO-069  
DNA interaction; ANA-022; BIO-007;  
INO-019; MED-042  
DNMR; ORG-031  
docetaxel; ANA-006  
Docking; MED-009; MED-017; MED-028;  
MED-032; MED-038; MED-055;  
MED-062  
Docking consensual; MED-013  
docking molecular; BIO-007; MED-047  
Doctor blade technique; MAT-076  
Doehler matrix; ANA-056  
Doença de Alzheimer; MED-061  
Doença de Chagas; ELE-032; MED-012  
doenças; AMB-068  
Doenças do Prion; ORG-017  
dolphins; AMB-073  
domestics wastes; AMB-074  
domino reaction; ORG-056  
Donor-acceptor systems; MAT-024  
DOPAGEM; FIS-023  
Dopamine; ELE-043; ELE-052  
Doxiciclina; ANA-011  
DPP-4; MED-009  
DPP-IV Inhibitors; MED-028  
DPPC; FIS-016  
DPPG; FIS-016  
DPPH; BIO-011; QPN-054  
drinking water; AMB-048  
Droplets; ANA-068  
drug delivery system; MAT-059  
Drug dependence; MED-031  
Drug design; MED-016

Drug development; MED-006  
Drug Discovery; MED-038; MED-046  
drug sustained delivery; INO-062  
drugs; AMB-024; AMB-064  
DRUV; AMB-059  
Duguetia lanceolata.; QPN-085  
Duguetia surinamensis; QPN-087  
dye; AMB-045  
dye elimination; INO-056  
dye photo degradation; INO-044  
dye photodegradation; INO-022  
dye-degradation; ELE-007  
Dye-surfactant aggregates; COL-006  
Dyes; FIS-022; MAT-083  
dyes removal; MAT-069

## E

E-Cariofileno; QPN-003  
EC50; ORG-090  
ECD; TEO-006  
ecologia química; QPN-070  
economia circular; AMB-041  
Ecovio®; MAT-004; MAT-074  
EDC; ORG-078  
EDCs; ANA-019  
Edible gelatin; MAT-019  
edible oil; ANA-033  
EDLC; MAT-092  
edta; INO-085  
Educação Ambiental; EDU-015  
educação do campo; EDU-041  
Education; EDU-030  
educational game; EDU-032  
EDXRF; ANA-036  
efeito fotoeletrocatalítico; ELE-053  
Effect of the support; CAT-014  
efficiency; AMB-053  
effluent; AMB-044; AMB-045  
EIEB; ANA-047  
Eisenia andreii; BIO-008  
Elaeis guineensis; QPN-118  
elaic acid; ANA-003  
electric arc furnace; CAT-038  
electric double layer; FIS-014  
Electric Double Layer (EDL); COL-013  
electro-oxidation; ELE-051  
electro-spinning; AMB-046  
Electroactive polymer; ELE-009  
electroanalysis; ELE-022; ELE-049  
electroanalytical sensor; ELE-024  
Electrocatalysis; ELE-039; ELE-041;  
ELE-051; FIS-004; INO-004; INO-043;  
INO-096; MAT-110  
electrocatalytic activity; ELE-011  
Electrochemical biosensors; ELE-050  
Electrochemical Capacitance; ELE-060  
electrochemical cell; ELE-004  
Electrochemical kinetics; ELE-033  
electrochemical mechanism; ELE-022  
Electrochemical modeling; TEO-003  
Electrochemical oxidation; ELE-027;  
FIS-012

Electrochemical Polymerization; MAT-005  
electrochemical sensor; ELE-022; ELE-023;  
ELE-040  
Electrochemical Sensors; MAT-105  
Electrochemistry; EDU-053; ELE-030;  
ELE-041; ELE-056  
Electrode Modified; ELE-023  
electrodeposition; ELE-003; ELE-054;  
ELE-055; MAT-082  
electron-phonon; MAT-001  
Electronic Circular Dichroism; FIS-010  
electronic spectroscopy; INO-045  
electronic waste electronic waste; AMB-004  
electrooxidation; ELE-026; ELE-039  
Electrophilic halogenation; ORG-007  
Electrophoresis; ANA-066  
Electrophoretic Mobility; COL-013  
electropolymerization; ELE-024  
Electroreduction; ELE-034  
Electrospinning; MAT-045; MAT-074  
electrostatic charging; FIS-014  
Electrostatic interaction; MAT-096  
Elementos; EDU-005  
eletroanalítica; ELE-020  
eletrocatalise; ELE-008  
eletrodeposição; ELE-059  
eletrodeposição NiFe; ELE-042  
Eletrodo Grafite-SiO<sub>2</sub>-TiO<sub>2</sub>; ELE-037  
Eletrodo de grafite; ELE-028  
Eletrofiliação; MAT-004; MAT-016  
eletrônica flexível; EDU-035  
Eletroquímica; EDU-028; EDU-035;  
EDU-047; EDU-059  
Elipsometria; MAT-099  
Elucidación estructural; ORG-025  
emerging contaminants; AMB-024;  
AMB-064; FOT-010; MAT-055  
emerging organic pollutant; INO-098  
Emerging Pollutants; AMB-054; ANA-027  
emissões veiculares; AMB-012  
emulsão; ANA-042  
Emulsion Stability; COL-008  
Enade reports; EDU-045  
enaminoes; ORG-005  
Enantiomers; FIS-010  
Enantioselective Catalysis; ORG-023;  
ORG-030  
Enantioselective synthesis; ORG-079  
Enantioselectividade; ORG-032  
Enantiosseletividade; ORG-095  
Encapsulation; QPN-021  
Endophytic fungi; QPN-066; QPN-067  
Endophytic fungus; QPN-060  
endophytid fungi; BIO-002  
energia renovável; AMB-070; EDU-036  
Energy; ELE-039; INO-006  
Energy Conversion; ELE-041  
Energy harvesting; FIS-031  
Energy recovery; CAT-011  
energy transfer; FOT-007; MAT-010  
Engaço uva; MAT-058  
enhanced efficiency fertilizer; TEC-003  
Ensaio Bioquímicos; MED-048

Ensaio celulares; MED-005  
Ensino; EDU-016; EDU-028; EDU-047;  
EDU-059  
Ensino de Química; EDU-002; EDU-022;  
EDU-031; EDU-037; EDU-039;  
EDU-041; EDU-044; EDU-060;  
EDU-062  
Ensino de Química.; EDU-023  
Ensino e Aprendizagem; EDU-037  
Ensino Investigativo; EDU-039  
Ensino superior; EDU-011  
Ensino técnico; EDU-003  
ensino-aprendizagem; EDU-014  
ent-cauranos; QPN-113  
enthalpimetry; BEA-005  
Enthalpy of Formation; FIS-034  
Entrega controlada de fármacos; INO-090  
Environmental Awareness; QVE-013  
Environment; EDU-050  
Environmental control; ANA-091  
Environmental Education; EDU-050  
Enzima; MAT-124  
Enzimas; QPN-055; QPN-072  
enzymatic assay; BIO-003; QPN-029  
Enzymatic biofuel cell; ELE-039  
Enzymatic Catalysis; ORG-111  
enzymatic kinetic resolution; ORG-039  
enzymes; ORG-001  
Ephedranthus pisocarpus; QPN-107  
epistemological obstacle; EDU-040  
Epistemological obstacles; EDU-012  
Epoxide; ORG-079  
Epoxides; CAT-033  
EPR; FOT-002; FOT-003; ORG-103  
EPS; MAT-107  
Equilíbrio; EDU-021  
Equilíbrio Químico; EDU-016  
Equilibrium; ORG-031  
Equilibrium constant; EDU-054  
Eriocaulaceae; QPN-063  
Erythrina verna; QPN-042  
Escherichia Coli; BIO-006  
Escola; EDU-028; EDU-047; EDU-059  
ESI-MS; ANA-074  
ESKAPE pathogens; ORG-054  
Espaço não-formal; EDU-003  
especiação; BEA-020  
especiação química; AMB-028  
Espectrofotometria; ANA-028  
Espectrometria De Massas; ANA-013;  
BEA-015; QPN-095  
Espectroscopia Raman; MAT-099  
Espiropirano; INO-082  
essential oil; ORG-011; QPN-002; QPN-006;  
QPN-008; QPN-011; QPN-013;  
QPN-015; QPN-018  
Essential oils; QPN-046  
estabilidade; INO-099  
Estabilidade Matabólica; MED-060  
estabilidade térmica; AMB-069  
estabilização de dejetos; AMB-041  
estação de tratamento de água; AMB-080  
estatística multivariada; AMB-035

Estequiometria; EDU-065  
ésteres metílicos; ORG-003  
esterificação; FIS-033  
Esterification; CAT-009; CAT-022; QVE-009  
Esteróide; QPN-120  
Esteróides; QPN-107; QPN-108  
Estresse oxidativo; MED-064; QPN-035  
estrogen receptors.; FIS-007  
Estrogens; ELE-047  
estrôncio; INO-030  
estrutura cristalina; INO-026  
Estudantes de Química; EDU-038  
Estudo de caso; EDU-066  
estudo de estabilidade; ANA-089  
Estudo químico; QPN-012  
etanol; QPN-030  
Ethanol; CAT-006; ELE-005; ELE-029;  
ELE-039; ORG-109  
Ethanol oxidation reaction; ELE-031  
Ethanol reforming; TEO-014  
Ethanol steam reforming; CAT-014  
Ethnobotanical Survey; QPN-024  
ethylmercury; BIO-005  
Eucaliptus grandii; INO-083  
eucalyptus; AMB-070  
Eugenia dysenterica; BEA-015  
Eugenia uniflora; QPN-011  
Eugenol; ORG-036; ORG-052; ORG-076  
europeio; INO-039  
europium; MAT-001  
Europium (III); MAT-034  
Europium(III); MAT-070  
eutrophication; AMB-057  
evolução H<sub>2</sub>(g) e O<sub>2</sub>(g); FOT-003  
ex vivo; MED-007  
excitação acústica; AMB-005  
Exfoliation; AMB-047  
experiment; ORG-101  
Experimentação; EDU-002; EDU-015;  
EDU-038; EDU-051  
Experimentação no Ensino; EDU-039  
Experimental Chemistry; EDU-050  
Experimental class; EDU-055  
Experimental design; ANA-007; ANA-071  
Experimental evaluation; MED-002  
experimental practice; EDU-006  
Experimentation; EDU-064  
Experimento; EDU-061  
Extração; ANA-008; QPN-004; QPN-030  
extração em fase sólida; ANA-095  
Extração líquido-líquido; ANA-014  
Extração on-line; ANA-028  
extração por solvente; BEA-009  
extração sequencial; AMB-026  
Extração supercrítica; QPN-010  
EXTRACELLULAR HEMOGLOBIN;  
BIO-013  
Extracellular Matrix; MAT-031  
extract; QPN-099  
Extraction; ANA-040; ANA-045; QPN-016  
Extraction techniques; QPN-028

## F

Factorial design; ANA-069; CAT-010  
fármaco; INO-050; INO-079  
fármacos; INO-001  
Fases cromônicas; ORG-025  
Fast Pyrolysis; TEC-007  
fatty acid; QPN-064  
Fatty acids; ANA-030; CAT-022; CAT-039;  
QPN-034; QPN-037  
Fe(II); INO-087  
Fe(II) complexes; INO-077  
Fe(III); BEA-010  
Fe(III)-4AA complex; FIS-012  
FeCo alloy; INO-042  
feijão carioca; ELE-037  
feltro; EDU-001  
fenitrothion; ELE-001  
Fenólico; QPN-041  
Fenólicos; QPN-022; QPN-080; QPN-082  
Fentanyl; ANA-017  
FEP; MED-027  
Fermentação; EDU-060  
Ferri/ferrocyanide; ELE-033  
Ferrierite; AMB-047  
ferro; BEA-020; MAT-035  
ferrocene; INO-063  
ferti-release; MAT-066  
fertilizante; AMB-037  
Fertilizer; MAT-023  
few-walled carbon nanotubes; MAT-091  
FIA; ANA-064  
Fiber; QPN-034  
Fibra; MAT-065  
Fibras; MAT-004; MAT-016  
Fibroin; FOT-013  
Filamentous fungi; MED-050  
filmes de biopolímeros; MAT-054  
Fish scales; ANA-058  
fitoquímica; QPN-050; QPN-053  
fitossanitários; AMB-021  
flame retardants; AMB-018  
Flavin adenine dinucleotide; ELE-061  
Flavone; QPN-091  
Flavonoid; FIS-007; QPN-094  
flavonoide; QPN-113  
Flavonoides; QPN-012; QPN-022;  
QPN-033; QPN-047; QPN-090  
flavonoids; ORG-090; QPN-081; QPN-088;  
QPN-089; QPN-093; QPN-119  
flavonol triglycosides; QPN-092  
Flavorizantes; ANA-021  
flebotomíneos; INO-058  
Flores; QPN-003; QPN-012  
Flow analysis; ANA-025; ANA-027; ANA-082  
Fluido Biológico; ANA-013  
fluido biológico; BIO-008  
fluorene; MAT-001  
fluorescence; FOT-006; FOT-008; FOT-015;  
MAT-012; MAT-024  
Fluorescência; INO-082  
Fluorescent lamp phosphor; MAT-040  
fluoride; INO-012

Fluoride ion; COL-012  
fluoroquinolones; INO-036  
Folin-Ciocalteu method; ANA-010  
Folin-Ciocalteu method; ANA-024  
Food; ANA-072  
Food additives; ELE-010  
Food analysis; BEA-001  
Food packaging; FIS-031  
foodborne; QPN-122  
Forensic; ELE-052  
forensic application; ELE-022  
Forensic chemistry; ANA-032; MED-066  
Forensic Science; TEO-008  
Formação Continuada; EDU-039  
Formação de Professores; EDU-004;  
EDU-008; EDU-039; EDU-057  
Formação Docente; EDU-002  
Formaldehide; TEC-008  
formigas cortadeiras; QPN-070  
Forocromismo; INO-082  
Fosfonato; ORG-085  
Fotocatálise; EDU-049; INO-033  
fotocatálise heterogênea; AMB-052  
Fotocatálise Plasmônica; FIS-018  
Fotocorrente; ELE-053  
Fotografias; EDU-031  
Fotólise por pulso de laser; FOT-009  
fotoluminescência; INO-015; ORG-035  
fotoquímica; AMB-012  
fotossensibilizador; INO-032  
Fotossíntese artificial; FOT-003  
Foz; AMB-019  
FPS; QPN-007  
Fragment-based Lead Discovery; MED-026  
Fragrâncias alérgica; ANA-079  
frass volatiles; QPN-083  
Free radical; ANA-059  
Free solvent; CAT-026  
Freundlich; AMB-034  
Frieseomelitta doederleini; QPN-082  
Frontside attack; ORG-067  
Fructose; ELE-023  
Fruit flour; BEA-001  
Fruit Juices; ELE-023  
frutas tropicais; BEA-009  
Fuel Cell; ELE-005  
Fuel cells; ELE-041  
full characterization; INO-053  
fumarprotocetraric acid; MED-047  
functional nanocomposites; MED-014  
Fundão dam; AMB-016  
fungi; MAT-113  
fungicida; QPN-017  
Fungo endofítico; QPN-071  
fungo mutualista; QPN-070  
fungos; BIO-008  
Fungos Filamentosos; MAT-033  
fungos negros; QPN-070  
Furfural; QVE-011  
Furfuryl alcohol; QVE-011  
Furosemide; ELE-006; ELE-013  
Fused core columns; ANA-016

## G

G4; FIS-034  
G4MP2; TEO-006  
gadolínio; INO-039  
Galectin-1; ELE-060  
Gallic acid; ANA-024  
galvanic cell; EDU-053  
gas chromatography; AMB-032; ANA-060;  
QPN-005  
Gas separation; MAT-115  
Gasoline; ANA-040  
Gastric emptying; ANA-015  
gastrite; MED-045  
GBB reaction; ORG-080  
GC-FID; ANA-070; BEA-008  
GC-FTIR; QPN-083  
GC-MS; AMB-018; AMB-048; AMB-072;  
ANA-009; ANA-073; QPN-064  
GC-MS-FID; ORG-011  
GC/MS; QPN-008  
Gelatinderivatization; MAT-011  
Gels; FOT-016  
general chemistry; EDU-052  
genome mining; QPN-069  
genotoxic; QPN-096  
Geometria molecular; EDU-017  
Geopropolis; QPN-081  
Germagreno D; QPN-003  
GF AAS; ANA-040  
GGA; FIS-023  
GIAO model; ORG-102  
Gingivitis; QPN-020  
Glandularia; QPN-093  
Glass powder; MAT-112  
Glass Transition; FIS-017  
glassy carbon; ELE-040  
Glifosato; ANA-090; INO-094; INO-102  
global change; AMB-006  
Glomerella cingulata; BIO-014  
Glucose; ELE-030; ELE-051; MAT-105  
Glucose Uptake; QPN-119  
Glycation; MED-058  
Glycerol; CAT-033; ELE-038; INO-080;  
MAT-067  
glycerol 1-monoether; QVE-009  
Glycerol hydrogenolysis; CAT-017  
Glycerolysis; ANA-069  
glycin; MAT-018  
Glyphosate; ANA-077  
GNPS; QPN-032  
Goia's; AMB-001  
Gold; CAT-012; CAT-016; MAT-014;  
MAT-082; MED-028  
gold microelectrodes; ELE-004  
gold mine sludge; INO-044  
Gold nanocatalysts; CAT-010  
gold nanoparticles; MAT-029; MAT-118  
gold nanorods; MAT-061  
Gold nanostructures; ELE-057  
Gold Surface; ELE-061  
grafite laminado; EDU-035  
Gram-positive bacteria; ORG-045

Grape juice; ANA-024  
grapefruit albedo; ORG-013  
Graphene; MAT-049; MAT-103; MAT-125  
graphene nanosheets; ELE-011  
Graphene oxide; CAT-011; MAT-005;  
MAT-008; MAT-032; MAT-049;  
MAT-068; MAT-076  
Graphite; ELE-030; MAT-092  
Graphite exfoliation; MAT-104  
greenhouse gases; AMB-006  
green chemistry; BEA-005; CAT-006;  
EDU-050; ORG-005; ORG-007;  
ORG-053; ORG-062; QVE-004  
green solvents; FIS-013  
Green Synthesis; QVE-001  
Green- Coffee; MAT-042  
greenhouse effect; AMB-033  
groove; ANA-022  
groundwater; AMB-014  
Growth; MAT-118  
GSH; AMB-073  
guaiane; ORG-083  
guavira; QPN-007  
Guazuma ulmifolia; MAT-087; QPN-036  
Gum Arabic; CAT-013

## H

H. pylori; MED-047  
H<sub>2</sub> generation; ELE-015  
H<sub>2</sub>O; CAT-007; ORG-081  
H<sub>2</sub>O<sub>2</sub>; CAT-006; CAT-007; ELE-030  
Habilidade técnica; EDU-034  
Habilidades Visuoespaciais; EDU-007  
hair salon effluents; AMB-015  
Halogênio; INO-079  
Hammett theory; ORG-073  
hazard quotient; AMB-029  
HCA; ANA-081  
HDAC; MED-022  
HDO; CAT-019  
Healt; ANA-093  
Health Surveillance; MAT-121  
Heavy metal; MAT-009  
heavy metals; AMB-013; INO-076  
Heck Reaction; ORG-023  
Heck-Matsuda Reaction; ORG-030  
Heck-Matsuda arylation; ORG-098  
Helical polymers; MAT-079  
Helicobacter pylori; MED-045  
Hematite; MAT-030  
Hemiacetalização intramolecula; CAT-002  
Hemoglobin; BIO-005  
herbicida; INO-102  
Herbicide; FIS-006  
herpes; MED-035  
Hesperetin; BIO-001  
hesperidin; ORG-013  
Hesperitin; MED-001  
Heterocycle; INO-073; ORG-093  
Heterocyclic Compounds; MED-051  
Heterocyclics; ORG-016  
heterodentate chelator; INO-038

Heterogeneous acid catalysts; CAT-009  
 heterogeneous catalysis; CAT-015;  
 CAT-022; CAT-026; CAT-032; INO-098;  
 ORG-084  
 heterogeneous catalyst; TEC-002  
 Heterogeneous Photocatalysis; CAT-004  
 heterologous expression; QPN-069  
 HG-AFS; ANA-041  
 Hidrocarbonetos; CAT-023  
 Hidrocarbonetos cuticulares; ANA-086  
 Hidroclorítiazida; ANA-002  
 Hidrodistillation; QPN-016  
 Hidrogel; MAT-098  
 hidrogenação enantiosseletiva; ORG-020  
 Hidróxido duplo lamelar; MAT-060  
 Hierarchically structured; MAT-047  
 High Purity Graphite; ANA-043  
 Hinoquinina; MED-013  
 Hipertension; INO-088  
 Hipóxia; INO-090  
 HIV-1; ORG-106  
 Hofmann degradation; ORG-007  
 hologramas; EDU-024  
 homogeneous catalysis; INO-014; INO-043  
 homogeneous redox catalysis; ELE-049  
 Honey; ANA-050  
 hopanes; AMB-003  
 Horizontes de leitura; EDU-010  
 HPA; AMB-001  
 HPA-S; ANA-038  
 HPAs; AMB-011  
 HPLC; AMB-043; ANA-007; ANA-008;  
 ANA-018; QPN-022; QPN-028  
 HPLC-DAD; ANA-006; BEA-019; QPN-067;  
 QPN-089  
 HPLC-DAD-UV; ANA-015  
 HPLC-ESI-MS/MS; QPN-075  
 HPLC-FLD; ANA-019  
 HPLC-MS-MS; QPN-032  
 HPLC-MS/MS; QPN-099  
 HPLC-PDA; ORG-089  
 HPLC-RI; ORG-006  
 HPLC-UV-MS; QPN-079  
 HPTLC; QPN-054  
 HQSAR; MED-049; MED-057  
 HRMS; QPN-019  
 HRTEM; MAT-061  
 human melanoma; QPN-096  
 Human Pathogens; QPN-031  
 Human serum albumin; FIS-010  
 Humic Substance; ORG-057  
 humic substances; AMB-078  
 Humicola fuscoatra; QPN-066  
 Hybrid; MAT-078  
 hybrid peptides; MAT-050  
 Hybrid Silicas; INO-080  
 Hydrate; COL-008  
 hydrazone; INO-024  
 Hydrocolloids; BEA-003  
 Hydrodeoxygenation; CAT-019  
 Hydrodynamic Size; COL-013  
 Hydroformylation; CAT-018  
 Hydrogel; FOT-002; FOT-013; MAT-011;  
 MAT-031  
 Hydrogel composite; MAT-116  
 Hydrogen; CAT-001; CAT-011  
 hydrogen bond; ORG-014  
 hydrogen peroxide; TEC-009  
 Hydrogen Production; MAT-110  
 hydrogen sulfide; MED-043  
 hydrogenation; CAT-016; CAT-021;  
 QVE-011  
 hydrolysis; CAT-003  
 Hydrophilic polymers; MAT-067  
 Hydrophobic papers; MAT-080  
 Hydrophobicity; COL-002; FIS-037;  
 MAT-117  
 hydrothermal treatment; AMB-059; MAT-007  
 Hydroxylamine; ORG-067  
 hydroxyphenalene; INO-020  
 Hyperglycaemia; QPN-119  
 Hypericin; MAT-006  
 Hypodermic needles; MAT-121  
 Hypoxylon investiens; QPN-067

---

**I**  
 i-optimal design; ORG-090  
 Ibuprofen; AMB-024; INO-021; TEO-006  
 IC; ANA-051  
 ICA; ANA-074  
 ICP OES; ANA-037  
 ICP-MS; AMB-016; ANA-052; BEA-016  
 ICP-OES; ANA-044; ANA-052; ANA-085  
 identificação; INO-050  
 Identification; QPN-040  
 Igarapés; AMB-023  
 IL; QVE-008  
 Image J; EDU-054  
 Imidas cíclicas; ORG-036  
 imidazo[2,1-b]thiazoles; ORG-080  
 imidazole; FIS-019  
 Imidazolina; ORG-105  
 imidazopyridine; INO-084  
 Immobilization; ORG-111  
 Immunoglobulins; BIO-001  
 Imobilização; ORG-094  
 Imobilização de enzima; CAT-036  
 impedance; ELE-017; ELE-056  
 impregnation; CAT-031  
 Improved Hummers Method; MAT-104  
 Impurities; ANA-044  
 In Silico Toxicity; MED-023  
 In situ electrochemical; ELE-061  
 In-line concentration; ANA-016  
 Inclusão; FIS-039  
 Inclusive education; EDU-025; EDU-029  
 Índice de seletividade; MED-059  
 Indigotine; ANA-063  
 Indole; ORG-054  
 Indoles; ORG-099  
 Induction period; FIS-024  
 Induction-Time; BEA-014  
 Industrial effluents; AMB-079  
 industrial waste; CAT-038  
 industrial wastes; AMB-074  
 Inflammatory diseases; MAT-036  
 inflorescences; ORG-011  
 Information Science; TEC-001  
 Infrared; ANA-072  
 infravermelho; INO-050  
 inhibition; MED-025  
 inhibitor; MED-039  
 Inhibitors; MAT-118; TEO-010  
 Inhibitory activity; MED-065  
 inhibitory concentration; AMB-059  
 Inibidores; ORG-060  
 Inorganic constituents; ANA-034  
 inorganic contaminants; AMB-061; ANA-052  
 inorganic oxides; MAT-113  
 Inorganic Spectroscopy; INO-064  
 Insect pest; QPN-068  
 inseticida; QPN-001  
 Instrumentação e automação; ANA-026  
 intensificação plasmônica; INO-033  
 Interação com DNA; MED-032  
 interações; QPN-070  
 interações não covalentes; INO-048  
 Interaction; FIS-022  
 interaction process; BIO-005  
 interactive tools; EDU-052  
 Intercalação; ORG-107  
 intercalation; MAT-007  
 Interdisciplinaridade; EDU-060  
 Interdisciplinarity; FIS-032  
 interfaces; FIS-014  
 Intermolecular interaction; FIS-037  
 Intumescimento; MAT-098  
 Invasive plants; QPN-025  
 inventário; AMB-017  
 Investigative experiments; EDU-013  
 Iodine; ANA-051; BEA-016  
 iodo; AMB-066  
 Iodocyclization; ORG-081  
 ion aqueous batteries; MAT-125  
 Ion Chromatography; ANA-050; ANA-092  
 Ion Exchange; AMB-047; MAT-007  
 Ion mobility-mass spectrometry; QPN-061  
 Ion-imprinted polymer; ANA-041  
 Ionic Gelling; MAT-041  
 Ionic Liquid; CAT-032; ELE-058; ORG-002  
 ionic liquids; ELE-045; FIS-017; ORG-004;  
 QVE-006  
 ionogels; ORG-004  
 ionophore; QPN-069  
 íons; AMB-019  
 íons metálicos; AMB-036  
 Ipomoea purpurea; QPN-037  
 Iridium; CAT-017; MAT-088  
 iridoide; QPN-100  
 Iron; AMB-079; CAT-017  
 iron complexes; AMB-049  
 iron oxide; MAT-123  
 Iron thiocyanate; EDU-054  
 iron(II) acetylacetonates; INO-035  
 Iron(III) complexes; INO-028  
 ironporphyrin; INO-098



Irreversible inhibition; TEO-012  
Isatin; ORG-048  
isatins; QPN-084  
Isocoumarins; ORG-028  
isolamento elétrico; QVE-012  
Isomer; FIS-010  
Isomeria; TEO-007  
Isopropylamine-TPD; CAT-003  
Isoquinuclidines; ORG-008  
isotope labeling; ORG-019  
Itaconic Acid; ORG-050  
ITIES; ELE-019  
IUPAC nomenclature; EDU-019

## J

Jaboticaba; MAT-083  
Jatropha; QPN-125  
Jatropha aethiopica; QPN-092  
Jogo Analógico; EDU-037  
Jogo da velha; EDU-065  
Jogo didático; EDU-008  
Jogo Digital; EDU-037  
Jogos didáticos; EDU-021  
Jogos educativos; EDU-062  
Jogos eletrônicos; EDU-056  
Jogos Lúdicos; EDU-056  
Jurema Preta; QPN-030

## K

Kallikrein inhibitors; BIO-004  
ketoglutaric derivatives; MAT-053  
ketoprofen; AMB-024  
ketoreductase; ORG-001  
kindler reaction; ORG-058  
Kinect of degradation; MAT-103  
Kinematic viscosity; TEC-005  
KINETIC; BIO-013; FIS-027  
kinetic parameters; BIO-003  
Kinetic resolution; ORG-046  
kinetics; CAT-003; ORG-002  
Kit didático; EDU-035  
kits didáticos; EDU-062  
Klebsiella pneumoniae; BIO-006  
Knowledge Management; TEC-001  
Kohonen Neural Network; AMB-072

## L

L-Cysteine adsorption; ELE-036  
L. (L.) infantum; QPN-098  
Lab-made photoreactor; MAT-032  
Label; ORG-103  
Labil C; AMB-033  
Laboratório escolar; EDU-034  
laboratory glassware; EDU-019  
Laboratory Instruction; EDU-048  
Lacase; ORG-040  
Laccase; AMB-054; ELE-050; ORG-065  
Lactuca sativa; QPN-037  
Langmir-Blodgett; INO-020  
Langmuir monolayer; FIS-016  
lantânídeos; INO-011

Lantânio; INO-082  
lanthanide; AMB-025; INO-037; INO-052;  
INO-055; MAT-089  
Lanthanide complexes; INO-085  
Lanthanide organic frame-works; INO-008  
lanthanides; MAT-010  
Lanthanides salts; ORG-004  
Larvicidal activity; MED-041  
Lauraceae; QPN-098  
Lawsone; ORG-045  
layered double hydroxide; AMB-060  
Layered hydroxide salt; BEA-006  
layered hydroxide salts; INO-051  
layered matrix; MAT-007  
LBDD; MED-017  
LC- $\omega$ PBE; TEO-011  
LC-MS/MS; AMB-021; AMB-023; AMB-048;  
ANA-017  
LCC; MAT-071  
LCMS MS; EDU-048  
LDB; EDU-044  
LDH; COL-012; MAT-057  
lead; AMB-047  
lead contamination; AMB-004  
Legumes; BEA-016  
Leguminosae; QPN-039  
Lei 10639; EDU-022  
leishmania; ORG-087  
Leishmania amazonensis; MED-019;  
MED-036; MED-052; MED-059  
Leishmania chagasi; QPN-032  
Leishmania infantum; QPN-043  
leishmaniasis; MAT-059; MED-030  
leishmanicidal activity; BIO-002; ORG-052  
leishmaniose; INO-058  
Leite; EDU-022  
leite materno; BEA-011  
Leitura; EDU-017  
Leukemia; ORG-092  
Leukemia assays; QPN-086  
Levoglucozan; TEC-007  
levulinic acid; QVE-009  
LF-NMR; ANA-029  
liberação controlada; AMB-063  
LICENCIATURA; EDU-044  
LiFePO<sub>4</sub>; ELE-058  
Liga NiFe; ELE-042  
Ligações Químicas; EDU-023  
ligand design; INO-077  
ligante pirazólico; INO-026  
Ligante Quiral; ORG-105  
Limonene; MAT-080  
limoneno; INO-047  
Linear sweep anodic stripping; ELE-062  
lipase; ORG-039; ORG-046; ORG-111  
lipases; CAT-008; ORG-094  
lipid; ANA-074  
Lipoic acid; MED-058; ORG-103  
Liquid chromatography; ANA-010; BEA-018  
Liquid Crystals; ORG-010; ORG-064  
Liquid-liquid Interface; ELE-019  
Liquid-phase microextraction; ANA-027

Liquid/liquid interface; MAT-123  
líquido iônico; ELE-059  
lithium batteries; ELE-018  
Living Cells; AMB-058  
Liberação tópica; MAT-098  
Lobeline; MED-044  
Losartano potássica; ANA-002  
loss modulus; MAT-081  
low-cost materials; ORG-101  
Low-field NMR; TEC-005  
LQTA-QSAR; FIS-007  
LS-SVM; ANA-061  
Lubricants; MAT-122  
Ludic Activity; EDU-018  
ludic learning; EDU-019  
Luehea divaricata; QPN-111  
Luminescence; INO-010; INO-017; INO-052;  
INO-055; INO-086; MAT-034; MAT-070;  
MAT-088; ORG-059  
luminescência; FOT-012; FOT-014;  
INO-039; ORG-066  
luminescent; MAT-010  
luminescent copper compounds; INO-089  
Luminescent Materials; ORG-010  
Luminescent Probes; FOT-005  
Luminomagnetic nanoparticles; ANA-053  
Luz; INO-032

## M

Machaerium; QPN-109  
Machaerium brasiliense; QPN-109  
Macrobenthos; QPN-062  
Macrofauna; QPN-062  
macrolide; QPN-083  
Macrobium rigidum; QPN-039  
Magnesium; CAT-001  
magnetic; COL-003  
Magnetic circular dichroism; FIS-035  
Magnetic Hyperthermia; COL-007  
Magnetic measurements; INO-077  
Magnetic Nanoparticles; ANA-046;  
COL-001; INO-042  
magnetic oxides; INO-022; INO-056  
Magnetic particles; ORG-084  
magnetic properties; INO-025  
Magnetic reactors; COL-001  
magnetic separation; INO-022; INO-056  
Magnetic Solid Phase Extractio; ANA-046  
Magnetite; COL-002; COL-007; COL-012;  
ELE-044; INO-092; MAT-026  
magnetron sputtering depositio; CAT-027  
maker culture; EDU-026  
makerspace; EDU-026  
Malaria; MAT-045; MED-002; MED-039  
male and female specimens; ORG-011  
Maleimides; ORG-015  
malifolia; QPN-008  
Maltose Binding Protein; ELE-060  
Malvaceae; QPN-111  
Manaus; AMB-023  
Manilkara subsericea; QPN-035  
Manipueira; FIS-030

MAO; QPN-042  
Mariana disaster; AMB-016  
Marine; QPN-066  
Marine ecology; QPN-062  
Marine fungi; QPN-058  
Marine microorganisms; QPN-084  
marinoquinoline; MED-039  
mars; AMB-071  
mass detector; AMB-032  
Mass spectrometry; ANA-010; ANA-017;  
ANA-020; ANA-060; FIS-002; QPN-060  
Mate tea beverages; ANA-010  
Matemática; EDU-016  
Materiais alternativos; EDU-023  
materiais catalíticos; AMB-052  
Materiais lenhosos; MAT-058  
materiais multifuncionais; MAT-060  
material didático; EDU-001; EDU-017;  
EDU-065  
matrix effect; MAT-010  
Matriz Doehlert; AMB-050  
Matriz orgânica; ANA-083  
Maytenus quadrangulata; QPN-120  
Maytenus robusta; QPN-110  
MBP-Gal-1; ELE-048  
MCM-48; MAT-063  
Mechanical and Thermal Propert; MAT-112  
Mechanical Properties; MAT-077  
Mechanism; ORG-067  
Mechanized system; ANA-065  
mechanochemistry; ORG-005; ORG-053  
medicinal plant; QPN-092; QPN-101  
Medicinal Plants; QPN-049  
meio ambiente; AMB-017; AMB-026;  
EDU-047; FIS-030  
Mel; QPN-082  
Melatonin; ELE-033  
Melipona mandacaia; QPN-080  
Melipona subnitida; QPN-081  
Membranas semipermeáveis; ANA-055  
membranes; MAT-008  
mercerization; MAT-119  
Mercúrio gasoso; MAT-027  
mercury; AMB-061  
Mesoionic; MED-051  
Mesoporous carbon; ELE-058; MAT-111  
Mesoporous Silica; CAT-032; MAT-026;  
MAT-063  
mesoporous structures; CAT-035  
Mesoporous-silica; COL-002  
metabolic profile; QPN-075  
Metabolites; QPN-059  
Metabólitos; ANA-013  
Metabólitos especiais; QPN-052; QPN-121  
metabólitos secundários; QPN-050  
Metabólitos secundários; QPN-053  
metabolomic; AMB-071  
Metabolomics; QPN-119  
Metacrilato; FIS-039  
metais; AMB-062; ANA-047; FIS-030  
metal; AMB-045; ANA-085  
Metal clusters; TEO-014  
Metal complexes; INO-088  
metal exposure; AMB-073  
Metal ligand; CAT-020  
metal organic frameworks; AMB-038;  
ELE-029  
Metal Oxide; MAT-110  
metal pollution; AMB-029  
metal removal; AMB-046; AMB-061  
metal traço; AMB-028  
metal triflates; ORG-080  
Metalation; ORG-070  
Metallacrown; INO-007  
metallic contaminants; ANA-033  
metallic nanoparticle; MAT-096  
metalloidrug; INO-021  
metallopolymer; MAT-001; MAT-056  
metalloporphyrins; INO-049  
metallothionein; AMB-073  
Metalofármaco; INO-090  
metalofármacos; INO-023  
metaloportirinas; INO-001  
metals; AMB-016; AMB-030; ANA-037;  
ANA-040  
metals alcalines íons; CAT-031  
metanolise; FIS-033  
metastability; MAT-126  
meteorite; AMB-039  
Metformin Hydrochloride; MAT-074  
methacrylate copolymers; MAT-046  
Methane; CAT-005  
methanol; ELE-021; ELE-029  
Methanol Electro-oxidation; FIS-004  
Method validation; ANA-017  
Methyl fatty esters; TEC-002  
Methyl methacrylate; CAT-024; CAT-028  
methyl orange; FIS-026  
methylene blue; AMB-044; CAT-004;  
FIS-003; FOT-016; MAT-006; MAT-018  
Método da Pipeta; ANA-061  
Metodologia ativa; EDU-066  
Metribuzin; ELE-044  
Metrological certification; MAT-122  
MIC; ANA-051; BEA-016  
micelles; INO-016  
Micro-ondas; ANA-049; ANA-083  
Micro-ondas doméstico; ANA-014  
micro/mesoporous silica; MAT-114  
Microalga; QPN-038  
microalgae; AMB-025  
Microbial transformation; QPN-059  
Microbiocidal; ORG-021  
microcephaly; ORG-089  
Microchip; ANA-066  
Microdilution; QPN-031  
Microdispositivos em papel; ANA-062  
microeletrodos; ELE-008  
Microemulsion; ANA-040  
Microemulsion-assisted; ANA-053  
Microesferas; MAT-098  
microextração; ANA-042  
microextraction; ANA-033  
Microfiltration; TEC-011  
Microfluidic; ANA-065  
Microfluidics devices; ANA-068  
Microorganisms; QPN-068  
micropartículas; AMB-063  
Microplastics; EDU-033  
micropoluentes; AMB-067  
micropropagation; QPN-019  
microorganismos; AMB-040  
Microsphaeropsis arundinis; QPN-063  
Microtubule; MED-027  
Microwave; EDU-050; ORG-059; ORG-109  
Microwave Irradiation; MED-020  
microwave irradiation; ORG-047  
Microwave-assisted; CAT-026  
Microwave-assisted digestion; ANA-054  
microwave-hydrothermal; ELE-007  
Microwave-Induced Combustion; ANA-050  
microwaves; ORG-056  
Mieloperoxidase; MED-064  
MIL-101(Cr); MAT-115  
Milk; TEC-008  
Mimosa tenuiflora; QPN-030  
Minerais; QPN-118  
mineral composition; AMB-010; ANA-081  
Mineral Dietary Supplements; ANA-051  
Mineral Water; BEA-013  
Mineralization; ELE-016  
Miniaturização; ANA-062  
miniaturization; ELE-004  
Miniaturized extraction; ANA-009  
MIPs; ELE-047  
MIR; ANA-061  
Mistura; EDU-005  
Mixed Esters; ORG-002  
mixed matrix membranes; AMB-038;  
MAT-115  
mixed oxide; ANA-045  
mixed oxides; CAT-015  
mixed Te(II)/Te(IV) derivative; INO-038  
Mixed transition metal oxides; MAT-015  
mixed-metal cation; INO-101  
MMP; QPN-116  
Mn(II); INO-087  
Mn(II) and Fe(II) complexes; CAT-030  
Mode of action; MED-022  
modelagem; EDU-020  
MODELAGEM MOLECULAR; MED-062  
modelo cinético-molecular; EDU-020  
modelos físicos; EDU-024  
Modelos Moleculares; EDU-007  
modificação no banho de watts; ELE-042  
modified electrode; ELE-013; ELE-060  
modos de representação; EDU-020  
MOF; MAT-115  
MOF's; INO-070  
molar fraction; FIS-026  
molecular aggregation; COL-005  
Molecular docking; MED-016; MED-021;  
MED-027; MED-040; MED-044;  
MED-063; MED-065; QPN-015  
molecular dynamics; ELE-018; MED-027;  
TEO-001; TEO-009  
molecular fluorescence; ANA-022  
Molecular imprinted polymer; ELE-024

molecular magnetism; INO-025  
Molecular Modeling; FIS-034; MED-029; MED-033; MED-056  
Molecular modeling kit; EDU-027  
Molecular Modelling; MED-011  
molecular models; EDU-026  
molecular networking; QPN-069  
molecular recognition; ELE-024; INO-007  
molecular structure; INO-035  
molecularly impressed polymers; ANA-004  
Molecularly Imprinted Polymer; ELE-023  
Molecularly imprinted polymers; ANA-091  
Molybdates; MAT-075  
Monastrol; MED-043  
monitoramento; AMB-011  
Monitoria; EDU-011  
monitoring; AMB-002; AMB-031  
Monoacylglycerols; ANA-069  
Monoamine oxidase B; TEO-012  
Monofloral; QPN-118  
Monômero; FIS-038  
monoterpenes; AMB-008; QPN-009  
Moringa leaves; FIS-025  
morphological; AMB-010  
Morphology; MAT-100; QPN-034  
Mössbauer Spectroscopy; INO-077  
Mosto de Uva; ANA-048  
Motivation; EDU-030  
Mouthwash; QPN-020  
MP; AMB-001  
MPO; MED-061  
MPPD\*; ANA-059  
MRI applications; INO-016  
MS-MS fragmentation; ORG-073  
MTDLs; MED-018  
MTT assay; ORG-108; QPN-063; QPN-117  
Multi-component reactions; ORG-016  
Multialvo; MED-064  
Multiclass pesticides; ANA-009  
Multicomponent reaction; ORG-015; ORG-058; ORG-059; ORG-080  
Multicomponent synthesis; ORG-077  
Multicomutação em análise em; ANA-026  
Multidimensional; ORG-075  
Multidrug-resistance; MED-034  
Multifunctional material; MAT-075  
multihierarchical electrode; MAT-120  
Multivariate Exploratory Analy; AMB-072  
multivariate optimization; AMB-018; ANA-041  
Mustard seeds; ANA-030  
mutagenic; QPN-096  
mutamba; MAT-087; QPN-036  
mycelium; QPN-064  
Mycobacterium; MED-034  
Mycobacterium tuberculosis; MED-060  
Myrcia sylvatica; QPN-046

**N**

n-Alkanes; AMB-003; QPN-044  
N-alkyl-N-methylglucamine; INO-016  
N-arilpirazol; ORG-071  
N-doped carbon; CAT-016  
N-ftalimidas; ORG-036  
N-Halocompound; ORG-007  
N-heterocycles; ORG-070  
N-metilimidazólio; MAT-106  
nAChRs  $\alpha 4\beta 2$ ; MED-063  
nAChRs  $\alpha 7$ ; MED-044  
naftoquinonas; FIS-001  
Naftoquinones; BIO-007  
Nanocapsulas; COL-009  
nanocomposite; ELE-014; MAT-030  
Nanocomposites; MAT-049; MAT-108  
nanocompósitos; MAT-054  
Nanocubes; ELE-055  
nanoencapsulação; MAT-087  
nanoestruturas plasmônicas; INO-033  
nanofibers; AMB-044; AMB-046; MAT-045  
Nanofilters; MAT-009  
Nanofluidic; ANA-065  
nanohorn; ELE-001  
Nanomateriais; INO-033  
nanomaterial; AMB-036  
Nanomaterials; MAT-049  
Nanoparticle; MAT-030  
Nanoparticles; CAT-012; CAT-016; COL-003; COL-007; ELE-055; FOT-001; MAT-006; MAT-036; MAT-052; MAT-082; MAT-095; MAT-097; MAT-101  
nanopartícula de ouro; INO-033  
Nanopartícula magnética; ANA-084  
nanopartículas; AMB-062  
Nanopartículas; MAT-063  
nanopartículas de BiVO<sub>4</sub>; ELE-053  
Nanopartículas de ouro; MAT-002; MAT-072  
Nanopartículas de Prata; FIS-018; MAT-072; QVE-010  
Nanopartículas Magnéticas; MAT-039  
nanopartículas metálicas mista; MAT-072  
nanoporous gold; ELE-003  
nanoporous gold microelectrode; ELE-043  
nanorods; MAT-014  
nanosondas fluorescentes; ANA-023  
nanossensores; AMB-076  
nanostructure; ELE-021; ELE-055  
Nanostructured materials; ELE-050  
Nanotechnology; BIO-006; MAT-008  
Nanotube; MAT-030  
Naphthoquinoline; ORG-059  
naphthoquinone; ORG-029  
naphthoquinones; EDU-048; ORG-045  
Naphtoquinones; MED-020; ORG-092  
naringin; ORG-013  
native fruits; BEA-018  
Natural dye; MAT-037  
natural pigments; FOT-015  
natural products; ORG-013; QPN-059; QPN-061; QPN-062; QPN-124  
natural radioactivity; AMB-014  
natural waters; ELE-006  
NBO; TEO-005; TEO-007  
Near-Infrared; BEA-014  
near-infrared light absorbance; MAT-059  
near-neutral conditions; AMB-049  
Nectandra barbellata; QPN-043  
Nectandra leucantha; QPN-096  
Nectandra oppositifolia; QPN-098  
Neglected Tropical Diseases; MED-046  
neolignans; QPN-096  
Neonothopanus gardneri; ORG-063  
NET; MED-066  
Neurodegenerative disorders; QPN-042  
Neutron Scattering; FIS-017  
Nevirapine; MAT-020  
new phases; CAT-031  
New Psychoactive Substances; MED-023; TEO-008  
NEXAFS; MAT-100  
Ni nanoparticles; CAT-027  
nickel; MAT-091; ORG-049  
nickel hexacyanoferrate; MAT-125  
Nickel Hydroxide; ELE-055  
Nickel molybdate; MAT-019  
Nickel Niobate; CAT-001  
Nicotine Addiction; MED-063  
Niobia; CAT-007  
niobium; CAT-015; ELE-031  
Niobium Oxide; CAT-001  
níquel; ANA-042; ORG-051  
Niquel Hexacyanoferrate; ELE-038  
Níquel(II); INO-091  
NIR; ANA-029; ANA-078  
nitric oxide; INO-055; INO-088  
nitrile hydratases; ORG-001  
nitro-anion radical; ELE-045  
Nitroaldol; ORG-111  
Nitrofural; ELE-040  
nitrofurazone; ELE-045  
Nitrogen doping; INO-093  
Nitroheterocíclico; ELE-032  
Nitroimidazol; MED-054  
Nitrotriazole; MED-008  
NMR; FIS-038; ORG-012; ORG-014; ORG-069; QPN-075; TEO-008  
NMR calculations; ORG-102  
NO release; TEO-002  
Nociception; MED-003  
non-linear optics; FOT-015  
Nonlinear dynamics; ELE-034; ELE-054  
nonfractionation; BIO-004  
nonsteroidal anti-inflammatory; INO-062; ORG-047  
Norbixin; COL-006  
Norbornene; CAT-024; CAT-028  
Normas Técnicas; EDU-015  
Novozyme 435; ORG-032  
Nuciferina; ORG-033  
Núcleo Central; EDU-038  
nucleophilic fluorination; TEO-013  
number of theoretical plates; ANA-018  
Numerical integration; TEO-003  
Nutraceutical properties; BEA-006  
nutrientes; AMB-037; AMB-063  
Nutrients; ANA-035

## O

Obesity; MED-065  
Ochterski; FIS-034  
Ocotea catharinensis; QPN-004  
octocrylene; INO-052  
OEC; AMB-005  
OHATZ; AMB-080  
Oil/water interface; ELE-010  
Oiti fruit; ANA-081  
Oleate; MAT-067  
Óleo de algodão; QVE-003  
ÓLEO DE AZEITE; EDU-036  
Óleo de coco; BEA-008  
Óleo de peixe; ANA-047  
Óleo essencial; QPN-003; QPN-004;  
QPN-010  
óleo mineral; QVE-012  
óleo vegetal; ANA-064  
óleos vegetais; AMB-069  
óleos vegetais isolantes; QVE-012  
oleylamine-mediated route; MAT-061  
OLIGOMERIC DISSOCIATION; BIO-013  
Olimpíada de Química; EDU-005  
Ômega-3; ANA-047  
OMRP; CAT-030  
On-line system; ANA-041  
ONIOM; INO-048  
online GCFID; AMB-008  
online web-based tool; QPN-056  
Open softwares; MED-031  
Optical nanosensor; ANA-032  
Oral bioavailability; MED-057  
Oral History; EDU-046  
orange albedo; ORG-013  
Orange II; ELE-016  
orbitides; QPN-125  
Ordered Predictors Selection; ANA-076  
organic chemistry; EDU-019; EDU-048;  
EDU-055; ORG-101  
organic dye; INO-051  
organic ligands; INO-006  
Organic photovoltaic; TEO-004  
organic pollutants; AMB-003  
Organic solvents; ANA-070; QVE-007  
organic synthesis; CAT-015; ORG-056;  
ORG-064; ORG-069; ORG-096;  
ORG-100  
organocatálise; ORG-018; ORG-095  
organoclay; INO-054  
organoclorados; BEA-011  
organofilização; INO-102  
Organometallics; ORG-023  
Organophosphate; FIS-006  
Organophosphates; CAT-013; FIS-005;  
QVE-004  
organophosphorus; AMB-018; FIS-019  
Organoselenium; ORG-099  
organosilicon; MAT-021  
organoyl-thiolation; ORG-029  
Organozinc; MED-056  
Organozinc compounds; ORG-070  
Oriented Immobilization; ELE-048

Origem da vida; FIS-029  
Oscillating reaction; FIS-024  
Oscillations; ELE-034; ELE-051  
Oscillatory behavior; ELE-015; TEO-003  
Osteoclastogenesis; ORG-061  
Osteoporosis; ORG-044; ORG-061  
Osteosarcoma; MED-051  
otimização; QPN-030  
Ouratea; QPN-027  
ouro; AMB-026; ELE-008; ELE-059  
Ouro nanométrico; MAT-027  
overpotential; INO-013  
oxadiazol; INO-046  
Oxahomoaporphine skeleton; QPN-087  
oxamate; EST-001; INO-097  
oxamate ligands; INO-029  
oxamato; INO-087  
Oxazolidines; ORG-008  
oxazolidinonas; ORG-027  
oxidação; AMB-067; FIS-020  
oxidação de cicloexano; INO-018  
oxidation; INO-098  
Oxidation products; BEA-002  
oxidative addition; INO-078  
Oxidative Evaluation; QPN-026  
oxidative stress; AMB-073  
oxides; ELE-026  
óxido de cério (IV); INO-015  
óxido de nióbio; MAT-035  
óxido de zinco; MAT-054  
oxigen reduction reaction; ELE-011  
Oxisoil; AMB-033  
oxone; ORG-062  
oxygen evolution reaction; INO-096  
Oxygen probe; MAT-089

## P

P-Aminophenol; AMB-015  
p-cumaratos de alqueniila; QPN-113  
Paepalanthus planifolius; QPN-063  
PAH; AMB-003; AMB-022  
paládio; ORG-027  
Palladium; ELE-031; INO-073; INO-075;  
INO-078; ORG-019; ORG-023;  
ORG-030  
Palm Trees; QPN-031  
Palygorskita; INO-102  
PAMPA assay; MED-007  
Pampa Biome; QPN-018  
Papaina; INO-066  
paper; ELE-046; MAT-092  
Paper spray; BEA-015  
Paper-based analytical devices; ELE-012  
Paracoccidoides brasiliensis; BIO-012  
Paramagnetic nanoparticles; FIS-035  
parâmetros cinéticos; ORG-003  
Paraoxon; ORG-067  
parasitas; INO-058  
parathion; FIS-019  
Partial Least Squares; ANA-076  
Particle size; ANA-037; MAT-064  
particles; INO-021  
Partículas magnéticas; ORG-055  
partition coefficient; AMB-064  
passive sampling; AMB-009; ANA-056  
PBAT; MAT-016  
PCA; ANA-073; ANA-074; ANA-081;  
QPN-015  
PCL; MAT-016  
PCL enzyme; MED-065  
PDAH; INO-023; INO-090  
pdms; MAT-089  
PDT; INO-031  
Peat; INO-072  
Pectina; QVE-010  
PEDOT; ELE-009  
PEG-400; ORG-091  
PEG-assisted solvothermal; ANA-053  
pele; MAT-016  
Peltophorum dubium; QPN-074  
Penicillium expansum; QPN-017  
Pentacalia desiderabilis; QPN-097  
Pentacyclic triterpenes; ORG-006  
Pentadecano; QPN-010  
pentadienone derivative; ORG-108  
Pentóxido de Nióbio; FIS-018  
Peptide assemblies; MAT-118  
Peptide copolymers; MAT-051  
Peptides; INO-095; TEO-001  
Peptidomimetics; QPN-029  
Perfumes; ANA-075  
Perfumes.; ANA-079  
periphyton; AMB-042  
permanent hair dyes; AMB-015  
Permeability; MED-057  
Perovskite; CAT-019  
perovskite nanocrystals; INO-101  
peroxidase; ELE-037  
peróxido de hidrogênio; ELE-008; FIS-020  
Peruvian Andes; AMB-081  
perylene; INO-086  
Pesticidas; ANA-014; BEA-011  
pesticides; AMB-020; AMB-027; AMB-049;  
ANA-031; QVE-004  
Petroleum; ANA-073  
PFO-DBT; MAT-013  
pH; INO-003  
Pharmaceutical Forms; QPN-020  
pharmaceutical formulations; ELE-022  
pharmaceuticals; AMB-053  
Pharmaceuticals contaminants; MAT-055  
Pharmacokinetic Properties; MED-038  
Pharmacokinetics; MED-007  
Pharmacophore; MED-002  
Phase diagram; FIS-015; FIS-037  
Phase diagrams; COL-011; FIS-021  
phase transition; FIS-014  
Phaseolus lunatus; QPN-055  
PHB; MAT-003  
Phenol; CAT-004; INO-070  
Phenolic acids; ANA-059; QPN-037  
Phenolic compounds; ANA-010; ELE-050;  
ORG-090; QPN-023; QPN-028  
Phenotypic Screening; MED-006

phenylenediamine; ANA-059; BEA-012  
 Phenylethylamine; ORG-096  
 Phlogopite; MAT-017  
 phosphate; AMB-057; ANA-092; INO-012  
 Phosphines; INO-075  
 Phospholipids; FIS-016  
 phosphonium salts; ORG-024  
 Phosphoramidates; ORG-021  
 Phosphoric Acid; FIS-004  
 Phosphorus; ANA-082  
 photo-oxidation; INO-031  
 Photocatalysis; CAT-011; CAT-012;  
 FOT-004; FOT-007; INO-093; MAT-037;  
 MAT-069  
 Photocathodes; INO-065  
 Photochemical reduction; MAT-032  
 Photodegradation; FOT-001; FOT-004;  
 FOT-010; MAT-021; MAT-117  
 photodynamic efficiency; INO-031  
 Photodynamic inactivation; ORG-088  
 Photodynamic Therapy; MAT-101  
 photoelectrocatalysis; ELE-007; ELE-021;  
 ELE-029; MAT-120  
 Photoelectrochemical; INO-065  
 photoelectrochemical oxidation; MAT-102  
 Photohaemolysis; FOT-001  
 Photoisomerization; ORG-064  
 photoluminescence; INO-008; INO-037;  
 INO-085  
 photoluminescence spectroscopy; INO-006;  
 INO-010  
 Photooxidation; CAT-012  
 photophysical properties; INO-027;  
 MAT-056; ORG-026  
 Photophysics; MAT-090  
 photoprotection; BIO-007  
 Photosensitizer; FOT-002; FOT-016;  
 INO-031  
 phototherapy; FOT-013  
 photovoltaic devices; MAT-029  
 Photovoltaics; MAT-100  
 Phthalocyanine; FOT-001  
 Phycocyanin; QPN-038  
 Physical-chemical treatment; AMB-079  
 Physicochemical Features; BIO-010  
 Physicochemical Properties; MAT-043;  
 MED-056  
 Physisorption; COL-002  
 Phytochemical; QPN-109  
 Phytochemical screening; QPN-049;  
 QPN-062  
 Phytochemistry; QPN-040  
 Phytosterols; ANA-030; QPN-034  
 phytoterapeutics; QPN-102  
 Phytotoxic; QPN-025  
 Phytotoxicity; QPN-037  
 PIBID; EDU-004; EDU-008; EDU-009  
 PIBID-Chemistry; EDU-046  
 Picramnia bahiensis; QPN-051  
 pigments; AMB-071; QPN-060  
 Pilar[n]arenos; MAT-039  
 pilha a combustível; INO-067  
 Pilhas; EDU-028; EDU-047; EDU-059  
 Piper hispidinervum; QPN-010  
 pirazol; INO-061  
 pirazol polifuncionalizado; ORG-071  
 Pirazolina; COL-009  
 Pithecoctenium crucigerum; QPN-052  
 PKG; MED-002  
 planejamento; ANA-002; MED-060  
 Planejamento de fármacos; MED-005;  
 MED-048  
 Planning of binary mixtures; BEA-003  
 Plant extracts; QPN-021  
 Plants; QPN-002  
 plasma; MAT-021  
 Plasma canino; ANA-011  
 Plasma sample; ANA-020  
 Plasmodium falciparum; MED-039  
 plasmonic; MAT-014  
 Plasmonic band; MAT-095  
 Plasmonic cancer therapy; MED-014  
 Plasmonic Catalysis; CAT-012  
 Plastic marine pollution; EDU-033  
 plastic waste; CAT-035  
 Plasticizers; ANA-093  
 Platinum; ELE-005; ELE-026; INO-046  
 platinum(II) complexes; INO-036  
 Platonia insignis; BIO-011; QPN-105  
 play activity; EDU-006  
 pleocarpanone; ORG-083  
 Pleonotoma; QPN-054  
 PLGA; MAT-087  
 PLGA-PEG; FOT-001  
 PLS; ANA-029; TEC-005  
 PLS-DA; ANA-080  
 Pluronic10R5; FIS-015  
 PM2.5; ANA-009  
 PNIPAAm; MAT-004  
 POAs; MAT-035  
 poder calórico; AMB-070  
 Point of Zero Charge; INO-072  
 Polaridade; EDU-017  
 pólen; QPN-080  
 Pólen apícola; QPN-118  
 polieletrólito; ELE-020  
 polietilenimina; MAT-025  
 polietilenoimina; ELE-020  
 Polímero; FIS-038; FIS-039  
 polímero de coordenação; ORG-072  
 Polímero luminescente; MAT-002  
 polímeros de coordenação; AMB-052;  
 INO-061  
 Polímeros fluorescentes; ANA-005  
 políticas públicas; AMB-012  
 pollution; AMB-023; ANA-036  
 poluição; AMB-068  
 poluição ambiental; AMB-011  
 Poly(lactic acid); CAT-034  
 poly(vinyl alcohol); COL-005; MAT-103  
 polyaniline; COL-004; ELE-056; MAT-005;  
 MAT-073; MAT-076; MAT-108  
 Polycatenar; ORG-064  
 Polycrystalline Platinum; FIS-004  
 Polydopamine; COL-007  
 Polyelectrolyte; MAT-041  
 polyethylene glycol (PEG); MAT-051  
 polyethylenimine; MAT-059  
 Polyfluorene derivatives; MAT-079  
 Polyheptazine; INO-093  
 Polyketides; QPN-063  
 polymer electrolytes; ELE-018  
 polymer membranes; AMB-038  
 polymeric additives; MAT-046  
 polymeric network; EST-001  
 Polymeric sponge; MAT-017  
 Polymerization; CAT-029  
 Polymers; FIS-031  
 polymorphism; MAT-126  
 polypropylene; MAT-021; MAT-081;  
 MAT-112  
 Polystyrene; MAT-080  
 polythiophene; MAT-029  
 polyurethane foams; AMB-056  
 Ponto nuvem; ANA-028; BEA-020  
 pontos quântico; ANA-023  
 Pontos quânticos; MAT-054  
 população rural; AMB-055  
 Porcelia macrocarpa; QPN-114  
 porfirina; INO-032  
 porfirina de manganês; INO-018  
 porfirinas; INO-005  
 Porfirinas de manganês; INO-079  
 porosity; MAT-064  
 Porous ceramic; MAT-017  
 porous TiO<sub>2</sub>; MAT-069  
 porphyrin; INO-049; MAT-083  
 porphyrin derivatives; INO-031  
 Porphyrins; ORG-088  
 Portable and disposable sensor; ELE-012  
 portões; EDU-014  
 potássio; AMB-037  
 Potassium Nitrate; MAT-003; MAT-066  
 Potential Oscillations; FIS-004  
 Potentially Toxic Metals; AMB-058  
 pour point; MAT-046  
 Power conversion efficiencies; TEO-004  
 PPB; ELE-048  
 Pr-SO<sub>3</sub>H-SBA-15; CAT-022  
 praguicidas; AMB-021  
 prata; ELE-059  
 prática; EDU-049  
 Pré-concentração; ANA-084  
 Pre-service Teacher Preparat; EDU-009  
 Pre-treatment; CAT-039; TEC-007  
 Precipitação homogênea; ANA-049  
 precipitação química; AMB-037  
 Preclinical Research; MED-051  
 preconcentration; ANA-039; ANA-045  
 precursors; AMB-015  
 Preparo de amostra; ANA-084  
 Preparo de amostras; ANA-011  
 Printed electrodes; ANA-068  
 Pro-chiral; ORG-038  
 probe; ANA-022  
 Procedure validation; ANA-070  
 Processo Fenton; CAT-037

Processos Oxidativos Avançados; FIS-018  
Product surveillance postmarke; MAT-122  
Produto natural; FOT-014  
PRODUTOS NATURAIS; MED-062;  
QPN-022  
professional knowledge; EDU-040  
prometazina; ELE-020  
Promiscuity; ORG-111  
Propargylamines; TEO-012  
Propolis; QPN-028  
Propoxur; ANA-028  
propriedades físico-químicas; FIS-001  
protamina; ANA-023  
Protease Inhibitors; ORG-069  
proteção; MAT-086  
protein interaction; MED-047  
proteínas catiônicas; ANA-023  
Proteinasas; BIO-001  
protetor solar; QPN-007  
Prussian blue; ELE-019; INO-096; MAT-108  
prussian blue high stability; ELE-014  
Pseudocapacitors; MAT-015  
Pseudomonas aeruginosa; ELE-012  
Pseudotitulação; ANA-062  
Pseurotin A; QPN-065  
Psidium Myrtilodes O. Berg; QPN-006  
Psidium salutare; QPN-018  
PSiF-DBT; MAT-013  
Psychotria; QPN-076  
Pt surface oxidation; ELE-026  
Pterodon pubescens; QPN-020  
Pterodron emarginatus; QPN-102  
PTP1B; QPN-051  
PTS; AMB-002; AMB-072  
public health; AMB-029  
polverolide; ORG-104  
purification; BIO-003; CAT-025; ORG-101  
Purina Nucleosídeo Fosforilase; ORG-075  
push-pull compounds; ORG-100  
Pyocyanin biosynthesis; MED-025  
Pyrazoles; ORG-050  
pyrazolines; INO-089  
pyrazolopyrimidine; MED-030  
Pyridazinones; ORG-048  
Pyridinium salts; ORG-008  
pyriproxifene; ORG-089  
pyrite; INO-044  
pyroaurite; AMB-060  
pyrolysis; AMB-074; CAT-035  
Pyrrolidines; ORG-050

## Q

Q and B bands; TEO-011  
QCM; FIS-027  
QCM-D; ELE-009; ELE-036  
qNMR; ANA-031  
QSAR; MED-002; MED-004; MED-031;  
MED-066  
QSAR model; FIS-007  
QTAIM; TEO-010  
qualidade da água; AMB-068  
Quality; ANA-085; ANA-094

Quantificação; ANA-090; QPN-077  
Quantification; MAT-040  
Quechers; ANA-019  
queimaduras; MAT-016  
Quelante; MED-061  
Quercetin; QVE-001  
Química Ambiental; AMB-052; AMB-076;  
EDU-002  
Química Analítica; EDU-021  
química forense; ANA-067; ELE-028  
Química Inorgânica; EDU-011  
Química limpa; ANA-028  
Química Medicinal; MED-032  
Química no cotidiano; EDU-060  
Química prebiótica; FIS-029  
química sustentável; FOT-003  
Química verde; ANA-061; INO-005;  
INO-018; INO-071; INO-079  
Quimiluminescência; ANA-026  
quimiossíntese; FIS-036  
Quinoides; QPN-097  
quinoline; ORG-106  
Quinoline Derivatives; ORG-026  
quinolinyl lactones; ORG-056  
quinolona; ORG-017; ORG-085; ORG-087  
Quinolones; ORG-022; ORG-088  
Quinoxalina; ORG-035  
Quitosana; COL-009; MAT-065

## R

racemização; ORG-051  
Racemization; ORG-093  
radiação Gama; BEA-004  
Radiation shielding; MAT-103  
Radical Generation; INO-004  
Radical polymerization; CAT-030  
Radio-astronomy; FIS-002  
radiólise; FIS-036  
Radiopharmaceutical; ANA-070  
Raman; ELE-019  
Raman effect; COL-010  
Raman Spectroscopy; FIS-017; MAT-097  
Ramette; EDU-016  
Rancimat; AMB-075  
rare earth; INO-006; MAT-034  
Rare earth elements; ANA-038; ANA-039;  
MAT-040  
Rare earth metal; INO-010  
Rare Earth Oxides; MAT-101  
Rare earth oxysulfides; MAT-070  
Rational Drug Design; MED-026  
rational synthesis; INO-041  
rCPB2.8; MED-036  
rCPB3.0; MED-036  
RDC; ORG-025  
RDSE; AMB-020  
Reação de Biginelli; MED-064  
Reação multicomponentes; MED-059  
reações de Michael; ORG-018  
Reactive Oxygen Species; INO-004  
Reactivity Assays; INO-068  
realidade aumentada; EDU-024  
Reality; EDU-058  
Rearranjo [3,3] Sigmatrópico; ORG-034  
reator de leito fixo; FIS-033  
Recuperação de solventes; QVE-005  
recyclable materials; AMB-004  
Recycling; MAT-112  
Redocking; MED-063  
Redox-relay mechanism; ORG-098  
reduced graphene oxide; ELE-013;  
ELE-023; ELE-038; MAT-059; MAT-104;  
MED-014  
reductive; CAT-021  
REELS; MAT-013  
Refractive index; TEC-005  
Regeneração de NADH; CAT-036  
Regenerative Medicine; MAT-028  
Regiospecific synthesis; ORG-092  
Regulation; MAT-122  
Regulation; ANA-094  
Relaxation Processes; FIS-017  
Reline; FIS-013  
Remazol Preto B; FIS-020  
Representação Social; EDU-038  
Residual Oil; ORG-109  
Residue; MAT-042; MAT-094; MAT-119  
residue analysis; ANA-001  
residues; AMB-056  
residues bauxite; AMB-060  
resíduo; EDU-049  
Resíduo industrial; FIS-028  
resíduos; AMB-066; TEC-010  
resíduos agropecuários; AMB-041  
Resíduos químicos; QVE-005  
resin oil; QPN-122  
resistência Bacteriana; INO-001  
Resolução cinética; ORG-032  
resolução cinética dinâmica; ORG-020;  
ORG-051  
resolution; ANA-018  
Restrict Access Material; ANA-020  
reuse of water; AMB-048  
Reutilization; MAT-040  
reverse transcriptase; ORG-106  
reverse water gas shift; CAT-027  
Reversibilidade; INO-082  
Rheology; FOT-013; QPN-034  
Rhinella jimi; QPN-104  
Rhipicephalus microplus; MED-024;  
MED-055  
Rhizobia; AMB-058  
Rhodium Catalyst; CAT-018  
Rhodium nanoparticles.; CAT-014  
Rice husk ash; MAT-116  
Richterago campestris; QPN-090  
Richterago discoidea; QPN-091  
Rio de Janeiro; AMB-014  
Rio Doce basin; AMB-046  
Rio Paraíba do Sul; AMB-019  
rios; AMB-068  
Risk Assessment; MED-023  
river water; AMB-018  
RMN; ORG-025; ORG-068  
ROMP; CAT-024; CAT-028

Rota etfílica; QVE-003  
Rota metfílica; QVE-003  
rotational barrier; ORG-012  
RP-DLLME; ANA-044  
Ru polypyridyl complexes; INO-013  
Ru terpyridine aquo complexes; INO-013  
Ru(II) Complexes; FOT-005  
Rubiaceae; QPN-076; QPN-100; QPN-103;  
QPN-115  
rutenio (II); INO-034  
ruthenium complex; INO-020; INO-095  
Ruthenium complexes; CAT-024; CAT-028;  
INO-024; TEO-002  
ruthenium(II) complexes; INO-043

## S

S. terebinthifolius genders; QPN-005  
Saccharum ssp; QPN-037  
safrol; QPN-010  
Salen-type; ORG-009  
Salicylic acid; MAT-020  
salinidade; AMB-019  
Salinispora arenicola; QPN-084  
Saliva; ELE-035  
Salmoura; ANA-049  
salt bridge; EDU-053  
sample preparation; AMB-020; ANA-004;  
ANA-010; ANA-033; ANA-052;  
ANA-054  
SAP; ANA-073  
SAR; MED-034  
SAR Studies; BIO-010  
SAR.; MED-025  
SARA; ANA-060  
SBA-15; INO-066  
SBUs; ORG-072  
Scaffold; MAT-062  
Scale inhibitor; ANA-071  
scanning electrochemical micro; ELE-043  
SCC-DFTB; TEO-009  
Schiff base; CAT-024; CAT-029; ORG-009  
Schiff bases; CAT-030; INO-028  
Schiff's reagent; TEC-008  
Schistosoma mansoni; QPN-073  
Schistosomiasis; MED-006; MED-046;  
QPN-073  
Scientific Articles; EDU-030  
Scintillation; MAT-034  
Screen-printed electrode; ELE-062  
Screening.; BIO-004  
SDS; COL-006  
seasonality; QPN-011  
Seawater; ANA-041  
SECM; ELE-043  
Second generation ethanol; COL-001  
Secondary ion emission; FIS-002  
secondary metabolites; ORG-063;  
QPN-049; QPN-056; QPN-117  
sediment; AMB-030; AMB-078  
sediment quality guidelines; AMB-022  
sediments; AMB-031  
Seed germination; QPN-025

Selective functionalization; ORG-070  
Selective Hydrogenation; CAT-032  
selectivity; INO-012  
Selenoacetilenos; ORG-034  
Selenoésteres; ORG-034  
Self-assembled films; MAT-076  
Self-assembled monolayers; INO-002  
self-assembly; MAT-014; MAT-113  
self-neutralizing process; MAT-114  
Semi-batch reactor.; CAT-033  
Semiconductor Oxide; MAT-030  
semiempirical method; MED-040  
Semipermeable Membranes; ANA-056  
Senna acuruensis; QPN-108  
sensor; ELE-001; ELE-003; ELE-020;  
ELE-055; INO-012  
Sensor Fotoeletroquímico; ELE-053  
sensores ópticos; MAT-072  
Sensores óticos; MAT-002  
Sensorial analysis; ANA-078  
Separação; ANA-049  
separation; ANA-039; MAT-040  
separation factor; ANA-018  
sepiolite; INO-054  
Sequential oscillations; FIS-024  
sequiterpenes; QPN-122  
Séries; EDU-016  
Serine protease; MED-001; MED-021  
Serissa foetida; QPN-100  
Serotonin receptors; ORG-096  
serpentine; CAT-031  
SERS; ELE-061; MAT-014; MAT-082;  
MAT-097  
Seselin; QPN-079  
Sesquiterpene Lactone; QPN-091  
Sesquiterpene lactones; QPN-116; QPN-119  
Sesquiterpenes; QPN-009; QPN-046  
Sesquiterpenoid; QPN-006  
Sesquiterpenoides; QPN-107; QPN-113  
Sesquiterpenos eudesmanos; QPN-043  
SFG spectroscopy; FIS-016  
Shale; MAT-044  
Show de Química; EDU-001  
Signal separation; BEA-002  
Silencing; MAT-036  
silica; COL-003; MAT-006; MAT-088  
Sílica; MAT-124  
Silica; TEC-011  
silica based adsorbent; ANA-039  
Silica gel; MAT-012  
Sílica gel; MAT-099  
Sílica Mesoporosa Ordenada; INO-066  
silica nanoparticles; MAT-050  
sílicas funcionalizadas; ORG-086  
Silicone oil; MAT-122  
Silicone rubber; MAT-117  
Silk; FOT-013  
silk fibroin; ELE-017  
Silver; MAT-037; MAT-052; ORG-099  
Silver Nanoparticles; BIO-006; QVE-001  
silver tungstate; MAT-126  
Símbolos químicos; EDU-065

simulação computacional; EDU-020  
Simvastatin; ANA-007  
Single Extractions; ANA-035  
single-molecule magnets; INO-041  
Singlet Oxigen; FOT-013  
Singlet oxygen; FOT-002; MAT-006  
síntese; INO-030; INO-032  
síntese e caracterização; INO-094  
síntese em fluxo; INO-023  
Síntese Enantiosseletiva; ORG-105  
Síntese Orgânica; MED-053; ORG-018;  
ORG-040  
Síntese Regiosseletiva; ORG-071  
Síntese Verde; QVE-010  
Sínteses totais; ORG-033  
siRNA; MAT-036  
Sirtuin 2; MED-017  
Sistema Veiculador de Fármaco; MAT-039  
sistemas aquáticos; AMB-036; AMB-062  
sistemas biomiméticos; INO-001; INO-071  
Sistemas de amostragem passiva; ANA-055  
Sistemax; QPN-056  
slako-koster; TEO-009  
SLE/LTP; ANA-001  
slippery surface; COL-004  
SLIPS; MAT-038  
small experiments; EDU-052  
SMILES; MED-031  
SmTGR inhibitors; MED-026  
Smuggling; ANA-031  
Sn3O4/Ti; ELE-007  
Snake venom; BIO-001; MED-001;  
MED-021  
snakebites; MED-040  
SO<sub>2</sub> oxidation; ELE-015  
social behaviour; AMB-004  
Socioeconomic profile; EDU-045  
Sodium alginate; QPN-021  
sodium diclofenac; FOT-010  
Sodium ethyleneglycoxide; TEC-004  
Sodium Glyceroxide; TEC-006  
Soil; ANA-035  
soil contamination; AMB-032  
soil management; AMB-033  
soil organic matter; AMB-033  
Sol-gel method; MAT-019  
Solanum lycopersicum; ORG-057  
Solanum paludosum; QPN-047  
Solanum paniculatum; QPN-101  
solar cell; INO-017  
solar cells; MAT-010; MAT-083; TEO-004  
solar energy; INO-013  
solid acid catalysts; CAT-003  
solid phase extraction; ANA-039  
solid phase synthesis; MAT-051  
Solid Sampling; ANA-043  
solo; AMB-035; EDU-047  
solos; AMB-034  
Solubilidade; FIS-029  
Soluble solids content; QPN-023  
Solute-solvent interactions; FIS-011  
solution; INO-035

Solvatochromic dyes; FIS-011  
 Solvatochromic reversal; FIS-011  
 Solvatochromism; FIS-011; FOT-006  
 Solvent effect; ORG-014; TEO-013  
 Solvent-free; ORG-042  
 Solventes; QVE-005  
 Solventes orgânicos; MAT-107  
 Solventes Verdes; CAT-002  
 solvents; ORG-039  
 solvólise; INO-099  
 solvothermal syntheses; MAT-069  
 sorption; AMB-061; MAT-026  
 Soy; QPN-026  
 Soybean oil; ANA-077; CAT-003  
 Spacer; MED-033  
 SPE; ANA-019; BEA-007  
 speciation; ANA-045; FIS-022  
 Spectral Library; QPN-089  
 Spectrofluorimetry; ANA-024  
 Spectrophotometry; ANA-059; BEA-010;  
 BEA-012; QPN-038  
 spectroscopic techniques; BIO-005;  
 MED-042  
 Spectroscopy; BEA-014; INO-063; INO-076  
 spent fluorescent lamps; ANA-038  
 sphagnum subsecundum; AMB-013  
 Spilanthes acmella; QPN-045  
 Spilanthol; QPN-045  
 Spill; ANA-060  
 Spin; ORG-103  
 spin-coating; INO-017  
 Spirostanic saponins; QPN-101  
 Spray Dryer; MAT-023  
 SQ109; ORG-043  
 Square-wave voltammetry; ELE-035  
 ssDNA; ORG-107  
 Stability; INO-003; MAT-052; MAT-073  
 stacking fault; MAT-061  
 Stamps; ANA-017  
 Standards; QPN-089  
 Starch; QVE-002; QVE-006  
 stationary phase; ORG-101  
 Steam explosion; MAT-042  
 stearic acid; INO-020  
 STEM; EDU-026  
 Steroid glycoside; QPN-101  
 Steroidal saponins; QPN-101  
 Steroids; ELE-035; QPN-109  
 Stöber method; ANA-053  
 Stöber silica; INO-092  
 storage modulus; MAT-081  
 Strongylodon macrobotrys; QPN-075  
 Strontium; CAT-001  
 structure control; ELE-036  
 Structure determination; MAT-020  
 Submédio São Francisco; ANA-048  
 Substâncias; EDU-005  
 Substratos trissubstituídos; CAT-002  
 Sucupira; QPN-102  
 sugar cane straw; TEC-009  
 sugarcane; MAT-094  
 Sugarcane Bagasse; MAT-003; MAT-066

Sulfamida; ORG-068  
 sulfation; MED-035  
 sulfides; ORG-024  
 sulfonamides; ELE-025; MED-003  
 Sulfonation; CAT-009  
 Sulfone; ORG-054  
 sulfonic resin; QVE-009  
 Sulfoxide; ORG-054  
 Sulfoxonium ylides; ORG-038  
 Sulfur; ANA-050  
 sulfur-oxygen interactions; MED-015  
 Sunset Yellow dye; ELE-027  
 super capacitor; MAT-068  
 Superabsorbent hydrogel; MAT-116  
 Supercapacitor; MAT-005; MAT-092;  
 MAT-123  
 Supercapatteries; ELE-058  
 Superfícies cerâmicas; MAT-107  
 Superheros; EDU-033  
 superhydrophobic surface; COL-004  
 Superparamagnetism; MAT-006  
 Supported catalysts; CAT-005  
 Supported heteropolyacid; CAT-034  
 Supported Ionic Liquid; CAT-032  
 supramolecular catalysis; TEO-013  
 supramolecular chemistry; INO-081;  
 INO-095; INO-097  
 Surface Chemical Functionaliza; MAT-043  
 Surface Facets; MAT-105  
 Surface modification; FIS-031; MAT-050;  
 MAT-088  
 Surface plasmon; COL-010  
 Surface roughness; MAT-117  
 Surfactant; COL-002; COL-006; FIS-022  
 susceptibilidade eletrofilica; INO-026  
 suspension polymerization; MAT-064  
 Sustainability; AMB-065; CAT-039  
 sustentability; MAT-094  
 sustentabilidade; QVE-005; TEC-010  
 Swinglea glutinosa; QPN-086  
 Swiss mice; ANA-015  
 Symbiosis; QPN-068  
 Symmetry; INO-010  
 synthesis; AMB-060; CAT-031; EDU-048;  
 MAT-052; MAT-075; MED-041;  
 ORG-047; ORG-049; ORG-074;  
 ORG-091; ORG-097; ORG-106  
 synthesis of heterocycles; ORG-100  
 synthesis optimization; MAT-057  
 synthetic bitumen; MAT-081  
 Synthetic Cannabinoids; MED-023  
 Syringes; MAT-122  
 systemic mycoses; BIO-012

**T**

T. cruzi; QPN-085  
 T. hispidula; QPN-103  
 Tabaco; ANA-021; ANA-089  
 Taninos; QPN-095  
 Tannery sludge; CAT-011  
 Tautomerism; FIS-009  
 Taxifolin; MED-050

TBHQ; ANA-088  
 TCCA; ORG-053; ORG-074  
 TDDFT; TEO-006; TEO-007  
 Teacher Education; EDU-046  
 teacher training; EDU-053  
 Teaching; EDU-058  
 Teaching and learning; EDU-012  
 teaching formation; EDU-040  
 Teaching Laboratory; AMB-065  
 Teaching performance; EDU-042  
 Teaching Sequences; EDU-009  
 Technical Course; EDU-043  
 Tecno. Inf. e do Conhecimento; EDU-007  
 Technology; EDU-058  
 Temperatura; FIS-029  
 Temperature; FIS-015  
 Temperature probe; MAT-089  
 Template; MAT-082  
 TEMPO oxidation; CAT-020  
 teor de umidade; AMB-070  
 TEO-S hydrolysis; MAT-114  
 térbio; INO-039  
 Terbium complexes; MAT-056  
 Terminalia actinophylla; QPN-095  
 Terpene; CAT-018; ORG-083  
 Terpenes; QPN-005  
 Terpenóides; ORG-043  
 Tetracyclines; QPN-068  
 Tetrametilamônio; INO-091  
 Tetraporphyrin; FOT-002  
 Tetrazoles; ORG-022  
 Textured copper; MAT-038  
 texturometer; MAT-022  
 TFD; INO-032  
 Theoretical calculation; TEO-012  
 theoretical calculations; INO-035; MAT-079;  
 TEO-008  
 theranostics; INO-016  
 thermal infrared; BEA-005  
 Thermal Processing; MAT-003  
 Thermal stability; BEA-006  
 Thermoanalytical profile; BEA-001  
 Thermochemistry; FIS-034  
 thermochromism; MAT-001; MAT-075  
 Thielaviopsis paradoxa; QPN-002  
 thimerosal; BIO-005  
 Thin film; INO-020; MAT-029; MAT-073;  
 MAT-123  
 Thin films; INO-065; MAT-125  
 thioamides; ORG-058  
 thiol/disulfide; ELE-049  
 thiophene-imide; MAT-024  
 Thiosemicarbazide; MED-037  
 Thiosemicarbazone; INO-075; MED-037  
 thiosemicarbazones; INO-040; MED-021;  
 MED-040  
 thiosulfonates; ORG-024  
 thiourea; INO-057; ORG-091  
 Three-dimensional graphene; MAT-009  
 Tibolone; ELE-035  
 TICs; EDU-031  
 Tijuca Forest; AMB-006; AMB-007



Time-dependent Density Function; FIS-035  
Timina; FIS-029  
Tin; ELE-005  
tin-substituted perovskite NC; INO-101  
TiO<sub>2</sub>; FIS-023; FOT-010  
TiO<sub>2</sub> nanotubes; MAT-102  
tiossemicarbazonas; INO-047  
Tiramina; ORG-040  
Tissue damage; MAT-062  
Tissue Engineering; MAT-028; MAT-031  
Titanate Nanostructures; MAT-048  
Titanate nanotubes; INO-093  
Titanium dioxide; MAT-037; MAT-083  
titulação ácido-base; ANA-064  
Tocopherols; ANA-030  
Todos os Santos Bay; AMB-009  
Tolano; MAT-106  
Tomato; ORG-057  
Tontelea micrantha; QPN-112  
Topical Formulation; FOT-016  
Topliss; MED-034  
Topoisomerase; INO-075; MED-032  
Topoisomerase I; INO-069  
Topoisomerase II- $\alpha$  humana; QPN-047  
Topological Model of Teaching; EDU-009  
Total polyphenol; ANA-024  
total suspended particles; AMB-010  
total synthesis; ORG-083  
Toxicity; ORG-054  
toxicity assays; FOT-010  
Trace Analysis; ANA-043; ANA-044  
trace elements; AMB-010; AMB-031  
Trace metals; AMB-081  
Trametes versicolor; AMB-054  
trans fatty acids; ANA-003  
Transdermal device; MAT-045  
Transesterificação; EDU-036; FIS-033;  
MAT-124  
Transesterification; TEC-004; TEC-006  
transformation products; AMB-048  
Transient signal; ANA-082  
Transition energies; TEO-011  
tratamento resíduo; AMB-066  
Tri-Ureasil; MAT-078  
triângulo da corrosão; MAT-086  
triazol; ORG-087  
triazole; ORG-052  
triazoles, corrosion inhibitor; ELE-002  
Triboelectric generators; FIS-031  
Trichillia emarginata; QPN-032  
Tricina; QPN-041  
Triclosan; MED-011  
Triethylenetetramine; MAT-043  
Trifenilfosfina; INO-100  
Trifluoromethylquinolines; MED-010  
trifluoromethylthiolation; ORG-029  
Trihalomethanes; FIS-034  
Trinitrotoluene; ELE-052  
triple; FOT-009  
Tris(hidroximetil)aminometano; INO-091  
Tristriazolotriazina; ORG-082  
Triterpenoides; QPN-103

Triterpene; QPN-109  
Triterpenes; QPN-046  
Triterpeno pentacíclico; QPN-112; QPN-120  
Triterpenoide; QPN-107  
triterpenoides; QPN-105; QPN-108;  
QPN-111  
Triterpenoids; QPN-110  
Triterpenos; QPN-035  
Triton-X100; COL-011; FIS-021  
Tropical fruits; BEA-010  
Trypanosoma; MED-054  
Trypanosoma cruzi; MED-004; MED-008;  
MED-029; MED-038; QPN-043;  
QPN-114  
Trypanothione Reductase; MED-038  
Tuberculose; MED-053; ORG-043;  
ORG-075  
tuberculosis; INO-036; MED-034  
Tubulin; MED-015; MED-027  
Tubulina; MED-048  
Tungsten oxide nanowire; MAT-005  
Turbidity; AMB-079  
TXRF; ANA-034; ANA-035

## U

UFLC; BEA-013  
UHPLC-MS/MS; ANA-077  
UHPLC-MS/MS; AMB-020  
Ultrafiltration; TEC-011  
Ultrasound; QPN-117; QVE-008; TEC-009  
Ultrasound irradiation; QVE-007  
Ultrassom; ANA-008  
upconversion; INO-017  
UPLC-ITMS; QPN-104  
UPLC-MS; QPN-081  
uranium; AMB-014  
urban area; AMB-010  
urban forest; AMB-008  
urea; MAT-018; TEC-003  
urease; MED-045; MED-047; TEC-003  
urinary tract infection; ANA-080  
Usnea steineri; QPN-057  
usnic acid; MED-047; QPN-057  
UV radiation; MAT-032  
UV-vis; BEA-020; QPN-038  
UV-Vis Detection; FIS-006  
UV-VIS-NIR spectroscopy; COL-010  
UV-Visible Spectrophotometry; ANA-057;  
ANA-058  
UV/H<sub>2</sub>O<sub>2</sub>; AMB-050

## V

vaccenic acid; ANA-003  
Valencene; CAT-018  
Validation; ANA-031  
valinomycin; QPN-069  
Valorização de CO<sub>2</sub>; CAT-036  
vanadato de bismuto; INO-033  
vapor electricity; FIS-014  
Variable Selection; ANA-076  
variáveis; QPN-030  
Vegetable Oils; BEA-014

Verbena montevidensis; QPN-048  
Verbenaceae; QPN-048; QPN-093  
Verubulin; ORG-070  
viabilidade celular; QPN-036  
Vibrational spectroscopy; FIS-032  
Vídeo; EDU-034  
Video digital; ANA-082  
Vidro; MAT-099  
Vidro poroso; MAT-027  
vinhoto; AMB-037  
Vinyl acetate; CAT-030  
Vinyl Acetate CMRP.; CAT-029  
Virtual screening; BIO-012; MED-002;  
MED-016  
viscosity; MAT-081  
visible light; FOT-007  
visible-light; ELE-007  
Visual impairment; EDU-025; EDU-029  
Visualização; EDU-007  
Vochysia divergens; ORG-006  
Vochysiaceae; ORG-006  
Volatile composition; QPN-005  
Voltametria cíclica; ELE-032; INO-067  
voltametria de onda quadrada; ELE-037  
voltammetry; ELE-004; ELE-040  
Vulcan-X; INO-044; INO-056

## W

waste; MAT-094  
Waste Disposal; QVE-013  
Waste Treatment; QVE-013  
wastewater; FOT-004  
Wastewater remediation; MAT-116  
wastewater treatment; AMB-051  
water; AMB-015; AMB-016; AMB-020;  
ORG-089; TEO-009  
Water Concentration; FIS-004  
water medium; ANA-045  
water oxidation; INO-096  
water oxidation catalysis; INO-043  
water oxidation catalysts; INO-013  
Water produced; ANA-056  
Water radiolysis; FIS-002  
water remediation; MAT-102  
water splitting; INO-013; INO-043; INO-096;  
MAT-120  
water treatment; AMB-027  
water-soluble; INO-085  
Webcam; ANA-082  
Whisky; ANA-034  
Wine; ANA-024; ANA-077  
Wines; ANA-085; BEA-005  
Wistar rats; ANA-015  
Wittig reaction; ORG-015  
WO.72/Vulcan XC72; ELE-016

## X

X-ray analysis; BEA-001  
X-ray crystallography; MED-026  
X-ray diffraction; INO-029; INO-057;  
MAT-019; MAT-020  
Xantenonas; ORG-055

Xanthate; INO-076  
Xanthyletin; QPN-079  
xantona; FOT-009  
XEOL; MAT-070  
XTT assay; MED-006  
xylazine; ELE-022  
Xylella fastidiosa; QPN-079  
Xylopiia; QPN-013

## Y

---

yeast biomass; MAT-111

yeast biomass from b-glucan; MAT-111  
Young modulus; MAT-022

## Z

---

Zebrafish; QPN-042  
zein; ELE-001  
zeína; MAT-054  
zeolite; AMB-053; MAT-047  
Zeolite Imidazole Framework-8; ELE-029  
Zeolite Synthesis NaY; FIS-008  
zeolites; CAT-035

Zeta Potential; COL-013  
zinc; AMB-047  
Zinc (II); INO-019  
zinc complexes; INO-014  
Zingiberaceae; QPN-094  
Zn(II); INO-087  
Zn(II) complexes; INO-084  
Zn(II) phthalocyanines; TEO-011  
Zwitterionic Receptor; INO-007

